

CONTRIBUIÇÃO AO CONHECIMENTO QUÍMICO DE PLANTAS DO NORDESTE

Vatairea macrocarpa (Benth.) Ducke

MARIA GORETTI DE VASCONCELOS SILVA

DISSERTAÇÃO SUBMETIDA À COORDENAÇÃO DO CURSO
DE PÓS-GRADUAÇÃO EM QUÍMICA
PARA OBTENÇÃO DO GRAU DE
MESTRE

UNIVERSIDADE FEDERAL DO CEARÁ

FORTALEZA - 1987

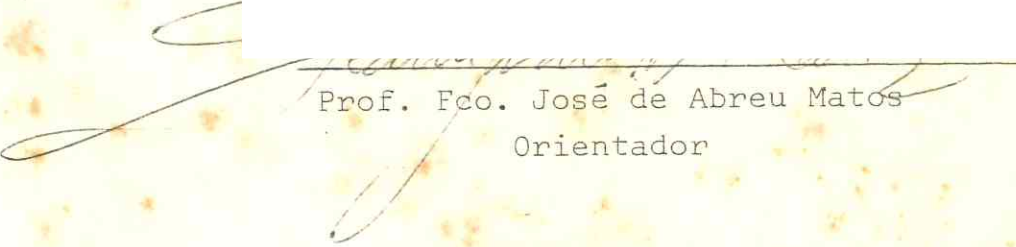
O trabalho descrito nesta dissertação foi realizado sob
a orientação do Prof. Francisco José de Abreu Matos.

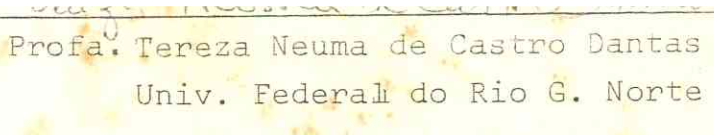
Esta Dissertação foi apresentada como parte dos requisitos necessários a obtenção do Grau de Mestre em Química Orgânica, outorgado pela Universidade Federal do Ceará, e em cuja Biblioteca Central encontra-se à disposição dos interessados.

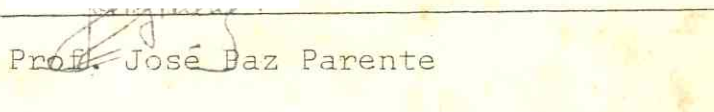
Maria Goretti de Vasconcelos Silva

Tese aprovada em 06/03/87

Examinadores


Prof. Fco. José de Abreu Matos
Orientador


Prof. Tereza Neuma de Castro Dantas
Univ. Federal do Rio G. Norte


Prof. José Paz Parente

"Em um mundo em que a vida se une tanto a vida, em que as flores amam as flores no leito dos ventos, em que o cisne conhece todos os cisnes, só os homens constroem solidão".

Antoine de Saint-Exupéry

Ao Erivaldo, e nosso Danilo.

A meus pais, Izauro e Francisca.

AGRADECIMENTOS

Ao Prof. Francisco José de Abreu Matos, pela orientação científica, apoio e amizade em todos os momentos.

À Profa. Maria Iracema Lacerda Machado, pelo exemplo de estudo e paciencia.

À Profa. Miriam Pinheiro de Souza pelas valiosas sugestões nas ocasiões oportunas.

Ao Prof. Afrânio Aragão Craveiro, pelo estímulo e ajuda técnica.

Ao Prof. José Paz Parente, pela orientação relativa aos glicosídos.

Ao Prof. Afrânio Gomes Fernandes do Herbário Prisco Bezerra do Departamento de Biologia da UFC, pelas informações botânicas de campo e do herbário.

Ao Prof. Delby Fernandes Medeiros (LTF-UFPb) e José Augusto da Silva Cabral (Univ. Mississippi-USA) pela consecução dos espectros.

Ao Prof. Raimundo Braz Filho, pela contribuição na determinação estrutural das substâncias.

À Profa. Alaíde Braga de Oliveira, pela obtenção de amostras autênticas de antraquinonas.

Aos alunos de pós-graduação e demais professores pela amizade e ajuda no trabalho diário.

Ao CNPq e CAPES pelo apoio financeiro.

A todos os funcionários do Departamento.

LISTA DE FIGURAS

Figura	Página
01. <i>Vatairea macrocarpa</i> Ducke.....	5
02. Espectro no I.V. do crisofanol.....	77
03. Espectro de RMN ¹ H do crisofanol.....	78
04. Espectro de RMN ¹ H dos monoéteres do crisofanol	82
05. Cromatogramas em CLAE do crisofanol e seus éteres em MeOH....	83
06. Cromatogramas em CLAE do crisofanol e seus éteres em MeOH+H ₂ O (9:1).....	84
07. Espectro no I.V. da emodina.....	87
08. Espectro de RMN ¹ H da emodina.....	88
09. Cromatogramas em CLAE da emodina e emodina metilada.....	89
10. Espectro de massa da emodina.....	90
11. Espectro no I.V. da fisciona.....	94
12. Espectro de RMN ¹ H da fisciona.....	95
13. Espectro de massa da fisciona.....	96
14. Cromatogramas em MeOH+H ₂ O (9:1) das antra- quinonas isoladas.....	98
15. Espectro no I.V. de VM-S8.....	103
16. Espectro de RMN ¹ H de VM-S8.....	104
17. Espectro de massa de VM-S8.....	105
18. Espectro no I.V. de VM-S3.....	108
19. Espectro de RMN ¹ H de VM-S3.....	110

Figura	Página
20. Espectro de RMN ¹³ C de VM-S3.....	113
21. Espectro de RMN ¹³ C (APT) de VM-S3.....	114
22. Espectro de massa de VM-S3 hidrogenado.....	115
23. Espectro no I.V. do cicloeucalenol.....	118
24. Espectro de RMN ¹ H do cicloeucalenol.....	120
25. Espectro de RMN ¹ H do cicloeucalenol acetilado.....	121
26. Espectro no I.V. de VM-S6.....	125
27. Espectro de RMN ¹ H de VM-S6.....	128
28. Espectro de massa de VM-S6.....	129
29. Espectro de RMN ¹³ C de VM-S6.....	130
30. Espectro no I.V. de VM-S7 e VM-S11.....	135
31. Espectro de RMN ¹ H de VM-S7 e VM-S11.....	136
32. Cromatogramas em CLAE de VM-S7 hidrolisado e crisofanol.....	139
33. Espectro de RMN ¹ H da aglicona de VM-S11.....	140
34. Espectro no I.V. de VM-S9.....	143
35. Espectro de RMN ¹ H de VM-S9.....	144
36. Espectro de RMN ¹ H de VM-S9 acetilado.....	145
37. Espectro de RMN ¹³ C de VM-S9.....	147
38. Espectro de RMN ¹³ C (APT) de VM-S9.....	149
39. Espectros de massa dos ácidos graxos metilados....	151

LISTA DE TABELAS

Tabela	Página
01. Relação das antraquinonas e seus tipos de biosintese, classificadas por famílias.....	44
02. Absorções no UV das antraquinonas isoladas.....	74
03. Algumas características físicas de 1,8 e 1,5-dixidroxi-3-metilantraquinona.....	79
04. Valores de tempo de retenção e de razão frontal do crisofanol e derivados metilados, emodina e fisciona.....	85
05. Dados físicos do pigmento D, VM-S8 e derivados....	100
06. Dados do espectro de RMN ¹ H de VM-S8 e pigmento D.....	101
07. Comparação dos valores de δ(ppm) de VM-S3 de RMN ¹³ C.....	112
08. Deslocamentos químicos dos protones de cicloartenol, cicloswietenol, ciclosadol, cicloeu calenol acetilado, VM-S4 e VM-S4 acetilado.....	122
09. Valores de deslocamento químico de RMN ¹³ C da α-L-arabinose.....	127
10. Valores de deslocamento químico de RMN ¹³ C da aglicona de VM-S6.....	131
11. Comparação dos valores de RMN ¹ H da aglicona de VM-S11 e VM-S8.....	138
12. Valores de deslocamento químico dos carbonos de VM-S9.....	148

Tabela

Página

13. Concentração dos extractos para teste de anti-	
biose.....	177
14. Resultados dos testes de atividade antimicro	
biana.....	178

LISTA DE FLUXOGRAMAS

Fluxograma

01. Isolamento das antraquinonas.....	172
02. Isolamento dos glicosídios.....	173
03. Isolamento dos triterpenos.....	174
04. Isolamento dos ácidos graxos.....	175

LISTA DE ABREVIATURAS

01. APT = Attached Proton Test.	
02. CCD = Cromatografia em Camada Delgada.	
03. CLAE = Cromatografia Líquida de Alta Eficiência.	
04. EM = Espectrometria de Massa.	
05. ETOH = Etanol.	
05. MeOH = Metanol.	
06. Rf = Razão frontal.	
07. Pf = Ponto de fusão.	
08. VM-S = Sigla referente às substâncias isoladas de <i>Vatairea macro</i>	
carpa.	

LISTA DE QUADROS

Quadro	Página
I. Fragmentação sugerida de VM-S5 no espectrômetro de massa.....	91
II. Fragmentação de VM-S5 ⁽¹¹⁾ no espectrômetro de massa.....	92
III. Fragmentação de VM-S10 no espectrômetro de massa.....	97
IV. Tipos de quebras incomuns em esqueletos triterpênicos.....	111

LISTA DE ESQUEMAS

Esquema	Página
I. Biossíntese via acetato-malonato de antraquinonas.....	13
II. Biossíntese via chiquimato-mevalonato de antraquinonas.....	14
III. Biossíntese via benzofenonas de fungos e liquens.....	15
IV. Caminho biossintético proposto para VM-S6.....	133

RESUMO

Vatairea macrocarpa Ducke é uma árvore de médio porte, de madeira durável e muito amarga, usada em trabalhos de carpintaria e marcenaria.

Extratos de suas folhas, sementes e principalmente do cerne, foram trabalhados quimicamente com vista ao isolamento e caracterização de seus constituintes.

Foram isoladas especialmente duas classes de substâncias: triterpenos e antraquinonas. Dos dois triterpenos isolados, ambos de esqueleto lanostano, um foi identificado como cicloeucaleanol e o outro teve sua proposta estrutural sujeita à confirmação. Três antraquinonas livres foram identificadas como crisofanol, fisciona e emodina. Desta classe foram isolados também a 1,1'8,8',10-pentahidroxi-3,3'-dimetil-10,7'-biantraceno (10'-H,10'-H)-9,9'.diona e quatro glicosídios, um antraquinônico e três antrônicos, cujos açúcares foram identificados como arabinose e ramnose. O crisofanol e a biantracenodiona acima referidos foram identificados como aglyconas de dois dos glicosídios. Propõe-se para os dois outros, que se a mesma estrutura antrônica ligada a um núcleo cromênico ao qual se prende a arabinose, em um caso, e a arabinose e ramnose no outro.

As identificações e determinações estruturais foram efetuadas utilizando-se os meios cromatográficos e espectrométricos usuais.

Um levantamento bibliográfico sobre antraquinonas naturais, sua ocorrência em animais, plantas superiores, fungos e líquens formam um capítulo suplementar desta dissertação.

ABSTRACT

Vatairea macrocarpa Ducke is a medium size tree with a very bitter wood which is largely used in woodworks.

Hardwood, leaves and seeds extracts were submitted to fractionation for isolation and identification for the major constituents.

Two kind of substances were isolated: triterpenes and anthraquinones. Two triterpenes were isolated belonging to the lanostane skeleton, one was identified as cycloecalenol for the second one was proposed a structure to be confirmed.

Three free anthraquinones were identified: chrysophanol, physcion and emodin. From this class were also isolated 1,1',8,8',10-pentahydroxy-3,3'-dimethyl-10,7'-bianthracene(10'H,10'H)-9,9'-dione and four glycosides, one anthraquinonic and three anthronic which sugars were identified as arabinose and rhamnose. The chrysophanol and the bianthracenedione above mentioned were identified as the aglycones of the two glycosides. For the aglycones of the two others glycosides are proposed a structure almost identical to a chromene fused to an anthrone holding an arabinose unit in the first case, and arabinose and rhamnose in the other.

The identifications and structural determinations were done by the usual chromatographic and spectroscopic methods.

A revision about the natural anthraquinone literature its occurrence in animal, plants, fungi and lichens is included as an additional chapter in this thesis.

INDICE

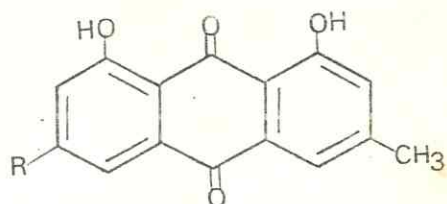
	Página
Agradecimentos.....	vi
Lista de Figuras.....	vii
Lista de Tabelas.....	ix
Lista de Abreviaturas.....	x
Lista de Fluxogramas.....	x
Lista de Quadros.....	xi
Lista de Esquemas.....	xi
Resumo.....	xii
Abstract.....	xiii
Introdução.....	1
A Planta.....	4
Antraquinonas Naturais - Ocorrência, Tipos Estruturais e Biossíntese.....	7
Determinação Estrutural das Antraquinonas.....	72
Determinação Estrutural dos Triterpenos.....	106
Determinação Estrutural dos Glicosídios.....	123
Parte Experimental.....	159
Determinação da Atividade Antimicrobiana de <i>Vatairea macrocarpa</i>	177
Conclusões.....	179
Constantes Físicas dos Constituintes e Derivados.....	180

1. INTRODUÇÃO

O estudo dos constituintes químicos de plantas da flora nordestina tem sido o objetivo dos trabalhos de química de produtos naturais realizados no Curso de Pós-Graduação em Química Orgânica da Universidade Federal do Ceará.

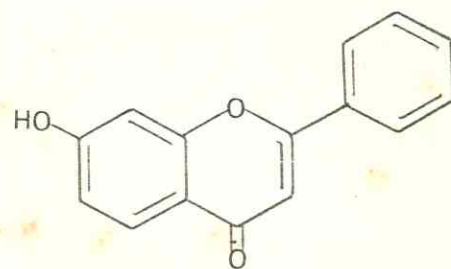
Nesta dissertação é estudada mais uma planta do Nordeste, *Vatairea macrocarpa* Ducke, conhecida vulgarmente como amargoso, nome que lhe é dado pelo intenso sabor amargo de sua madeira. A literatura consultada registra poucas informações sobre duas outras plantas deste gênero *V. heteroptera* e *V. guianensis*^(1,2). Nas três, se registra a ocorrência de crisofanol⁽¹⁾, um composto de natureza antraquinônica. Outra antraquinona, a emodina⁽²⁾, ao lado de ácidos graxos em C₂₆ e C₂₄, 7-hidroxiflavona⁽³⁾, sitosterol⁽⁴⁾ e formononetina⁽⁵⁾ foram encontrados em *V. heteroptera* enquanto outra antraquinona, a fisciona⁽⁶⁾ e uma antrona, a crisofanol-antrona⁽⁷⁾ apareceram em *V. guianensis*. Há informações⁽³⁾ de que sua madeira é usada na fabricação de dormentes para estrada de ferro e que a absorção do pó de sua madeira formado no trabalho de serraria, provoca um efeito purgativo. Estas observações permitiram selecionar esta planta para estudo químico, com o objetivo de encontrar explicações para seu sabor amargo, sua propriedade purgativa e sua resistência à degradação biológica, vez que o único registro bibliográfico sobre constituintes químicos de *V. macrocarpa* se refere à simples determinação por cromatografia em camada delgada da presença de crisofanol⁽¹⁾. Fez-se também um le-

vantamento bibliográfico sobre compostos antraquinônicos naturais e suas respectivas fontes vegetais com vista à descoberta de possíveis correlações de natureza químico-taxonômica.

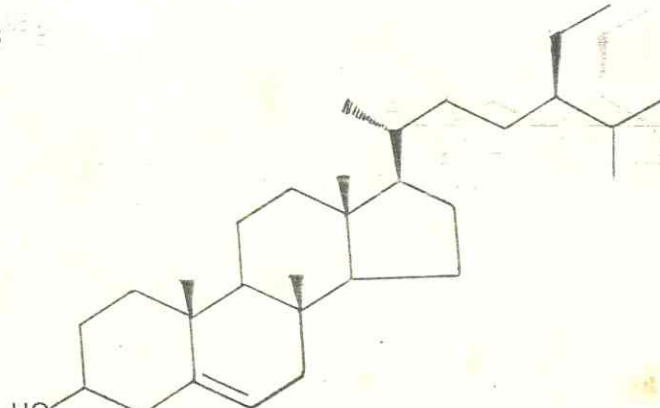


1 - R-H

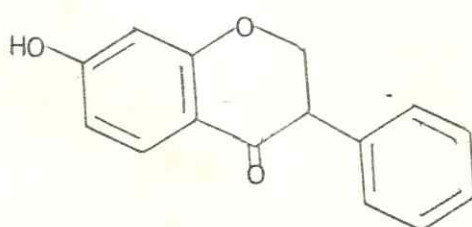
2 - R=OH

6 - R=OCH₃

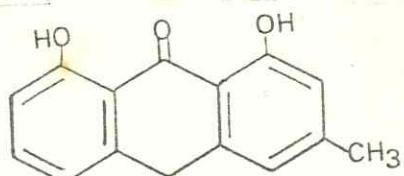
3



4



5



7

Esta dissertação comprehende, assim, uma breve descrição da planta, uma monografia sobre os compostos antraquinônicos naturais, a descrição dos processos de isolamento, determinação estrutural e identificação dos principais constituintes químicos micro-moleculares da planta e súmulas individualizadas contendo as propriedades físicas de cada substância identificada nos diversos extractivos.

1.2. Referências bibliográficas

1. FORMIGA, D., GOTTLIEB, C.R. MENDES, P.H., KOKETSU, M. *Phytochemistry*, 14, 828, 1975.
2. SIMATUPANG, M.H., DIETRICHS, H.H. e GOTTWALD, H. *Holzforschung Bd.* 21, 89, 1967.
3. BRAGA, R. *Plantas do Nordeste, Especialmente do Ceará*, Mossoró, Escola Superior de Agricultura de Mossoró. V. XLII, 3a. Edição, 247, 1976.

2. A PLANTA

A espécie foi anteriormente descrita por DUCKE como *Tipuana amazônica* e por BENTHAN como *Tipuana macrocarpa*. Posteriormente, DUCKE verificou que as duas descrições correspondiam a uma única espécie cujo binome válido passou a ser *Vatairea macrocarpa* (BENTH) DUCKE⁽¹⁾.

V. macrocarpa, leguminosa papilionóidea vulgarmente conhecida por Amargoso e Faveiro⁽²⁾ ocorre em diversas partes das regiões Norte, Nordeste e Centro-Oeste do Brasil. Por ser muito resistente, sua madeira é utilizada em obras de marcenaria e construção. Informações populares relatam sua atividade purgativa consequente ao trabalho de serraria desta madeira.

A descrição botânica transcrita a seguir foi cedida pelo Herbário Prisco Bezerra da UFC.

"Árvore frondosa, cerca de 8-9m de altura. Folhas com 5-7 pares de folíolos coriáceos, ovais de ápice retuso e de base subcordata, peninérveos e reticulado-venoso, com as margens nerviformes. Estípulas nulas.

Flores violáceas dispostas em panículas amplas, terminais. Cálice glabro ou pubérulo. Corola com a peça vexilar oval-emarginata. Estames monoadelados, com o vexilar quase livre. Ovário uniovulado, estipitado, com o estilete incurvo.

Fruto sâmara, com asa terminal provida de venação pouco pronunciada".



Fig.1. *Vatarea macrocarpa* (Benth) Ducke

* Adaptado da Flora Brasiliensis, Martius

Referências bibliográficas

1. BURKAIT, A. "Las Leguminosas Argentinas Silvestres e Cultivadas", 2a. Ed. Acme Agency, Buenos Aires, 231, 1952.
2. BRAGA, R. "Plantas do Nordeste, Especialmente do Ceará", Mossoró, Escola Superior de Agricultura de Mossoró, Vol. XLII , 3a. Ed. 247, 1976.

3. ANTRAQUINONAS NATURAIS - Ocorrência, tipo estruturais e biossíntese.

3.1. Introdução

As antraquinonas estão presentes na história desde os tempos mais remotos. Consta na Bíblia, Jo (19,39), que antes de ser sepultado o corpo de Jesus Cristo foi preparado com mirra e aloes, sendo o aloes um produto vegetal rico em antraquinonas.

Segundo o uso tradicional, as antraquinonas podem ser agrupadas em dois tipos: as que apresentam atividade purgativa e as usadas como corante. Verifica-se atualmente uma grande diversificação da atividade biológica, registrando-se as seguintes: os haloderivados como herbicidas, os aminoderivados como carcinogênicos e como antitermita, fungicida, helminticida, antipsoriático, moluscicida, bactericida e tuberculostático, outros tipos de derivados.

Modernamente, as antraquinonas se destacam no campo da síntese orgânica em laboratório como sensitizador de fotopolimerização, inibidor de peroxidase, estabilizador de peróxido e indicador ácido para catálise. Elas apresentam ainda, utilidades diversas na indústria, quer em seu uso tradicional como corante para plásticos, poliésteres, algodão, antidegradante de celulose e lignina, como nos mais arrojados campos da tecnologia, por exemplo na fabricação de telas de cristal líquido, catalisador de fotodegradação de plásticos, agentes anticorrosivos e em eletrofotografia.

A aplicação de sua propriedade purgativa no entanto, con-

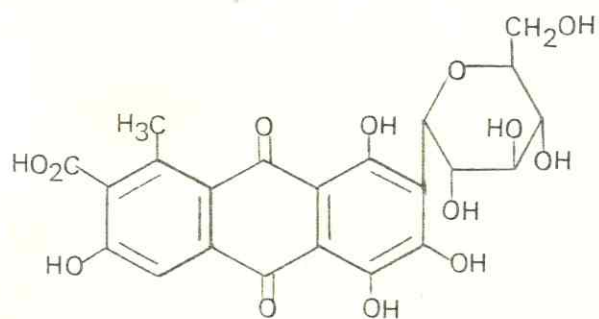
tinua contribuindo para a enorme demanda que existe no mundo desse tipo de substância, haja vista que o Japão importa cerca de 400T ao ano de compostos antraquinônicos para fins medicinais, e os Estados Unidos cerca de 140 toneladas anuais⁽²⁾.

3.2. Ocorrência em animais e plantas

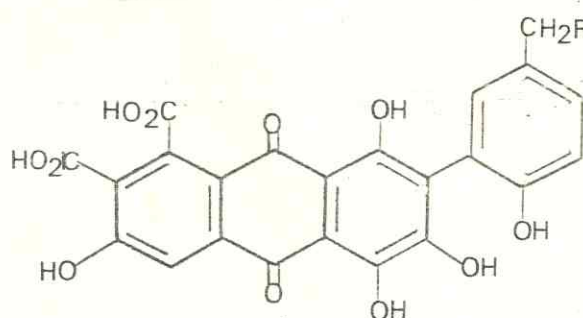
As antraquinonas estão distribuídas largamente no reino vegetal, desde as plantas superiores até aos fungos e liquens. Não há registro, no entanto de sua ocorrência em algas, musgos, fetos e gimnospermas⁽³⁾.

3.2.1. Antraquinonas de origem animal

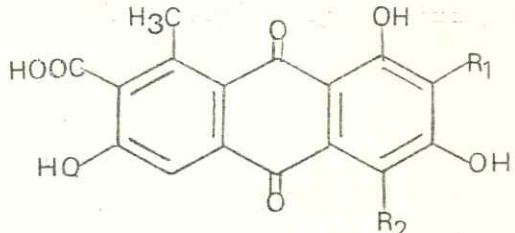
Várias antraquinonas de procedência animal são citadas na literatura⁽⁴⁾. O primeiro registro se refere a um corante posteriormente identificado como ácido carmínico⁽⁵⁾ que era utilizado pelos incas no Peru e está presente em um pequeno inseto, a colchinilha (*Dactylopius coccus* Costa).



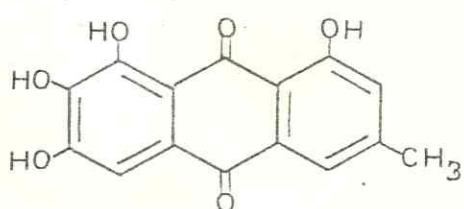
Depois de 1830, foi desenvolvido o cultivo da colchinilha na Espanha, Algéria, Ilhas Canárias e Java. O pigmento é obtido do inseto fêmea do qual se extrai cerca de 10% de ácido carmínico. Outras antraquinonas isoladas de insetos coccideos são relatadas. As antraquinonas chamadas ácidos laccaicos A,B,C,D e E (respectivamente 9,10, 11, 12 e 13) e eritrolacina (14), isoeritrolacina (15) deoxieritrolacina (16) são obtidos de *Laccifer lacca* Kerr. Extrai-se também a 7-hidroxiemodina (17) de *Eriococcus confusus* MasKell, o ácido quermésico (18) de *Kermococcus ilicis* L. e o ácido ceroalbólico (19) de *Ceroplastes albolineatus*, todas elas apresentando um padrão de substituição que se afasta bastante daquele que se observava em antraquinonas de plantas, exceto a 7-hidroxiemodina que é comum nestas.



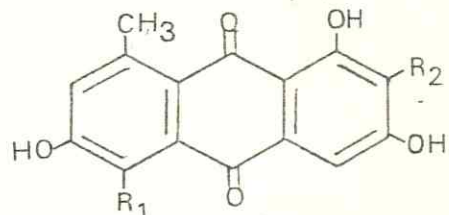
- 9: R=CH₂NHAc
- 10: R=CH₂OH
- 11: R=CH(NH₂)COOH
- 13: R=CH₂NH₂



- 12: R₁= R₂ = H
- 18: R₁= H; R₂=OH
- 19: R₁= OH; R₂=H

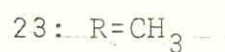
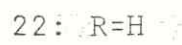
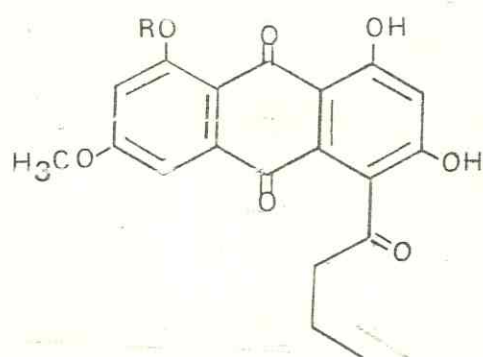
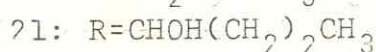
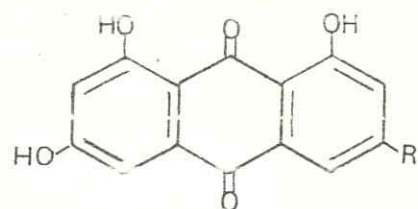


17



- 14: R₁= OH; R₂= H
- 15: R₁= H; R₂= OH
- 16: R₁= R₂= H

Outros insetos, não coccídeos, dos quais se obtém antraquinonas, são: *Ptilometra australis* Wilton (Ptilometridae) fornecendo isorhodoptilometrina (20) e S-rhodoptilometrina (21), *Comatula pectinata* L. e *C. cratera* A.H. Clark (Comasteridae) produzindo rhodocomatulina-6-metileter (22) e rhodocomatulina-6,8-dimetil éter (23).



3.2.2. Antraquinonas de plantas superiores

As antraquinonas de plantas superiores ocorrem principalmente em quatro famílias fornecedoras das conhecidas drogas purgativas. Estas famílias são: Polygonaceae (Ruibarbo), Liliaceae (Aloes) Leguminosas (Sene) e Rhamnaceae (Cáscara Sagrada). Pesquisa bibliográfica abrangendo o período de 78 anos (1907-85) indica porém a existência de 210 espécies, nas quais ocorrem 130 compostos antraquinônicos. Quatro famílias detêm o maior número de espécies portadoras de antraquinonas: Rubiaceae com 53 espécies, Polygonaceae com 43 espécies, Caesalpiniaceae com 23 espécies e Liliaceae com

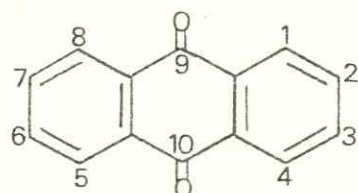
21 espécies. Outras 66 espécies estão distribuídas em 23 outras famílias. Esta distribuição é mostrada na Lista I onde se discrimina as espécies respectivas famílias e as antraquinonas delas isoladas. Estas são encontradas em todas as partes do vegetal pois nada foi encontrado com relação a que órgãos específicos da planta elas são formadas preferencialmente (Lista I).

3.2.3. Antraquinonas de fungos e líquens

Muitas das antraquinonas produzidas por fungos e líquens são encontradas em plantas superiores, porém, algumas delas têm sua produção ligada exclusivamente aos fungos e líquens (Lista II e III).

3.3. Caminhos de biossíntese

Quanto ao padrão de substituição as antraquinonas naturais isoladas de plantas superiores pertencem principalmente a dois tipos estruturais: a) antraquinonas substituídas em somente um dos anéis que se formam via mista chiquimato-mevalonato; b) antraquinonas substituídas nos dois anéis que em geral se formam via acetato-malonato. O esqueleto carbônico e a numeração estão representados na estrutura desenhada a seguir:



3.3.1. Biossíntese via acetato-malonato (Tipo I)

O caminho biossintético que leva a formação deste tipo estrutural envolve a condensação de uma unidade de acetilcoenzima A como iniciador e sete unidades de malonilcoenzima A como continuador, que conduz a uma cadeia poli-beta-cetometilênica da qual se forma a antrona (26) que posteriormente sofre oxidação em C10 ou C9 a uma antraquinona (Esquema II). Modificações no precursor formal originam enorme diversidade de derivados antraquinônicos dessa classe.

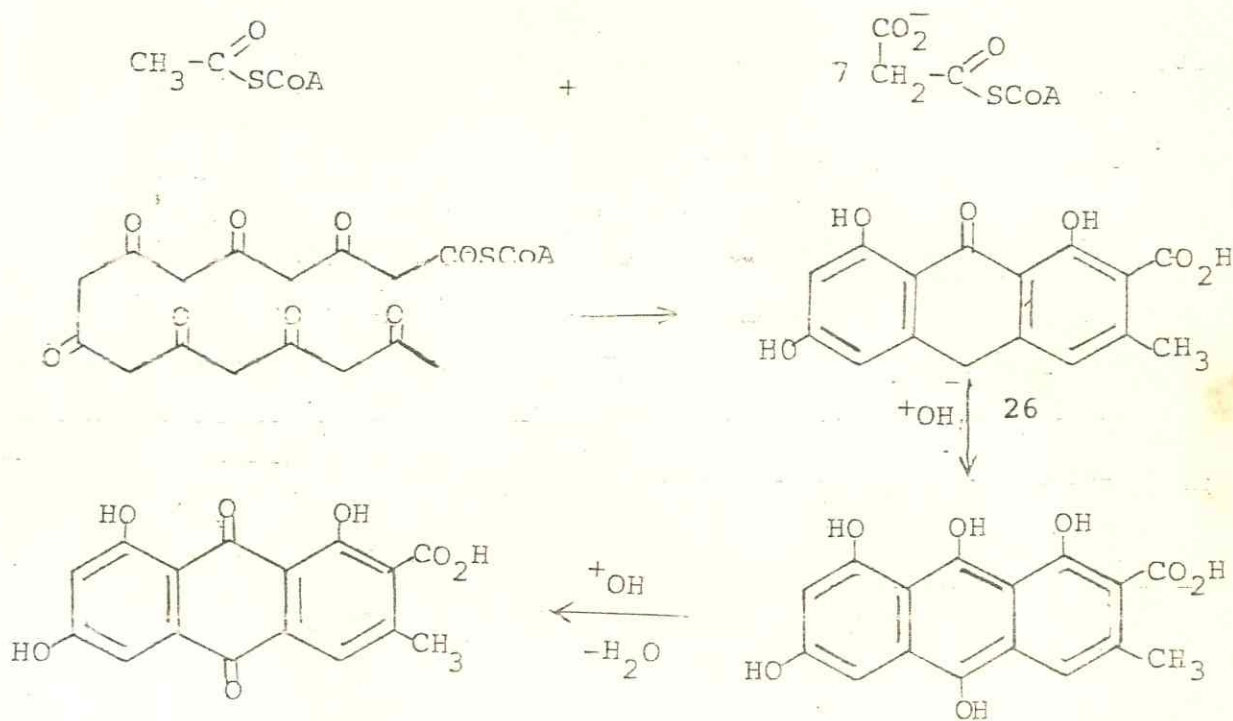
As famílias que contêm mais representantes que se formam via acetato-malonato são: Caesalpiniaceae contendo 18 diferentes derivados, Rubiaceae com 17 derivados, Scrophulariaceae com 14 derivados e Rhamnaceae possuindo 12 derivados (Tabela 1, pág. 44).

Constam na literatura seis exemplos de antraquinonas cuja estrutura não se enquadram exatamente em nenhuma das vias comprovadas (Tipo III). Admitiu-se a princípio, tratar-se de um terceiro caminho biossintético para antraquinonas de plantas superiores, porém, após análise de literatura atualizada concluiu-se que o caminho biossintético que forma estas antraquinonas seguia as vias tradicionais já descritas com modificações incomuns⁽⁸¹⁾.

De acordo com a tabela 1, poucas famílias se restringem a produzir antraquinonas de um só tipo biossintético e este fato ocorre preferencialmente com aquelas que produzem antraquinonas do tipo I. Observam-se que Caesalpiniaceae, Clusiaceae e Fabaceae produzem somente antraquinonas via acetato-malonato enquanto as Rubiaceae produzem 15 derivados via chiquimato-mevalonato, 17

derivados via acetato-malonato e 4 derivados modificados (Tipo III).

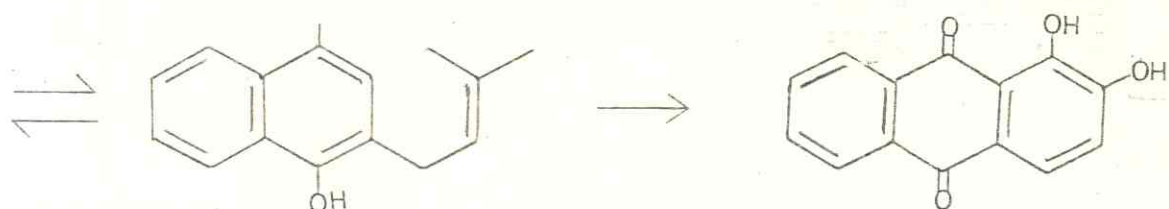
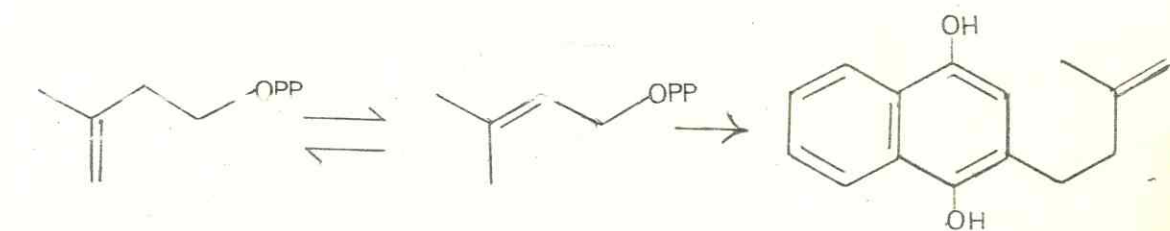
Esquema I .. Biossíntese de antraquinonas via acetato-malonato.



3.3.2. Biossíntese via chiquimato-mevalonato (Tipo II)

O caminho desta via biossintética se inicia a partir do ácido chiquímico (24)⁽⁴⁾, o qual incorpora três átomos de carbono oriundos do glutamato levando a um precursor intermediário em C10 (25) tipo naftoquinônico. Este intermediário sofre prenilação levando a formação de terceiro anel. Ocorrem em seguida, modificações como descarboxilação, hidroxilação, metilação, etc. (Esquema I).

Esquema II. Biossíntese de antraquinona via chiquimato-mevalonato.



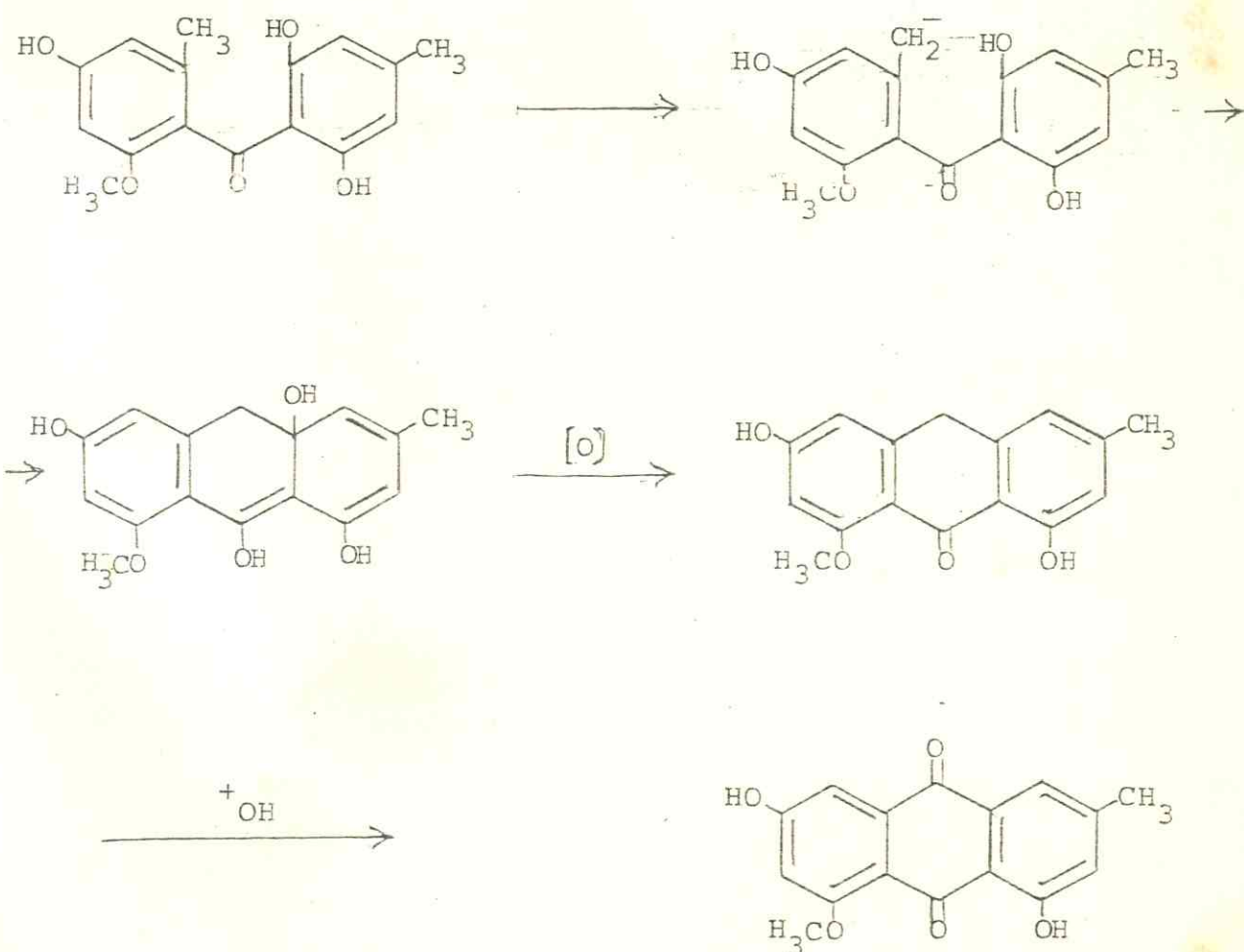
alizarina

Neste tipo estrutural estão englobadas 57 antraquinonas que ocorrem principalmente em Rubiaceae que apresentam 15 diferentes derivados, Scrophulariaceae com 19 derivados, Bignoniaceae com 9 derivados e Verbenaceae com 10 derivados (Tabela 1 ,pág. 44).

3.3.3. Caminho biossintético de antraquinonas de fungos e líquens

Uma terceira teoria é proposta para explicar o caminho biossintético das antraquinonas isoladas de fungos e líquens⁽⁵⁾. Devido a co-ocorrência de benzofenonas e antraquinonas observadas em culturas de *Aspergillus terreus* e *Penicillium frequentans* foi possível sugerir que as antraquinonas de fungos e líquens se formam a partir de benzofenonas (Esquema III).

Esquema III. Biossíntese de antraquinonas de fungos e líquens.



3.3.4. - Distribuição de antraquinonas em plantas superiores, fungos e líquens.

Este ítem corresponde a uma revisão bibliográfica sobre antraquinonas sua distribuição na natureza e seus tipos estruturais. Inicialmente foram preparadas com auxílio de microcomputador três listas ordenadas alfabeticamente pelos nomes das espécies produtoras de antraquinonas e compostos correlatos, compreendendo plantas superiores, fungos e líquens, suas respectivas antraquinonas, bem como os número referentes a bibliografia consultada.

Em seguida foi preparada a relação das antraquinonas de plantas superiores e seus respectivos tipos de biossíntese, dispositos por ordem alfabética das famílias botânicas. Nesta tabela foi incluído também uma coluna indicativa do número de vezes que a antraquinona foi registrada em espécies de cada família, o que permite uma avaliação do tipo de biossíntese preferencial em cada caso.

Para facilitar a interpretação dos nomes vulgares encontrados na literatura pertinente, foi incluída neste ítem uma lista dos nomes vulgarmente utilizados para denominar as antraquinonas e de seus correspondentes nomes químicos, de acordo com a nomenclatura adotada em Chapman & Hall (Ed.,) Dictionary of Organic Compounds N.Y., (USA), 5th Ed., 1982.

Complementando este conjunto de informações há uma coleção de 153 fórmulas estruturais, assinaladas com numeração sequencial, que encontra correspondências na lista dos nomes vulgares.

Lista I. DISTRIBUIÇÃO DE ANTRAQUINONAS EM PLANTAS SUPERIORES - Listagem por espécies

ESPECIES	FAMÍLIAS	PARTES ESTUDADA	ANTRAQUINONAS	REF.
ABRUS CANTONIENSIS (*)	Fabaceae	NÃO REFERIDA	CRISOFLANOL	006
			FISCIONA	006
ADIPERA JAHNII (=SENNIA SANTANDERENSIS (BRIT.& KILL.) I.B.)	Caesalpiniaceae	POL/RAM/SEM	CRISAZINA	007
AFROMOMUM GIGANTEUM K.SCHUM.	Zingiberaceae	CAULE	CRISOFLANOL	008
			FISCIONA	008
ALOE APRICANA MILL.	Liliaceae	POLHAS	ALOE-EMODINA	009
			CRISOFLANOL	009
ALOE ARBORESCENS v. NATALENSIS BERGER.			ALOE-EMODINA	010
ALOE BARBARENSES MILL. (=A. VERA L.)			ALOE-EMODINA	011
			CRISOFLANOL	011
ALOE MONOTHALL BERGER			ALOE-EMODINA	012
ALOE PRETORIENSIS POLE EVANS			ALOE-EMODINA	012
ALOE SAPONARIA HAW.			ALOE-EMODINA	009
		CAULE	ALOE-SAPONARINA-I	013
			ALOE-SAPONARINA-II	014
		FOLHA	CRISOFLANOL	009
			DEOXIERITROLACCINA	015
ALVARADORIA AMORPHOIDES LIEBM.	Simaroubaceae	RAMOS	CRISOFLANOL	016
			SKIKIZARINA	016
AMENTOTAXUS ARGOTARENIA PILGER.	Taxaceae	CERNE	ANTRAGALOL,2,3-DIOME	017
			CRISOFLANOL	017
ANTENNARIA DIOICA GRERTN.	Asteraceae	NÃO REFERIDA	NÃO IDENTIFICADA	018
ASPERULA CILIATA ROCHEL.	Rubiaceae	RAIZ	ALIZARINA	019
ASPERULA ODORATA L.			ALIZARINA	019
			ALIZARINA,1-OHE	020
			ALIZARINA,2-OHE	020
			ANTRAQUINONA,1-MEO,2-ME	021
			ANTRAQUINONA,2-MEO	021
			ANTRAQUINONA,2-OH	021
			LUCIDINA	022
			PSEUDOPURPURINA	023
			PURPURINA	024
			RUBIARDINA	025
			XANTHOPURPURINA	025

DISTRIBUIÇÃO DE ANTRAQUINONAS EM PLANTAS SUPERIORES - Listagem por espécies

ESPECIES	FAMILIAS	PARTE ESTUDADA	ANTRAQUINONAS	REF.
ASPERULA ODORATA L.	RUBIACEAE	RAIZ	XANTHOPURPURINA, DIOME	025
RSPHODELINE LUTEA REICHB.	LILIACEAE	RAIZ	ALOE-EMODINA	026
			CRISOFLANOL	027
RSPHODELUS ALBUS WILD. v. DELPHINENSIS		TÚBERCULO	ALOE-EMODINA	028
			CRISOFLANOL	028
RSPHODELUS ALBUS WILLD.		RAIZ	ALOE-EMODINA	028
			CRISOFLANOL	027
RSPHODELUS CERASIFERUS F. GRAY		TÚBERCULO	ALOE-EMODINA	028
			CRISOFLANOL	028
RSPHODELUS MICROCARPUS (a)			ALOE-EMODINA	028
			CRISOFLANOL	028
			CRIZASINA	028
BULBINE ANNUA WILLD.		FOLHAS/RAIZ	ALOE-EMODINA	009
			CRISOFLANOL	009
BULBINE RSPHODELOIDES SPRENG.			ALOE-EMODINA	009
			CRISOFLANOL	009
CAJANUS CAJAN MILLSP. (=C. INDICUS SPRENG.)	FABACEAE	CC DA RAIZ	CAJAUQUINA	029
CASSIA ACUTIFOLIA DELILE (=C. SENNA L.)	CAESALPINIACEAE	FOLHA/FRUTO	ALOE-EMODINA	030
			CRISOFLANOL	031
CASSIA ALATA (b)		RAIZ	ISOCRISOFLANOL, 3-OH	015
CASSIA DIDYMOBOTRYA BENTH. (=SENNAR DIDYMOBOTRYA (PRES) IB.)		FOLHAS	ALOE-EMODINA	032
			CRISOFLANOL	032
CASSIA FRONDOSA (c)		NAO REFERIDA	CRISOFLANOL	032
			EMODINA	033
			RHEINA	033
CASSIA GARRETIANA CRAIB. (=SENNA GARRETIANA (CRAIG.) IB.)		CERNE	CRISOFLANOL	034
CASSIA JAVANICA RIED.		FOLHAS	ALOE-EMODINA	035
			CRISOFLANOL	035
			RHEINA	035

DISTRIBUIÇÃO DE ANTRAQUINONAS EM PLANTAS SUPERIORES - Listagem por espécies

ESPÉCIES	FAMÍLIAS	PARTES ESTUDADAS	ANTRAQUINONAS	REF.
CASSIA MARGINATA ROXB.	CRESALPINIACERAE	SEMENTE	CRISOFANOL	036
			EMODINA	036
			FISCIONA	036
CASSIA MARILANDICA L. (=SENNA MARILANDICA (L.) LINK.)		FOLHAS	CRISOFANOL	037
			FISCIONA	037
CASSIA OBTUSIFOLIA L. (=SENNA OBTUSIFOLIA (L.) IB.)		SEMENTE	AURANTIO-OBTUSINA	038
			CRISOFANOL	039
			FISCIONA	039
			OBTUSINA	038
CASSIA OCCIDENTALIS L. (=SENNA OCCIDENTALIS (L.) IB.)		RAIZ	CRISOFANOL	040
			EMODINA	040
			FISCIONA	040
			HELMINTHOSPORINA	040
			ISLANDICINA	040
			XANTHORINA	040
CASSIA OVATA MERAT & LENS ex GEIGER		FOLHA	NÃO IDENTIFICADA	006
CASSIA PODOCARPA GUILL. & PERR.			EMODINA	041
CASSIA PUMILA LAM. (=SENNA COBANENSIS (BRIT. & ROSE) IB.)			EMODINA	042
			FISCIONA	042
CASSIA RENIGERA WALL.		SEMENTES	ISOCRISOFANOL 3,5,7-TRIMEO	043
CASSIA RETICULATA WILLD. (=SENNA RETICULATA (WILLD.) IB.)		FOLHA	CRISOFANOL	044

DISTRIBUIÇÃO DE ANTRAQUINONAS EM PLANTAS SUPERIORES - Listagem por espécies

ESPECIES	FAMILIAS	PARTES ESTUDADA	ANTRAQUINONAS	REF.
CASSIA RETICULATA WILLD. (=SENN RETICULATA (WILLD.) IB.)	CRESALPINIACEAE	FOLHA	EMODINA	044
CASSIA ROGEONI GHESQ.		FOLIOLOS	CRISOFANOL	045
			EMODINA	045
			FISCIONA	045
CASSIA SENNA L. (=SENN ALEXANDRINA P.MILL.)		CULT.TECIDO	ALOE-EMODINA	046
		FOL/FRUTO	ALOE-EMODINA	029
		CULT.TECIDO	CRISOFANOL	046
			EMODINA	046
			FISCIONA	046
			RHEINA	046
CASSIA SINGEANA DELILE (=C. GORATENSIS FRESEN.)		RAIZ/SEMENTE	CRISOFANOL	047
			COPAREOLATINA,1,(5)6,7,TRIOME	047
			FISCIONA	047
CASSIA SOPHERA (d)		CERNE	EMODINA,2,7-DIOH,6,7-DIOME	048
			EMODINA,2-OH,7-MEO,8-OME	048
	CC DA RAIZ		ISOCRISOFANOL,3,6-DIMEO,7-VINIL	049
			ISOCRISOFANOL,3,6-DIMEO	049
CASSIA SPECTABILIS DC. (=SENN SPECTABILIS v. SPECTABILIS IB.)		RAIZ	ISOCRISOFANOL,3-OH	015
CASSIA TORA L. (=SENN OBTUSIFOLIA (L.) IB.)		SEMENTE	CRISO-OBTUSINA	050
			CRISOFANOL	051
CASSIA TOROSA CRAVE (=SENN SOPHERA (L.) ROXB.			CRISOFANOL	052

DISTRIBUIÇÃO DE ANTRAQUINONAS EM PLANTAS SUPERIORES - Listagem por espécies

ESPECIES	FAMILIAS	PARTES ESTUDADA	ANTRAQUINONAS	REF.
CASSIA TOROSA CRAVE (=SENNA SOPHERA (L.) ROXB.	MESALPINIACERE	SEMENTE	EMODINA	052
			FISCIODINA	052
CINCHONA LEDGERIANA MOENS. EX TRIMEN	RUBIACEAE	CASCA	NÃO IDENTIFICADA	053
CLAUSENA HEPTAPHYLLA WIGHT. & ARN.	RUTACEAE		TECTOQUINONA	054
CLUYTIA SIMILIS MUELL. ARG.	EUPHORBIACEAE	FOLHAS	CRISOFRANOL	027
COELOSPERMUM PANICULATUM F. MUELL.	RUBIACEAE	CO DA RAIZ	DAMNACANTHOL	055
			NORDAMNACANTHAL	056
			RUBIADINA	025
COELOSPERMUM RETICULATUM BENTH.			COELULATINA	057
			LUCIDINA	022
			RUBIADINA	025
			XANTHOPURPURINA, 3-OHE, 6-ME	055
COMMITHECA LIEBRECHTSIANA (DE WILLD. & THDUR.) BREMEK.		RAIZ/CASCA	LUCIDINA	058
			RUBIADINA	058
COPROSMA ACEROSA A. CUNN.	CASCA		ANTRAQUINONA, 3-OH, 2-ME	059
			LUCIDINA	022
			RUBIADINA	025
			SORANGIDIOL	060
COPROSMA AREOLATA CHEEEM.			COPAREOLATINA	061
			MAJORONAL	061
COPROSMA AUSTRALIS ROBINSON			COPAREOLATINA, DIOME	062
			MORINDONA	063
			RUBIADINA	025
			SORANGIDIOL	060
COPROSMA FOETIDISSIMA (e)			NÃO IDENTIFICADA	064
COPROSMA LUCIDA FORST.			ANTRAQUINONA, 3-OH, 3-ME	059
			LUCIDINA	022
	RAIZ		SORANGIDIOL	024
COPROSMA LUNARIIFOLIA HOOK.	CASCA		ANTRAGALOL, 1,3-DIOME	065
COPROSMA PARVIFLORA HOOK.	RAIZ		ALIZARINA, 1-OHE	066
			ALIZARINA, 2-OHE	066

DISTRIBUIÇÃO DE ANTRAQUINONAS EM PLANTAS SUPERIORES - Listagem por espécies

ESPECIES	FAMILIAS	PARTES ESTUDADA	ANTRAQUINONAS	REF.
COPROSMIA PARVIFLORA HOOK.	RUBIACEAE	RAIZ	ALIZARINA,6-ME MORIDONA RUBIADINA RUBIADINA RUBIADINA,1-OHE RUBIADINA,1-OHE	066 066 066 025 066 067
COPROSMIA RAMMINOIDES A.CUNN.		CC DA RAIZ	ANTRAGALOL,1,2-DIOME	065
CRUCIANELA MARITIMA L.		RAIZ	ALIZARINA	019
DALBERGIA SISSOD ROXB.	FRACACEAE	CASCA	XANTHORINA	068
DAMNACANTHUS INDICUS v. MICROPHYLLUS MAKINO	RUBIACEAE	RAIZ	DAMNACANTAL JUZUNOL	056 069
DAMNACANTHUS MAJOR SIEB. & ZUCE			DAMNACANTAL DAMNACANTOL JUZUNAL JUZUNOL MAJDRONAL NORDAMNACANTOL NOR JUZUNAL XANTHOPURPURINA,2-BENZIL	056 055 070 069 071 056 069 072
DAMNACANTHUS MAJOR v. PARVIFOLIUS KOIZ.			JUZUNAL JUZUNOL	070 070
DIGITALIS CANARIENSIS v. ISABELLIANA LINDINGER	SCROPHULARIACEAE	FOLHA	ANTRAQUINONA,2-ME,3-OH PACHYBASINA METIL ETER	059 073
DIGITALIS FERRUGINEA L.		RAIZ	DIFERROL DIFERRUGINOL PHOMARINA	074 074 074
DIGITALIS GRANDIFLORA MILLER			PHOMARINA	074
DIGITALIS LAMARKII WERNER			ANTRAQUINONA,10H,3COOH ANTRAQUINONA,10H,(x)CHAZOAH	074 074

DISTRIBUIÇÃO DE ANTRAQUINONAS EM PLANTAS SUPERIORES - Listagem por espécies

ESPECIES	FAMILIAS	PARTES ESTUDADA	ANTRAQUINONAS	REF.
DIGITALIS LAMARKII WERNER	SCROPHULARIACEAE	RAIZ	DIGITOLUTEINA ISOCRISOFANOL MADEIRINA PACHYBASINA PHOMARINA TECTONA,3,8-DIOH,4-MEO TECTONA,5-MEO,8OH ZIGANEINA	074 074 074 074 074 074 074 074
DIGITALIS LANATA EHRH.		FOLHAS	ANTRAQUINONA,1-MEO,2-ME ANTRAQUINONA,2-ME,3-MEO DIGITOLUTEINA PACHYBASINA	021 059 066 075
DIGITALIS LUTEA L.			DIGITOLUTEINA	066
DIGITALIS ORIENTALIS (f)		RAIZ	DIGITOLUTEINA ISOCRISOFANOL MADEIRINA PACHYBASINA PHOMARINA ZIGANEINA	076 013 076 075 014 014
DIGITALIS PURPUREA L.		FOLHAS	ALIZARINA,3-ME ANTRAQUINONA,1-MEO,2-ME ANTRAQUINONA,2-ME,3-MEO CRISOFANOL DIGITOLUTEINA DIGITOPURPONA ISOCRISOFANOL PACHYBASINA METIL ETER PHOMARINA,6-OHE	066 021 059 027 066 077 013 073 078
DIGITALIS SCHISHKINII WERNER		RAIZ	DIGITOPURPONA ISOCRISOFANOL MADEIRINA PHOMARINA QUINIZARINA,2-ME ZIGANEINA	079 013 076 014 014 014
DIGITALIS TROJANA WERNER			ALIZARINA,3-ME	074

DISTRIBUIÇÃO DE ANTRAQUINONAS EM PLANTAS SUPERIORES - Listagem por espécies

DISTRIBUIÇÃO DE ANTRAQUINONAS EM PLANTAS SUPERIORES - Listagem por espécies

ESPECIES	FAMILIAS	PARTE ESTUDADA	ANTRAQUINONAS	REF.
GALIUM MOLLUGO L.	RUBIACEAE	RAIZ	ANTRAQUINONA,2-OH PSEUDOPURPURINA PURPURINA RUBIADINA XANTHOPURPURINA	021 023 024 067 067
GALIUM PUMILLUM L.			ALIZARINA ALIZARINA,1-OHE ALIZARINA,2-OHE ANTRAQUINONA,1-MEO,2-ME ANTRAQUINONA,1-OH,2-ME ANTRAQUINONA,2-MEO ANTRAQUINONA,2-OH PSEUDOPURPURINA PURPURINA RUBIADINA XANTHOPURPURINA	019 020 020 019 019 019 019 023 024 067 067
GALIUM SOYATTE L.			ALIZARINA ALIZARINA,1-OHE ALIZARINA,2-OHE ANTRAQUINONA,1-MEO,2-ME ANTRAQUINONA,1-OH,2-ME ANTRAQUINONA,2-MEO ANTRAQUINONA,2-OH PSEUDOPURPURINA PURPURINA RUBIADINA XANTHOPURPURINA	019 020 020 021 021 021 021 023 024 067 067
GALIUM VERUM L.			ALIZARINA ALIZARINA,1-OHE ALIZARINA,2-OHE ANTRAQUINONA,1-MEO,2-ME ANTRAQUINONA,1-OH,2-ME ANTRAQUINONA,2-MEO ANTRAQUINONA,2-OH RUBIADINA	021 020 020 021 021 021 021 067

DISTRIBUIÇÃO DE ANTRAQUINONAS EM PLANTAS SUPERIORES - Listagem por espécies

ESPECIES	FAMILIAS	PARTES ESTUDADA	ANTRAQUINONAS	REF.
GALIUM VERUM L.	RUBIACEAE	RAIZ	XANTHOPURPURINA	067
GYMNEMA SYLVESTRE (RETZ.) SCHULT.	ASCLEPIADACERE	FOLHAS	NÃO IDENTIFICADA	083
HAPLOPAPPUS BAYLAHVEN REMY	ASTERACEAE	FOLHA/LENHO	CRISOFANOL	084
			EMODINA	084
			QUINISARINA	084
		FOLHA/CAULE	RHEINA	084
HARUNGANA MADAGASCARIENSIS POIR.	CLusiaceae	CASCA	CRISOFANOL	027
			FISCIONA	027
			MADAGASCINA	027
HEDIOTES AURICULARIA L.	RUBIACEAE	RAIZ/CAULE	ALIZARINA	019
HEDIOTES DIFFUSA WILD.		PLANTA	ANTRAQUINONA,2,3-DIMO,7-ME	085
			ANTRAQUINONA,2-ME,3-OH	085
			ANTRAQUINONA,2-ME,3-MEO	085
			ANTRAQUINONA,2-ME,3-OH,4-MEO	085
HEMEROCALLIS CITRINA BARONI	LILIACEAE	RAIZ	ALOE-EMODINA	086
			CRISOFANOL	086
			HEMEROCAL	086
			OBTUSIFOLINA	086
			OBTUSIFOLINA,2-MEO	086
			CRISOFANOL	087
HEMEROCALLIS MINOR BARONI			RHEINA	087
HYMENODICTIUM EXCELSUM WALL.	RUBIACEAE	RAIZ	ALIZARINA,6-ME	066
			ANTRAGALLOL	065
			DAMNACANTHAL	066
			LUCIDINA	066
			NORDAMNACANTHAL	056
			SORANJIDIOL	060
			XANTHOPURPURINA,2-BENZIL	088
ISOPLEXIS CANARIENSIS LINDLEY EX G.DON SCROPHULARIACEAE	FOLHA		ANTRAQUINONA,1-MED,3-ME	074
			ANTRAQUINONA,2-MEO,3-ME	074
ISOPLEXIS SCEPTRUM LINDLEY EX G.DON			ANTRAQUINONA,1,4-DIOH,3-ME	074
		FOLHA/CAULE	ANTRAQUINONA,2-MEO,3-ME	076
			MADEIRINA	076
		FOLHA	PACHYBASINA	074

DISTRIBUIÇÃO DE ANTRAQUINONAS EM PLANTAS SUPERIORES - Listagem por espécies

ESPECIES	FAMÍLIAS	PARTES ESTUDADA	ANTRAQUINONAS	REF.
JUNIPERUS FORMOSANA KAYATA	CUPRESSACEAE	CERNE	EMODINA	089
KARVINSKIA HUMBOLDTIANA ZUCC.	RHAMNACEAE	SEMENTE	NÃO IDENTIFICADA	090
KNIPHOFIA ALOIDES MOEN.	LILIACERE		RHEINA	091
KNIPHOFIA FOLIOSA HOCHST.		RAIZ	CRISOPANOL	092
KNIPHOFIA UVARIA HOOK. (=K. ALOIDES MOEN.)		SEMENTE	RHEINA	092
LASIANTHUS CHINENSIS BENTH.	RUBIACERE	CAULE	DAMNACANTHAL	056
LIBERTIA COERULESCENS KUNTH.	IRIDACEA	FOL/CAU/RA	ALIZARINA CRISOPHÑOL EMODINA QUINIZARINA	060 027 093 060
LIBERTIA IXIOIDES SPRENG.		FOLHAS	EMODINA	093
LITHOSPERMUM ERYTHRORHIZON SIEB.	BORAGINACEAE	RAIZ	ISOCHRISOPANOL,3-OH SKIKIZARINA	014 014
LUTZELBURGIA AURICULATA DUCKE	FABACERE	CERNE	CRISOPANOL	094
MESOPSIS EMINII ENGL.	RHAMNACEAE	RAIZ/CASCA	CRISOPANOL CYNODONTINA ISLANDICINA XANTHORINA	027 095 096 097
MELANOXYLON BRAUNA SCHOTT.	FABACERE	CASCAS	ALIZARINA,6,7-DIOH,8-MEO,3-ME ALOE-EMODINA,6-MEO,8-OHE EMODINA,6,8-DIOME,7-OH	037 098 098
MORINDA ANGSTIFOLIA (g)	RUBIACERE	FOLHA/CAULE	MORINDONA	099
MORINDA CITRIFOLIA L.		CERNE	ALIZARINA	019
			ALIZARINA,1-OHE	020
		RAIZ	ANTRAGALLOL,1,2-DIOME	065
		CERNE	ANTRAGALLOL,2,3-DIOME	065
		CULT.TECIDO	ANTRAQUINONA,2-ME,3,5,6-TRIOH	100
		CERNE	DAMNACANTHAL	056
		RAIZ	DAMNACANTHOL	055
		CULT.TECIDO	LUCIDINA,5,6-DIOH	100
		CERNE	MORINDONA	063
		CULT.TECIDO	MORINDONA,3-OH	100
		RAIZ	NORDAMNACANTHAL	056
			RUBIRDINA	025

DISTRIBUIÇÃO DE ANTRAQUINONAS EM PLANTAS SUPERIORES - Listagem por espécies

ESPECIES	FAMILIAS	PARTES ESTUDADA	ANTRAQUINONAS	REF.
MORINDA CITRIFOLIA L.	RUBIACEAE	RAIZ/CERNE	RUBIADINA,1-OHE	025
		RAIZ	SORANJIDIOL	060
MORINDA JASMINOIDES R.CUNN.		CC DA RAIZ	RUBIADINA	025
		CC DA RAIZ	RUBIADINA,1-OHE	025
MORINDA LONGIFLORA G.DON.		RAIZ	ALIZARINA,1-OHE	020
		RAIZ	RUBIADINA,1-OHE	025
MORINDA LUCIDA (h)	CASCA		ANTRAQUINONA,1-OH,2-ME	072
	CASCA		SORANJIDIOL	014
MORINDA LUNARIIFOLIA (*)		RAIZ	NORDAMNACANTHOL	101
MORINDA PARVIFOLIA BARTL. ex DC.		RAMOS/RAIZ	ANTRAQUINONA,1-OH,6(7)-ME	102
			ANTRAQUINONA,2-CH2OH	102
			DIFERRUGINOL	102
			LUCIDINA,2-ETILETER	102
			LUCIDINA,2-METILETER	102
			MORINDAPARVINA-B	102
MORINDA PERSICAFOLIA BUCH-HAW.	RAIZ/CHULE		MORINDONA	063
MORINDA TINCTORIA ROXB.	RAIZ		ALISARINA,1-OHE	020
	CERNE		DAMNACANTHAL	056
	CERNE/RAIZ		MORINDONA	063
	CERNE		NORDAMNACANTHAL	056
MORINDA UMBELATA L.	RAIZ		ALIZARINA	019
			ALIZARINA,1-OHE	020
			ALIZARINA,2-OHE	020
			ANTRAQUINONA,1-MEO,2-ME	021
			ANTRAQUINONA,1-OH,2-ME	021
			ANTRAQUINONA,2-MEO	021
			ANTRAQUINONA,2-OH	021
	CC DA RAIZ		DAMNACANTHAL	056
			LUCIDINA	022
	RAIZ		MORINDONA	063
			MUNJISTINA	086
			RUBIADINA	025
	RAIZ/CHULE		RUBIADINA,1-OHE	025
	RAIZ		TECTOQUINONA	103
	RAIZ		XANTHOPURPURINA	067

DISTRIBUIÇÃO DE ANTRAQUINONAS EM PLANTAS SUPERIORES - Listagem por espécies

ESPECIES	FAMILIAS	PARTES ESTUDADAS	ANTRAQUINONAS	REF.
MORINDA UMBELATA L.	RUBIACERE	RAIZ	XANTHOPURPURINA,6-ME	104
MUEHLENBECKIA ASTULATA (JSN.) STANDL.	POLYGONACERE		CRISOFLANOL	084
			EMODINA	084
			RHEINA	084
MUEHLENBECKIA TAMIFOLIA MEISSN.			CRISOFLANOL	105
			EMODINA	105
			RHEINA	105
MUEHLENBECKIA VULCANICA MEISSN.			CRISOFLANOL	105
			EMODINA	105
			RHEINA	105
OLDELANDIA UMBELATA L.	RUBIACERE		ANTRAQUINONA,2-OH	021
			ALIZARINA	019
			ALIZARINA,1-OHE	020
			HISTAZARINA,3-OHE	106
DROXYLUM INDICUM VENT.	BIGNONIACEAE	FOLHAS	ALOE-EMODINA	107
			ALOE-EMODINA	108
			CRISOFLANOL	108
			EMODINA	108
PICRAMMIA PARVIFOLIA ENGL.	SIMAROUBACERE	FOL/RAM/RAIZ	FISCIONA	108
PLOCAMA PENDULA RIT.	RUBIACERE	CERNE	ALIZARINA,1-OHE	109
			ANTRAQUINONA,1,5-DIOH,2-ME	109
			ANTRAQUINONA,1-OH,2-ME	109
			ANTRAQUINONA,1-OH,2-ME,5-MEO	109
			DAMNANCANTHOL,2-CH2OET	109
			MORINDONA,5-OHE	109
			RUBIARDINA	109
POLYGONUM CILIINERVE DWI.	POLYGONACERE	RAIZ	EMODINA	110
POLYGONUM CILIINERVE DWI.			FISCIONA	110
POLYGONUM CUSPIDATUM SIEB. & ZUCE.			CRISOFLANOL	111
POLYGONUM CUSPIDATUM SIEB. & ZUCE.			EMODINA	111
POLYGONUM MULTIFLORUM ALL.			CRISOFLANOL	027
POLYGONUM MULTIFLORUM ALL.			EMODINA	093
POLYGONUM SACHALINENSE SCHMIDT EX MAXIM.		FOLHAS	EMODINA	112
POLYGONUM SACHALINENSE SCHMIDT EX MAXIM.			FISCIONA	112

DISTRIBUIÇÃO DE ANTRAQUINONAS EM PLANTAS SUPERIORES - Listagem por espécies

ESPECIES	FAMÍLIAS	PARTE ESTUDADA	ANTRAQUINONAS	REF.
PRISMATOMERIS MALAYANA RIDLEY	RUBIACERE	RAIZ	RUBIADINA	113
			RUBIADINA, 1-OHE	113
PRISMATOMERIS TETRANDRA K. SCHUM. (=T. ALBIFLORA THW.)			ANTRAQUINONA, 2-ME	114
			DAMNACANTOL	114
			RUBIADINA	114
			RUBIADINA, 1-OHE	114
PSOROSPERMUM FERRIFUGUM SPACH.	CLUSIACEA	FRUTO	CRISOFLANOL, 6-GERANILOXI	115
		FRUTO	EMODINA, 2-ISOPRENI	115
PUTORIA CALABRICA PERS.	RUBIACERE	NÃO REFERIDA	ANTRAQUINONA, 1-MEO, 2-ME	116
			ANTRAQUINONA, 1-OH-2-ME	116
			RUBIADINA	116
RELBUNIUM HYPOCARPIUM HEMSL.		RAIZ	MUNJISTINA	088
			PSEUDOPURPURINA	023
			PURPURINA	024
			XANTHOPURPURINA, 1-OHE	067
			XANTHOPURPURINA, 3-OHE	067
RELBUNIUM TETRAGONUM (*)		CAULE	PSEUDOPURPURINA	117
			PURPURINA	117
RHAMNUS ALATERNUS L.	RHAMNACERE	CASCA	ALATERNINA	072
RHAMNUS CATHARTICA L.			CRISOFLANOL	093
			EMODINA	093
			FISCIONA	093
			RHEINA	093
RHAMNUS CRENATA SIEB. & ZUCC.			CRISOFLANOL	118
			EMODINA	118
			FISCIONA	118
RHAMNUS FALLAX BOIS.		FOLHA/FRUTO	EMODINA	119
			CRISOFLANOL	119
RHAMNUS FRANGULA L.		CASCA	CRISOFLANOL	120
RHAMNUS GOUDOTIRIA TRIANA & PLANCH.			NÃO IDENTIFICADA	121
RHAMNUS IMERETINA (i)			CRISOFLANOL	122

DISTRIBUIÇÃO DE ANTRAQUINONAS EM PLANTAS SUPERIORES - Listagem por espécies

ESPECIES	FAMILIAS	PARTES ESTUDADAS	ANTRAQUINONAS	REF.
RHAMNUS IMERETINA (i)	RHAMNACEAE	CASCA	EMODINA FISCIONA	122 122
RHAMNUS LANCEOLATA PURSH.			NÃO IDENTIFICADA	123
RHAMNUS NIPALENSIS M.LAWS.		NÃO REFERIDA	EMODINA FISCIONA	124 124
RHAMNUS PURSHIANA DC.		CASCA	ALOE-EMODINA	125
RHEUM HOUTENSE (*)	POLYGONACEAE	CAULE/RAIZ	EMODINA RHEO-EMODINA	126 126
RHEUM OFFICINALE BAILL.		RAMOS	ALOE-EMODINA CRISOFLANOL FISCIONA RHEINA	127 127 127 127
RHEUM PALESTINUM FEINBR.		RAIZ	CRISOFLANOL EMODINA	128 128
RHEUM PALMATUM L.		CASCA	ALOE-EMODINA ALOE-EMODINA EMODINA RHEINA	125 129 129 129
RHEUM TATARICUM L.		RAIZ	CRISOFLANOL FISCIONA	130 130
RHEUM UNDULATUM (j)			ALOE-EMODINA RHEINA	111 111
RHEUM WITTRICKII LUMSD.			CRISOFLANOL EMODINA REINA	131 131 131
RHINACANTHUS COMMUNIS NEES	ACANTHACEAE	FOLHAS	CRISOFLANOL	132
RUBIA CHINENSIS V. GLABRESCENS KURZ.	RUBIACEAE	RAIZ	MUNJISTINA	088
RUBIA CORDIFOLIA L.			ALIZARINA MUNJISTINA PSEUDOPURPURINA PURPURINA XANTHOPURPURINA	133 133 133 133 133
RUBIA CORDIFOLIA V. MUNJISTA MIQ.			MUNJISTINA	101
RUBIA IBERICA (= R. TINTORUM L.)			IBERICINA	134
RUBIA PEREGRINA L.			PSEUDOPURPURINA	023

DISTRIBUIÇÃO DE ANTRAQUINONAS EM PLANTAS SUPERIORES - Listagem por espécies

ESPÉCIES	FAMÍLIAS	PARTES ESTUDADAS	ANTRAQUINONAS	REF.
RUBIA SIKKIMENSIS KURZ.	RUBIACEAE	RAIZ	MUNJISTINA PURPURINA RUBIRDINA XANTHOPURPURINA	101 024 067 067
RUBIA TETRAGONA SCHUM.			ALIZARINA,1-OHE ALIZARINA,2-OHE PURPURINA XANTHOPURPURINA	020 020 024 067
RUBIA TINTORUM L.			ALIZARINA ALIZARINA,1-OHE ALIZARINA,2-OHE ANTRAGALOL ANTRAGALOL,2,3-DIOHE ANTRAGALOL,3-OHE ANTRAQUINONA,1-MEO,2-ME ANTRAQUINONA,1-OH,2-ME ANTRAQUINONA,2-MEO ANTRAQUINONA,2-OH MUNJISTINA PSEUDOPURPURINA PURPURINA RUBIRDINA XANTHOPURPURINA XANTHOPURPURINA,2-ME	133 020 020 065 065 065 021 135 021 021 133 133 133 133 133 133 136
RUMEX ABYSSINICUS JACQ.	POLYGONACEAE		CRISOFANOL EMODINA FISCIONA	137 137 137
RUMEX ACETOSA L.		FRUTO/RAIZ RAIZ	ALOE-EMODINA CRISOFANOL EMODINA FISCIONA	138 139 139 139
RUMEX ACETOSELLA LOEVE		FRUTO/RAIZ RAIZ PL/FR/LEN/RA	ALOE-EMODINA CRISOFANOL EMODINA FISCIONA	138 140 140 138

DISTRIBUIÇÃO DE ANTRAQUINONAS EM PLANTAS SUPERIORES - Listagem por espécies

ESPECIES	FAMILIAS	PARTES ESTUDADAS	ANTRAQUINONAS	REF.
RUMEX ALPINUS L.	POLYGONACEAE	FRUTO	ALOE-EMODINA	138
		RAIZ	CRISOFLANOL	141
			EMODINA	141
			FISCIONA	141
RUMEX ALTISSIMUS WOOD	PL/FR/CAU/RA	CRISOFLANOL	138	
		EMODINA	138	
		FISCIONA	138	
RUMEX ANDREAEANUS MAKINO	RAIZ	CRISOFLANOL	111	
		EMODINA	111	
RUMEX BOTRYOPTERIS (OT.) MURR.	FRUTO	ALOE-EMODINA	138	
	PL/FR/CAU/RA	CRISOFLANOL	138	
		EMODINA	138	
		FISCIONA	138	
		RHEINA	138	
RUMEX BROWNII CRMPD.		CRISOFLANOL	138	
		EMODINA	138	
		FISCIONA	138	
RUMEX CHALEPENSIS MILL.	BULBO	ALOE-EMODINA	142	
		CRISOFLANOL	142	
		EMODINA	142	
		FISCIONA	142	
RUMEX CONFERTUS WILL.	FO/FR/CAU/RA	ALOE-EMODINA	138	
		CRISOFLANOL	143	
		EMODINA	138	
		FISCIONA	138	
RUMEX CONGLOMERATUS MURR.		ALOE-EMODINA	138	
		CRISOFLANOL	138	
		EMODINA	138	
		FISCIONA	138	
		RHEINA	138	
RUMEX CRISPUS L. v. REVENSIS LOUSLEY		CRISOFLANOL	138	
		EMODINA	138	
		FISCIONA	138	
RUMEX CRISPUS L. v. LITTOREUS LOUSLEY		CRISOFLANOL	138	
		EMODINA	138	

DISTRIBUIÇÃO DE ANTRAQUINONAS EM PLANTAS SUPERIORES - Listagem por espécies

34

ESPECIES	FAMILIAS	PARTES ESTUDADA	ANTRAQUINONAS	REF.
RUMEX CRISPUS L. v. LITTOREUS LOUSLEY	POLYGONACERAE	FO/FR/CAU/RA	FISCIONA	138
RUMEX DENTATUS WALL.		FOLHA/RAIZ	CRISOFANOL	144
			EMODINA	145
			FISCIONA	144
RUMEX ECKLONIANUS MEISSN.		FO/FR/CAU/RA	EMODINA	138
			FISCIONA	138
RUMEX HASTATUS D.DON.		NAO REFERIDA	CRISOFANOL	145
			EMODINA	146
			FISCIONA	146
RUMEX HYDROLAPATHUM Huds.		RAIZ	ALOE-EMODINA	147
			CRISOFANOL	147
			EMODINA	147
			FISCIONA	147
RUMEX JAPONICUS v. HYDROCARPUS (1)		NAO REFERIDA	CRISOFANOL	148
			EMODINA	148
			FISCIONA	148 149
RUMEX MARITIMUS L.		PL/FR/CAU/RA	CRISOFANOL	138
			EMODINA	138 140
			FISCIONA	138
RUMEX NEPALENSIS (LA)SPRENGEL			CRISOFANOL	138
			EMODINA	138
			FISCIONA	138
RUMEX OBTUSIFOLIUS L.		FOLHA/RAIZ	ALIZARINA	133
		FO/FR/CAU/RA	CRISOFANOL	138
		FOLHA/RAIZ	EMODINA	145
			FISCIONA	144
RUMEX ORIENTALIS BERNH. EX SCHULT.	CASCA		ALOE-EMODINA	125
RUMEX PALUSTRIS SM.		FO/FR/CAU/RA	CRISOFANOL	138
RUMEX PATIENTIA L.		RAIZ	NAO IDENTIFICADA	149
RUMEX PULCHER L.		PL/FR/CAU/RA	CRISOFANOL	138
			EMODINA	138
			FISCIONA	138
RUMEX RECHINGERIANUS LOS-LOSINSK		FOL/FRUT/RAM	CRISOFANOL	150
			EMODINA	150
			FISCIONA	150

DISTRIBUIÇÃO DE ANTRAQUINONAS EM PLANTAS SUPERIORES - Listagem por espécies

ESPECIES	FAMILIAS	PARTES ESTUDADA	ANTRAQUINONAS	REF.
RUMEX SANGUINEUS L. v. PURPUREUS	POLYBONACERAE	FO/FR/CAV/RA	CRISOFLANOL EMODINA FISCIONA	138 138 138
RUMEX SANGUINEUS L. v. VIRIDIS			CRISOFLANOL EMODINA FISCIONA	138 138 138
RUMEX SCUTATUS L.		RAIZ	ALOE-EMODINA	138
		PL/FR/LEN/RA	CRISOFLANOL EMODINA FISCIONA	138 138 138
RUMEX STENOPHYLLUS (L.) VON EDER			CRISOFLANOL EMODINA FISCIONA	138 138 138
RUMEX WALlichii MEISS. (=R. MARITIMA L.)		RAIZ/RIZOMA	CRISOFLANOL EMODINA	151 151
SARGENTodoxa CUNIFERA REHD. & WILSON	SARGENTodoxaceae	CAULE	EMODINA FISCIONA	152 152
SHERARDIA ARvensis L.	Rubiaceae	RAIZ	PSEUDOPURPURINA	153
SHOREA WORThINGTONII ASHTON	Dipterocarpaceae	CASCA/LENHO	CRISOFLANOL	154
SIMETHIS BICOLOR KUNTH.	Liliaceae	RAIZ	EMODINA	093
SISYMBRIUM INCISUM ENGELM. EX R. GRAY	Brassicaceae	SEMENTE	CRISOFLANOL	155
SONNERARTIA ACIDA L.	Lithraceae	CAULE	CRISOFLANOL EMODINA	027 093
SOPHORA PRODANI ANDERS.	Fabaceae	RAIZ	ALOE-EMODINA	156
TABEBUIA AVELLANEDAE LOR. EX GRISEB	Bignoniaceae	CERNE	ANTRAQUINONA,1-MEO ANTRAQUINONA,1-OH ANTRAQUINONA,2-CH2OH ANTRAQUINONA,2-CHO ANTRAQUINONA,2-COOH ANTRAQUINONA,3-OH,2-ME TECTOQUINONA	157 157 157 157 157 021 103
TABEBUIA CHRYSANTHA NICHOLS.			ANTRAQUINONA,1-OH,2-ME	021

DISTRIBUIÇÃO DE ANTRAQUINONAS EM PLANTAS SUPERIORES - Listagem por espécies

ESPECIES	FAMILIAS	PARTES ESTUDADA	ANTRAQUINONAS	REF.
TABEBUIA CHRYSANTHA NICHOLS.	BIGNONIACERAE	CERNE	ANTRAQUINONA,3-OH,2-ME	021
TECTONA GRANDIS L.			ANTRAQUINONA,2-ACETOXIMETIL	157
			ANTRAQUINONA,2-CH2OH	157
			ANTRAQUINONA,2-COH	157
			ANTRAQUINONA,2-COOH	157
			ANTRAQUINONA,2-ME,3-OH	059
			MUNJISTINA	088
			PACHYBASINA	076
			QUINIZARINA,2-ME	104
			RUBIADDINA	025
			TECTOQUINONA	103
VATHIREE GUARNENOTIO RUBL.	FABACERAE		CRISOFANOL	027
			FISCIONA	145
VATAIREA LUNDELLII (STANDL.) KILL.			CRISOFANOL	027
VATAIREA MACROCARPA DUCKE			CRISOFANOL	158
			EMODINA	159
			FISCIONA	159
VATAIREOPSIS ARAROBA DUCKE			CRISOFANOL	027
			FISCIONA	145
VATICIA OBSCURA TRIMEN	DIPTEROCARPACERAE	CASCA/LENHO	CRISOFANOL	154
VENTILAGO MADERASPATANA GAERTN.	RHAMNACERAE	CASCA/RAIZ	FISCIONA	145
VENTILAGO VIMINALIS HOOK.			CRISOFANOL	160
			CRISOFANOL,2,4,7-TRIOH	160
			HELMINTHOSPORINA	160
			ISLANDICINA	160
			VENTIMALINA	160
			VIMINALINA	160
VISMIA GUARAMIRANGAE HUBER	CLUSIOPCERAE	CASCA	CRISOFANOL	161
			EMODINA,2-ISOPRENIL	161
			FISCIONA	161
			MADAGASCINA	161
XYRIS SEMIFUSCATA BAKER	XYRIDACERAE	FOLHA/CAULE	CRISAZINA	162
			CRISAZINA,3-MED	162

Significado dos índices e abreviaturas usadas nesta relação

- a = *Asphodelus microcarpus viviani* ou *Asphodelus microcarpus* Reidhb.
 (= *A. tenuifolius* Cave).
- b = *Cassia alata* L. (= *Senna alata* (L.) Roxb. ou *C. alata* S. & M.
 (= *Senna polyantha* (Coll.) IB.).
- c = *Cassia frondosa* Ait. (= *Senna angustisiliqua* v. *angustisiliqua*
 (Lam.) IB.) ou *Cassia frondosa* H. & A. (= *Senna candoleana* Vog.
 IB.)
- d = *Cassia sophera* L. ou *Cassia sophera* Wall. (= *Senna occidentalis*
 L. IB.).
- e = *Coprosma foetidissima* Forst. ou *C. foetidissima* Cunn. (= *C.*
 foetidissima Hook.).
- f = *Digitalis orientalis* Lam. ou *D. orientalis* Elmig. (= *D. lanata*
 Emrh.) ou *D. orientalis* Mill. (= *D. ambigua* Murr.).
- g = *Morinda angustifolia* Roxb. ou *M. angustifolia* Roth. (= *Morinda*
 tinctoria Roxb.).
- h = *Morinda lucida* Benth. (= *M. citrifolia* L.) ou *M. lucida* H. Gray.
- i = *Rhamnus imertina* Koehne ou *R. imeretina* Hort. ex Dippel (= *R.*
 alpina L.).
- j = *Rheum undulatum* L. ou *R. undulatum* Pall. (= *R. rhabonticum* L.).
- k = *Rumex crispus* L. ou *R. crispus* Cham. & Schlect (= *R. longifolius*).

cau = caule	cc = casca	cult. = cultura de
fo = folha	fol = folha	fl. = flor
fr = fruto	ra = raiz	ram = ramos
sem = semente	# = nº	

ESPECIES	ANTRAQUINONAS	REF.
ALTERNARIA BATATICOLA	MACROSPORINA	163
ALTERNARIA CUCUMERINA ELL.	MACROSPORINA	163
ALTERNARIA PORRI (ELL.) SAW.	ALTERNINA, 6-OHE FISCIONA, 2-OH	164 068
	MACROSPORINA	165
	XANTHOPURPURINA, 3-OHE, 6-ME	104
	ANTRAQUINONA, 1,2,8-TRIOH, 3-ME, 6-MEO	068
	MACROSPORINA	163
ASCINEMA CHRYSANTHA	CRISOFANOL	166
	CYNODONTINA	166
	EMODINA	166
	ISLANDICINA	015
ASCOCHITA PISI	PACHYBASINA	164
ASPERGILLUS AMSTELODAMI (MANGI) TOM & CHURCH	CRATENARINA	027
	ENDOCROCINA	167
ASPERGILUS CHEVALIERI TOM & CHURCH.	ERYTROGLAUCINA	168 169
ASPERGILUS CRYSTALLINUS KWON & FENNELL	CRISOFANOL	169
	PACHYBASINA	073
ASPERGILUS ECHINULATUS TOM & CHURCH.	ERYTROGLAUCINA	168
ASPERGILUS FLAVUS LINK. ex FRIES	CRISOFANOL	170
ASPERGILUS FUMIGATUS FR.	EMODINA	171
ASPERGILUS GLAUCUS	FISCIONA	145
ASPERGILUS NIDULANS (EIDAM) WINT.	ASPERTHECINA	172
ASPERGILUS NIDULANS MUT. ALBA (EIDAM) YUILL.	ASPERTHECINA	153
ASPERGILUS NIVEOGLAUCUS TON & RAPER.	ERYTROGLAUCINA	168
ASPERGILUS QUADRILINEATUS	ASPERTHECINA	172
ASPERGILUS RUBER TOM & RAPER	ERYTROGLAUCINA	168
ASPERGILUS RUGULOSUS	ASPERTHECINA	172
ASPERGILUS TERREUS TOM.	EMODINA	093
	QUESTINA	173
ASPERGILUS UMBROSUS BAIN. & SART.	ERYTROGLAUCINA	168
ASPERGILUS VERSICOLOR (VUILL.) TIRABOSCH	ÁCIDO NOR-SOLORÍNICO	174
	AVERTANTINA	174
	AVERTRINA	174
	HELMINTHOSPORINA	174

ESPECIES	ANTRAQUINONAS	REF.
<i>CHRETONIUM ELLATUM</i> CDA.	EMODINA	093
	CRISOFANOL	175
<i>CHAMAECYPARIS NOOTKATENSIS</i>	PACHYBASINA	073
<i>CLADOSPORIUM FULVUM</i> COOKE	EMODINA	093
<i>COCHLIOBUS SATIVUS</i> DRECHSLER & DA STUR	ANTRAQUINONA,1,4,5,8-TETRAOH,2,5-DIME	095
<i>COCHLIOBUS SPICIFER</i> NELSON	ANTRAQUINONA,1,4,5,8-TETRAOH,2,5-DIME	095
<i>CORTINARIUS SANGUINEUS</i> WULF. ex FR.	EMODINA	093
	FISCIONA	145
<i>CURVULARIA LUNATA</i> WAKKER	ANTRAQUINONA,1,4,5,8-TETRAOH,2,5-DIME	095
<i>DACTYLARIA LUTEA</i>	MACROSPORINA	163
<i>DERMOCYBE CINNABORTINA</i> WULF. ex FR.	CINNALUTEINA	176
	FALLACINOL	057
<i>DERMOCYBE CONCUBINA</i> WULF ex FR.	DERMOCYBINA	177
	DERMOGLAUCINA	178
	DERMOLUTEINA	176
	DERMORUBINA	179
	ENDOCROCINA	167
<i>DERMOCYBE SEMISANGUINEA</i> FR.	DERMOCYBINA	177
	DERMOGLAUCINA	178
	DERMOLUTEINA	176
	DERMORUBINA	179
	ENDOCROCINA	167
<i>DEUTEROPHOMA TRACHEIPHILA</i> PETRI	CYNODONTINA	180
	HELMINTHOSPORINA	180
<i>DOTHISTROMA PINI</i>	AVERYTRINA	181
<i>DRECHSLERA HOLMI</i>	CRISOFANOL	182
	HELMINTHOSPORINA	182
<i>DRECHSLERA RAVENELLI</i>	CRISOFANOL	182
	HELMINTHOSPORINA	182
<i>HELMINTHOSPORIUM CATENARIUM</i> DRECHSLER	CATENARINA	183
	HELMINTHOSPORINA	180
<i>HELMINTHOSPORIUM CYNODONTIS</i> MARIGNONI	CYNODONTINA	095
	HELMINTHOSPORINA	180
<i>HELMINTHOSPORIUM EUCHLRENAE</i> ZIMM.	CYNODONTINA	095
<i>HELMINTHOSPORIUM GRAMINEUM</i> RABEHN	HELMINTHOSPORINA	180

ESPECIES	ANTRAQUINONAS	REF.
HELMINTHOSPORIUM GRAMINEUM RABENH.	CATENARINA	183
HELMINTHOSPORIUM ORYZAE BREDA DE HAAN.	CYNODONTINA	095
HELMINTHOSPORIUM TRITICI-VULGARIS NSTK.	CATENARINA	183
	HELMINTHOSPORINA	180
	TRITISPORINA	184
HELMINTHOSPORIUM VELUTINUM LINK.	CATENARINA	183
HELMINTHOSPORIUM VICTORIAE MEEHAN & MURPHY	CYNODONTINA	095
HYPOCREA AUSTRO-GRANDIS	CRISOFLANOL	185
	EMODINA	185
LIGUSTICUM CHUANXING	CRISOFLANOL	186
MACROSPORIUM PORRI SAW.	MACROSPORINA	183
PACHYBASICUM CANDIDUM SACC.	PACHYBASINA	164
PACHYBASIUM HAMATUM BON.	PACHYBASINA	073
PENICILLIOPSIS CLAVARIAREFORMIS SOLMS-LAU BACH	CRISOFLANOL	187
	EMODINA	187
PENICILLIUM BRUNNEUM UDAGAWA	EMODINA	093
PENICILLIUM CYANEO-FULVUM BIVORG	CITREOROSEINA	188
PENICILLIUM CYCLOPIUM WESTL.	ÁCIDO EMÓDICO	189
PENICILLIUM FREQUENTANS WESTL.	EMODINA	093
	QUESTINA	173
	QUESTINOL	190
PENICILLIUM FUNICULOSUM TOM.	ISLANDICINA	096
PENICILLIUM HERQUEI BAIN. & SART.	FISCIONA	145
PENICILLIUM ISLANDICUM SPP.	CATENARINA	183
	CATENARINA	183
	CITREOROSEINA	191
	CRISOFLANOL	027
	EMODINA	093
	ENDOCROCINA	167
	ISLANDICINA	096
PENICILLIUM NALGIOVENSIS LAXA	NALGIOVENSINA	192
PENICILLIUM ROSEO-PURPUREUM DIERCKX	CARVIOLINA	188
PHOMA FOVEATA FOISTER	CRISOFLANOL	193
	EMODINA	193
	PACHYBASINA	193

DISTRIBUIÇÃO DE ANTRAQUINONAS EM FUNGOS - Listagem por espécies

ESPÉCIES	ANTRAQUINONAS	REF.
PHOMA FOVERATA FOISTER	PHOMARINA	193
PHOMA VIOlacea (BERTEL) EVELGIGH	CYNODONTINA	180
	HELMINTHOSPORINA	180
PHOMOPSIS JUNIPEROVA	MACROSPORINA	163
POLYSTICTUS VERSICOLOR (L.) FR.	EMODINA	093
PREUSSIA MULTISPORA CAIN.	CITREOROSEINA	057
PSEUDOSPIROPES SIMPLEX	CRISOFANOL	194
PYRENOPHORA TERRESTRIS (HANSG.) GOREZ & AL.	CYNODONTINA	095
PYRENOPHORA AVENAE (EIDAM.) ITO & KURIB	CYNODONTINA	095
SEPEDORIUM AMPULOSPURUM DAMMON	CRISOFANOL	187
TALAROMYCES HVELLANEUS	ÁCIDO EMÓDICO	093
	CITREOROSEINA	093
	EMODINA	073
TRICHODERMA VIRIDE PERS. ex FR.	EMODINA	093
	CRISOFANOL	027
	PACHYBASINA	073
VALSARIA RUBRICOSA SACC.	EMODINA	093
	FISCIONA	145

ESPECIES	ANTRAQUINONAS	REF.
NEPHROMA LAEVIGATUM ACT. non RUCT. NONN.	EMODINA	093
POLYCAULIONA REGALIS (WAIN.) MUE	FISCIONA	145
PROTOBLASTENIA RUPESTRIS STNR.	EMODINA	093
	FISCIONA	145
PROTOBLASTENIA TESTACEA CLAUZ. & ROND.	EMODINA	093
	FISCIONA	145
SIPHULA CORIACER	FISCIONA	200
SOLORINA CROCERA (L.) ACH.	ÁCIDO SOLORÍNICO	198
	AVERYTRINA, 6-OHE	174
STEREOCAULON CORTICULATUM	FISCIONA	145
STEREOCAULON CORTICULATUM v. PROGERUM LAM	FISCIONA	201
TELOCHISTES EXILIS WAINIO	FALLACINOL	195
	FISCIONA	145
TELOCHISTES FLAVICANS NORM.	FALLACINAL	188
	FALLACINOL	195
	FISCIONA	145
XANTHORIA ELEGANS (LICK.) TH. FR.	ÁCIDO PARIÉTICO	167
	EMODINA	093
	ERYTHROGLUCINA	168
	FALLACINAL	188
	FALLACINOL	195
	FISCIONA	145
	XANTHORINA	097
XANTHORIA FALLAX (HEPP.) ARN.	FALLACINAL	188
	FALLACINOL	195
	FISCIONA	145
XANTHORIA PARIETINA (L.) TH. FR.	EMODINA	093
	ENDOCROCINA	189
	FALLACINAL	188
	FALLACINOL	195
	FISCIONA	145
	ÁCIDO PARIÉTICO	167
XANTHORIA PARIETINA v. AUREOLA ACH.	ÁCIDO PARIÉTICO	167
	CITREOROSEINA	167
XANTHORIA RESENDEI	FALLACINAL	202

Tabela 1. RELAÇÃO DAS ANTRAQUINONAS E SEUS TIPOS DE BIOSSÍNTESE CLASIFICADAS POR FAMÍLIAS
BOTÂNICAS

FAMÍLIA	#ESF.	ANTRAQUINONA	#VEZES	TIPO DE BIOSSINT.
ACANTHACEAE	01	CRISOPANOL	01	I
ASCLEPIADACEAE	01	NÃO IDENTIFICADA	01	-
ASTERACEAE	02	CRISOPANOL	01	I
		EMODINA	01	I
		QUINISARINA	01	II
		RHEINA	01	I
BIGNONIACEAE	03	ALOE-EMODINA	01	I
		ANTRAQUINONA,1-MEO	01	II
		ANTRAQUINONA,1-OH	01	II
		ANTRAQUINONA,1-OH,2-ME	01	II
		ANTRAQUINONA,1-OH,2-ME	02	II
		ANTRAQUINONA,2-CH2OAc	01	II
		ANTRAQUINONA,2-CH2OH	01	II
		ANTRAQUINONA,2-CHO	01	II
		ANTRAQUINONA,2-COOH	01	II
		ANTRAQUINONA,3-OH,2-ME	02	II
		TECTOQUINONA	01	II
BORAGINACEAE	01	ISOCRISOPANOL,2-OH	01	I
		SKIMIZARINA	01	II
BRASSICACEAE	01	CRISOPANOL	01	I
CRESALPINIACEAE	23	ALOE EMODINA	05	I
		AURANTIO-OBTUSINA	01	I
		COPAREOLATINA-1,(2)3,5-TRIOME	01	I
		CRISAZINA	01	I
		CRISO-OBTUSINA	01	I
		CRISOPANOL	15	I
		EMODINA	09	I
		EMODINA,2,7-DIOH,6,8-DIOME	01	I
		EMODINA,2-OH,7-MEO,8-OHE	01	I
		FISCIONA	09	I
		HELMINTHOSPORINA	01	I
		ISLANDICINA	01	I
		ISOCRISOPANOL,3,5,7,TRIME	01	I

RELAÇÃO DAS ANTRAQUINONAS E SEUS TIPOS DE BIOSSÍNTESE CLASSIFICADAS POR FAMÍLIAS
BOTÂNICAS

FAMÍLIA	#ESP.	ANTRAQUINONA	#VEZES	TIPO DE BIOSSINT.
CAESALPINIACEAE		ISOCRISOFANOL,3,6-DIMEO	01	I
		ISOCRISOFANOL,3,6-DIMEO,7-VINIL	01	I
		ISOCRISOFANOL,3-OH	02	I
		OBTUSINA	01	I
		RHEINA	03	I
		XANTHORINA	01	I
CLusiaceae	03	CRISOFANOL	02	I
		CRTSOFANOL,6-GERANILOXI	01	I
		EMODINA-2-TSOPRENIL	02	I
		FICCIONA	02	I
		MADAGRASCINA	02	I
CUPRESSACERE	01	EMODINA	01	I
DIPTEROCARPACERE	02	CRISOFANOL	02	I
EUPHORBIACERE	01	CRISOFANOL	01	I
FABACERE	10	ALIZARINA-6,7-DIOH-8-MEO-3-ME	01	I
		ALOE-EMODINA	01	I
		ALOE-EMODINA-6-MEO-8-OHE	01	I
		CAJAQUINONA	01	I
		CRISOFANOL	06	I
		EMODINA	01	I
		EMODINA-6,8-DIOME-7-OH	01	I
		FICCIONA	04	I
		XANTHORINA	01	I
IRIDACERE	03	ALIZARINA	01	II
		ALIZARINA-3-CODME-4-ME-5-OH	01	III
		CRISOFANOL	01	I
		EMODINA	02	I
		QUINIZARINA	01	II
LILIACERE	21	ALOE-EMODINA	13	I
		ALOE-SAPONARINA-I	01	III
		ALOE-SAPONARINA-II	01	III
		CRISAZINA	01	I
		CRISOFANOL	16	I

RELACÃO DAS ANTRAQUINONAS E SEUS TIPOS DE BIOSSÍNTESE CLASSIFICADAS POR FAMÍLIAS
BOTÂNICAS

FAMÍLIA	#ESP.	ANTRAQUINONA	#VEZES	TIPO DE BIOSSINT.
LILIACERAE		DEOXIERITROLACCINA	01	III
		HEMEROCAL	01	I
		OBTUSIFOLINA	01	I
		OBTUSIFOLINA-2-MEO	01	I
		RHEINA	03	I
LITHRACERAE	01	CRISOFANOL	01	I
		EMODINA	01	I
POLYGONACERAE		DELICORTINA	01	II
		OLE-EMODINA	14	I
		CRISOFANOL	36	I
		EMODINA	39	I
	43	FISCIONA	29	I
RHIMNACERAE		RHEINA	09	I
	12	ALATERNINA	01	I
		ALOE-EMODINA	01	I
		CRISOFANOL	06	I
		CYNODONTINA	01	I
		EMODINA	05	I
		FISCIONA	05	I
		HELMINTHOSPORINA	01	I
		ISLANDICINA	01	I
		RHEINA	01	I
		VENTIMALINA	01	I
		VIMINALINA	01	I
RUBIACERAE		XANTHORINA	01	I
	52	ALIZARINA	12	II
		ALIZARINA,1-OME	15	II
		ALIZARINA,2-OME	09	II
		ALIZARINA,6-ME	02	III
		ANTRAGALLOL,1,2,DIOME	02	II
		ANTRAGALLOL,2,3-DIOME	02	II
		ANTRAGALOL,1,3-DIOME	01	II
		ANTRAQUINONA,1-OH,2-ME	09	II

RELAÇÃO DAS ANTRAQUINONAS E SEUS TIPOS DE BIOSSÍNTESE CLASSIFICADAS POR FAMÍLIAS
BOTÂNICAS

FAMÍLIA	#ESP.	ANTRAQUINONA	#VEZES	TIPO DE BIOSSINT.
RUBIACEAE		ANTRAQUINONA,1-OH,2-ME,5-MEO	01	I
		ANTRAQUINONA,1-OH,6(7)-ME	01	I
		ANTRAQUINONA,2,3-DIMEO,7-ME	01	III
		ANTRAQUINONA,2-CH2OH	01	II
		ANTRAQUINONA,2-ME	01	II
		ANTRAQUINONA,2-ME,3,5,6-TRIOH	01	I
		ANTRAQUINONA,2-ME,3-MEO	01	II
		ANTRAQUINONA,2-ME,3-OH,4-MEO	01	II
		ANTRAQUINONA,3-OH,2-ME	03	II
		ANTRAQUINONA-1-MEO-2-ME	09	II
		ANTRAQUINONA-2-MEO	07	II
		ANTRAQUINONA-2-OH	08	II
		ANTRARUFINA,2-ME	01	I
		COELULATINA	01	II
		COPAREOLATINA	01	I
		COPAREOLATINA,2,5-DIOME	01	I
		DAMNACANTHAL	07	II
		DAMNACANTHOL	04	II
		DAMNACANTHOL,2-CH2OET	01	II
		DIPERRUGINOL	01	II
		IBERICINA	01	II
		JUZUNAL	02	I
		JUZUNOL	03	I
		LUCIDINA	07	II
		LUCIDINA,5,6-DIOH	01	I
		LUCIDINA, α -ETILETER	01	II
		LUCIDINA, α -METILETER	01	II
		MAJORONAL	02	I
		MORINDAPARVINA-B	01	I
		MORINDONA	07	I
		MORINDONA,3-OH	01	I
		MORINDONA,5-OME	01	I
		MUNJISTINA	07	II

**RELAÇÃO DAS ANTRAQUINONAS E SEUS TIPOS DE BIOSSÍNTESE CLASSIFICADAS POR FAMÍLIAS
BOTÂNICAS**

FAMÍLIA	#ESP.	ANTRAQUINONA	#VEZES	TIPO DE BIOSSINT.
RUBIACEAE		NORDAMNACANTHAL	05	II
		NORJUZUNAL	01	I
		PSEUDOPURPURINA	10	II
		PURPURINA	10	II
		RUBIADINA	21	II
		RUBIADINA,1-OHE	09	II
		SORANGIDIOL	06	II
		XANTHOPURPURINA	10	II
		XANTHOPURPURINA,1-OHE	01	II
		XANTHOPURPURINA,2-BENZIL	02	II
		XANTHOPURPURINA,3-OHE	01	II
RUTACEAE	01	TECTOQUINONA	01	II
	01	EMODINA	01	I
SARGENTODOXACEAE		FISCIONA	01	I
	12	ALIZARINA,3-ME,4,5-DIOH	01	I
		ALIZARINA,3-ME,4-OH	01	II
		ANTRAQUINONA,1-ME,2-ME	02	II
		ANTRAQUINONA,1-OH,2-CH2OH	02	II
		ANTRAQUINONA,1-OH,3-CH2OH	01	II
		ANTRAQUINONA,1-OH,3-COOH	01	II
		ANTRAQUINONA,2-ME,3-ME	02	II
		ANTRAQUINONA,2-ME,3-OH	01	II
		ANTRAQUINONA,3-ME	02	II
		CRISOFANOL	01	I
		DIFERROL	01	II
		DIFERRUGINOL	01	II
		DIGITOLUTEINA	07	II
		DIGITOPURPONA	03	I
		ISOCRISOFANOL	04	I
		ISOCRISOFANOL,3-OH,4-MED	01	I

RELACAO DAS ANTRAQUINONAS E SEUS TIPOS DE BIOSSINTESE CLASSIFICADAS POR FAMILIAS

BOTANICAS

FAMILIA	#ESP.	ANTRAQUINONA	#VEZES	TIPO DE BIOSSINT.
SCROPHULARIACERE		ISOCRISOFANOL,4-MEO	01	I
		MADEIRINA	05	II
		PACHYBASINA	05	II
		PACHYBASINA METIL ETER	03	II
		PHOMARINA	07	I
		PHOMARINA,1,6-DIOME,2-OH	01	I
		PHOMARINA,6-OHE	01	I
		QUINIZARINA,2-ME	02	II
		TECTOQUINONA,1-OH	01	II
		TECTOQUINONA,3,8-DIOM,4-MEO	01	I
SIMAROUBACEAE		TECTOQUINONA,4-OH	01	II
		TECTOQUINONA,5-MEO,8-OH	01	I
		ZIGANEINA	04	I
		ZIGANEINA,8-OH	01	I
	02	ALOE-EMODINA	01	I
SOLANACERE		CRISOFANOL	02	I
		EMODINA	01	I
		FISCIONA	01	I
		SKIKIZARINA	01	II
TAXACERE	01	ERITROGLAUCINA	01	I
		FISCIONA	01	I
VERBENACERE	01	ANTRAGALLOL,2,3-DIOME	01	II
		CRISOFANOL	01	I
VERBENACERE	01	ANTRAQUINONA,2-ACTOXIMETIL	01	II
		ANTRAQUINONA,2-CH2OH	01	II
		ANTRAQUINONA,2-COH	01	II
		ANTRAQUINONA,2-COOH	01	II
		ANTRAQUINONA,2-ME,3-OH	01	II
		MUNJISTINA	01	II
		PACHYBASINA	01	II
		QUINIZARINA,2-ME	01	II
		RUBIADINA	01	II
		TECTOQUINONA	01	II

RELACAO DAS ANTRAQUINONAS E SEUS TIPOS DE BIOSSINTSE CLASSIFICADAS POR FAMILIAS
BOTANICAS

FAMILIA	#ESP.	ANTRAQUINONA	#VEZES	TIPO DE BIOSSINT.
XYRIDACERE	01	CRISAZINA	01	I
		CRISAZINA,3-MEO	01	I
ZINGIBERACEAE	01	CRISOFANOL	01	I
		FICCIONA	01	I

Significado de algumas abreviaturas usadas nesta relação.

Ac = acétil

dime = dimetil

me = metil

MeO = metiloxi = metoxi

OMe = O-metil

ANTRAQUINONAS NATURAIS - Lista dos nomes utilizados e respectivas denominações oficiais (*)

NOMES UTILIZADOS	DENOMINAÇÕES OFICIAIS	NUM.
ÁCIDO EMÓDICO	ACIDO 9,10-DIHIDRO-1,6,8-TRI HIDROXI-9,10-DIOXO 3-ANTRACENOCARBOXÍLICO	027
ÁCIDO NORSOLORÍNICO	1,3,6,8-TETRAHIDROXI-2-[1-OXOHEXIL]-9,10-ANTRACENODIONA	050
ÁCIDO PARIETÍNICO	ACIDO 9,10-DIHIDRO-1,8-DIHIDROXI-6-METOXI-9,10-DIOXO 3-ANTRACENOCARBOXÍLICO	028
ÁCIDO SOLORÍNICO	1,3,8-TRI HIDROXI-2-[1-OXOHEXIL]-6-METOXI-9,10-ANTRACENODIONA	031
ALATERNINA	1,2,6,8-TETRAHIDROXI,3-METIL-9,10-ANTRACENODIONA	051
ALATERNINA,6-OHE	1,2,8-TRI HIDROXI-3-METIL-6-METOXI-9,10-ANTRACENODIONA	032
ALISARINA	1,2-DIHIDROXI-9,10-ANTRACENODIONA	035
ALISARINA,1-OHE	1-METOXI-2-HIDROXI-9,10-ANTRACENODIONA	054
ALISARINA,2-OHE	1-HIDROXI-2-METOXI-9,10-ANTRACENODIONA	058
ALISARINA,3-COOHE,4-ME,5-OH	1,2,5-TRI HIDROXI-3-METOXYCARBONIL-4-METIL-9,10-ANTRACENODIONA	039
ALISARINA,3-ME	1,2-DIHIDROXI-3-METIL-9,10-ANTRACENODIONA	036
ALISARINA,3-ME,4,5-DIOH	1,2,4,5-TETRAHIDROXI-3-METIL-9,10-ANTRACENODIONA	040
ALISARINA,3-ME,4-OH	1,2,4-TRI HIDROXI-3-METIL-9,10-ANTRACENODIONA	041
ALISARINA,6,7-DIOH,8-MEO,3-ME	1,2,6,7-TETRAHIDROXI-3-METIL-8-METOXI-9,10-ANTRACENODIONA	068
ALISARINA,6-ME	1,2-DIHIDROXI-6-METIL-9,10-ANTRACENODIONA	066
ALOE-EMODINA	1,8-DIHIDROXI-3-HIDROXIMETIL-9,10-ANTRACENODIONA	043
ALOE-EMODINA,6-MEO,8-OHE	1-HIDROXI-3-HIDROXIMETIL-6,8-DIMETOXI-9,10-ANTRACENODIONA	096
ALOE-SAPONARINA I	3,8-DIHIDROXI-1-METIL-2-METOXYCARBONIL-9,10-ANTRACENODIONA	178
ALOE-SAPONARINA II	3,8-DIHIDROXI-1-METIL-9,10-ANTRACENODIONA	179
ANTRAGALLOL	1,2,3-TRI HIDROXI-9,10-ANTRACENODIONA	037
ANTRAGALLOL,1,2-DIOME	1,2-DIMETOXI-3-HIDROXI-9,10-ANTRACENODIONA	055
ANTRAGALLOL,1,3-DIOME	1,3-DIMETOXI-2-HIDROXI-9,10-ANTRACENODIONA	056
ANTRAGALLOL,2,3-DIOME	1-HIDROXI-2,3-DIMETOXI-9,10-ANTRACENODIONA	059
ANTRAGALLOL,3-OHE	1,2-DIHIDROXI-3-METOXI-9,10-ANTRACENODIONA	038
ANTRAQUINONA,1-MEO	1-METOXI-9,10-ANTRACENODIONA	146
ANTRAQUINONA,1-MEO,2-ME	1-METOXI-2-METIL-9,10-ANTRACENODIONA	062
ANTRAQUINONA,1-OH	1-HIDROXI-9,10-ANTRACENODIONA	047
ANTRAQUINONA,1-OH,(x)CH2OH	1-HIDROXI-(x)-HIDROXIMETIL-9,10-ANTRACENODIONA	172
ANTRAQUINONA,1-OH,2-ME	1-HIDROXI-2-METIL-9,10-ANTRACENODIONA	048
ANTRAQUINONA,1-OH,2-ME,5-MEO	1-HIDROXI-2-METIL-5-METOXI-9,10-ANTRACENODIONA	063
ANTRAQUINONA,1-OH,3-CH2OH	1-HIDROXI-3-HIDROXIMETIL-9,10-ANTRACENODIONA	090
ANTRAQUINONA,1-OH,3-COOH	ACIDO 9,10-DIHIDRO-1-HIDROXI-9,10-DIOXO-3-ANTRACENOCARBOXÍLICO	091
ANTRAQUINONA,1-OH,6(7)-ME	1-HIDROXI-6(7)-METIL-9,10-ANTRACENODIONA	106
ANTRAQUINONA,2,3-DIMEO,7-ME	2,3-DIMETOXI-7-METIL-9,10-ANTRACENODIONA	133

ANTRAQUINONAS NATURAIS - Lista dos nomes utilizados e respectivas denominações oficiais (*)

NOMES UTILIZADOS	DENOMINAÇÕES OFICIAIS	NUM.
ANTRAQUINONA,2-ACETOXIMETIL	2-ACETOXIMETIL-9,10-ANTRACENODIONA	086
ANTRAQUINONA,2-CH2OH	2-HIDROXIMETIL-9,10-ANTRACENODIONA	087
ANTRAQUINONA,2-CHO	2-FORMIL-9,10-ANTRACENODIONA	088
ANTRAQUINONA,2-COOH	ACIDO 9,10-DIHIDRO-9,10-DIOXO-2-ANTRACENOCARBOXÍLICO	089
ANTRAQUINONA,2-ME	2-METIL-9,10-ANTRACENODIONA	102
ANTRAQUINONA,2-ME,3,5,6-TRIOH	1,3,5-TRI HIDROXI-6-METIL-9,10-ANTRACENODIONA	071
ANTRAQUINONA,2-ME,3-MEO	2-METOXI-3-METIL-9,10-ANTRACENODIONA	134
ANTRAQUINONA,2-ME,3-OH	2-HIDROXI-4-METIL-9,10-ANTRACENODIONA	094
ANTRAQUINONA,2-ME,3-OH,4-MEO	1-METOXI-2-HIDROXI-3-METIL-9,10-ANTRACENODIONA	057
ANTRAQUINONA,2-MEO	2-METOXI-9,10-ANTRACENODIONA	100
ANTRAQUINONA,2-OH	2-HIDROXI-9,10-ANTRACENODIONA	101
ANTRARUFINA,2-ME	1,5-DIHIDROXI-2-METIL-9,10-ANTRACENODIONA	064
ASPERTHECINA	1,2,5,6,8-PENTAHIDROXI-3-HIDROXIMETIL-9,10-ANTRACENODIONA	073
AURANTIO-OBTUSINA	2,6,8-TRI HIDROXI-1,7-DIMETOXI-3-METIL-9,10-ANTRACENODIONA	127
AVERANTINA	1,3,6,8-TETRAHIDROXI-2-[1-HIDROXIHEXIL]-9,10-ANTRACENODIONA	052
AVERTRINA	1,3,6,8-TETRAHIDROXI-2-[1-HEXENIL]-9,10-ANTRACENODIONA	053
AVERYTRINA,6-DME	1,3,8-TRI HIDROXI-2-[1-HEXENIL]-6-METOXI-9,10-ANTRACENODIONA	033
CAJAQUINONA	2,6-DIHIDROXI-3-METIL-8-METOXI-9,10-ANTRACENODIONA	075
CARVOLINA	1-METOXI-3-HIDROXIMETIL-9,10-ANTRACENODIONA	095
CATENARINA	1,4,6,8-TETRAHIDROXI-3-METIL-9,10-ANTRACENODIONA	074
CINNALUTEINA	ACIDO 9,10-DIHIDRO-1-HIDROXI-3-METIL-6,8-DIMETOXI-9,10-DIOXO 2-ANTRACENOCARBOXÍLICO	138
CITREOROSEINA	1,6,8-TRI HIDROXI-3-HIDROXIMETIL-9,10-ANTRACENODIONA	029
COELULATINA	1,3,8-TRI HIDROXI-2-HIDROXIMETIL-9,10-ANTRACENODIONA	103
COPAREOLATINA	1,2,3,5-TETRAHIDROXI-6-METIL-9,10-ANTRACENODIONA	072
COPAREOLATINA,1(2),3,5,TRIOME	1(2),3,5-TRIMETOXI-1(2)-HIDROXI-6-METIL-9,10-ANTRACENODIONA	077
COPAREOLATINA,2,5-DIOME	1,3-DIHIDROXI-2,5-DIMETOXI-6-METIL-9,10-ANTRACENODIONA	078
CRISAZINA	1,8-DIHIDROI-9,10-ANTRACENODIONA	044
CRISAZINA,3-MEO	1,8-DIHIDROXI-3-METOXI-9,10-ANTRACENODIONA	045
CRISO-OBTUSINA	2-HIDROXI-1,6,7,8-TETRAMETOXI-3-METIL-9,10-ANTRACENODIONA	001
CRISOFANOL	1,8-DIHIDROXI-3-METIL-9,10-ANTRACENODIONA	170
CRISOFANOL,6-GERANILOXI	1,8-DIHIDROXI-3-METIL-6-GERANILOXI-9,10-ANTRACENODIONA	030
CYNODONTINA	1,4,5,8-TETRAHIDROXI-3-METIL-9,10-ANTRACENODIONA	129
DAMNACANTHAL	2-HIDROXI-3-FORMIL-4-METOXI-9,10-ANTRACENODIONA	131
DAMNACANTHOL	2-HIDROXI-3-HIDROXIMETIL-4-METOXI-9,10-ANTRACENODIONA	132

ANTRAQUINONAS NATURAIS - Lista dos nomes utilizados e respectivas denominações oficiais (*)

NOMES UTILIZADOS	DENOMINAÇÕES OFICIAIS	NUM.
DAMNACANTHOL,2-CH2OET	2-ETOXIMETIL-3-HIDROXIMETIL-4-METOXI-9,10-ANTRACENODIONA	135
DEOXIERITROLACCINA	1,3,6-TRIHIDROXI-8-METIL-9,10-ANTRACENODIONA	168
DERMOCYBINA	1,5,7,8-TETRAHIDROXI-3-METIL-6-METOXI-9,10-ANTRACENODIONA	079
DERMOGLAUCINA	1,7,8-TRIHIDROXI-3-METIL-6-METOXI-9,10-ANTRACENODIONA	141
DERMOLUTEINA	ACIDO 9,10-DIHIDRO-1,6-DIHIDROXI-3-METIL-8-METOXI-9,10-DIOXO 2-ANTRACENOCARBOXILICO	139
DERMORUBINA	ACIDO 9,10-DIHIDRO-1,4,6-TRIHIDROXI-3-METIL-8-METOXI-9,10-DIOXO 2-ANTRACENOCARBOXILICO	076
DIFERROL	1,4-DIHIDROXI-3-HIDROXIMETIL-9,10-ANTRACENODIONA	107
DIFERRUGINOL	1-HIDROXI-2-HIDROXIMETIL-9,10-ANTRACENODIONA	049
DIGITOLUTEINA	1,3-DIMETOXI-2-HIDROXI-9,10-ANTRACENODIONA	136
DIGITOPURPONA	1,4,5-TRIHIDROXI-3-METIL-9,10-ANTRACENODIONA	130
EMODINA	1,6,8-TRIHIDROXI-3-METIL-9,10-ANTRACENODIONA	002
EMODINA,2,5,7-TRIOH	1,2,5,6,7,8-HEXAHIDROXI-3-METIL-9,10-ANTRACENODIONA	080
EMODINA,2,7-DIOH,6,8-DIOME	1,2,7-TRIHIDROXI-6,8-DIMETOXI-3-METIL-9,10-ANTRACENODIONA	069
EMODINA,2-ISOPRENIL	1,6,8-TRIHIDROXI-2-ISOPRENIL-3-METIL-9,10-ANTRACENODIONA	154
EMODINA,2-OH,7-MEO,8-OHE	1,2,6-TRIHIDROXI-3-METIL-7,8-DIMETOXI-9,10-ANTRACENODIONA	070
EMODINA,6,8-DIOME,7-OH	1,7-DIHIDROXI-3-METIL-6,8-DIMETOXI-9,10-ANTRACENODIONA	140
ENDOCROCINA	ACIDO 9,10-DIHIDRO-1,6,8-TRIHIDROXI-3-METIL-9,10-DIOXO 2-ANTRACENOCARBOXILICO	155
ERITROGLAUCINA	1,4,8-TRIHIDROXI-3-METIL-6-METOXI-9,10-ANTRACENODIONA	143
FALLACINAL	1,8-DIHIDROXI-3-FORMIL-6-METOXI-9,10-ANTRACENODIONA	150
FALLACINOL	1,8-DIHIDROXI-3-HIDROXIMETIL-6-METOXI-9,10-ANTRACENODIONA	151
FISCIONA	1,8-DIHIDROXI-3-METIL-6-METOXI-9,10-ANTRACENODIONA	006
HELMINTHOSPORINA	1,5,8-TRIHIDROXI-3-METIL-9,10-ANTRACENODIONA	081
HEMEROCAL	1-METOXI-2,8-DIHIDROXI-3-HIDROXIMETIL-9,10-ANTRACENODIONA	162
HISTAZARINA,3-OHE	2-HIDROXI-3-METOXI-9,10-ANTRACENODIONA	169
IBERICINA	1,3-DIHIDROXI-4-METOXYETIL-9,10-ANTRACENODIONA	083
ISLANDICINA	1,4,8-TRIHIDROXI-3-METIL-9,10-ANTRACENODIONA	144
ISOCRISOFANOL	1,8-DIHIDROXI-2-METIL-9,10-ANTRACENODIONA	156
ISOCRISOFANOL,3,5,7-TRIMEO	1,8-DIHIDROXI-2-METIL-3,5,7-TRIMETOXI-9,10-ANTRACENODIONA	157
ISOCRISOFANOL,3,6-DIMEO	1,8-DIHIDROXI-2-METIL-3,6-DIMETOXI-9,10-ANTRACENODIONA	034
ISOCRISOFANOL,3,6-DIMEO,7-VINIL	1,8-DIHIDROXI-2-METIL-3,6-DIMETOXI-7-VINIL-9,10-ANTRACENODIONA	142
ISOCRISOFANOL,3-OH	1,3,8-TRIHIDROXI-2-METIL-9,10-ANTRACENODIONA	104
ISOCRISOFANOL,3-OH,4-MEO	1,3,8-TRIHIDROXI-2-METIL-4-METOXI-9,10-ANTRACENODIONA	105

ANTRAQUINONAS NATURAIS - Lista dos nomes utilizados e respectivas denominações oficiais (*)

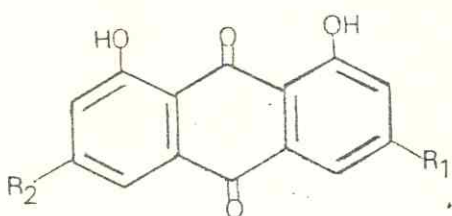
NOMES UTILIZADOS	DENOMINAÇÕES OFICIAIS	NUM.
ISOCRISOFANOL,4-MEO	1,8-DIHIDROXI-2-METIL-4-METOXI-9,10-ANTRACENODIONA	158
ISOCRISOFANOL,5-OH,6,7-DIMEO	1,5,8-TRIhidroxi-2-METIL-6,7-DIMETOXI-9,10-ANTRACENODIONA	160
JUZUNAL	1-METOXI-2-FORMIL-3,5-DIHIDROXI-9,10-ANTRACENODIONA	116
JUZUNOL	1-METOXI-2-HIDROXIMETIL-3,5-DIHIDROXI-9,10-ANTRACENODIONA	117
LUCIDINA	1,3-DIHIDROXI-2-HIDROXIMETIL-9,10-ANTRACENODIONA	060
LUCIDINA,5,6-DIOH	2,4,5,6-TETRAHIDROXI-3-HIDROXIMETIL-9,10-ANTRACENODIONA	159
LUCIDINA, α -ETIL ÉTER	1,3-DIHIDROXI-2-METOXIELTIL-9,10-ANTRACENODIONA	084
LUCIDINA, α -METIL ÉTER	1,3-DIHIDROXI-2-METOXIMETIL-9,10-ANTRACENODIONA	108
MACROSPORINA	2,8-DIHIDROXI-3-METIL-6-METOXI-9,10-ANTRACENODIONA	163
MADAGASCINA	1,8-DIHIDROXI-3-METIL-6-ISOPRENOKI-9,10-ANTRACENODIONA	152
MADEIRINA	1-HIDROXI-2-METIL-4-METOXI-9,10-ANTRACENODIONA	112
MAJORONAL	1,3,4-TRIhidroxi-2-FORMIL-5-METOXI-9,10-ANTRACENODIONA	085
MORINDAPARVINA-B	1,5-DIHIDROXI-2-HIDROXIMETIL-9,10-ANTRACENODIONA	164
MORINDONA	1,5,6-TRIhidroxi-2-METIL-9,10-ANTRACENODIONA	165
MORINDONA,3-OH	1,3,5,6-TETRAHIDROXI-2-METIL-9,10-ANTRACENODIONA	166
MORINDONA,5-OHE	1,6-DIHIDROXI-2-METIL-5-METOXI-9,10-ANTRACENODIONA	175
MUNJISTINA	ACIDO 9,10-DIHIDRO-2,4-DIHIDROXI-9,10-DIOXO-3-ANTRACENOCARBOXÍLICO	061
NALGIOVENSINA	1,8-DIHIDROXI-3-[2-HIDROXIPROPIL]-6-METOXI-9,10-ANTRACENODIONA	153
NORDAMNACANTHAL	2,4-DIHIDROXI-3-FORMIL-9,10-ANTRACENODIONA	109
NORJUZUNAL	1,3,5-TRIhidroxi-2-FORMIL-9,10-ANTRACENODIONA	110
OBTUSIFOLINA	2,8-DIHIDROXI-1-METOXI-3-METIL-9,10-ANTRACENODIONA	098
OBTUSIFOLINA,2-MEO	1,2-DIMETOXI-3-METIL-8-HIDROXI-9,10-ANTRACENODIONA	099
OBTUSINA	2,8-DIHIDROXI-1,6,7-TRIMETOXI-3-METIL-9,10-ANTRACENODIONA	128
PACHYBASINA	1-HIDROXI-3-METIL-9,10-ANTRACENODIONA	092
PACHYBASINA METIL ÉTER	1-METOXI-3-METIL-9,10-ANTRACENODIONA	137
PHOMARINA	1,6-DIHIDROXI-3-METIL-9,10-ANTRACENODIONA	122
PHOMARINA,1,6-DIOME,2-OH	1,6-DIMETOXI-2-HIDROXI-3-METIL-9,10-ANTRACENODIONA	176
PHOMARINA,6-OHE	1-HIDROXI-6-METOXI-3-METIL-9,10-ANTRACENODIONA	123
PSEUDOPURPURINA	ACIDO 9,10-DIHIDRO-1,2,4-TRIhidroxi-9,10-DIOXO-3-ANTRACENOCARBOXÍLICO	042
PURPURINA	1,2,4-TRIhidroxi-9,10-ANTRACENODIONA	113
QUESTINA	1,6-DIHIDROXI-3-METIL-8-METOXI-9,10-ANTRACENODIONA	097
QUINISARINA	1,4-DIHIDROXI-9,10-ANTRACENODIONA	114
QUINIZARINA,2-ME	1,4-DIHIDROXI-2-METIL-9,10-ANTRACENODIONA	115
RHEINA	ACIDO 9,10-DIHIDRO-1,8-DIHIDROXI-9,10-DIOXO-3-ANTRACENOCARBOXÍLICO	046
RUBIRDINA	1,3-DIHIDROXI-2-METIL-9,10-ANTRACENODIONA	111

ANTRAQUINONAS NATURAIS - Lista dos nomes utilizados e respectivas denominações oficiais (*)

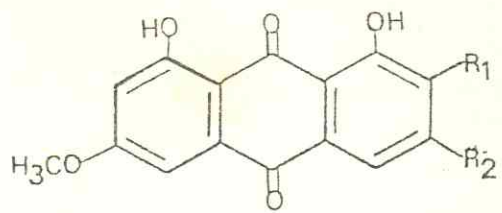
NOMES UTILIZADOS	DENOMINAÇÕES OFICIAIS	NUM.
RUBIADINA,1-OHE	1-METOXI-3-HIDROXI-2-METIL-9,10-ANTRACENODIONA	118
SKIKIZARINA	1,4-DIHIDROXI-5-METIL-9,10-ANTRACENODIONA	173
SORANGIDIOL	1,6-DIHIDROXI-2-METIL-9,10-ANTRACENODIONA	067
TECTOQUINONA	2-METIL-9,10-ANTRACENODIONA	177
TECTOQUINONA,1-OH	1-HIDROXI-2-METIL-9,10-ANTRACENODIONA	065
TECTOQUINONA,3,8-DIOH,4-MEO	3,8-DIHIDROXI-2-METIL-4-METOXI-9,10-ANTRACENODIONA	119
TECTOQUINONA,4-MEO,8-OH	2-METIL-4-METOXI-8-HIDROXI-9,10-ANTRACENODIONA	120
TECTOQUINONA,4-OH	2-METIL-4-HIDROXI-9,10-ANTRACENODIONA	124
TECTOQUINONA,5-MEO,8-OH	2-METIL-4-METOXI-8-HIDROXI-9,10-ANTRACENODIONA	121
TRITISPORINA	1,4,6,8-TETRAHIDROXI-3-HIDROXIMETIL-9,10-ANTRACENODIONA	161
VENTIMALINA	1,2,4,7,8-PENTAHIDROXI-3-METIL-9,10-ANTRACENODIONA	145
VIMINALINA	2,4,7-TRIhidroxi-1,8-DIMETOXI-3-METIL-9,10-ANTRACENODIONA	171
XANTHOPURPURINA	1,3-DIHIDROXI-9,10-ANTRACENODIONA	093
XANTHOPURPURINA,1-OHE	1-METOXI-3-HIDROXI-9,10-ANTRACENODIONA	147
XANTHOPURPURINA,2-BENZIL	1-HIDROXI-3-BENZIL-9,10-ANTRACENODIONA	148
XANTHOPURPURINA,3-OHE	1-HIDROXI-3-METOXI-9,10-ANTRACENODIONA	149
XANTHOPURPURINA,3-OHE,6-ME	1-HIDROXI,3-METOXI,6-METIL,9,10-ANTRACENODIONA	125
XANTHOPURPURINA,6-ME	1,3-DIHIDROXI-6-METIL-9,10-ANTRACENODIONA	126
XANTHOPURPURINA,DIMOE	1,3-DIMETOXI-9,10-ANTRACENODIONA	174
XANTHORINA	1,5,8-TRIhidroxi-6-METOXI-3-METIL-9,10-ANTRACENODIONA	082
ZIGANEINA	1,5-DIHIDROXI-3-METIL-9,10-ANTRACENODIONA	180
ZIGANEINA, α -OH	1,5-DIHIDROXI-3-HIDROXIMETIL-9,10-ANTRACENODIONA	167

(*) NOMENCLATURA SEGUNDO CHAPMAN AND HALL (ED.), DICTIONARY OF ORGANIC COMPOUNDS, NY,(USA), 5TH.ED., 1982.

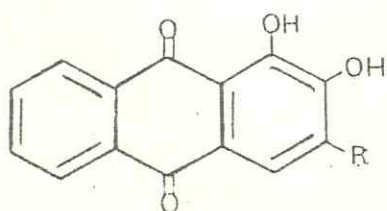
ESTRUTURAS DE ANTRAQUINONAS NATURAIS



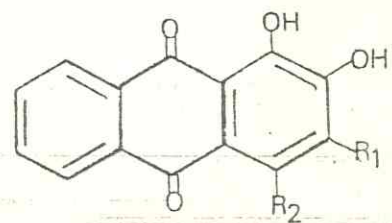
- 27 : $\text{R}_1 = \text{CO}_2\text{H}$; $\text{R}_2 = \text{OH}$
 28 : $\text{R}_1 = \text{CO}_2\text{H}$; $\text{R}_2 = \text{OCH}_3$
 29 : $\text{R}_1 = \text{CH}_2\text{OH}$; $\text{R}_2 = \text{OH}$
 30 : $\text{R}_1 = \text{CH}_3$; $\text{R}_2 = \text{geraniloxi}$



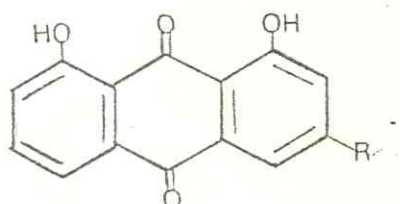
- 31 : $\text{R}_1 = \text{CO}(\text{CH}_2)_4\text{CH}_3$; $\text{R}_2 = \text{OH}$
 32 : $\text{R}_1 = \text{OH}$; $\text{R}_2 = \text{CH}_3$
 33 : $\text{R}_1 = \text{CH}=\text{CH}(\text{CH}_2)_3\text{CH}_3$; $\text{R}_2 = \text{OH}$
 34 : $\text{R}_1 = \text{CH}_3$; $\text{R}_2 = \text{OCH}_3$



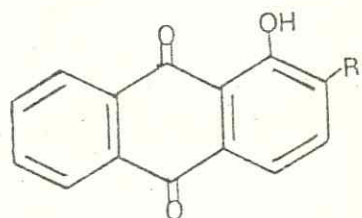
- 35 : $\text{R} = \text{H}$
 36 : $\text{R} = \text{CH}_3$
 37 : $\text{R} = \text{OH}$
 38 : $\text{R} = \text{OCH}_3$



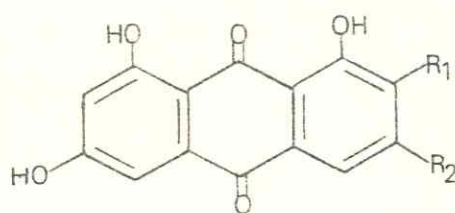
- 39 : $\text{R}_1 = \text{CO}_2\text{CH}_3$; $\text{R}_2 = \text{CH}_3$; $\text{R}_3 = \text{OH}$
 40 : $\text{R}_1 = \text{CH}_3$; $\text{R}_2 = \text{OH}$; $\text{R}_3 = \text{OH}$
 41 : $\text{R}_1 = \text{CH}_3$; $\text{R}_2 = \text{OH}$; $\text{R}_3 = \text{H}$
 42 : $\text{R}_1 = \text{CO}_2\text{H}$; $\text{R}_2 = \text{OH}$; $\text{R}_3 = \text{H}$



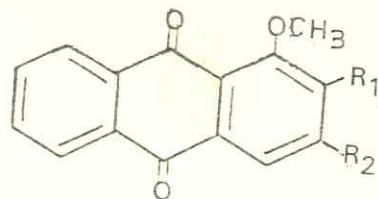
- 43 : $\text{R} = \text{CH}_2\text{OH}$
 44 : $\text{R} = \text{H}$
 45 : $\text{R} = \text{OCH}_3$
 46 : $\text{R} = \text{CO}_2\text{H}$



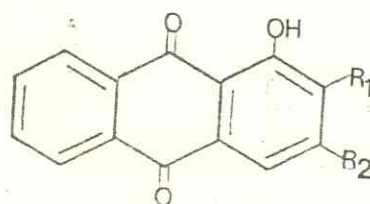
- 47 : $\text{R} = \text{H}$
 48 : $\text{R} = \text{CH}_3$
 49 : $\text{R} = \text{CH}_2\text{OH}$



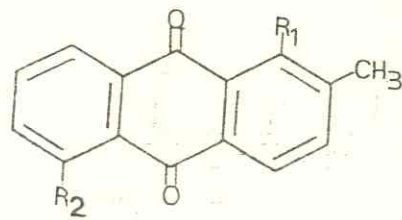
- 50 : $R_1 = CO(CH_2)_4CH_3$; $R_2 = OH$
 51 : $R_1 = OH$; $R_2 = CH_3$
 52 : $R_1 = CHO(CH_2)_4CH_3$; $R_2 = OH$
 53 : $R_1 = CH=CH(CH_2)_3CH_3$; $R_2 = OH$



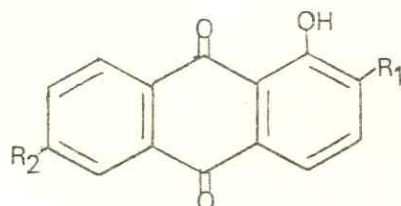
- 54 : $R_1 = OH$; $R_2 = H$
 55 : $R_1 = OCH_3$; $R_2 = OH$
 56 : $R_1 = OH$; $R_2 = OCH_3$
 57 : $R_1 = OH$; $R_2 = CH_3$



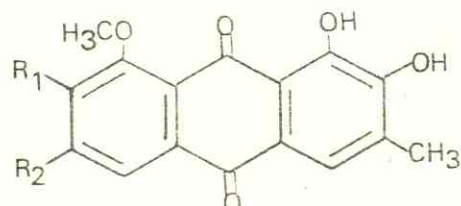
- 58 : $R_1 = H$; $R_2 = OCH_3$
 59 : $R_1 = OCH_3$; $R_2 = OCH_3$
 60 : $R_1 = CH_2OH$; $R_2 = OH$
 61 : $R_1 = CO_2H$; $R_2 = OH$



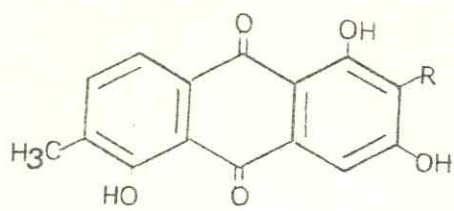
- 62 : $R_1 = OCH_3$; $R_2 = H$
 63 : $R_1 = OH$; $R_2 = OCH_3$
 64 : $R_1 = OH$; $R_2 = OH$
 65 : $R_1 = OH$; $R_2 = H$



- 66 : $R_1 = OH$; $R_2 = CH_3$
 67 : $R_1 = CH_3$; $R_2 = OH$

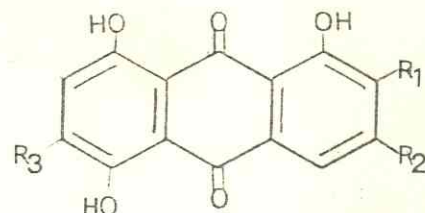
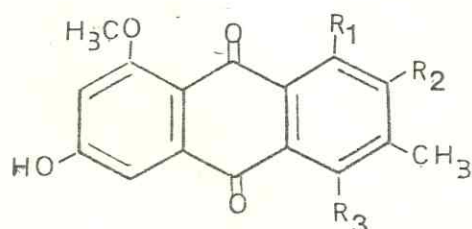
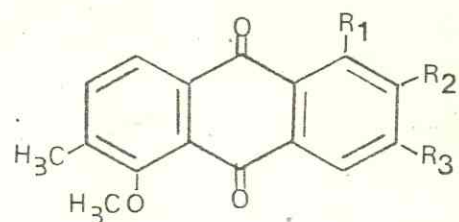
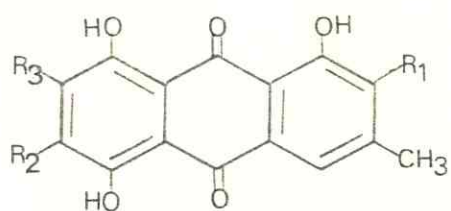
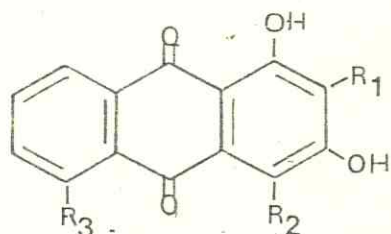


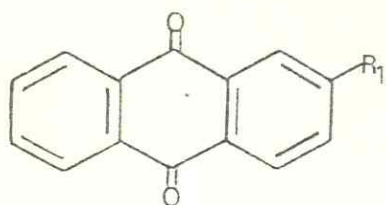
- 68 : $R_1 = OH$; $R_2 = OH$
 69 : $R_1 = OH$; $R_2 = OCH_3$
 70 : $R_1 = OCH_3$; $R_2 = OH$



71 : R=H

72 : R=OH

73 : R₁=R₃=OH; R₂=CH₂OH74 : R₁=H ; R₂=OH R₃=CH₃75 : R₁=R₃=H ; R₂=OH76 : R₁=R₃=OH; R₂=CO₂H77 : R₁, R₂=OCH₃, OH; R₃=OCH₃78 : R₁=R₃=OH ; R₂=OCH₃79 : R₁=H ; R₂=OCH₃; R₃=OH80 : R₁=OH; R₂=R₃=OH81 : R₁=R₂=R₃=H82 : R₁=R₃=H; R₂=OCH₃83 : R₁=R₃=H; R₂=CH₂OCH₂CH₃84 : R₁=CH₂OCH₂CH₃; R₂=R₃=H85 : R₁=CHO; R₂=OH; R₃=OCH₃

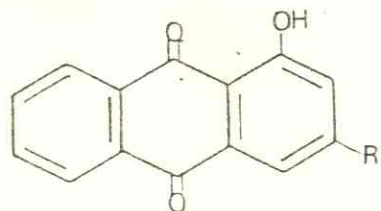


86 : R=COCH₃OCH₃

87 : R=CH₂OH

88 : R=COH

89 : R=CO₂H

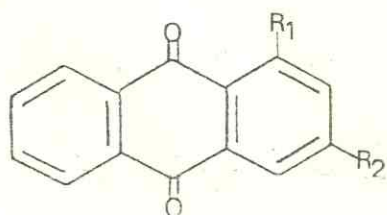


90 : R=CH₂OH

91 : R=CO₂H

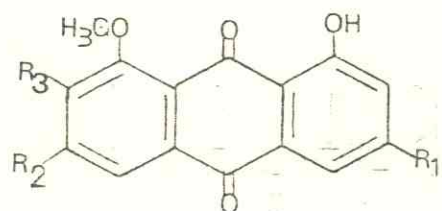
92 : R=CH₃

93 : R=OH



94 : R₁=CH₃ ; R₂=OH

95 : R₁=OCH₃ ; R₂=CH₂OH

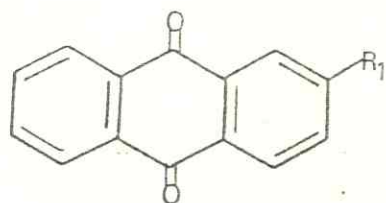


96 : R₁=CH₂OH ; R₂=OCH₃ ; R₃=H

97 : R₁=CH₃ ; R₂=OH ; R₃=H

98 : R₁=H ; R₂=CH₃ ; R₃=OH

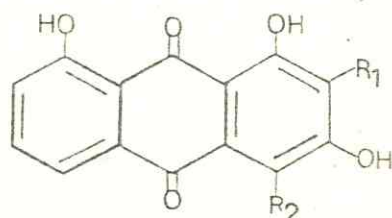
99 : R₁=H ; R₂=CH₃ ; R₃=OCH₃



100 : R=OCH₃

101 : R=OH

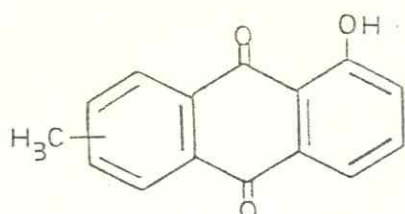
102 : R=CH₃



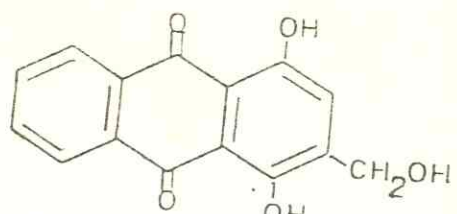
103 : R₁=CH₂OH, R₂=H

104 : R₁=CH₃ ; R₂=H

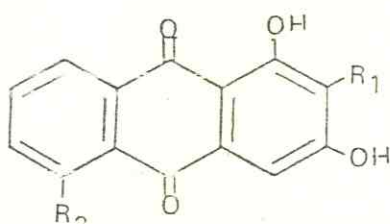
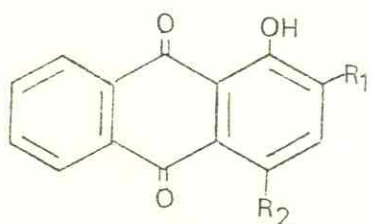
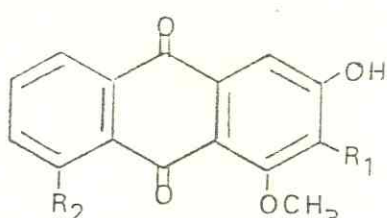
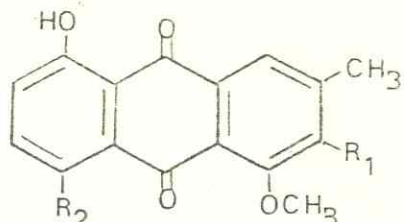
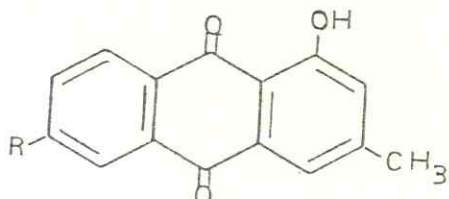
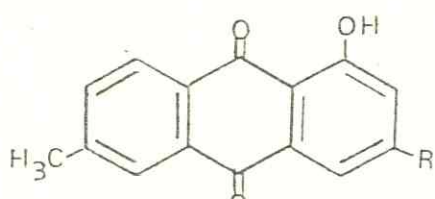
105 : R₁=CH₃ ; R₂=OCH₃

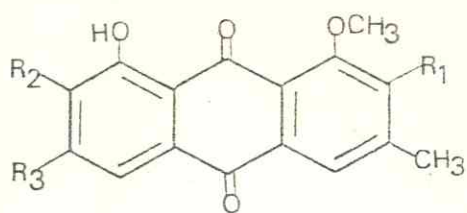


106



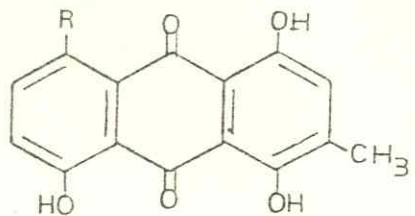
107

108 : $R_1 = CH_2OCH_3$; $R_2 = H$ 109 : $R_1 = CHO$; $R_2 = H$ 110 : $R_1 = CHO$; $R_2 = OH$ 111 : $R_1 = CH_3$; $R_2 = H$ 112 : $R_1 = CH_3$; $R_2 = OCH_3$ 113 : $R_1 = OH$; $R_2 = OH$ 114 : $R_1 = H$; $R_2 = OH$ 115 : $R_1 = CH_3$; $R_2 = OH$ 116 : $R_1 = CHO$; $R_2 = OH$ 117 : $R_1 = CH_2OH$; $R_2 = OH$ 118 : $R_1 = CH_3$; $R_2 = H$ 119 : $R_1 = OCH_3$; $R_2 = H$ 120 : $R_1 = R_2 = H$ 121 : $R_1 = H$; $R_2 = OCH_3$ 122 : $R = OH$ 123 : $R = OCH_3$ 124 : $R = H$ 125 : $R = OCH_3$ 126 : $R = OH$



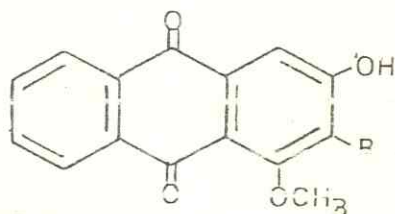
127 : $R_1 = OH$; $R_2 = OH$; $R_3 = OCH_3$

128 : $R_1 = OH$; $R_2 = R_3 = OCH_3$



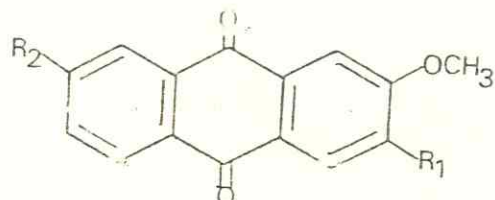
129 : $R = OH$

130 : $R = H$



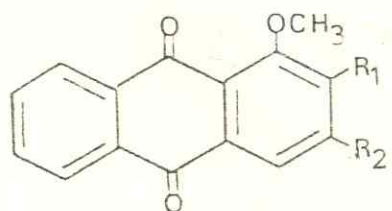
131 : $R = CHO$

132 : $R = CH_2OH$



133 : $R_1 = OCH_3$; $R_2 = CH_3$

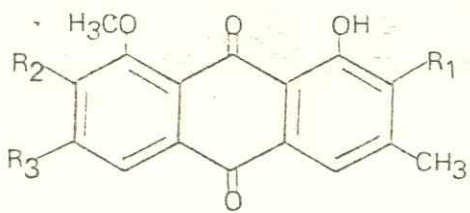
134 : $R_1 = CH_3$; $R_2 = H$



135 : $R_1 = CH_2OH$; $R_2 = CHOCH_2CH_3$

136 : $R_1 = OH$; $R_2 = OCH_3$

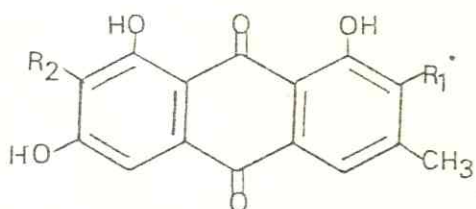
137 : $R_1 = H$; $R_2 = CH_3$



138 : $R_1 = CO_2H$; $R_2 = OCH_3$; $R_3 = H$

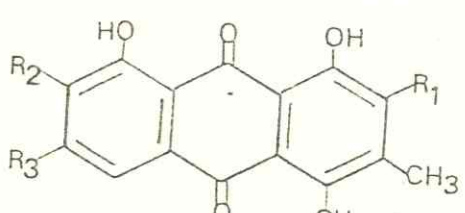
139 : $R_1 = CO_2H$; $R_2 = OH$; $R_3 = H$

140 : $R_1 = H$; $R_2 = OCH_3$; $R_3 = OH$



141 : $R_1 = CH_3$; $R_2 = CH=CH_2$

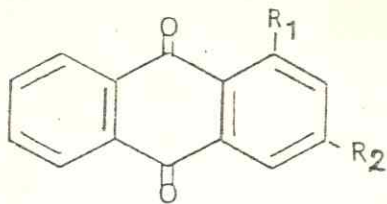
142 : $R_1 = H$; $R_2 = OH$



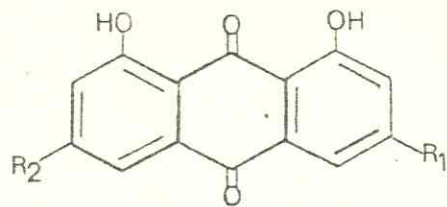
143 : $R_1 = R_3 = H$; $R_2 = OCH_3$

144 : $R_1 = R_2 = R_3 = H$

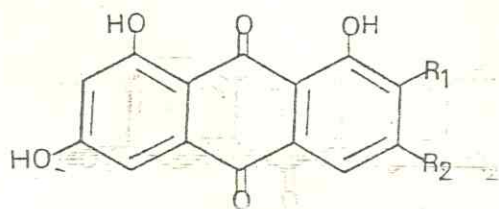
145 : $R_1 = R_3 = OH$; $R_2 = H$



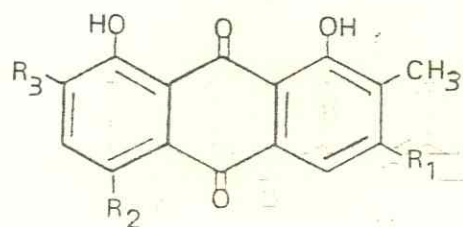
- 145 : $R_1 = OCH_3$; $R_2 = H$
147 : $R_1 = OCH_3$; $R_2 = OH$
148 : $R_1 = CH_2OH$; $R_2 = \emptyset$
149 : $R_1 = OH$; $R_2 = OCH_3$



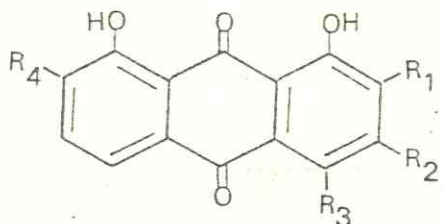
- 150 : $R_1 = COH$; $R_2 = OCH_3$
151 : $R_1 = CH_2OH$; $R_2 = OCH_3$
152 : $R_1 = CH_3$; $R_2 = preniloxi$
153 : $R_1 = CHOCH_3$; $R_2 = OCH_3$



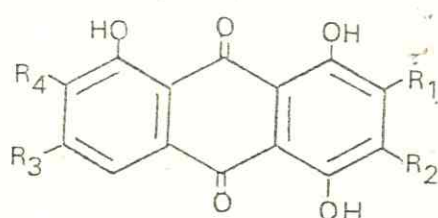
- 154 : $R_1 = (CH_2)_2CH(CH_3)_2$; $R_2 = CH_3$
155 : $R_1 = CO_2H$; $R_2 = CH_3$



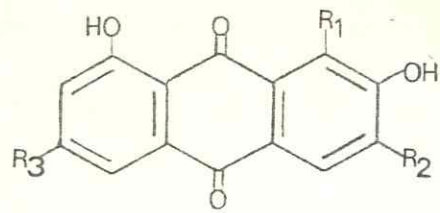
- 156 : $R_1 = R_2 = R_3 = H$
157 : $R_1 = R_2 = R_3 = OCH_3$



- 158 : $R_1 = CH_3$; $R_2 = R_4 = H$; $R_3 = OCH_3$
159 : $R_1 = CH_2OH$; $R_2 = R_4 = OH$; $R_3 = H$

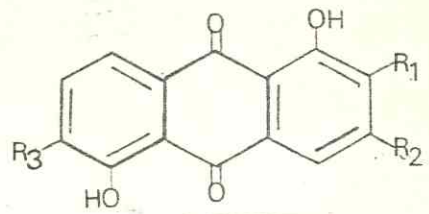


- 160 : $R_1 = CH_3$; $R_2 = H$; $R_3 = R_4 = H$
161 : $R_1 = R_4 = H$; $R_2 = CH_2OH$; $R_3 = OH$



162 : $R_1 = OCH_3$; $R_2 = CH_2OH$; $R_3 = H$

163 : $R_1 = H$; $R_2 = CH_3$; $R_3 = OCH_3$

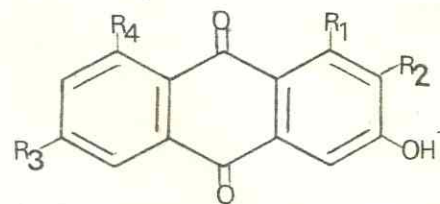


164 : $R_1 = CH_2OH$; $R_2 = R_3 = H$

165 : $R_1 = CH_3$; $R_2 = H$; $R_3 = OH$

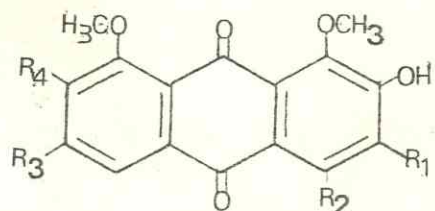
166 : $R_1 = CH_3$; $R_2 = R_3 = OH$

167 : $R_1 = R_3 = H$; $R_2 = CH_2OH$



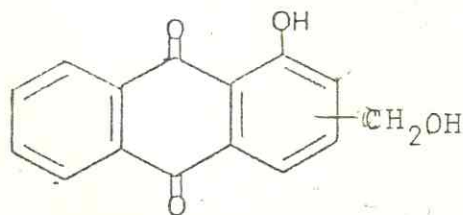
168 : $R_1 = R_3 = OH$; $R_2 = H$; $R_4 = CH_3$

169 : $R_1 = R_3 = R_4 = H$; $R_2 = OCH_3$

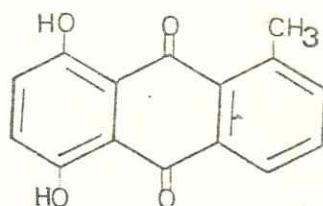


170 : $R_1 = R_2 = H$; $R_3 = R_4 = OCH_3$

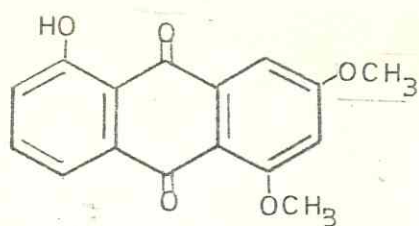
171 : $R_1 = R_2 = R_4 = OH$; $R_3 = H$



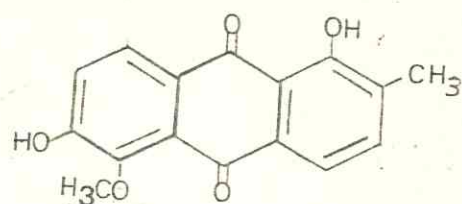
172



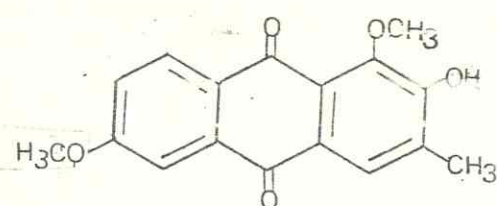
173



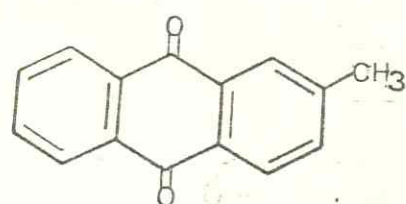
174



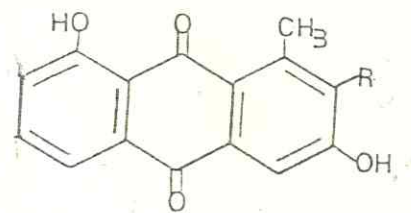
175



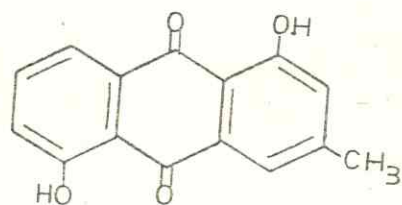
176



177

178 : R=CO₂CH₃

179 : R=OH



180

REFERÊNCIAS BIBLIOGRÁFICAS

REF.	AUTORES	PUBLICAÇÃO	ANO
001	UNCTAD/BATT (ITC)	MARK.SEL.MED.PLANTS & DERIV.,ITC., GENEVA	1974
002	COSTA, R.F..	FARMACOGNOSIA,GULBENKIAN,LISBOA,VOL.2, 221	1967
003	THOMPSON,R.H..	NAT.OCURR.QUINONES,ACAD.,NY.,2nd ED.,459	1971
004	LEISTNER,E. & ZENK,M.H..	TETRAHEDRON LETT.,20, 1677-81	1971
005	DAVIES,J.S., DAVIES,V.H. & HASSLR,C.H..	CHEM.COMM., 23, 1555	1968
006	SUI MING WONG, TEH CHANG CHIANG & HSON MOU CHANG.	PLANTA MED., 46(3), 191-2	1982
007	SEELKOPF,C. & TURN,L.R..	ARCH.PHARM., 293, 639-45	1960
008	VIDARI,G., VITAFINZI,P. & BERNARDI,M..	PHYTOCHEM., 10(12), 3335-9	1971
009	RHEEDLE VAN DUITHORN,M.C.B. VAN.	PLANTA MED., 11, 332-7	1963
010	SIQUEIRA,S.N., SANT'ANA,B.M.S., SILVA,G.A.A.B. & ALICE,C.B..	REV.BRAS.FARM., 56(1), 27-32	1976
011	HOFFENBERG,P..	SEIFEN,DELE,FETTE,WACHSE, 105(17), 499-502	1979
012	RHEEDLE VAN DUITHORN,M.C.B. VAN.	PHYTOCHEM., 3(03), 382-90	1964
013	CHAPMAN & HALL (ED.).	DICT.ORGAN.COMP.,C.HALL.,NY.,5th ED.,1964	1982
014	CHAPMAN & HALL (ED.).	DICT.ORGAN.COMP.,C.HALL.,NY.,5th ED.,1063	1982
015	CHAPMAN & HALL (ED.).	DICT.ORGAN.COMP.,C.HALL.,NY.,5th ED.,5507	1982
016	VILLATORO,G., GONZALEZ,G., POLONSKY,J. & BASKEVIICH-CARON,Z..	PHYTOCHEM., 13(09), 2018-9	1974
017	ZHONG WU MA, GUANFU HE & WANFEN YIN.	ZHIWU XUEBAO(CHINA), 26(3), 340-2	1984
018	MARQUINA,J.M.G. & VILLA,M.G..	FARMACOGNOSIA, 9, 255-9	1949
019	THOMPSON,R.H..	NAT.OCURR.QUINONES,ACAD.,NY.,2nd ED.,373	1971
020	THOMPSON,R.H..	NAT.OCURR.QUINONES,ACAD.,NY.,2nd ED.,375	1971
021	THOMPSON,R.H..	NAT.OCURR.QUINONES,ACAD.,NY.,2nd ED.,370	1971
022	THOMPSON,R.H..	NAT.OCURR.QUINONES,ACAD.,NY.,2nd ED.,380	1971
023	THOMPSON,R.H..	NAT.OCURR.QUINONES,ACAD.,NY.,2nd ED.,408	1971
024	THOMPSON,R.H..	NAT.OCURR.QUINONES,ACAD.,NY.,2nd ED.,407	1971
025	THOMPSON,R.H..	NAT.OCURR.QUINONES,ACAD.,NY.,2nd ED.,379	1971
026	THOMPSON,R.H..	NAT.OCURR.QUINONES,ACAD.,NY.,2nd ED.,399	1971
027	THOMPSON,R.H..	NAT.OCURR.QUINONES,ACAD.,NY.,2nd ED.,389	1971
028	ABDEL-GAWAD,M., RAYNAUD,J. & NETIEN,G..	PLANTA MED., 30(3), 232-6	1976
029	BHANUMATI,S., CHARBRA,S.C. & GUPTA,S.R..	INDIAN J.CHEM., SECT.B, 17B(1), 88-9	1979
030	ROMANOVA,A.S. & BAN'KOVSKII,A.I..	KHIM.PRIR.SOEDIN.AKAD.NAUK.USSR, 4, 294	1965
031	SABER,HIPNY A., BALBAR,S.T. & AWDAD,A.T..	BULL.FAC.PHARM.(CAIRO), 1(1), 7-21	1962
032	EL-SAYYAD,S.H. & ROS,S.A..	J.NAT.PROD., 46(3), 431-2	1983
033	VALENZUELA,R.L., WILKOMIRSKY,F. & HOFFMAN,F.M.T..	REV.REAL AC.CIEN.EXAT.MADRID,65(3),627-39	1971

REFERÉNCIAS BIBLIOGRÁFICAS

REF.	AUTORES	PUBLICAÇÃO	ANO
034	HATA,K., BABA,K. & KOZAWA,M..	CHEM.PHARM.BULL., <u>26</u> (12), 3792-7	1978
035	BHUTANI,S., LHIRER,J. & SESHADRI,T.R..	CURR.SCI., <u>35</u> (14), 363-4	1966
036	DUGGAL,J.K. & MISRA,K..	PLANTA MED., <u>45</u> (1), 48-50	1982
037	ANTON,R. & DUQUENOIS,P..	C.R.ACAD.SCI.PARIS, SER.D, <u>266</u> (14), 1523-5	1968
038	MIICHIRO TAKIDO.	CHEM.PHARM.BULL.(TOKYO), <u>6</u> , 356-400	1958
039	THOMPSON,R.H..	NAT.OCURR.QUINONES,ACAD.,NY.,2nd ED.,506	1971
040	KUDAV,N.A. & KULKARNI,A.V..	INDIAN J.CHEM., <u>12</u> (10), 1042-4	1974
041	PARIS,R. & CHARTIER,J..	ANN.PHARM.FRANC., <u>6</u> , 30-5	1948
042	SHARMA,K.N. & GUPTA,R.K..	INDIAN J.PHARM.SCI., <u>45</u> (6), 253-5	1983
043	TIWARI,R.D. & RICHARDS,A..	PLANTA MED., <u>36</u> (1), 91-4	1979
044	YOUNGKEN,H.W. & WALSH,R.A..	J.AM.PHARM.ASSOC., <u>43</u> , 139-40	1954
045	HAAG-BERRURIER,M., GARNIER,P. & ANTON,R..	PLANTA MED., <u>31</u> (3), 201-11	1977
046	RAI,P.P., TURNER,T.D. & GREENSMITH,S.L..	J.PHARM.PHARMACOL., <u>26</u> (9), 722-6	1974
047	ROQUE,A.S., COSTA,A.C. & ALVES,A.C..	GARCIA DE ORTA(PORTUGAL), <u>16</u> (2), 193-204	1968
048	SWARDESH,T. & KRISHNA,M..	PHYTOCHEM., <u>21</u> (1), 197-9	1982
049	DASS, R., JOSHI,T. & SHUKLA,S..	PHYTOCHEM., <u>23</u> (11), 2689-91	1984
050	THOMPSON,R.H..	NAT.OCURR.QUINONES,ACAD.,NY.,2nd ED.,507	1971
051	FARADOK,M.O., AZIZ,M.A. & AHMED,U.S..	J.PM.OIL CHEMIST SOC., <u>10</u> , 21-3	1956
052	TAKAHASHI,S., TAKIDO,M., SANKAWA,U. & SHIBATA,S..	PHYTOCHEM., <u>15</u> (8), 1295-6	1976
053	MULDER-KRIGER,T., VERPOORTE,R., WALTER,A., GESSEL,M., DEVER PLANTA MED., <u>46</u> (1), 19-24	1982	
	EN,B.C.J.A. & SVENDSEN,A.B.		
054	CHAPMAN & HALL (ED.).	DICT.ORGAN.COMP.,C.HALL.,NY.,5th ED.,3732	1982
055	THOMPSON,R.H..	NAT.OCURR.QUINONES,ACAD.,NY.,2nd ED.,381	1971
056	THOMPSON,R.H..	NAT.OCURR.QUINONES,ACAD.,NY.,2nd ED.,382	1971
057	CHAPMAN & HALL (ED.).	DICT.ORGAN.COMP.,C.HALL.,NY.,5th ED.,5501	1982
058	HOCQUEMILLER,R., FOUNET,A., BOUQUET,A., BRUMETON,J. & CRAVE,A..	PLANTA MED. PHYTOTER., <u>10</u> (4), 248-50	1976
059	THOMPSON,R.H..	NAT.OCURR.QUINONES,ACAD.,NY.,2nd ED.,371	1971
060	THOMPSON,R.H..	NAT.OCURR.QUINONES,ACAD.,NY.,2nd ED.,386	1971
061	CHAPMAN & HALL (ED.).	DICT.ORGAN.COMP.,C.HALL.,NY.,5th ED.,5250	1982
062	THOMPSON,R.H..	NAT.OCURR.QUINONES,ACAD.,NY.,2nd ED.,452	1971
063	THOMPSON,R.H..	NAT.OCURR.QUINONES,ACAD.,NY.,2nd ED.,410	1971
064	BROOCKER,E.G..	J.CHEM.SOC., 470	1959
065	THOMPSON,R.H..	NAT.OCURR.QUINONES,ACAD.,NY.,2nd ED.,405	1971
066	THOMPSON,R.H..	NAT.OCURR.QUINONES,ACAD.,NY.,2nd ED.,377	1971

REFERÉNCIAS BIBLIOGRÁFICAS

REF.	AUTORES	PUBLICAÇÃO	ANO
067	THOMPSON,R.H..	NAT.OCURR.QUINONES,ACAD.,NY.,2nd ED.,378	1971
068	CHAPMAN & HALL (ED.).	DICT.ORGAN.COMP.,C.HALL.,NY.,5th ED.,5505	1982
069	THOMPSON,R.H..	NAT.OCURR.QUINONES,ACAD.,NY.,2nd ED.,415	1971
070	THOMPSON,R.H..	NAT.OCURR.QUINONES,ACAD.,NY.,2nd ED.,414	1971
071	THOMPSON,R.H..	NAT.OCURR.QUINONES,ACAD.,NY.,2nd ED.,455	1971
072	THOMPSON,R.H..	NAT.OCURR.QUINONES,ACAD.,NY.,2nd ED.,384	1971
073	THOMPSON,R.H..	NAT.OCURR.QUINONES,ACAD.,NY.,2nd ED.,372	1971
074	IMRE,S. & SAR,S..	PHYTOCHEM., 15(2), 317-20	1976
075	CHAPMAN & HALL (ED.).	DICT.ORGAN.COMP.,C.HALL.,NY.,5th ED.,3108	1982
076	CHAPMAN & HALL (ED.).	DICT.ORGAN.COMP.,C.HALL.,NY.,5th ED.,3100	1982
077	THOMPSON,R.H..	NAT.OCURR.QUINONES,ACAD.,NY.,2nd ED.,451	1971
078	THOMPSON,R.H..	NAT.OCURR.QUINONES,ACAD.,NY.,2nd ED.,387	1971
079	CHAPMAN & HALL (ED.).	DICT.ORGAN.COMP.,C.HALL.,NY.,5th ED.,5508	1982
080	THOMPSON,R.H..	NAT.OCURR.QUINONES,ACAD.,NY.,2nd ED.,409	1971
081	KOMURA,H., MIZUKAWA,K., MINAKATA,H., HUANG,H., RIN,B. & CHEM.PHARM.BULL., 31(11), 4206-8 XU,R..	1983	
082	KNAPP,J.E., FARNSWORTH,N.R., THEINER,M. & SCHIFF Jr,P.L..	PHYTOCHEM., 11(10), 3091-2	1972
083	ANTONIO,V.T. & PINTO,M.S.V..	RES,CONG.LUSO-HISP.FARM., 3, 197-207	1952
084	ULLOA, NORA HENRIQUEZ.	AN.FAC.QUIM.FARM.(CHILE), 12, 113-20	1960
085	TRI,DAR-FU, LIN,YUH-MEEI & CHEN,FA-CHIN.	HUA HSUEH (TAIWAN), 3, 60-1	1979
086	XIANGUO HE, AILONG YU, ZHIYAN ZHAO & GUOGIANG SONG.	ZHIWU XUEBAO(CHINA), 24(2), 154-8	1982
087	MISCHENKO,N.P. & KRIVOSCHEKOVA,O.E..	KHIM.PRIR.SOEDIN.(USSR), 6, 829-30	1980
088	THOMPSON,R.H..	NAT.OCURR.QUINONES,ACAD.,NY.,2nd ED.,383	1971
089	YUEH HSIUNG KUO, TSEN RONG WU & YANG TANIN LIN.	J.CHIN.CHEM.SOC., 29(3), 213-5	1982
090	DREYER,D.L., ARRI,I., BASHMAN,C., ANDERSON Jr,W.R., SMITH,R. & DAVES Jr,G.D..	J.AM.CHEM.SOC., 97(17), 4985-90	1975
091	THOMPSON,R.H..	NAT.OCURR.QUINONES,ACAD.,NY.,2nd ED.,402	1971
092	DGANE,E. & STEGLICH,W..	PHYTOCHEM., 23(8), 1729-31	1984
093	THOMPSON,R.H..	NAT.OCURR.QUINONES,ACAD.,NY.,2nd ED.,419	1971
094	BARRETO,A.L.H., MACHADO,M.I.L. & BRAZ FILHO,R..	CIENC.CULT., 36(7)SUPL., 533	1984
095	THOMPSON,R.H..	NAT.OCURR.QUINONES,ACAD.,NY.,2nd ED.,504	1971
096	THOMPSON,R.H..	NAT.OCURR.QUINONES,ACAD.,NY.,2nd ED.,447	1971
097	THOMPSON,R.H..	NAT.OCURR.QUINONES,ACAD.,NY.,2nd ED.,479	1971
098	GOTTLIEB,D.R., MARTINS, H. & MAGALHÃES,M.T..	AN.ACAD.BRASIL CIENC., 42(SUPL.), 73-6	1970

REFERÉNCIAS BIBLIOGRÁFICAS

REF.	AUTORES	PUBLICAÇÃO	ANO
099	CHAPMAN & HALL (ED.).	DICT.ORGAN.COMP., C.HALL., NY., 5th ED., 5506	1982
100	KENICHISO,I., HIBERKARZU,N., INOMYE,H. & ZENK,M..	PHYTOCHEM., 20(7), 1693-700	1981
101	CHAPMAN & HALL (ED.).	DICT.ORGAN.COMP., C.HALL., NY., 5th ED., 1908	1982
102	PONG CHANG & KUO-HSIUNG LEE.	PHYTOCHEM., 23(8), 1733-6	1984
103	THOMPSON,R.H..	NAT.OCURR.QUINONES,ACAD.,NY., 2nd ED., 368	1971
104	THOMPSON,R.H..	NAT.OCURR.QUINONES,ACAD.,NY., 2nd ED., 385	1971
105	MARTINOD,P. & DE GALLARDO,L.G..	CIENC.NAT., 14(1), 2-10	1973
106	THOMPSON,R.H..	NAT.OCURR.QUINONES,ACAD.,NY., 2nd ED., 375	1971
107	DEY,A.K., MUKHERJEE,A., DAS,P.C. & CHATTERJEE,H..	INDIAN J.CHEM., SECT B, 16B(11), 1042	1978
108	POPINIGIS,I., MOREIRA,E., NARASHIMA,T., KRAMBECK,R. & OBDULTO,M..	TRIBUNA FARMACEUTICA, 48(1-2), 24-43	1980
109	GONZALEZ,R.G., CARDONA,R.J., DORTA,M.L., MEDINA,J.M. & LUIZ,F.R..	AN. QUIMICA (TENERIFE), 73(6), 869-71	1977
110	DAE SUK HAN & HI JAE CHO.	SANGWAK HAKHOE CHI, 12(4), 221-6	1981
111	KIYOSHI TSUKIDA & MICHIKO YONESHIGE.	J.PHARM.SOC.(JAPAN), 74, 379-82	1954
112	SAM SIK KANG & WON SICK WOO.	SAENGYAK HAKHOE CHI, 13(1), 79	1982
113	LEE, HIOK HUANG.	PHYTOCHEM., 8(2), 501-3	1969
114	DIANJUN,T.-M., ZUHUAN,P. & NINGCI,B..	YAOXUE XUEBAO, 16(8), 631-4	1981
115	BOTTA,B., DELLE MONACHE,F., DELLE MONACHE,G., MARINI-BETTOLD,G.B. & OGUKWA,J.V..	PHYTOCHEM., 22(2), 539-42	1983
116	GONZALEZ,R.G., CARDONA,R.J., MEDINA,J.M. & LUIZ,R.F..	AN.QUIMICA (TENERIFE), 70(11), 858-9	1974
117	FESTER,G.A..	ISIS, 44, 13-16	1953
118	KYODJI MINAMI & TOMOTAKA YOSHIMOTO.	NYPPON MOKUZAI GAKKAISHI, 9(5), 171-4	1983
119	AKACIC,B. & POJE,B..	ACTA PHARM.IUGOSLAV., 10, 57-71	1960
120	KOVALEV,A.F., ATROPP,M.Y. & KOLESNIKOV,D.G..	MED.PROM.(URSS), 16(3), 7-13	1962
121	GARCIA, JAIR.	REV.COLOMB.CIENC.QUIM.FARM., 1(1), 105-16	1969
122	GOTAIRIDZE,A.V. & KEMERTELIDZE,E.P..	KHIM.PRIR.SOEDIN.(URSS), 7, 114-5	1971
123	LACOMBE,N.R. & YOUNGKEN,H.W..	J.AM.PHARM.ASSOC., 32, 193-202	1943
124	TRIPATHI,V.D., AGARWAL,S.K. & RASTOGI,R.P..	INDIAN J.CHEM., SECT.B, 17B(1), 89-90	1979
125	CHAPMAN & HALL (ED.).	DICT.ORGAN.COMP., C.HALL., NY., 5th ED., 1047	1982
126	LI CHENG-LIN & YU PO..	YAO HSUEH TUNG PAO, 15(6), 1-2	1980
127	PAGANI,F..	FARMAC.ED.PRAT., 20(11), 519-31	1965
128	SEGAL,R., MILD-GOLDWEIS,I. & SAITSCHECK,B.V..	J.NAT.PROD.(LLYDIJA), 27(3), 237-42	1964
129	SCHRATZ,E. & VETHRACKE,H.J..	PLANTA MED., 6, 44-69	1958
130	TARASHINA,K.V. & CHIMBALOV,T.K..	IZV.VYS.UCH.ZAV.KHIM.K.TEKHN., 6(2), 305-9	1963

REFERÉNCIAS BIBLIOGRÁFICAS

REF.	AUTORES	PUBLICAÇÃO	ANO
131	TARASHINA,K.V. & CHIMBALOV,T.K..	IZV.AKAD.NAUK.KRZ..SSR., 2, 83-8	1962
132	HO DAC AN & HO DAR KHANH.	DUOC HOC(VIETNAM), 3, 12-16	1979
133	MURTI,V.V.S., SESHADRI,T.R. & SIVAKUMARAM,S..	PHYTOCHEM., 11(4), 1524-5	1972
134	STIKIN,V.A., BRIKOVSKII,A.I. & PEREL'SON,M.E..	KHIM.PRIR.SOEDIN.AK.NAUK.(URSS), 2(1),12-5	1966
135	CHAPMAN & HALL (ED.).	DICT.ORGAN.COMP.,C.HALL.,NY.,5th ED.,3107	1982
136	CHAPMAN & HALL (ED.).	DICT.ORGAN.COMP.,C.HALL.,NY.,5th ED.,1962	1982
137	MUNAUM,R.M., MUDAMBA,L.O. & OGUA,J.A..	PLANTA MED., 50(1), 111	1984
138	FAIRBAIRN,J.W. & EL-MUHTADI,F.J..	PHYTOCHEM., 11(1), 263-8	1972
139	TOMONO,M. & KOKETSU,J..	AGRIC.BIOL.CHEM., 46(7), 1913-4	1982
140	MARTINOD,T., HIDALGO,J., GUEVARA,G., MEDINA,M. & ARTEAGA,M..	POLITECNICA, 4(1), 34-44	1978
141	LUKIC,L.B..	PLANTA MED., 7, 400-5	1959
142	FANG,Z. & YU,J..	ZHONGCAOYAO, 13(7), 6-7	1982
143	ZANOVICH,R.L..	CHEM.ZENT., 1, 896	1942
144	ELKERY,M.A., SAYED,M.D. & MONSTATA,M.A..	J.PHARM.SCI.(U.ARAB.REP.),5, 209-19	1964
145	THOMPSON,R.H..	NAT.OCURR.QUINONES,ACAD.,NY.,2nd ED.,429	1971
146	TIWARI,R.D. & SINHA,K.S..	INDIAN J.CHEM.,SECT.B, 19B(6), 531-2	1980
147	LABADIE,R.P., SCHEFFER,J.J. & SVENDSEN,A.B..	PHARM.WEEKBLAD, 107(34), 535-9	1972
148	ZHEN-WEN XU.	CHUNG YAO TUNG PRO, 6(2), 29-30	1981
149	STARHOVA,H. & RADA,K..	FARM.OBZOR., 34, 302-7	1965
150	VYSOCHEINA,G.I. & GOUTAR,E.M..	RASTIT. RESUR., 13(1), 68-71	1977
151	CUILEI,I. & ISTUDOR,V..	FARMACIA (BUCHAREST), 21(2), 85-8	1973
152	ZHAOQUAN WANG, XIARONG WANG & ZHIHUA YANG.	ZHONGCAOYAO, 13(3), 7-9	1982
153	SUETSU,R., KITAGAWA,N. SHINDMARY,H. & TOMOYOSHI,T..	AGRIC. AND BIOL.CHEM., 41, 207	1957
154	GEENEVANDA,Y.A., GUNAWARDANA,P., KUMAR,N.S. & SUTANAWA,M.U.S..	PHYTOCHEM., 18(6), 1017-9	1979
155	RAYNE,M.S. & ZAFAR,N..	J.PHARM.(KARASHI), 2(1), 11-4	1983
156	PASLARASU,N. & FEODOROV PINCIOG,E..	FARMACIA(BUCHAREST), 24(4), 219-26	1976
157	THOMPSON,R.H..	NAT.OCURR.QUINONES,ACAD.,NY.,2nd ED.,369	1971
158	MATOS,F.J.A., SILVA,M.G.V. & AGUIAR,M.L.B.A..	RES.VII SIMP.PLANTA MEDIC.BRASIL, 79	1984
159	PARENTE,J.P., SILVA,M.G.V. & MATOS,F.J.A..	RESULTADOS NAO PUBLICADOS.	1985
160	COOKE,R.G. & JOHNSON,B.L..	AUSTRALIAN J.CHEM.,16(4),695-702	1963
161	CAMELE,G., DELLE MONACHE,F., DELLE MONACHE,G., MARINI-BETTOLO,G.B. & LIMA,R.A..	PHYTOCHEM., 21(2), 417-9	1982
162	FOURNIER,G., BERCHT,C.A.L. & PARIS,R.R..	PHYTOCHEM., 14(9), 2099	1975

REFERENCIAS BIBLIOGRÁFICAS

REF.	AUTORES	PUBLICAÇÃO	ANO
163	CHAPMAN & HALL (ED.).	DICT.ORGAN.COMP., C.HALL., NY., 5th ED., 1959	1982
164	THOMPSON,R.H..	NAT.OCURR.QUINONES,ACRD.,NY.,2nd ED.,472	1971
165	THOMPSON,R.H..	NAT.OCURR.QUINONES,ACRD.,NY.,2nd ED.,416	1971
166	MISCHENKO,N.P., STEPANENKO,L.S., KRIVOSHCHEKOVA,O.E. & KHIM.PRIR.SOEDIN.(URSS), 2, 160-5 MAKSIMOV,O.B..	KHIM.PRIR.SOEDIN.(URSS), 2, 160-5	1980
167	THOMPSON,R.H..	NAT.OCURR.QUINONES,ACRD.,NY.,2nd ED.,440	1971
168	THOMPSON,R.H..	NAT.OCURR.QUINONES,ACRD.,NY.,2nd ED.,502	1971
169	THOMAS MICHAEL PARLEY (UNIV.WISC.,USA).	DISSERTATION ABSTR., 25(11), 6193-4	1965
170	SIMON,A.V..	WEST AFRIC.J.BIOL.APPL.CHEM., 10(1), 1-10	1967
171	YUSURU YAMAMOTO, NORIKI KIRYAMA & SUSUMU ARAHARA.	CHEM.PHARM.BULL.(TOKYO), 16(2), 304-10	1968
172	THOMPSON,R.H..	NAT.OCURR.QUINONES,ACRD.,NY.,2nd ED.,510	1971
173	THOMPSON,R.H..	NAT.OCURR.QUINONES,ACRD.,NY.,2nd ED.,430	1971
174	THOMPSON,R.H..	NAT.OCURR.QUINONES,ACRD.,NY.,2nd ED.,482	1971
175	ARKLEY,V., DEAN,F.M., JONES,P., ROBERTSON,A. & TETRAZ,I..	CROAT.CHEM.ACTA, 29, 141-51	1957
176	THOMPSON,R.H..	NAT.OCURR.QUINONES,ACRD.,NY.,2nd ED.,442	1971
177	THOMPSON,R.H..	NAT.OCURR.QUINONES,ACRD.,NY.,2nd ED.,511	1971
178	THOMPSON,R.H..	NAT.OCURR.QUINONES,ACRD.,NY.,2nd ED.,454	1971
179	THOMPSON,R.H..	NAT.OCURR.QUINONES,ACRD.,NY.,2nd ED.,497	1971
180	THOMPSON,R.H..	NAT.OCURR.QUINONES,ACRD.,NY.,2nd ED.,450	1971
181	CHAPMAN & HALL (ED.).	DICT.ORGAN.COMP., C.HALL., NY., 5th ED.,472	1982
182	VAN EJK,B.W. & ROEYMANS,H.J..	EXP. MYCOL., 5(4), 373-5	1981
183	THOMPSON,R.H..	NAT.OCURR.QUINONES,ACRD.,NY.,2nd ED.,494	1971
184	THOMPSON,R.H..	NAT.OCURR.QUINONES,ACRD.,NY.,2nd ED.,503	1971
185	NAGO, HIROSHI & ISHIKAWA,HIRAO.	MOZUKAI GAKKAISHI, 16(6), 294-9	1970
186	FEGYIN CAO, WENXIN LIU, YUESHENG WEN, ZHURGRONG HE & WENJUAN QIN.	ZHONGCAOYAO, 14(6), 242	1983
187	SHOJI SHIBATA, JUNZO SHIGI, AKIHIRO OHTA & MITSUQ WATANABE.	PHARM.BULL.(TOKYO), 5, 380-2	1957
188	THOMPSON,R.H..	NAT.OCURR.QUINONES,ACRD.,NY.,2nd ED.,438	1971
189	THOMPSON,R.H..	NAT.OCURR.QUINONES,ACRD.,NY.,2nd ED.,439	1971
190	THOMPSON,R.H..	NAT.OCURR.QUINONES,ACRD.,NY.,2nd ED.,436	1971
191	THOMPSON,R.H..	NAT.OCURR.QUINONES,ACRD.,NY.,2nd ED.,435	1971
192	THOMPSON,R.H..	NAT.OCURR.QUINONES,ACRD.,NY.,2nd ED.,445	1971
193	BICK,I.R.C. & RHEE,C..	BIOCHEM.J., 98(1), 112-6	1966

REFERÉNCIAS BIBLIOGRÁFICAS

REF.	AUTORES	PUBLICAÇÃO	ANO
194	VAN EJK,B.W. & ROEYMANS,H.J..	PHYTOCHEM., <u>17</u> (10), 1804-5	1978
195	THOMPSON,R.H..	NAT.OCURR.QUINONES,ACAD.,NY.,2nd ED.,437	1971
196	THOMPSON,R.H..	NAT.OCURR.QUINONES,ACAD.,NY.,2nd ED.,484	1971
197	THOMPSON,R.H..	NAT.OCURR.QUINONES,ACAD.,NY.,2nd ED.,513	1971
198	CHAPMAN & HALL (ED.).	DICT.ORGAN.COMP.,C.HALL.,NY.,5nd ED.,2599	1982
199	SIEGFRIED HUNECK & GERHARD FOLLMAN.	Z. NATURFORSCH, <u>20b</u> (10), 1012-3	1965
200	GSTRAUMTHALER,B.J.A..	BIOCHIM.BIOPHYS.ACTA, <u>750</u> /2, 424-7	1983
201	CANNON,J.R., LANGFORD,J.H., SMITH,B.G. & WONG,L.C.H..	J.SCI.SOC.THAILAND, <u>8</u> (3), 163-6	1982
202	KRIVOSCHEKOVA,O.E., MAKSIMOV,B., STEPANENKO,L.S. & MISCHENKO,N.P..	PHYTOCHEM., <u>21</u> (1), 193-6	1982

DETERMINAÇÃO ESTRUTURAL DAS ANTRAQUINONAS

4. Determinação estrutural das antraquinonas

A partir do extrato clorofórmico do cerne de *V. macrocarpa* foram isoladas três substâncias de cor amarela, codificadas por VM-S1, VM-S5 e VM-S10. O teste de Borntraeger indicou a natureza antraquinônica destas substâncias.

Os espectros no infravermelho das três substâncias mostram absorções em 1720 , 1680 e 1620cm^{-1} , características de carbonila de antraquinonas contendo hidroxilas vicinais a carbonilas⁽¹⁾. As hidroxilas queladas originam absorções na faixa de 3200 - 2500cm^{-1} como bandas largas que geralmente passam despercebidas. Assim, não existindo bandas nítidas nos espectros de VM-S1 e VM-S10 em torno de 3200cm^{-1} , como nos espectros de RMN¹H aparecem picos atribuídos a hidroxila fenólica, deve existir pelo menos uma hidroxila quelada em cada uma destas substâncias. Figs. 2 e 11. O espectro de VM-S5 apresenta uma banda larga em 3370cm^{-1} devido as vibrações de estiramento característico de -OH não quelada fig. 7 . A natureza aromática destas substâncias é evidenciada por absorções em 1600 , 1490 e 1450cm^{-1} enquanto as absorções em 2980 , 2960 e 2920cm^{-1} são devidas as vibrações de C-H alifático. Aparece porém no espectro de VM-S10, um pico forte em 1260cm^{-1} proveniente de vibrações de estiramento da ligação C-O.

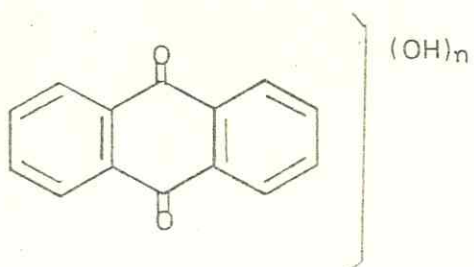
Os dados de absorções no U.V. contidos na Tabela 2 sugere tratar-se de substâncias com esqueleto antraquinônico, o que vem em apoio as conclusões da análise do espectro no I.V.

Tabela 2 . Absorções no U.V. das antraquinonas isoladas

Antraquinona	EtOH			nm
	U.V.		λ_{max}	
VM-S1	259		275	286 432
VM-S5	253		274	290 449
VM-S10	251		-	286 435

Após a adição de hidróxido de sódio, observou-se deslocamento batocrômico dos máximos de absorção indicando a presença de hidroxila fenólica. A regeneração da curva após a adição de ácido clorídrico permite estabelecer a ausência de sistemas orto ou para dihidroxi nos compostos.

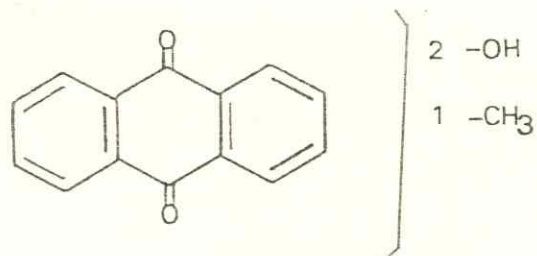
Assim, a estrutura parcial das substâncias seria portanto correspondente à representação feita a seguir:



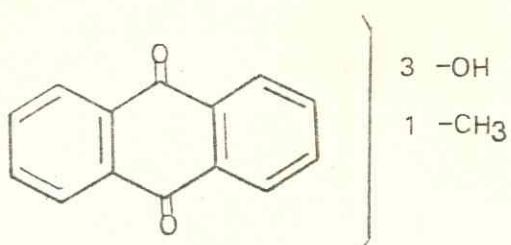
O espectro de ressonância magnética nuclear protônica a 60MHz das três antraquinonas revela a existência de duas hidroxilas fenólicas (evidenciadas por acetilação), queladas, cujos sinais em forma de singlet se localizam a 11,90 e 12,00 δ para VM-

S1; 12,40 e 12,20 δ para VM-S5 e 12,40 e 12,00 δ para VM-S10. As três substâncias apresentam também em comum um singuleto forte em torno de 2,37 δ correspondendo a um grupamento metila o qual, de acordo com sua biossíntese deve estar ligado no carbono C-3. O espectro de RMNH de VM-S1 indica a existência de cinco protones de natureza aromática como se pode deduzir pela integração do espectro. Com o grupamento metila localizado em C-3 tem-se dois hidrogênios em posição meta entre si cujos sinais se apresentam como dubletos largos em 7,18 e 6,95 δ . Relativos aos outros três protones aromáticos, observa-se picos em 7,21 δ , 7,5 δ e 7,6 δ na forma de picos largos.

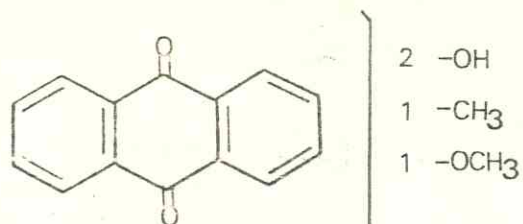
Quantos aos protones aromáticos de VM-S5 e VM-S10 são em número de quatro de acordo com a integração das absorções nesta região do espectro de RMN¹H de ambos. Percebe-se duas constantes de acoplamento que podem ser calculadas como J=2Hz e J=3Hz guardando então estes protones uma relação meta entre si, dois a dois. Fig. 8 e Fig. 12. Observa-se ainda no espectro de RMN¹H de VM-S10, um singuleto em 3,86 δ compatível com a existência de uma metoxila em sua estrutura. Com base nos dados dos três espectros analisados, as estruturas parciais das antraquinonas seriam correspondentes às seguintes representações:



VM-S1



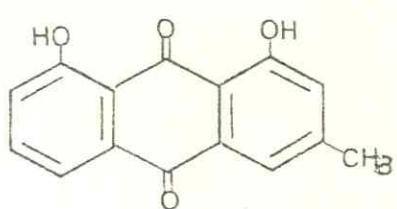
VM-S5



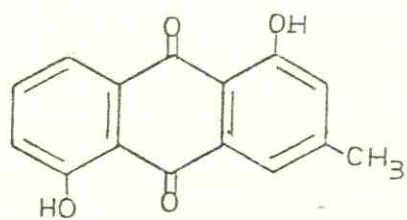
VM-S10

VM-S1

Para a estrutura de VM-S1 pode-se, formular a hipótese desta substância corresponder a 1,8-dihidroxi-3-metil antraquinona ou 1,5-dihidroxi-3-metil antraquinona, de acordo com os espectros de RMN¹H e U.V.. O sistema de numeração adotado foi o convencional, que começa pelo anel que contém o grupo CH₃.



1



180

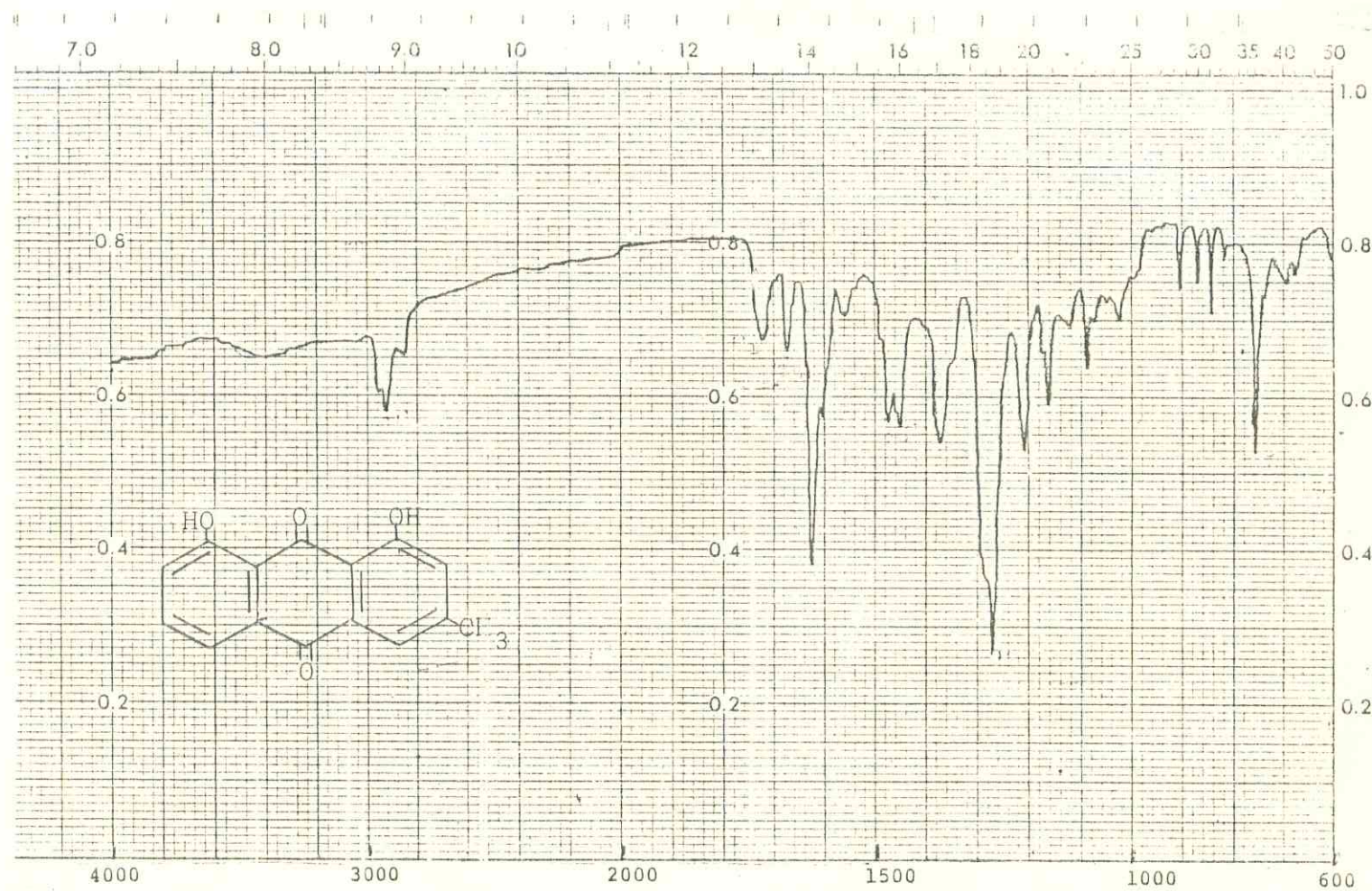


FIGURA 2. Espectro no I.V. de VM-S1.

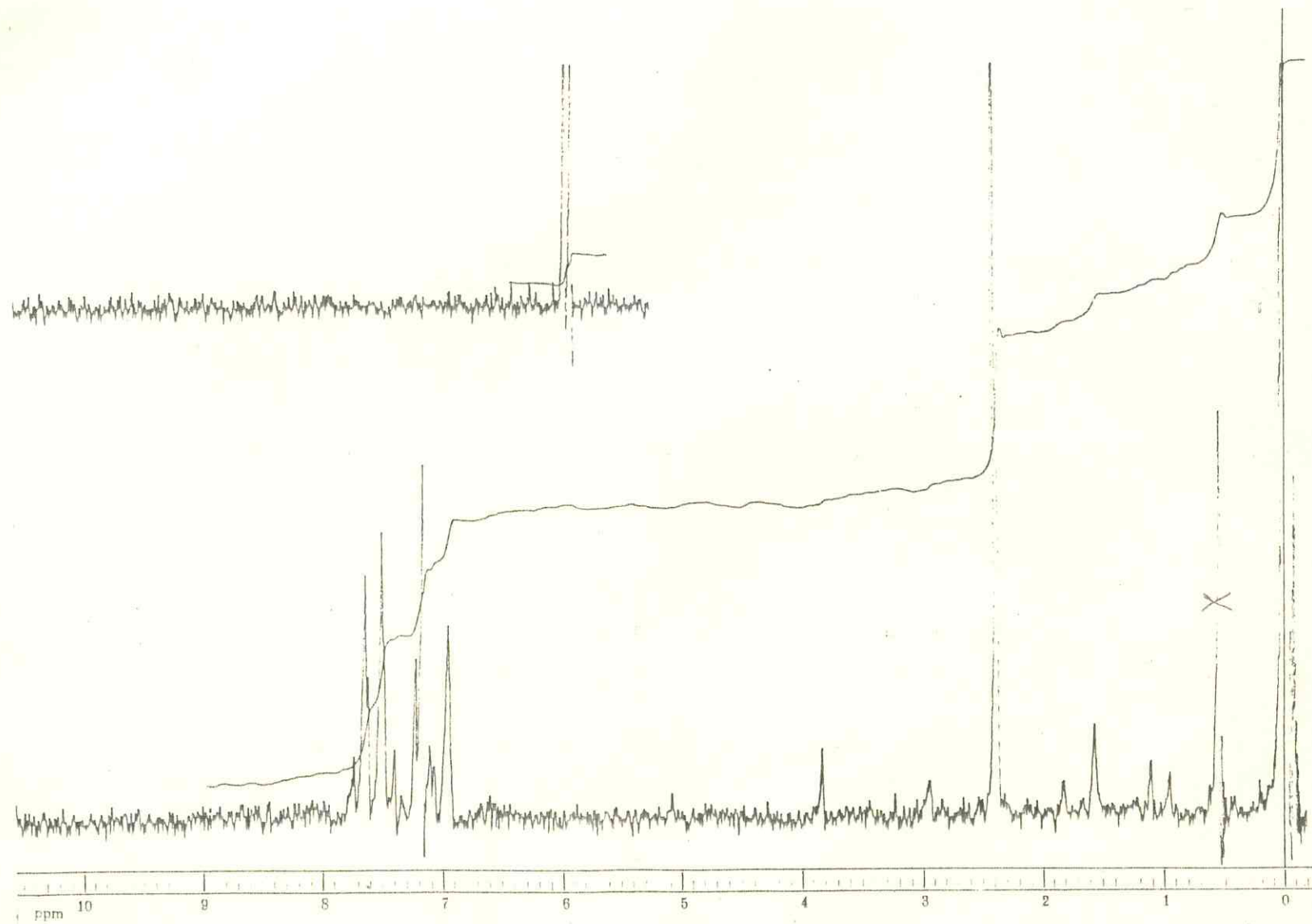


FIGURA 3. Espectro de RMN ^1H de VM-S1.

Os dados registrados referentes as 1,5 e 1,8-dihidroxi-3-metil antraquinonas e os obtidos experimentalmente estão colocados na tabela 3.

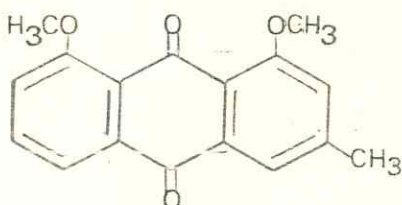
Tabela 3 - Algumas características físicas de 1,8 e 1,5-dihidroxi-3-metil antraquinona

Nome	IV(cm^{-1})		EtOH	U.V. nm	pf(°C)	pf(°C)acetato
	C=O quelada	C=O não quelada				
1,5-dihidroxi-3-metilantraquinona	1611	-		255 281 290	227-8	
1,8-dihidroxi-3-metilantraquinona	1621	1680		257 277 287 429	196	205-7
VM-S1	1620	1680		257 276 290	192-4	210

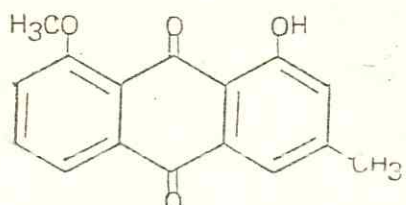
Comparando os dados experimentais espetrométricos e de ponto de fusão com os referidos na literatura para compostos 1,5 e 1,8-dihidroxiantraquinônicos optou-se pela estrutura da 1,8-dihidroxi-3-metilantraquinona, conhecida como crisofanol(1), já isolada da *Vatairea guianensis* Aubl., *V. lundelli* (Standl) Kill e *Vatairea reopsis araroba* Ducke, todas da mesma família sendo duas do mesmo gênero *Vatairea*.

O produto da metilação do crisofanol apresentou 3 manchas em placa cromatográfica de sílica gel. Uma dessas manchas correspondia ao crisofanol, por comparação com padrão. Através de uma coluna de sílica foi possível separar o crisofanol (115mg) dos dois outros componentes, os quais após eliminação do solvente apresen-

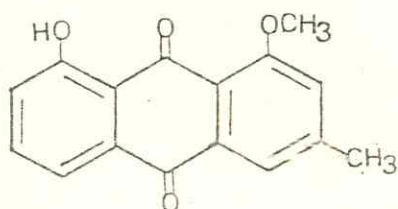
tou ponto de fusão 176-89°C e duas manchas em placa de silica correspondendo a mistura do derivado dimetoxilado do crisofanol (181) e seus monoéteres, o 1-hidroxi-3-metil-8-metoxi antraquinona (182) e o 1-metoxi-3-metil-8-hidroxi antraquinona (183).



181



182



183

A mistura dos monoéteres é citada⁽⁴⁾ como apresentando uma só mancha em placa de silica em dezesseis sistemas de solvente diferentes, embora quando analisada em CLAE tenha apresentado três picos distintos correspondentes a seus três componentes. O comportamento cromatográfico do crisofanol em comparação a seus derivados metilados é aparentemente inesperado (Tabela 4). Em CCD observa-se uma acentuada variação do valor de Rf que passa de 0,77 para 0,001-0,004 (cerca de 95% de variação) diferença inver-

samente proporcional a diminuição aparente de polaridade. Esta menor polaridade aparente torna evidente a existência de dupla quebração entre a carbonila em C-9 com as hidroxilas em C-1 e C-8 o que parece impedir a interação das hidroxilas com a sílica. O mesmo efeito é observado com a fisciona (0,68). Em CLAE, observa-se que o tempo de retenção do crisofanol em MeOH é menor que dos derivados 1,8-di-O-metil(181), 8-O-metil(182) e maior que do 1-O-metil(183) figura 5, embora a ordem de saída dos três derivados metilados na coluna de fase reversa MicroPAK MCH-5 seja compatível como que se espera pelo exame das estruturas. Observa-se que sempre o derivado 8-O-metil(182) fica posicionado entre o 1-O-metil(183) e o 1,8-di-O-metil(181) nas comparações de CLAE embora o pico do crisofanol troque de posição com o 8-O-metil quando aumenta a polaridade da fase móvel pela adição de água (Fig. 6). Em relação as outras antraquinonas isoladas, o comportamento do crisofanol em sistema de fase reversa é inusitado, ficando sua polaridade aparente entre a da fisciona e da emodina (Fig.14). Os picos correspondentes aos monoéteres foram identificados por análise dos dados de RMN¹H(Fig. 4) especialmente quanto as absorções referentes aos protones do grupo metila e das hidroxilas fenólicas.

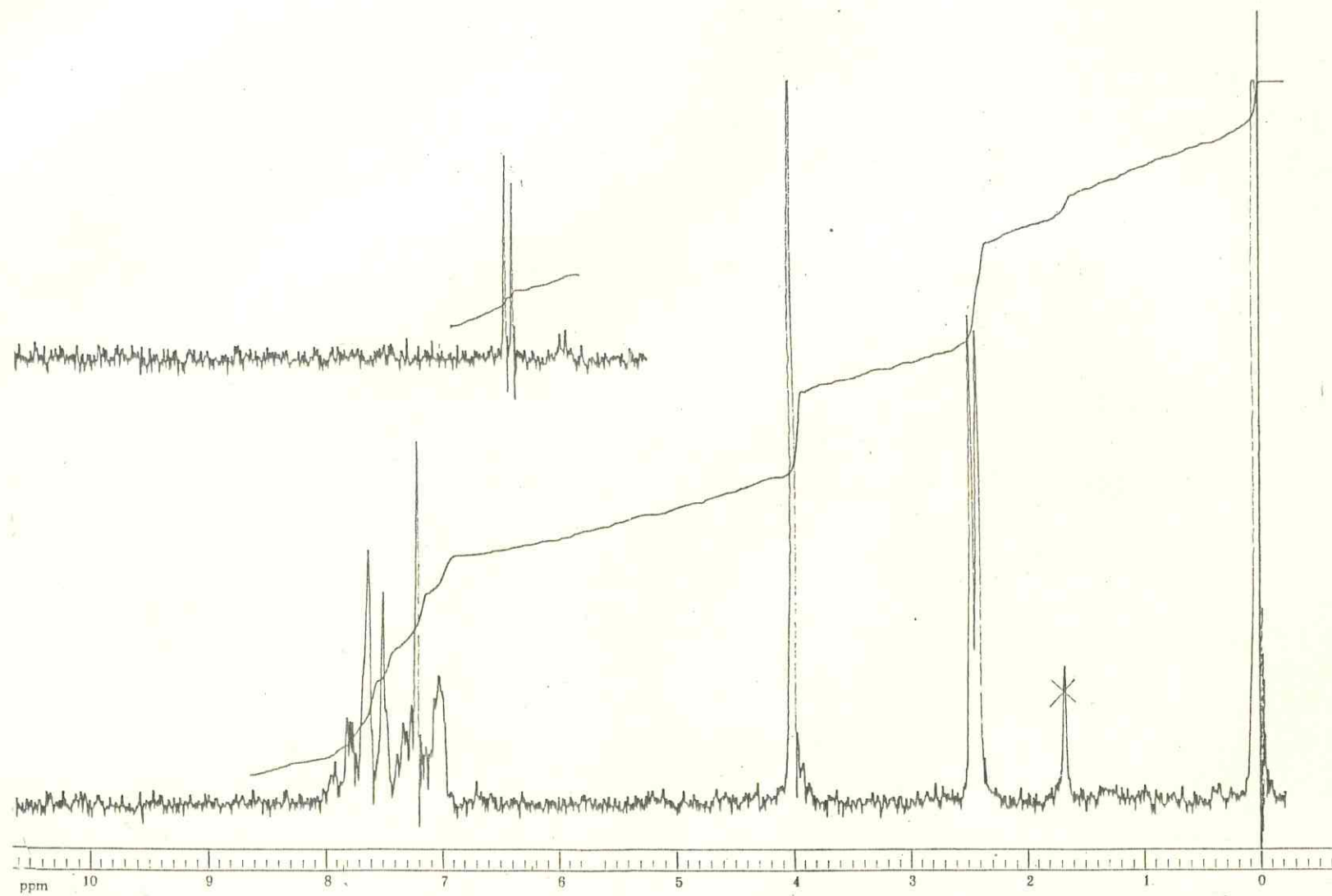


FIGURA 4. Espectro de RMN ^1H dos monoéteres do crisofanol.

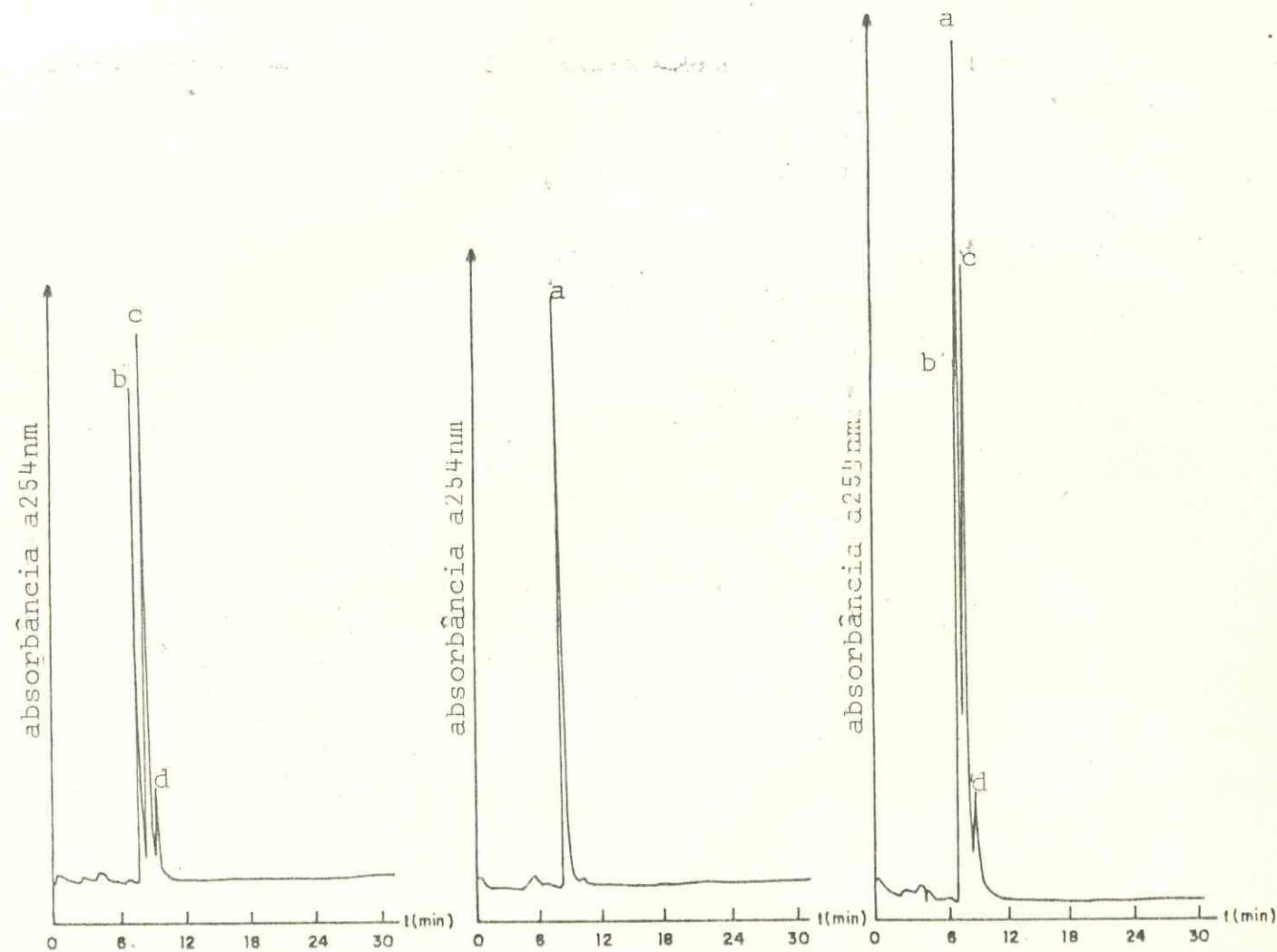


FIGURA 5. Cromatogramas em CLAE do crisofanol e seus éteres em MeOH.

a=crisofanol; b=1-OMe-crisofanol; c=8-OMe-crisofanol;
d=1,8-di-OMe-crisofanol.

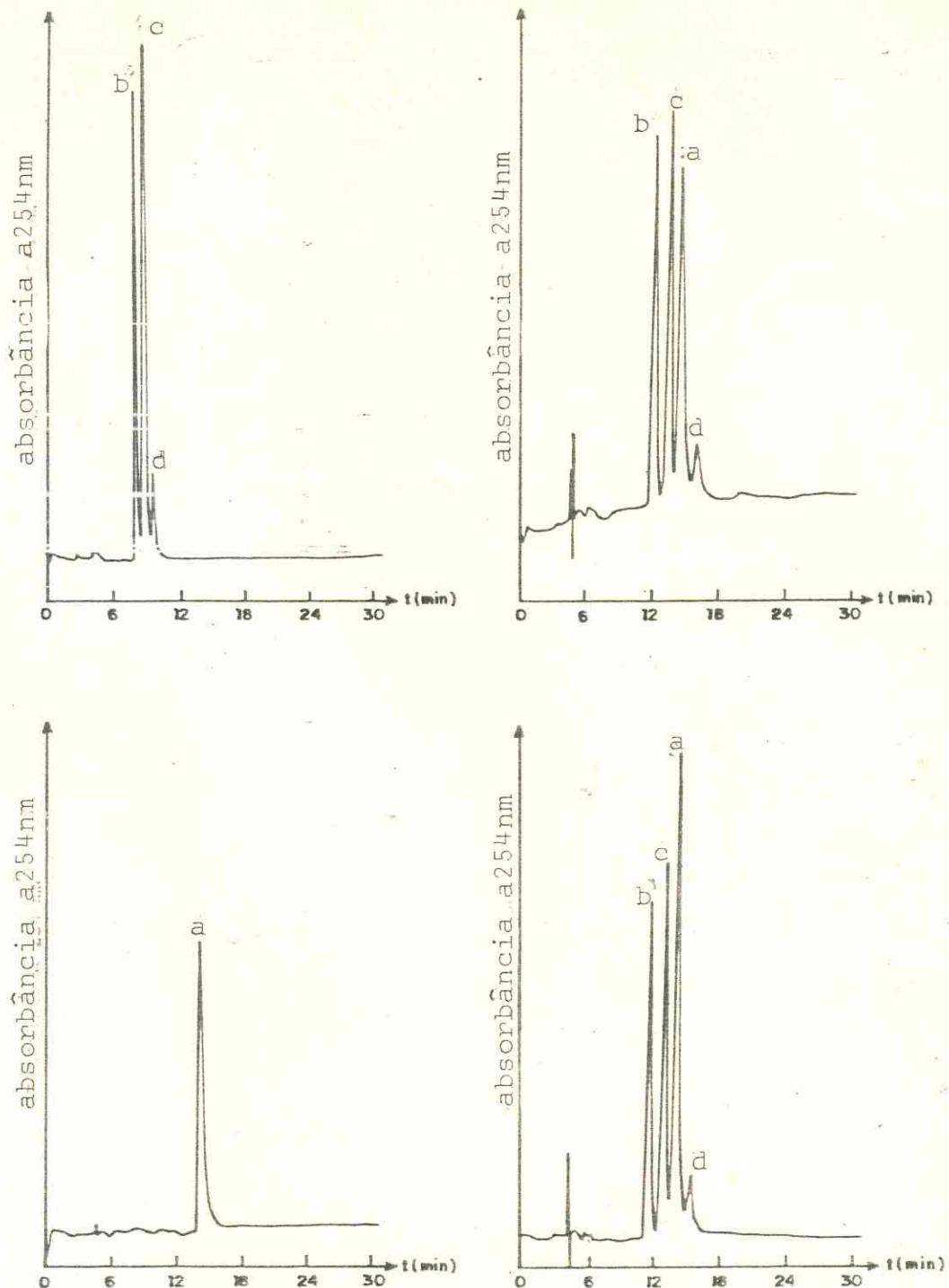


FIGURA 6. Cromatogramas em CLAE do crisofanol e seus éteres em MeOH+H₂O (9:1).

a= crisofanol; c=8-OMe-crisofanol;
b= 1-OMe-crisofanol; d=1,8-di-OMe-crisofanol

Tabela 4 - Valores de tempos de retenção (Tr) e de Razão frontal (Rf) do crisofanol e derivados metilados; emodina e fisciona.

Nome	Tr ^(a)	Tr ^(b)	Rf ^(c)
Crisofanol	7,90	14,00	0,77
1-OMe-crisofanol	8,70	12,80	0,10
8-OMe-crisofanol	7,80	11,40	0,10
1,8-di-OMe-crisofanol	9,60	15,50	0,40
fisciona	9,70	20,00	0,68
emodina	8,80	7,00	0,01

a - coluna de fase reversa - C₁₈, eluente = MeOH

b - coluna de fase reversa - C₁₈, eluente = MeOH+H₂O (9:1)

c - CCD; Meio: sílica, eluente: benzeno + éter de petróleo (1:1)

VM-S5

No espectro de massa de VM-S5 (Fig.10) tem-se o pico molecular que também é o pico base em 270 u.m.a.. Outros ions fragmentários tem $m/e = 242$ u.m.a.(5%) referente a perda de 28 u.m.a. (0) que depois perde mais 28.u.m.a. ($m/e = 214$ (4%) ou perde 1 u.m.a. fornecendo o fragmento de 241 u.m.a. (12,5%).

No Quadro I (pag. 91) propõe-se uma sequência de fragmentação para VM-S5 que explica a formação do fragmento 241 de modo diverso do sugerido por Evans et alli⁽¹¹⁾ (Ver Quadro II) considerando que a formação do anel de sete membros deve ter ocorrido logo após a descarbonilação que gerou o pico 242 u.m.a..

Os dados espectrais de VM-S5 reunidos levam a identificá-lo com a 1,6,8-trihidroxi-3-metil antraquinona conhecida por emodina (2). Seu ponto de fusão, 247-52°C, difere porém do citado na literatura 253-5°C⁽⁵⁾, 255-60°C⁽⁶⁾. Com o objetivo de comprovar a estrutura de VM-S5, submeteu-se uma amostra à metilação com diazo-metano⁽⁷⁾, com o fim de metilar a hidroxila não-quelada.

A análise do resultado da metilação foi feita em CLAE (Cromatografia Líquida de Alta Eficiência). Fez-se primeiramente o cromatograma de VM-S5 em metanol ($T_r=8,8\text{min.}$) a seguir um cromatograma de VM-S5 metilada ($T_r=9,7\text{min.}$) e por último, de uma amostra autêntica da emodina metilada em C-6 ($T_r=9,7\text{min.}$). No cromatograma da co-injeção de VM-S5 metilada e a amostra autêntica, observa-se o aumento considerável no tamanho do pico ($T_r=9,7\text{min.}$), (Fig. 9). Deste modo, a estrutura da emodina, 1,6,8-trihidroxi-3-metil antraquinona para VM-S5 foi confirmada.

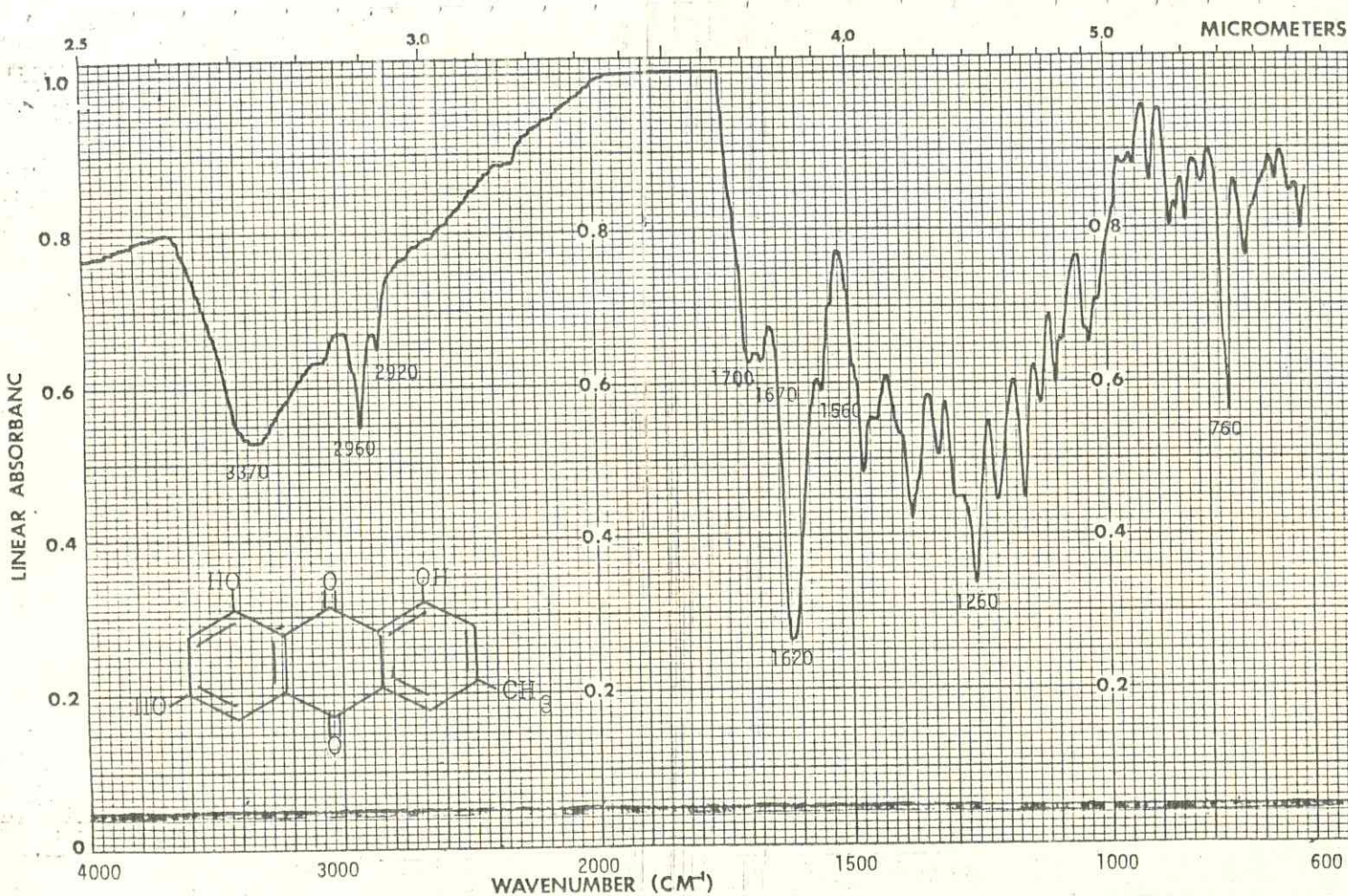


FIGURA 7. Espectro no I.V. de VM-S5.

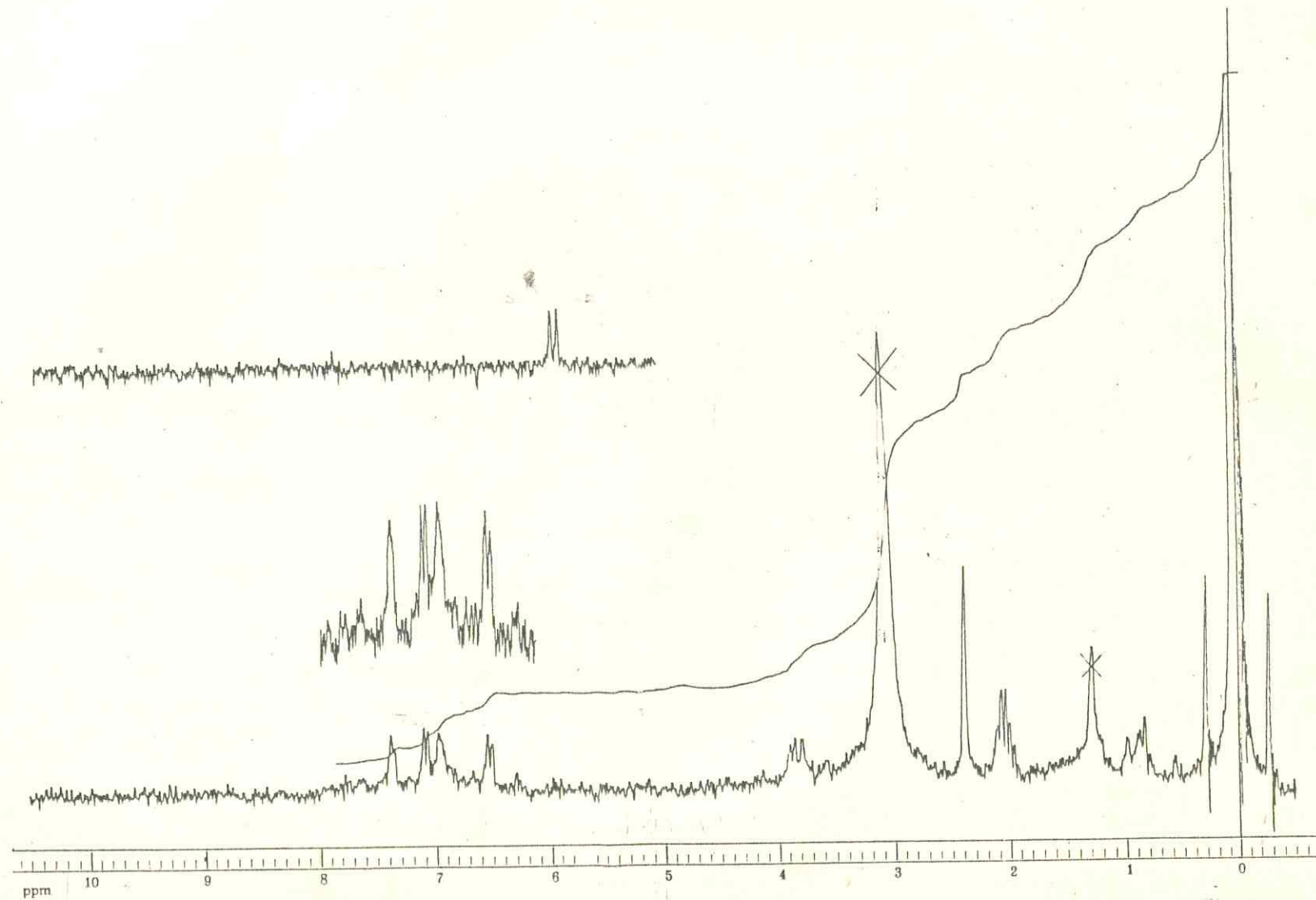


FIGURA 8. Espectro de RMN¹H da VM-S5.

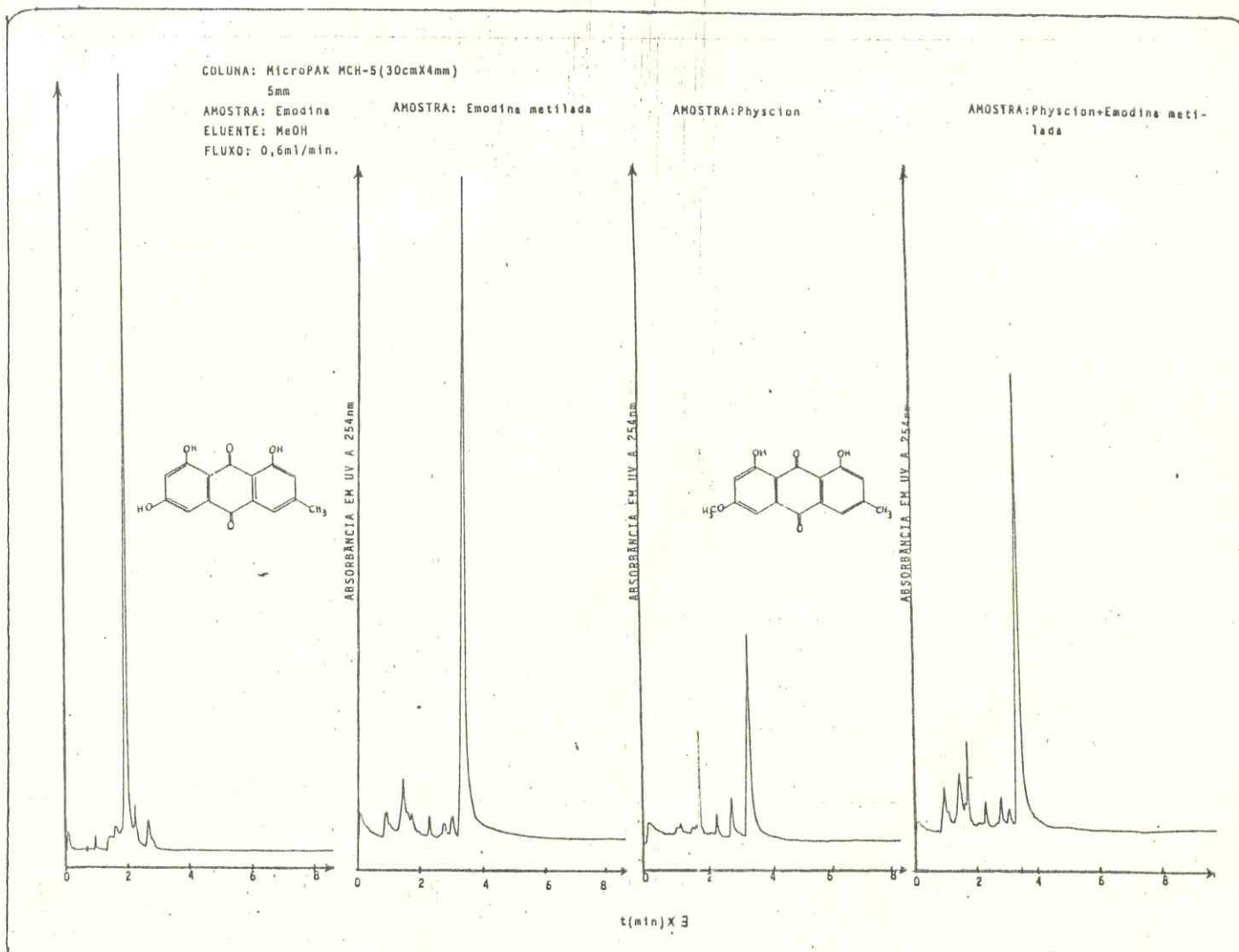


FIGURA 9. Cromatogramas em CLAE da emodina e emodina metilada.

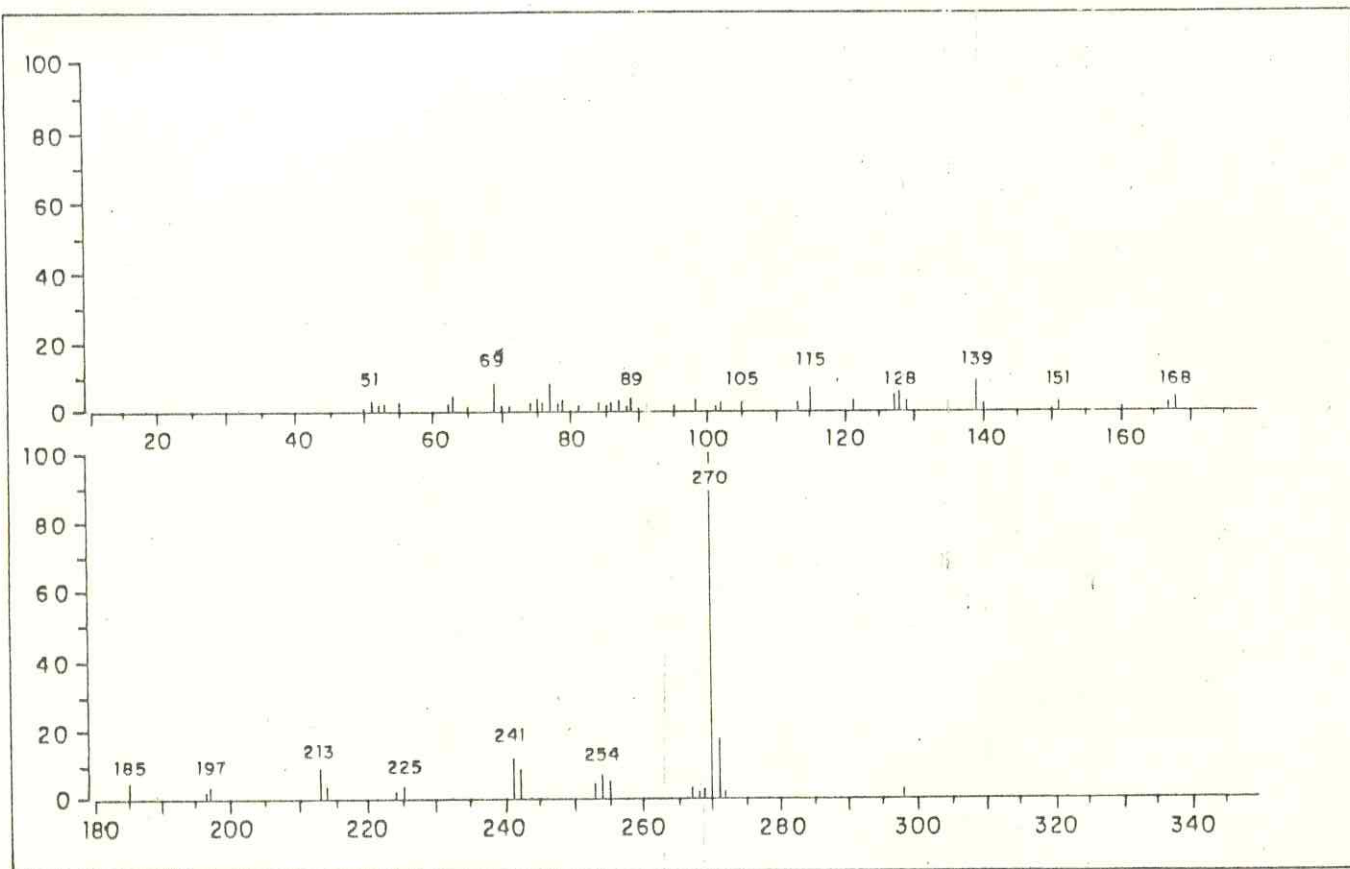
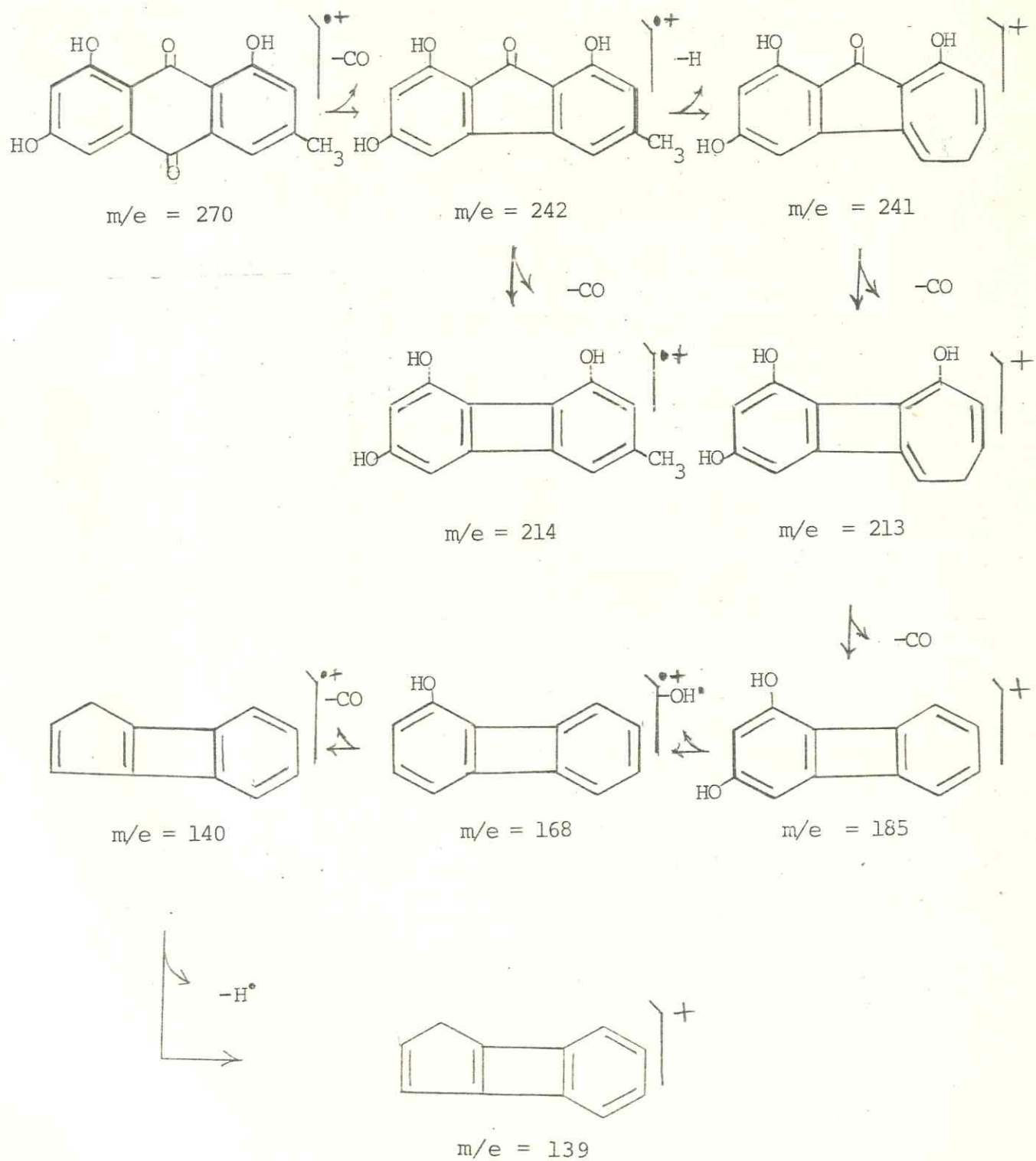
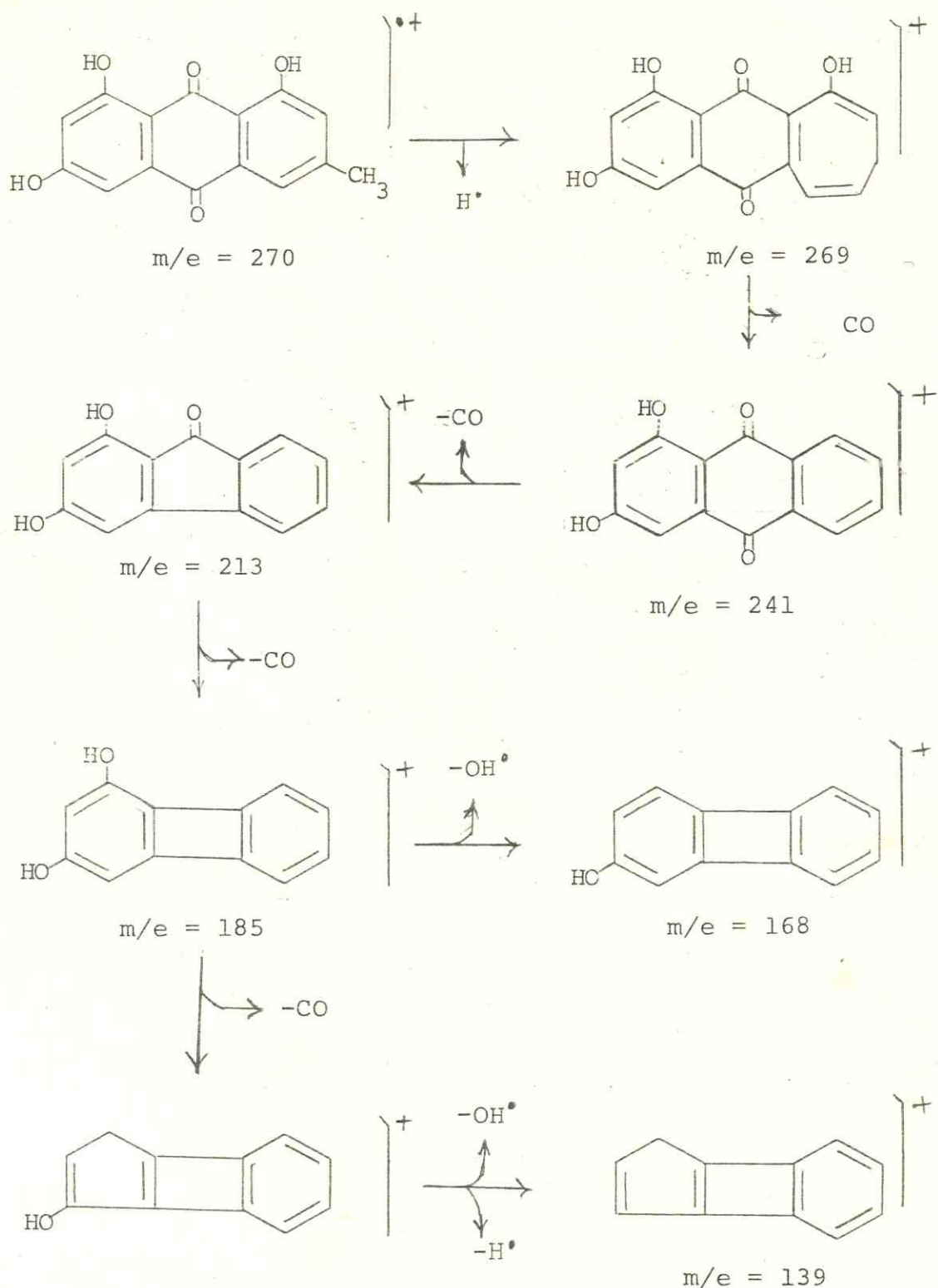


FIGURA 10. Espectro de Massa de VM-S5.

Quadro I - Fragmentação sugerida de VM-S5 no espectrômetro de mas sa.



Quadro II - Fragmentação de VM-S5 no espectrômetro de massa⁽¹¹⁾.



Emodina foi primeiramente isolada em 1858⁽⁸⁾ e é citada como possuidora de atividade cathártica⁽⁹⁾. Apresenta também atividade antimicrobiana contra os microorganismos *Artrobactes citreus*, *Bacillus brevis*, *B. subtilis*, *Nocardia brasiliensis*, *Streptomyces griseus* e *S. viridochromogenes* experimentalmente comprovada⁽¹⁰⁾.

Posteriormente, amostra autêntica de emodina foi comparada com VM-S5 em C.C.D. e CLAE.

VM-S10

O espectro de massa de VM-S10 (Fig.13) apresenta pico molecular em 284 u.m.a. (92,30%). O pico base aparece em m/e = 128 u.m.a.. Outros íons fragmentários tem m/e=254 u.m.a. (73,62%) correspondem a saída de 30 u.m.a. (-CH₂O) e m/e= 242 u.m.a. - (70,30%) (-CO,-CH₂) (Quadro III).

Os dados espectrais reunidos de VM-S10 permitem chegar a estrutura de uma antraquinona já bastante conhecida je que segue o mesmo caminho biossintético das outras duas isoladas. Trata-se da fisciona⁽⁶⁾ 1,8-dihidroxi-3-metil-6-metoxi antraquinona, outra conhecida como parietina, que foi confundida várias vezes com crisofanol⁽¹²⁾ devido ao fato de terem valores de Rf muito próximos em placas de sílica.

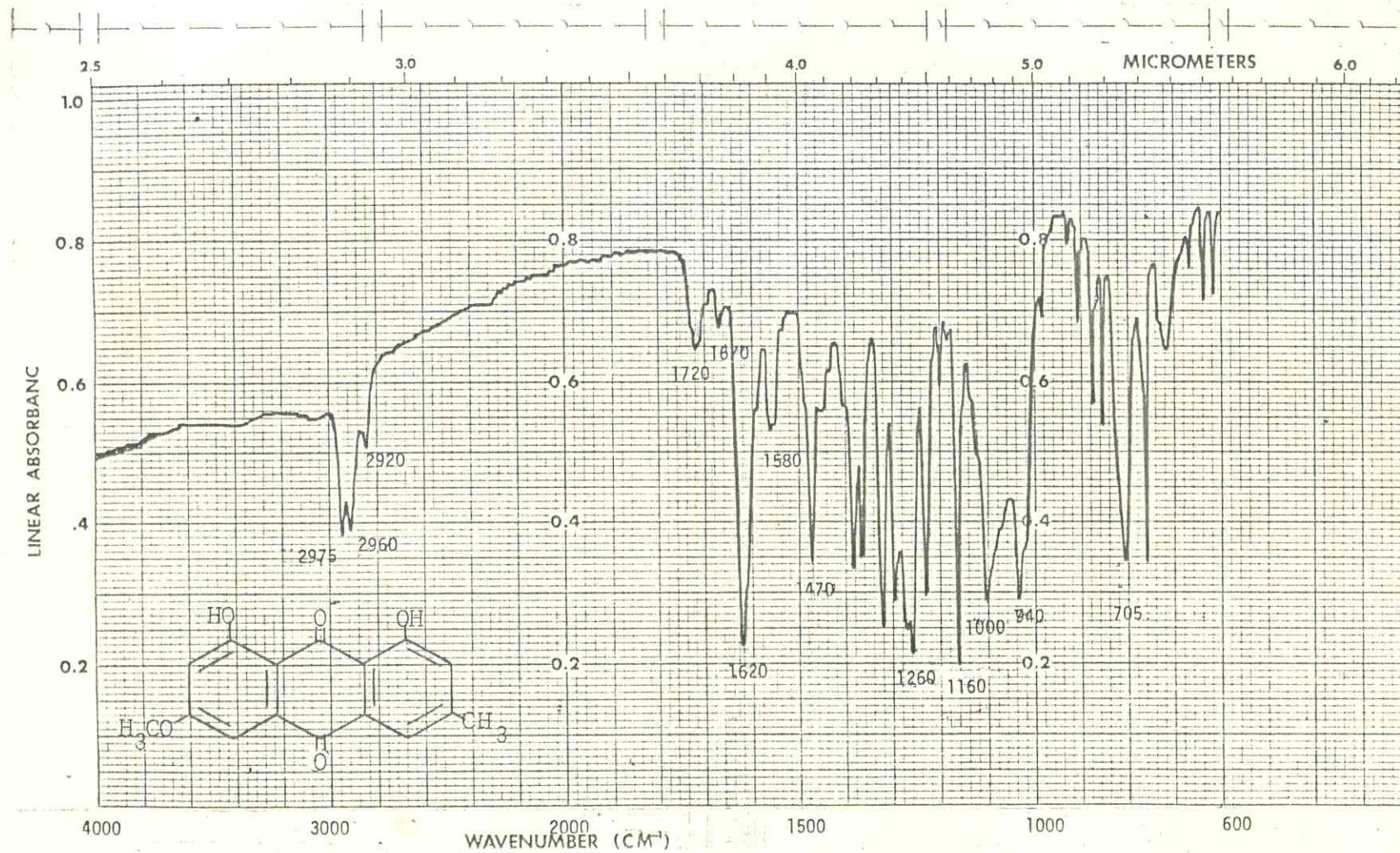


FIGURA 11. Espectro no I.V. de VM-S10.

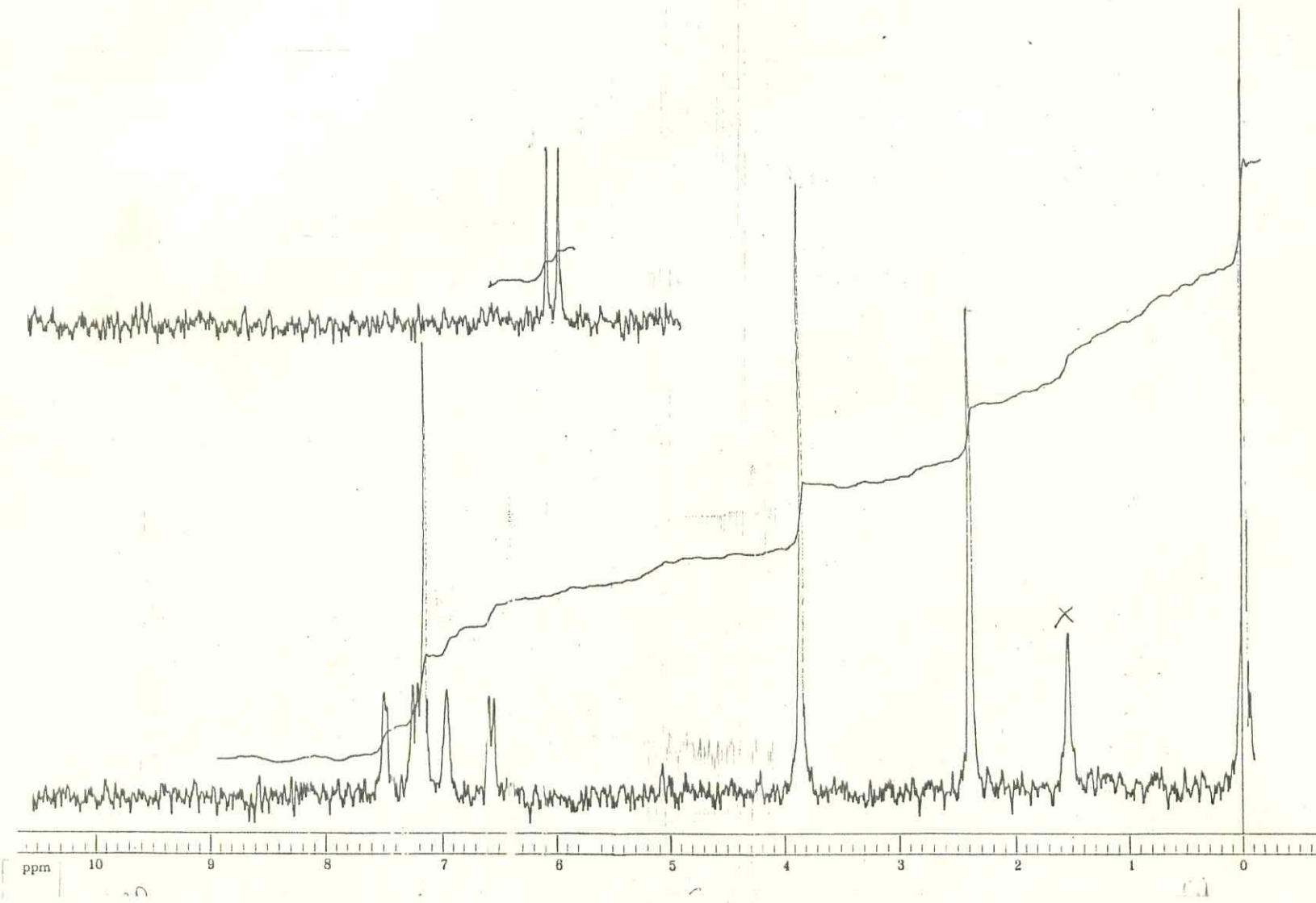


FIGURA 12. Espectro de RMN ${}^1\text{H}$ de VM-S10.

MASS SPECTRUM
01/03/86 15:06:00 + 1:50
SAMPLE: MATOS S-10 MP 110

DATA: MATOSII #55
CALI: CAL010285 #6

BASE M/E: 128
RIC: 11550700.

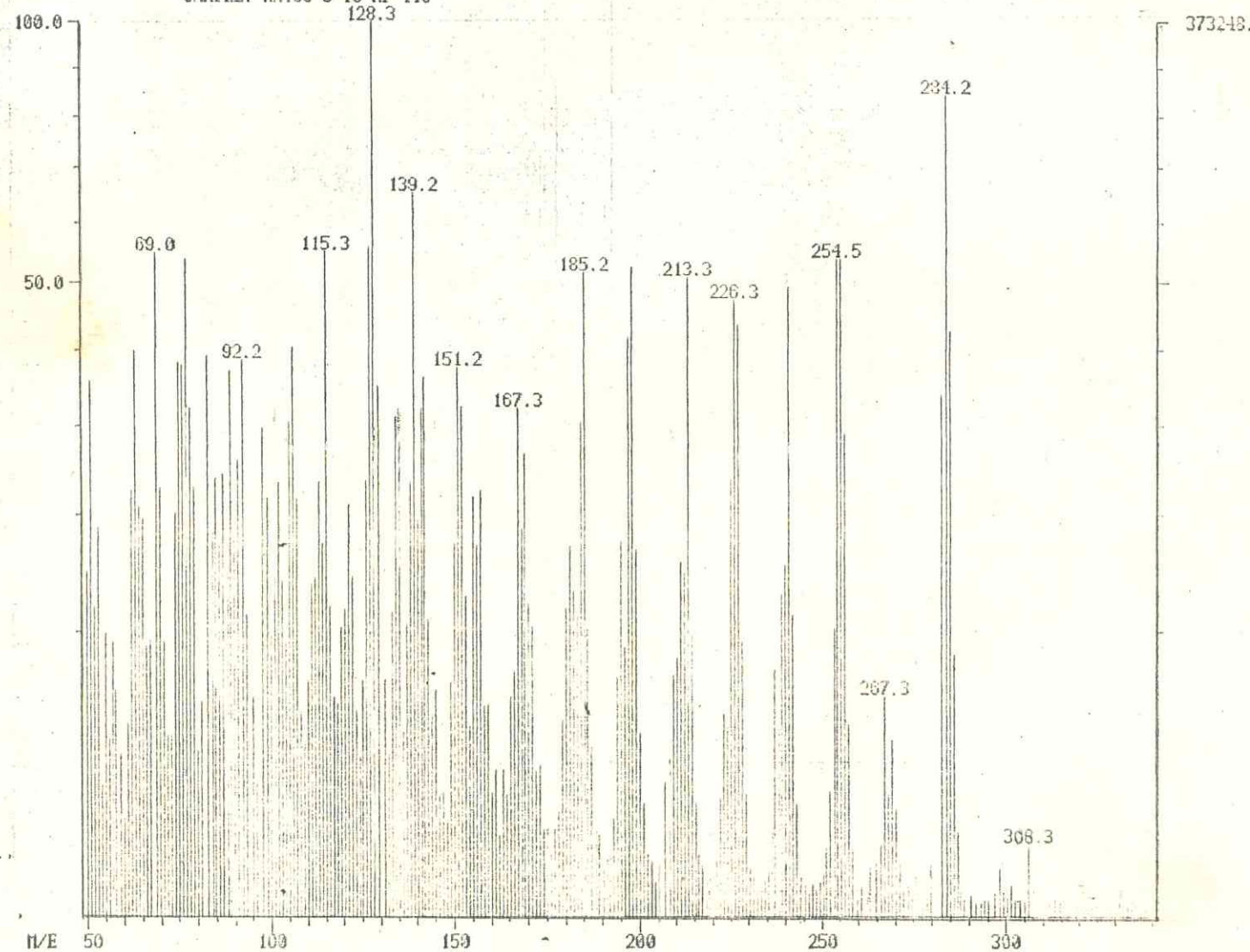
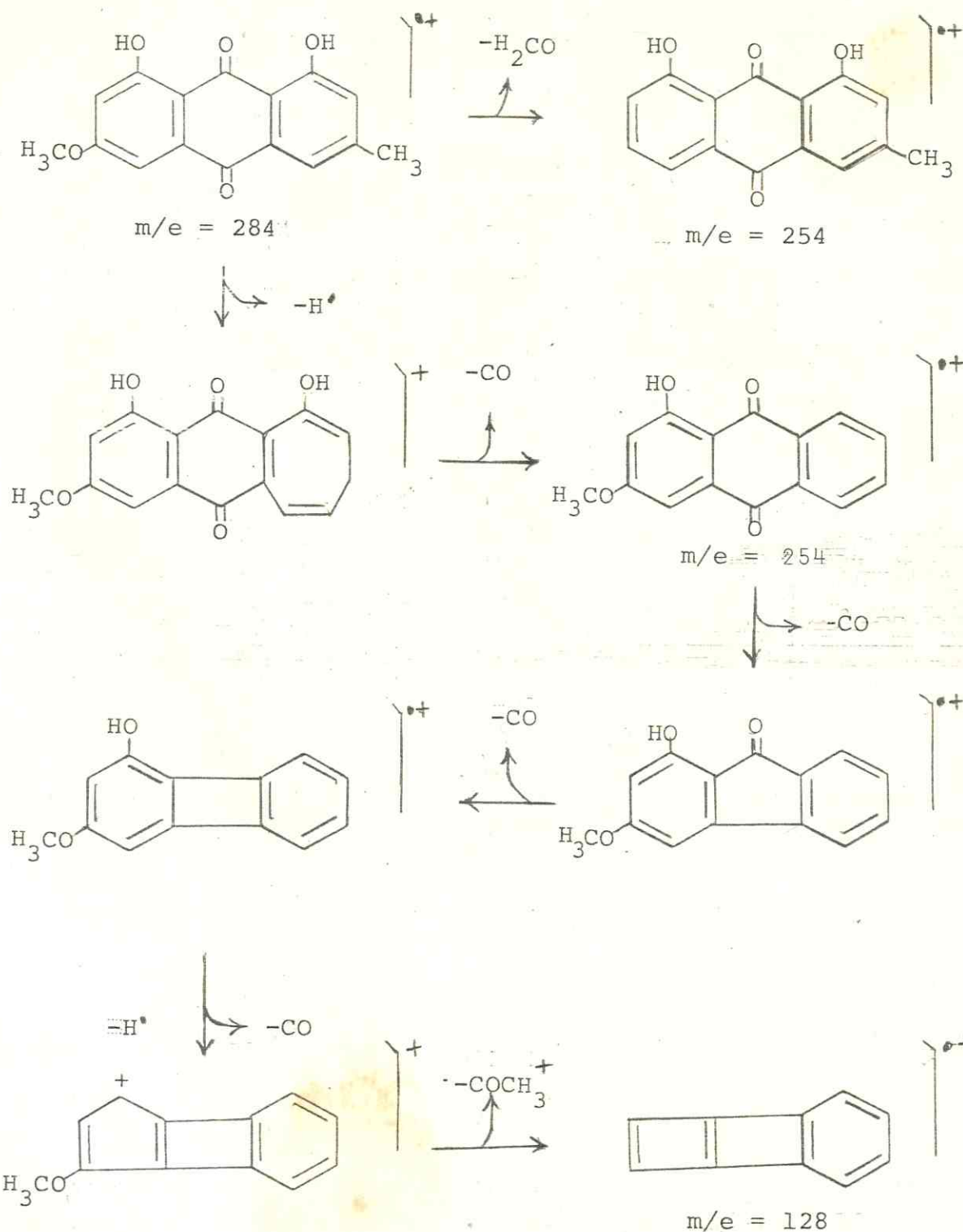


FIGURA 13. Espectro de massa de VM-S10.

Quadro III- Fragmentação de VM-S10 no espectrômetro de massa.



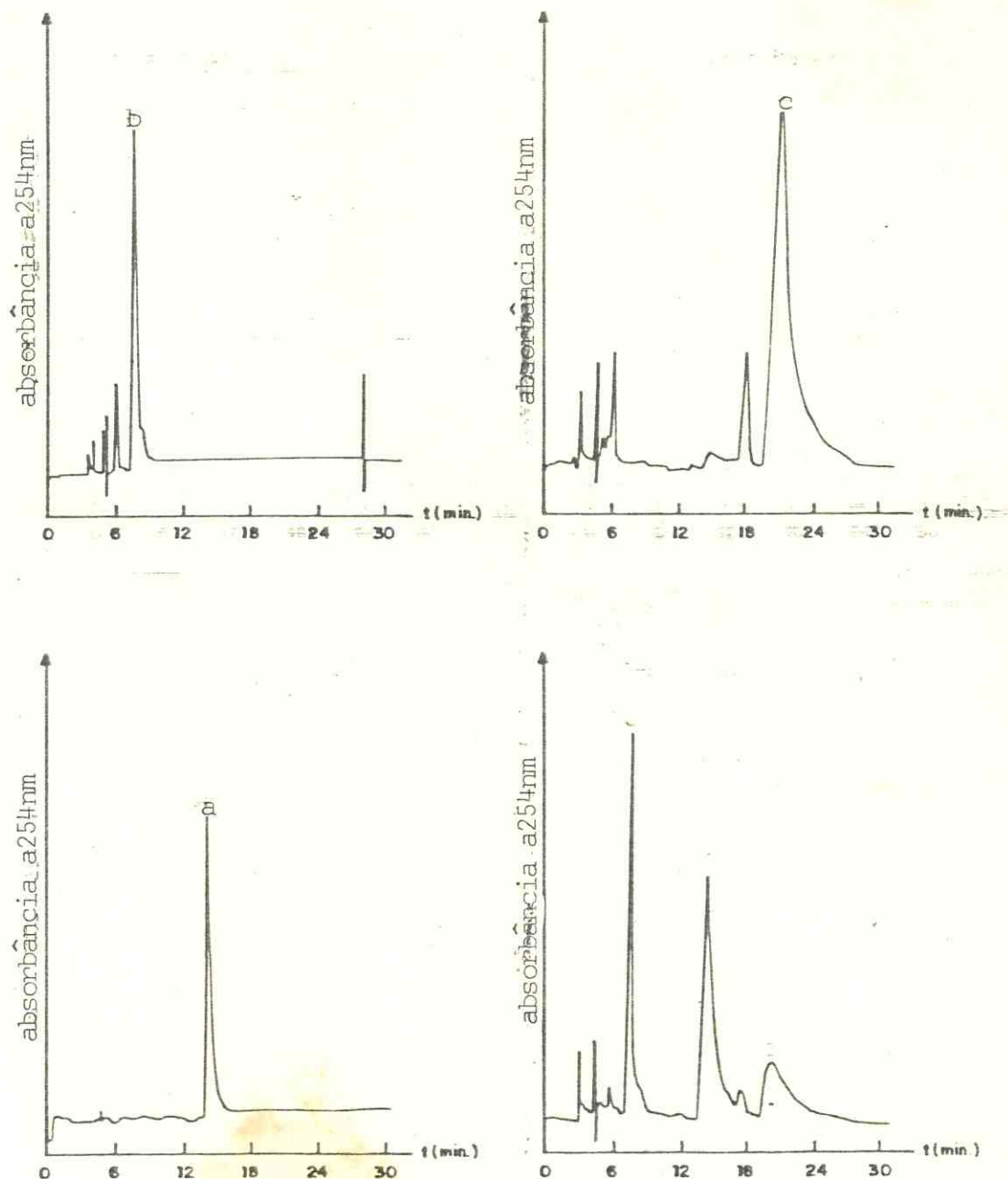


FIGURA 14. Cromatogramas em $\text{MeOH} + \text{H}_2\text{O}$ (9:1) das antraquinonas isoladas.

a=crisofanol; b=emodina; c=fisciona.

VM-S8

O espectro de absorção na região do infravermelho da amostra VM-S8 indica a presença de uma hidroxila caracterizada pelo pico largo em 3410cm^{-1} bem como de protones aromáticos evidenciados por absorção discreta em 3050cm^{-1} . Em 1630 , 1610 e 1590cm^{-1} aparecem picos resultantes de vibrações de estiramento de carbonila. As outras absorções em 1520 , 1480 e 1450cm^{-1} são indicativas de núcleo aromático no composto. O pico de absorção em 1180cm^{-1} é oriundo das vibrações de estiramento da ligação C-O (Fig. 15).

O registro das absorções observado no espectro de VM-S8 obtido na região do ultravioleta indica natureza aromática do composto, provavelmente antraquinônico pelas absorbâncias medidas nos comprimentos de onda igual a 226 , 255 , 263 , 271 , 305 , 365 nm.

Seu espectro de ressonância magnética nuclear protônica revelou a existência de quatro hidroxilos fenólicas queladas com carbonila, como se pode deduzir pela presença dos singletos em $11,70$; $11,60$; $11,50$ e $11,04\delta$. Na região de prótons aromáticos observa-se a presença de vários picos cuja integração permite atribuir-se a existência de nove protones aromáticos na molécula, observando-se singletos e doubletos com constantes de acoplamento orto e meta ($7,35\delta$; $7,21\delta$; $6,92\delta$; $6,80\delta$; $6,62\delta$; $6,60\delta$; $6,55\delta$; $6,25\delta$; $6,05\delta$). Em $5,60$ observa-se a presença de um singuleto largo que desaparece quando a substância é acetilada devendo corresponder, portanto, a uma hidroxila (Fig. 16). O espectro de RMNH de VM-S8 apresenta também um singuleto em $4,30\delta$, com integração correspondente a dois protones atribuídos aos hidrogênios metilênicos da antrona. Em $2,30\delta$

Tabela 5 - Dados físicos do pigmento D⁽¹³⁾ e de VM-S8 e seus derivados

	Pigmento D	VM-S8	Pigmento D pentacetato	VM-S8 acetato
U.V. (nm)	255 263 271 370	226 264 271 365		
I.V. (cm ⁻¹)	3590 2870 1630 1620	3420 2920 1630 1610		1770 1755 1680
E.M. u.m.a.	478 254 240	478 254 240		
pf(°C)	190-5	196	150-6	157-9

Tabela 6 - Dados do espectro de RMN¹H de VM-S8 e pigmento D.

Pigmento D ^(a)	12,3	12,2	12,0	11,4	8,5-6,6	5,7	4,5	2,3	2,2
VM-S8 ^(b)	11,7	11,6	11,5	11,4	7,4-6,0	5,6	4,3	2,3	2,2
Pigmento D acetilado	-	-	-	-	7,3-6,6	-	-	2,4	2,0
VM-S8 ace- tilado	-	-	-	-	7,3-6,3	-	4,1	2,5	2,1

a - Espectro registrado em sol. de $(CD_3)_2CO$.

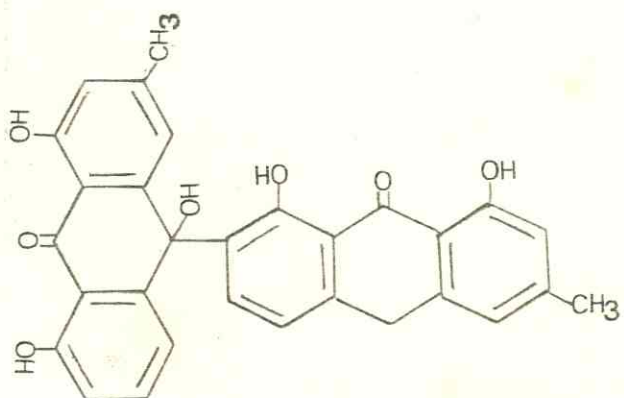
b - Espectro registrado em sol. de $CDCl_3$.

e $2,20\delta$ observa-se a presença de dois singletos correspondentes a dois grupos metila não-semelhantes ligados ao anel aromático.

Os espectros de VM-S8 obtidos nas regiões de infravermelho e ultravioleta comparados com os dados da crisofanol-antrona¹ indicam que esta substância faz parte da molécula de VM-S8. Seu estudo comparativo em cromatografia de camada delgada revelado com vapor de amônio mostra que ambas substâncias têm comportamento comum indicativo de sua semelhança estrutural.

A investigação do espectro de massa revela a natureza diamérica de VM-S8 mostrando um pico em 478 u.m.a. correspondendo a saída de um átomo de oxigênio e um pico base em 240 u.m.a. devido ao íon produzido pela clivagem da ligação internuclear (Fig. 17).

Com base na comparação de dados experimentais com os registrados (Tabela 5,6) propõe-se para VM-S8 a estrutura da 1,1',8,8',10-pentahidroxi-3,3'-dimetil-10,7'-biantraceno (10^1H , 10^1H)-9,9'-diona, pigmento D isolado de *Aloe saponaria*⁽¹³⁾.



VM-S8

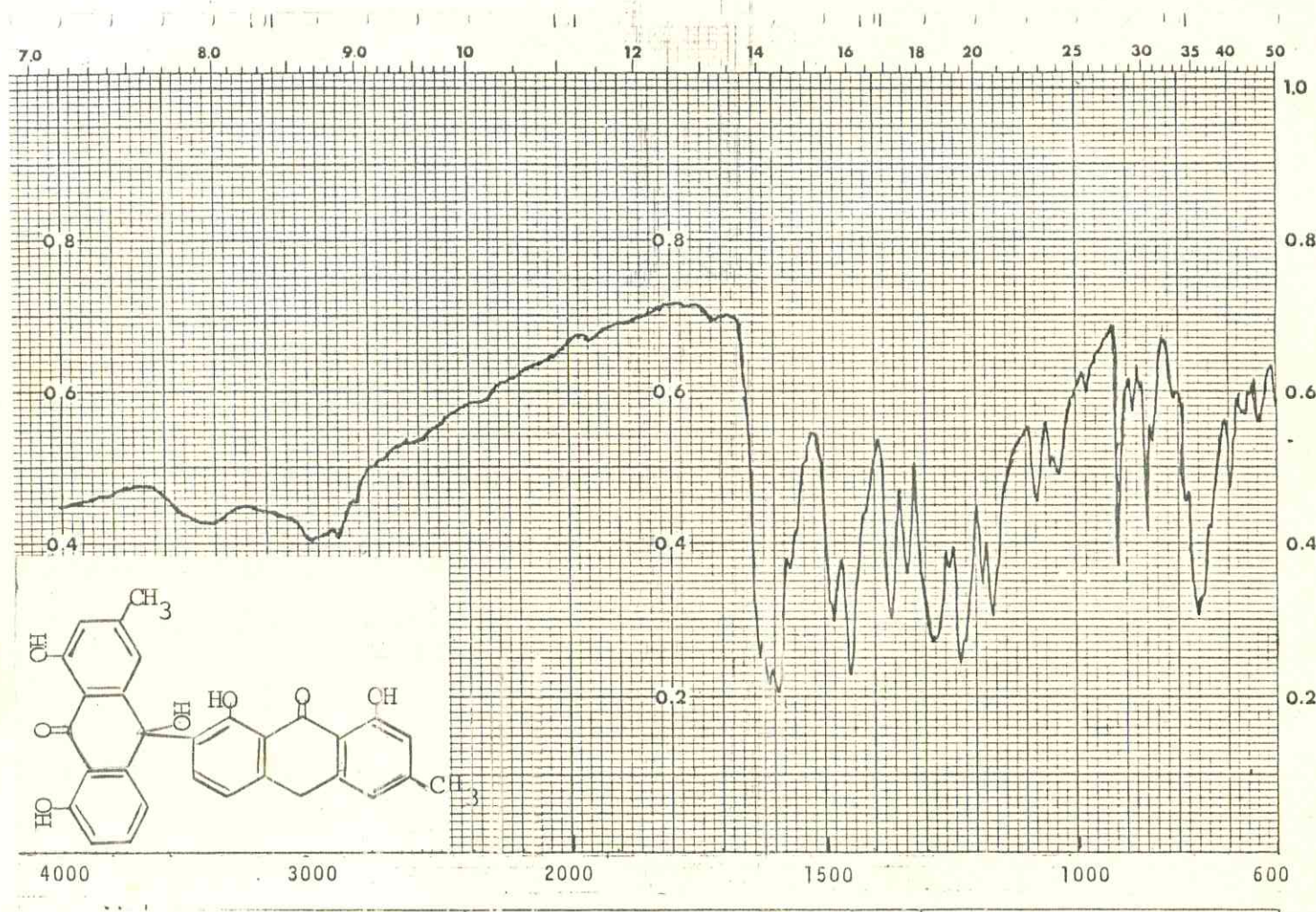


FIGURA 15. Espectro no I.V. de VM-S8.

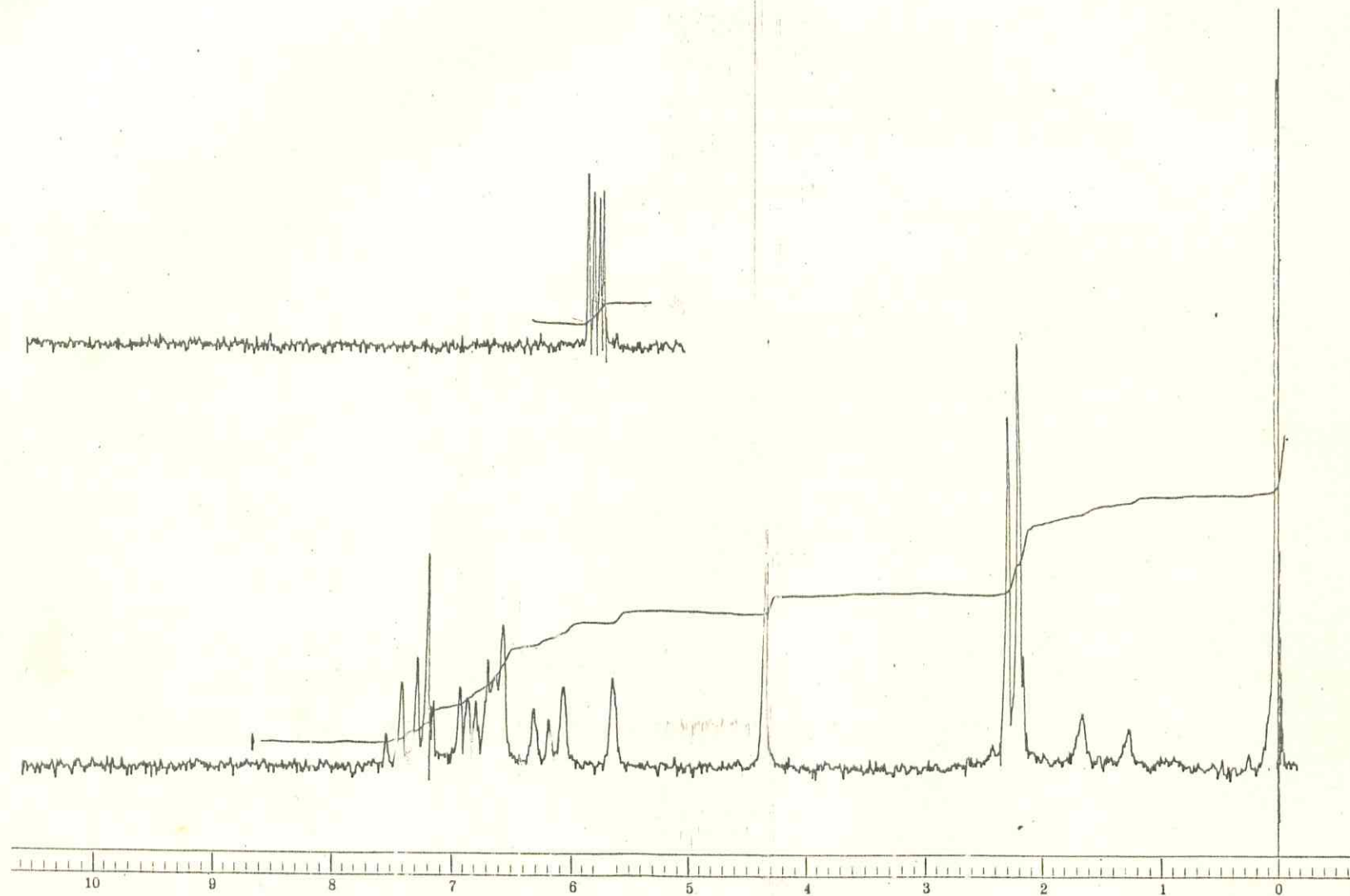


FIGURA 16. Espectro de RMN ${}^1\text{H}$ de VM-S8.

MASS SPECTRUM
01/03/86 14:05:09 + 1:56
SAMPLE: MATOS S-8 MP 106

DATA: MATOS #58
CALI: CAL010286 #6

BASE M/E: 165
RIC: 15269800.

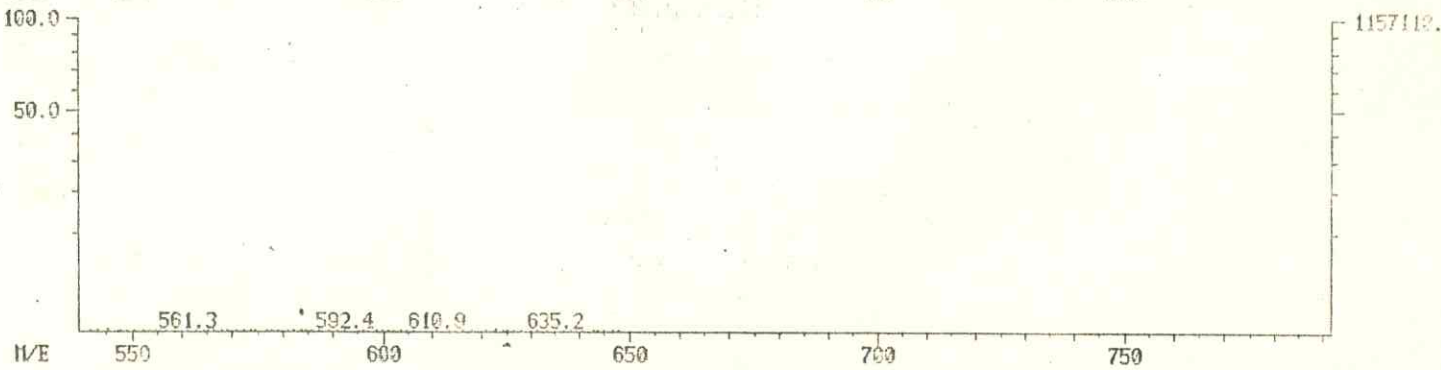
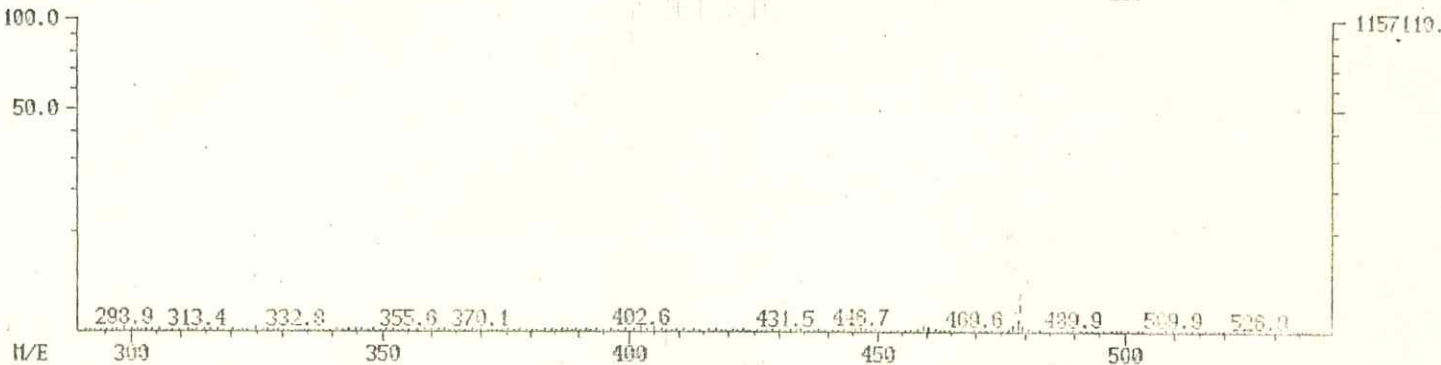
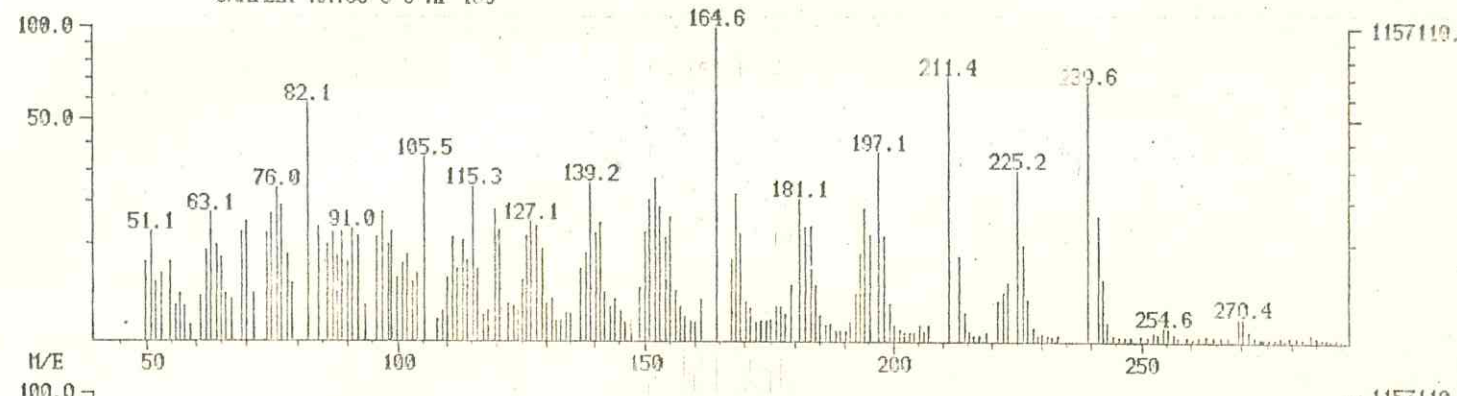


FIGURA 17. Espectro de massa de VM-S8.

DETERMINAÇÃO ESTRUTURAL DOS TRITERPENOS

4.2. Determinação estrutural dos triterpenos

Os triterpenos foram isolados do extrato hexânico do cerne de *Vatairea macrocarpa* e sua natureza indicada pelo teste positivo de Lieberman-Burchard.

VM-S3

O espectro de absorção na região do infravermelho obtido com a substância codificada VM-S3 apresenta em 3040cm^{-1} pico discreto correspondente a absorção de C-H insaturado. Em 2950 e 2840cm^{-1} observou-se absorções provenientes das vibrações de estiramento de C-H alifático. O espectro apresenta também em 1720cm^{-1} pico forte correspondente a um grupo carbonila de cetona, lactona α,β -insaturada ou éster α,β -insaturado¹⁴. Observa-se picos em 1640, 1380 e 1180cm^{-1} correspondente respectivamente as absorções de vibrações de: estiramento de ligações C=C, deformação de CH₃ geminado e estiramento de ligações C-O.

VM-S3 forneceu na região do ultra-violeta espectro que mostra uma única absorção com $\lambda_{max} = 220\text{nm}$ que corresponde ao cromóforo de lactona α,β -insaturada ($\lambda_{max} = 222\text{nm}$)¹⁵.

No seu espectro de ressonância magnética protônica percebe-se em $5,20\delta$ um triplete de $J=3\text{Hz}$ com integração correspondente a um proton olefínico. Em $4,58\delta$ observa-se um doubleto largo de $J=2\text{Hz}$ com equivalente a dois átomos de hidrogênio oriundos de um grupo metíleno terminal. Entre 2,20 e $0,80\delta$, espectro de RMN¹H

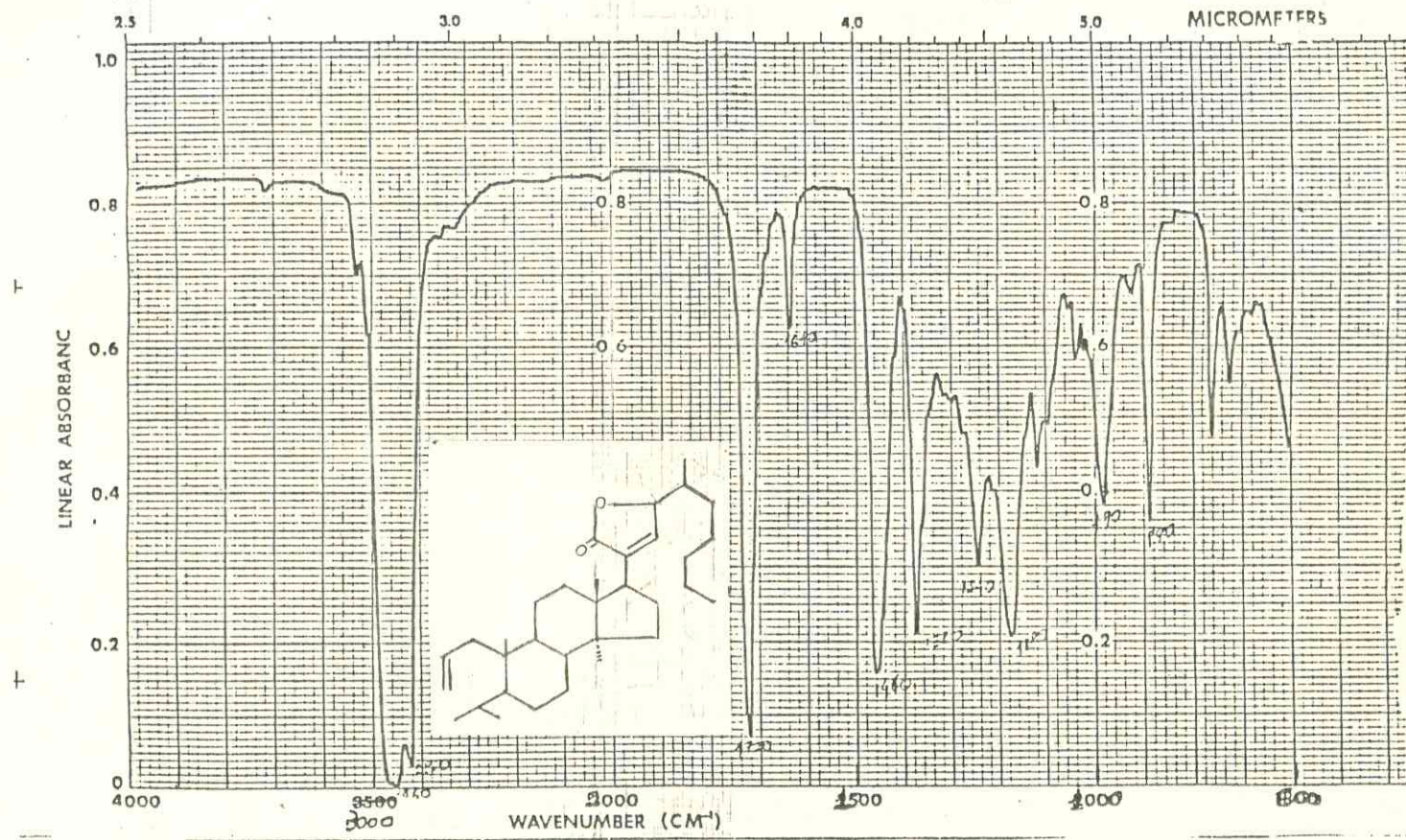


FIGURA 18. Espectro no I.V. de VM-S3

apresenta vários picos com deslocamentos químicos muito próximos demonstrando a presença de grupos metílicos, metilênicos e metínicos na molécula de VM-S3 (Fig.19).

O espectro de ressonância magnética nuclear de carbono¹³ de VM-S3, apresenta 34 linhas de maior intensidade (Fig.20). Uma das linhas centrada em 173,23δ corresponde ao deslocamento químico de uma carbonila, provavelmente de lactona α-β-insaturada, de acordo com os dados dos espectros de absorção no ultravioleta e no infravermelho. Em 156,51δ; 129,93δ; 129,71δ e 106,19δ observa-se picos oriundos de absorções de carbonos olefínicos que, pelos dados de APT (Attached Proton Test) são respectivamente um carbono quaternário, dois carbonos terciários e um carbono secundário, devendo existir portanto duas duplas ligações sendo uma delas terminal. O espectro mostra ainda em 78,31δ uma absorção de C-H ligado a oxigênio confirmado a hipótese desta substância possuir um grupo lactona como parte da molécula. Através do espectro de RMN¹³C em APT (Fig.21) pode-se determinar os diversos grupos metínicos, metilênicos e metílicos responsáveis pelos outros picos que são observados no espectro. A Tabela 7 trás uma comparação dos dados de RMN¹³C de VM-S3 com os obtidos na literatura¹⁶ para o 24-metileno-ciclo artanol obedecendo a numeração do esqueleto ciclo artano(185) em razão das analogias entre os fragmentos de massa de VM-S3 e os do 24-metileno ciclo artanol.

Considerando que o espectro de massa de VM-S3 hidrogenado mostrou pico molecular em 500 u.m.a. e que foi observado nos espectros de RMN^{1H} e RMN¹³C de VM-S3 a presença de sinais referen-

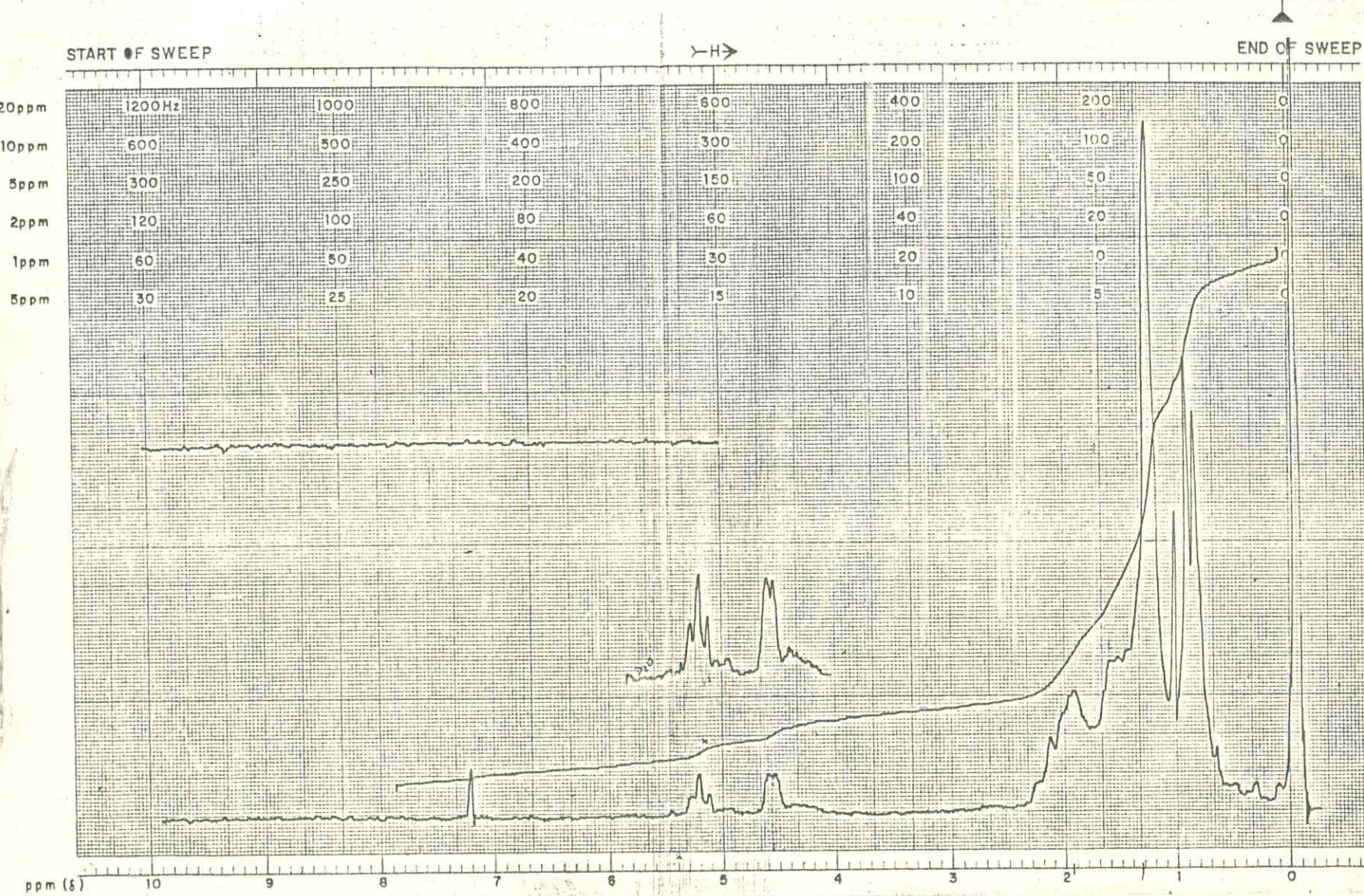


FIGURA 19. Espectro de RMN¹H de VM-S3.

tes a duas duplas olefinicas, seu peso molecular deve ser portanto de 496 u.m.a. Os picos que se apresentam em 424 u.m.a., 410 u.m.a., 435 u.m.a. e 302 u.m.a. confirmam o esqueleto triterpenóide do tipo lanostano para VM-S3. (Fig.22).

A localização da lactona na estrutura está sendo proposta de acordo com os registros de compostos do tipo lanostano que situam a função oxigenada em quase todos os carbonos da cadeia lateral^{1b}. A escolha de uma destas posições foi efetuada com base nos dados espectrais que indicam ser a lactona α - β -insaturada e absorção referente ao carbono metínico em 129,93 δ corresponde a dupla trisubstituída conjugada a carbonila. A colocação da outra dupla em C2-C3 bem como a quebra incomum do anel A foram propostos por razões biossintéticas, encontrando-se vários exemplos de terpenos apresentando este tipo de quebra na literatura⁽¹⁷⁾.

QUADRO IV. Tipos de quebras incomuns em esqueleto triterpénicos.

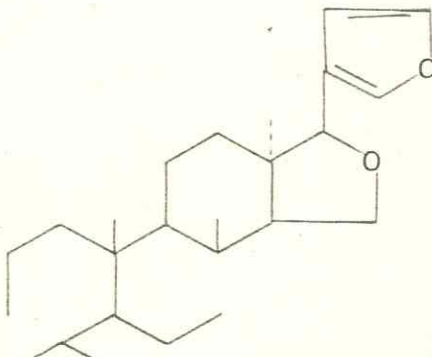
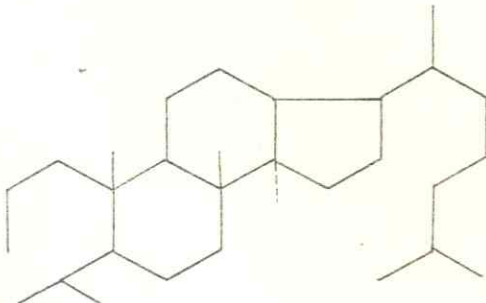


Tabela 7 - Comparação dos valores de (ppm) de VM-S3 de RMN¹³C

Nº C	24-metil-ciclo artanol	VM-S3	Tipo de C. (APT)
1	-	34,74	CH ₂
2	-	129,98	CH
3	-	106,19	CH ₂
4	-	33,88	CH
5	-	43,51	CH
6	21,20	22,68	CH ₂
7	28,20	29,18	CH ₂
8	48,00	46,88	CH
9	-	41,63	CH
10	-	31,03	C
11	-	25,16	CH ₂
12	35,60	35,19	CH ₂
13	45,90	45,44	C
14	48,80	48,95	C
15	32,90	31,40	CH ₂
16	26,50	27,10	CH ₂
17	52,30	52,30	CH
18	18,10	18,39	CH ₃
19	-	14,40	CH ₃
20	-	156,51	C
21	-	178,23	C
22	-	129,71	CH
23	-	78,81	CH
24	-	29,81	CH ₂
25	-	36,16	CH
26	-	17,75	CH ₃
27	-	29,72	CH ₂
28	19,30	19,16	CH ₃
29	-	21,40	CH ₃
30	-	21,07	CH ₃
31	-	29,35	CH ₂
32	-	29,57	CH ₂
33	-	27,19	CH ₂
34	-	14,07	CH ₃

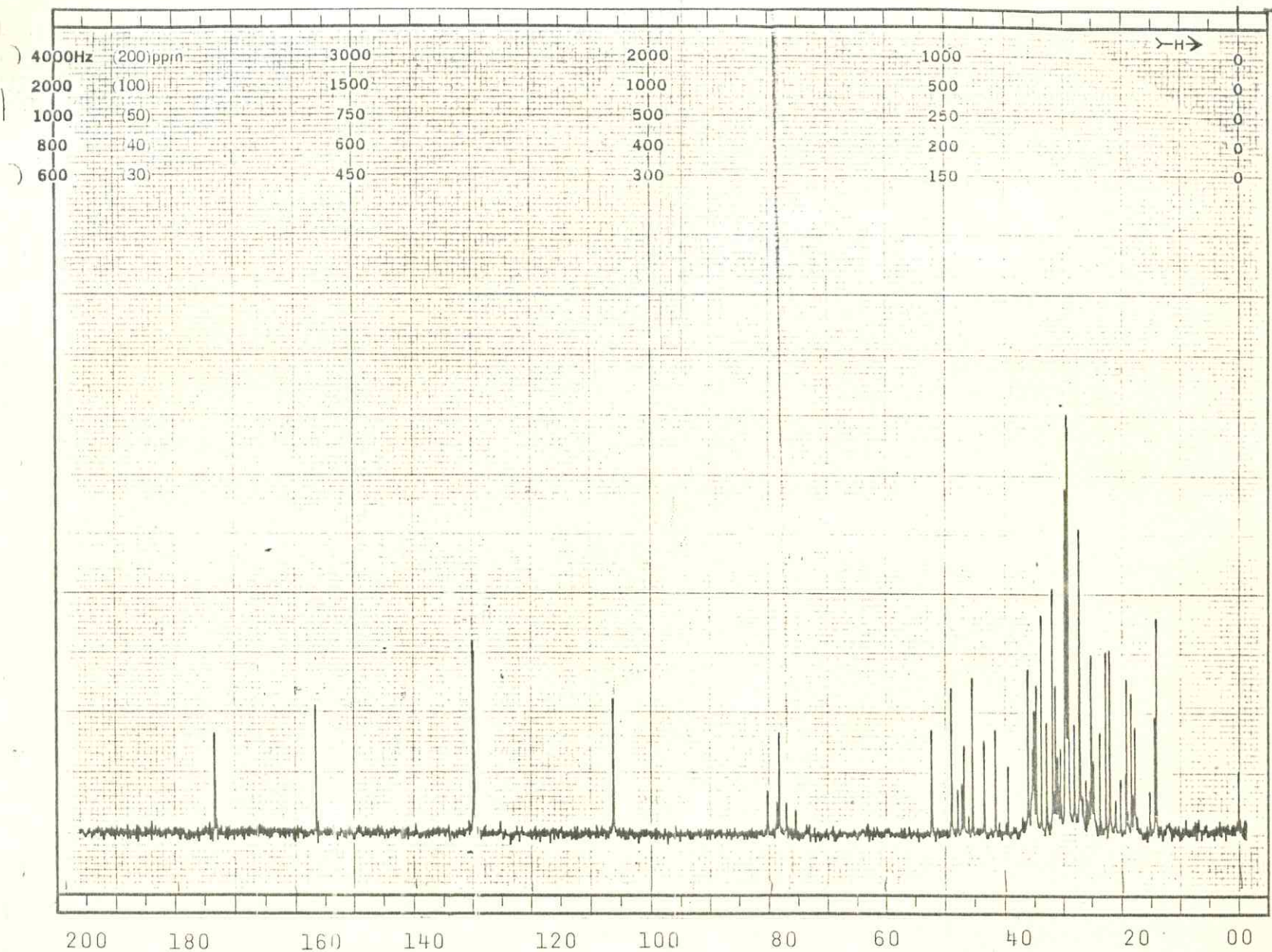


FIGURA 20. Espectro de RMN ^{13}C de VM-S3.

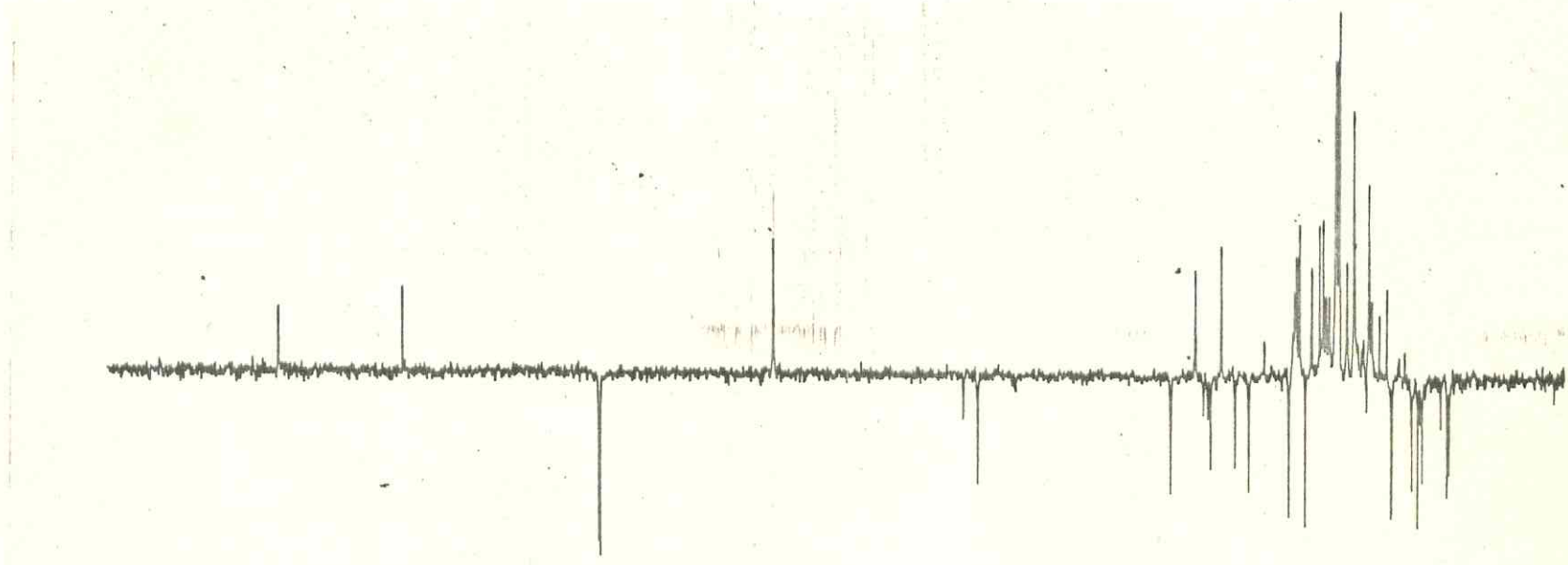


FIGURA 21. Espectro de RMN ^{13}C (APT) de VM-S3.

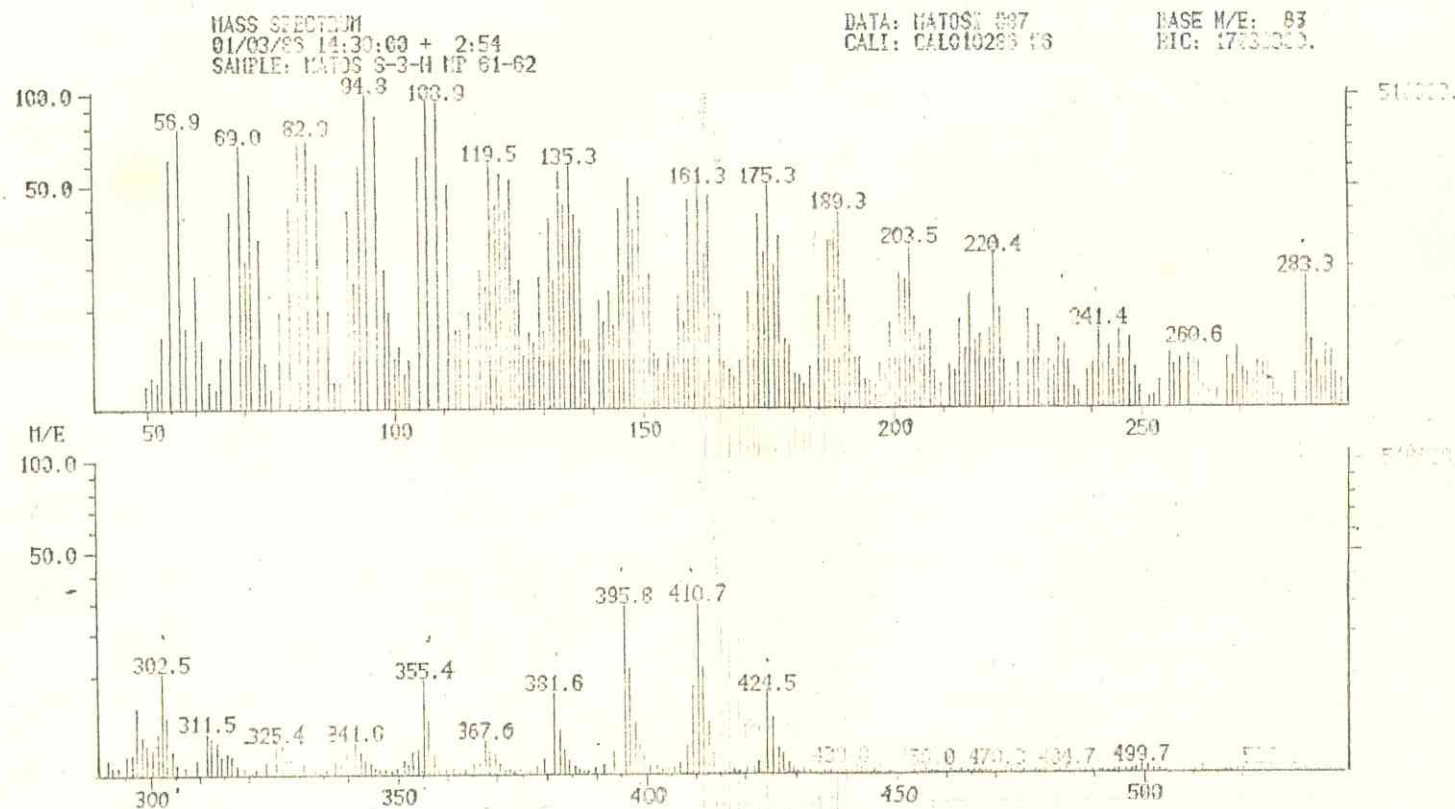
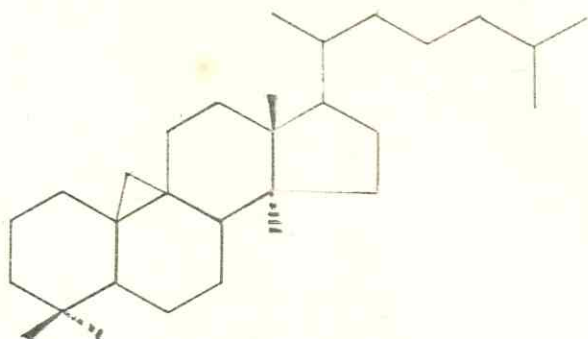
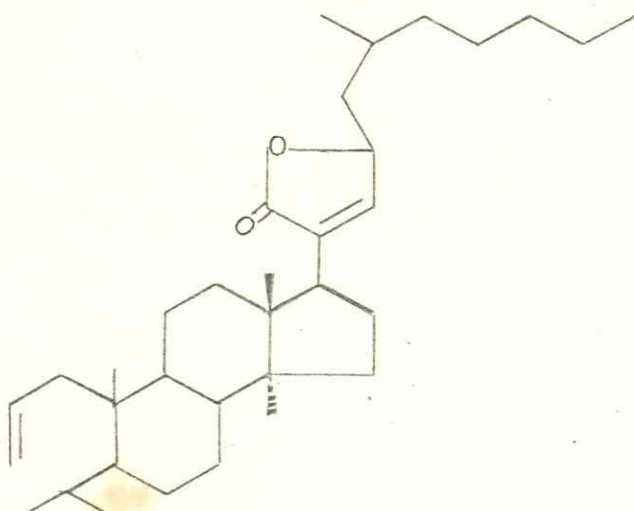


FIGURA 22. Espectro de massa de VM-S3 hidrogenado.

Com base nos dados analisados, a estrutura representada abaixo sob o numero 186, sem correspondencia na literatura consultada foi proposta para VM-S3. Tratando-se portanto de uma estrutura nova, são necessários dados adicionais de síntese e de técnicas espectrais mais ricos em informações para sua confirmação.



185



186

VM-S4

O espectro de VM-S4 obtido na região do infravermelho apresenta picos de absorção em 3350cm^{-1} referentes a presença do grupamento hidroxila na molécula. Em 3040cm^{-1} observa-se picos característicos de vibrações de estiramento de grupo metileno de anel propânico, confirmado pelo pico em 1020cm^{-1} oriundo das vibrações de deformação do grupo. Fortes absorções em 2980, 2960 e 2940cm^{-1} correspondentes ao estiramento simétrico e assimétrico de ligações C-H revelaram a existência de uma cadeia carbônica grande. O pico de fraca intensidade em 1640cm^{-1} indica a presença de uma ligação dupla alifática na molécula. O espectro mostra ainda a existência do grupo C-O na estrutura de VM-S4 pela presença dos picos observados em 1380 e 1050cm^{-1} devido respectivamente às vibrações de estiramento e deformação (Fig. 23).

O espectro de ressonância magnética protônica revelou a existência de dois pares de doubletos centrados em 0,41 e 0,17 δ . Estas absorções pouco comuns foram atribuídas a hidrogênios do anel ciclopropânico característicos de triterpenos do tipo cicloartano (185). A constante de acoplamento de 4Hz indica que os dois átomos de hidrogênio do anel ciclopropânico devem estar geminados.

Observa-se a 4,64 δ um pico largo referente a prótons vinílicos com integração equivalente a dois átomos de hidrogênio. Na região entre 0,83 e 1,14 δ vários singletos com valores de deslocamento químico próximos indicam a existência de grupos metilénicos e metílicos da cadeia lateral (Fig. 24).

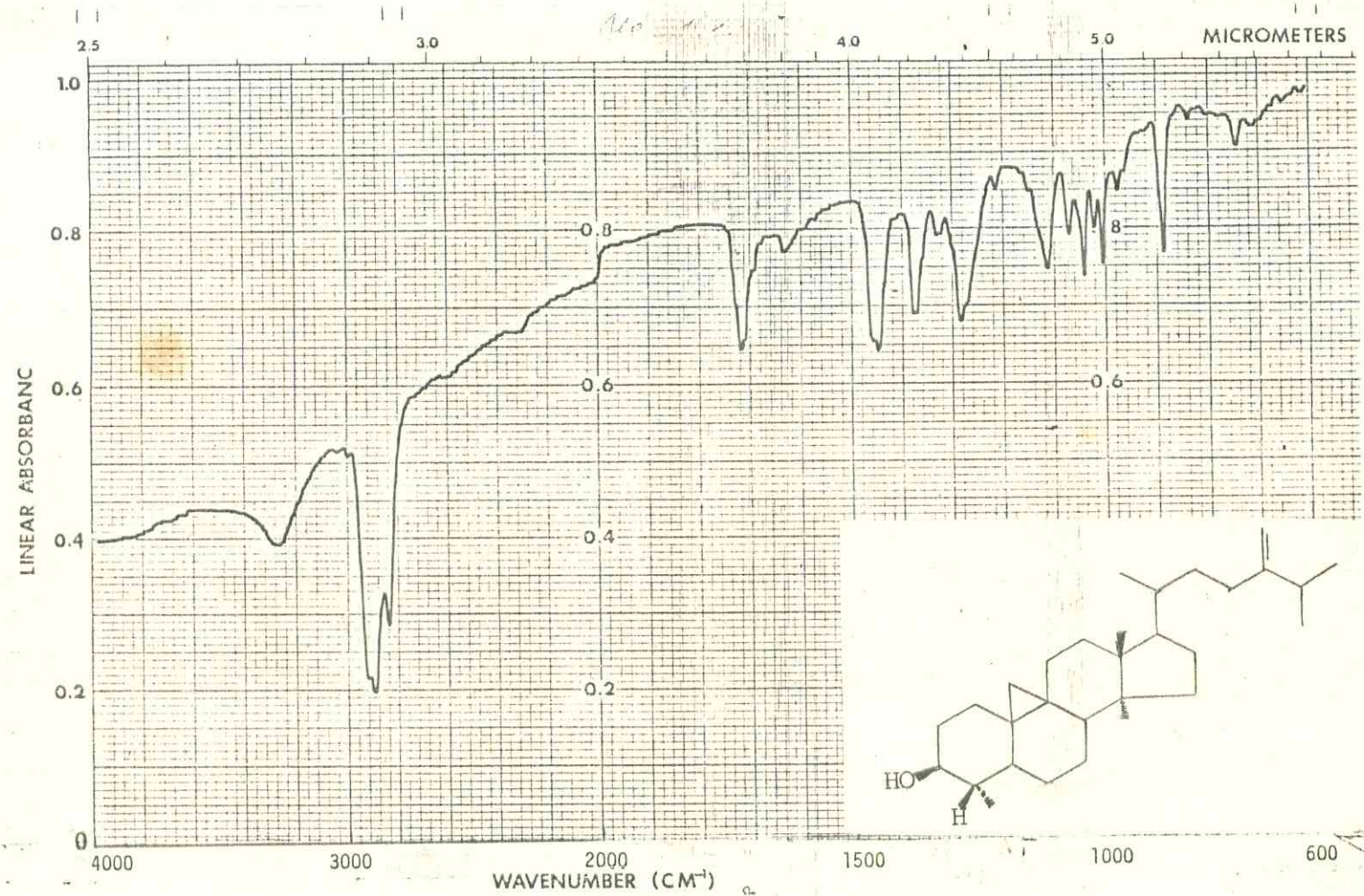
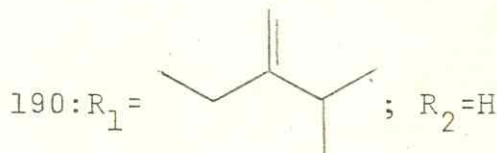
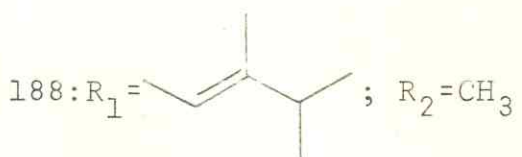
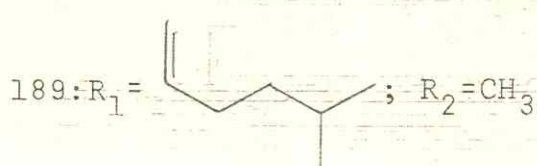
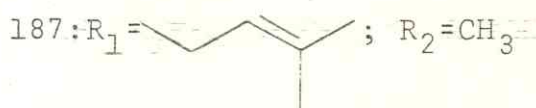
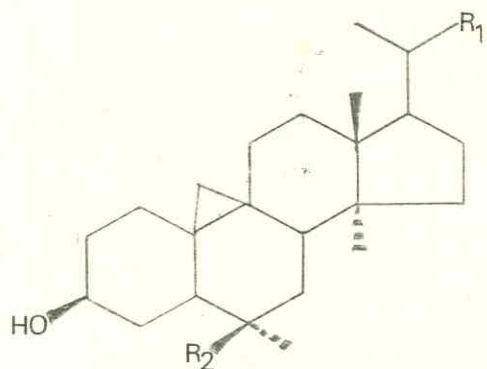


FIGURA 23. Espectro no I.V. do cicloeucalenol.

Os valores dos deslocamentos químico dos prótons ciclo-propânicos vinílicos e dos grupos metila do cicloartenol (187) cicloswietenol (188) ciclosadol (189) e de cicloeucalelenol acetilado (190) obtidos na literatura^(19,20) com aqueles de VM-S4 e VM-S4 acetilado estão registrados na tabela 8.



A análise da tabela e dos valores das absorções no infra vermelho descritos anteriormente, permitiu concluir-se que os dados obtidos para VM-S4 são compatíveis com a estrutura do cicloeucalelenol (190) já isolado de *Eucaliptus microcorys*⁽²¹⁾.

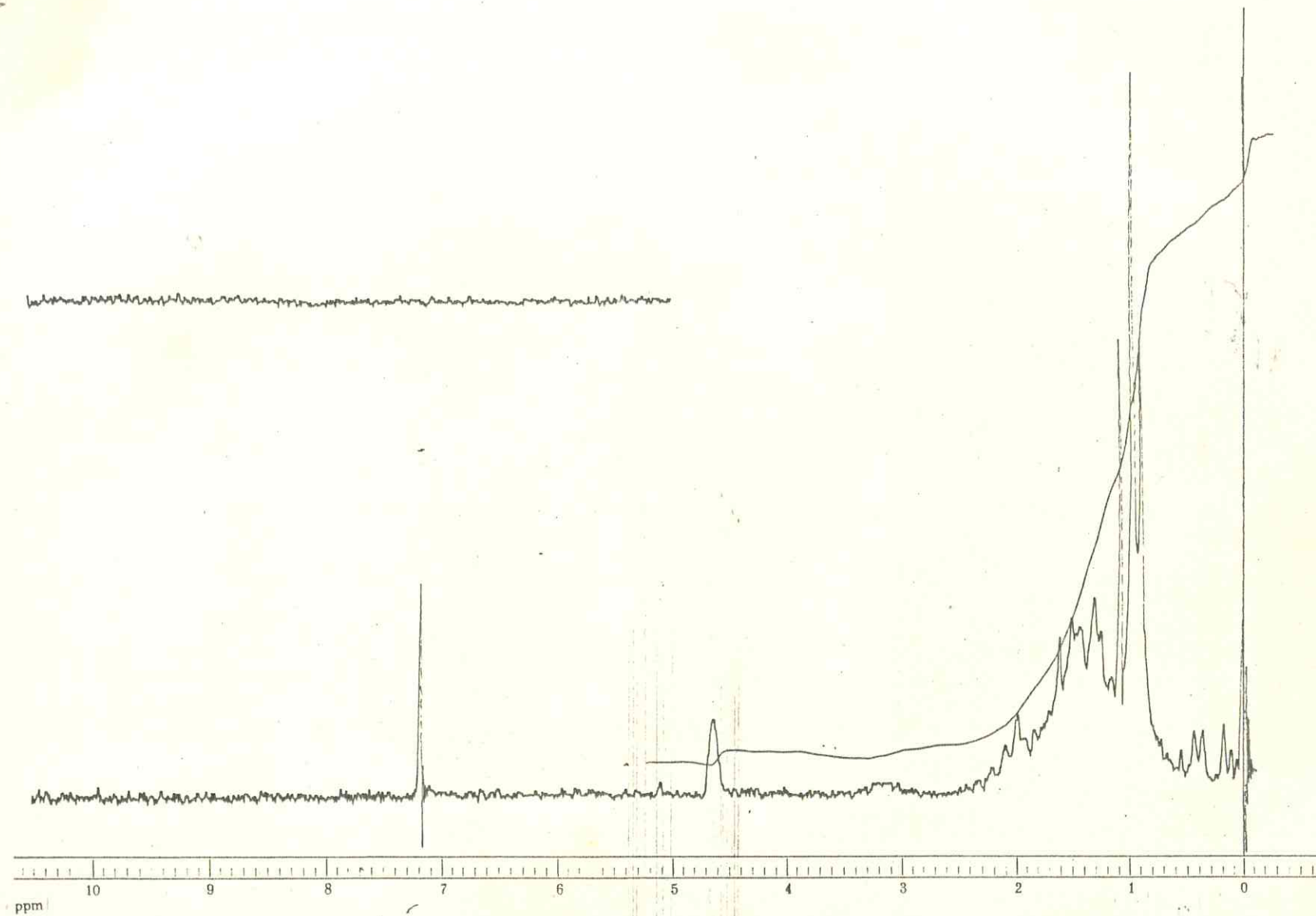


FIGURA 24. Espectro de RMN¹H do cicloeucalenol.

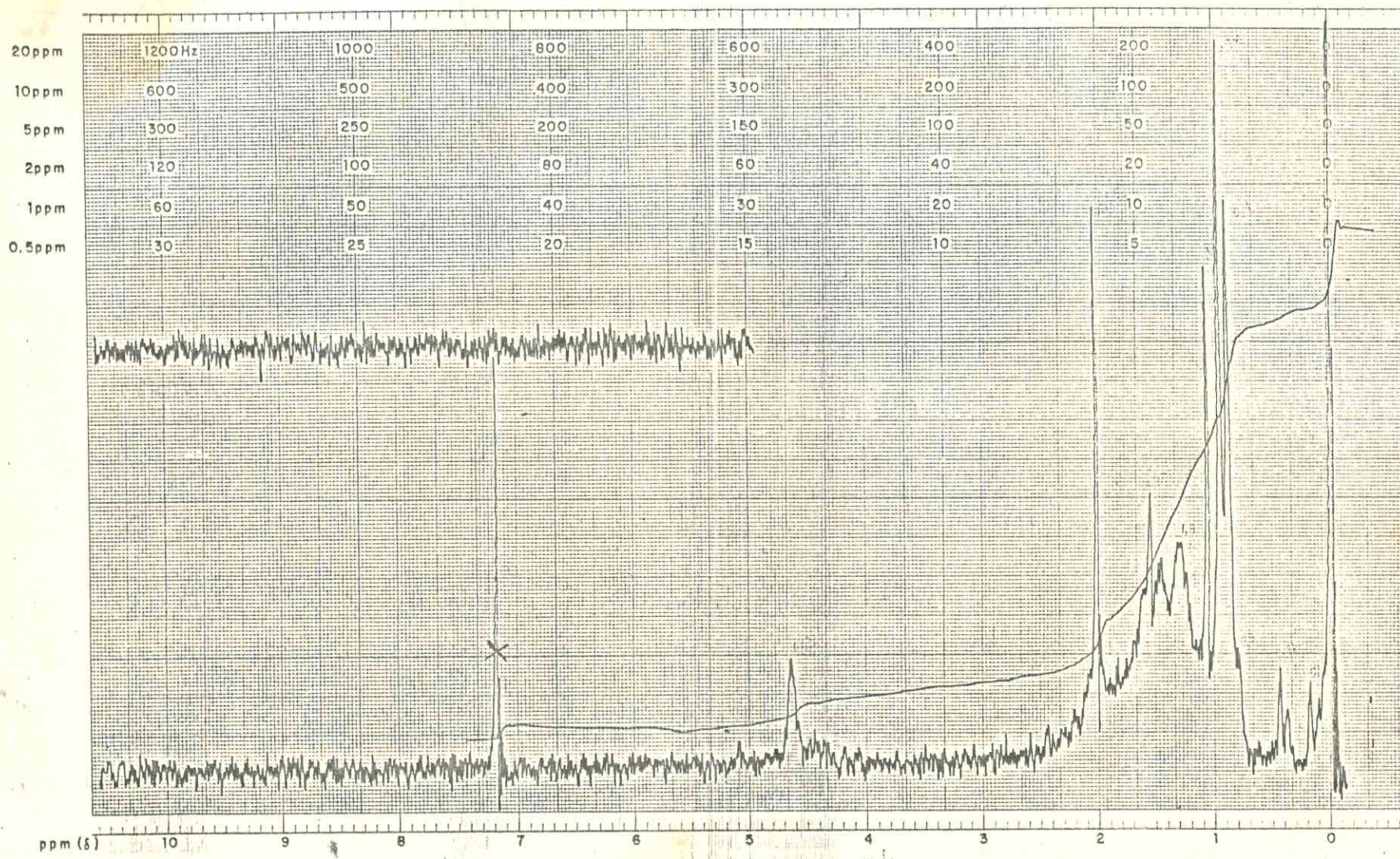


FIGURA 25. Espectro de RMN ^1H do cicloecalenol acetilado.

Tabela 8 - Deslocamentos químicos dos protones de cicloarterenol, cicloswietenol, ciclosadol, cicloeucalenol acetilado, VM-S4 e VM-S4 acetilado.

Compostos	Hidrogênios do anel propânico	Hidrogênios vinílicos	Metilos da cadeia lateral	Ponto de fusão(°C)
Cicloartenol(187)	0,30; 0,56	5,10	1,58-1,65	99
Cicloswietenol(188)	0,13; 0,40	4,71	0,85-1,15	143-5
Ciclosadol(189)	0,34; 0,40	5,16	0,90-1,55	132-4
Cicloeucalenol(190)	-	-	-	138-9
Cicloeucalenol(190) acetato	0,16; 0,42	4,71	0,86-1,03	-
VM-S4	0,17; 0,41	4,64	0,83-1,14	140-3
VM-S4 acetato	0,15; 0,42	4,65	0,81-1,10	-

DETERMINAÇÃO ESTRUTURAL DOS GLICOSÍDIOS

VM-S6

O espectro obtido na região do infravermelho de VM-S6 apresenta um pico largo, típico de hidroxila, em 3400cm^{-1} . Outros picos de absorção em 2960 e 2930cm^{-1} são indicativos da existência de ligações C-H alifáticas. Em 1620cm^{-1} observa-se um pico intenso correspondente às vibrações de estiramento de carbonila bastante desprotegida, como ocorre geralmente com carbonilas de compostos antraquinônicos. A natureza aromática da substância é confirmada pelos picos de absorção das vibrações de estiramento das ligações C=C em 1600 , 1570 e 1480cm^{-1} . Ocorre ainda no espetro, picos fortes em 1200 e 1080cm^{-1} originados respectivamente pelas absorções das vibrações de estiramento e deformação de ligações C-O (Fig. 26).

Através dos dois singletos com deslocamentos químicos em $11,50\delta$ e $11,30\delta$ no espectro de ressonância magnética protônica pode-se deduzir a existência de duas hidroxilas queladas à carbonila na estrutura de VM-S6. Na região de $6,20\delta$ a $7,50\delta$ observa-se picos múltiplos referentes aos prótons aromáticos cuja integração corresponde a nove átomos de hidrogênio. Na região de deslocamento químico entre $3,1\delta$ e $4,60\delta$ um conjunto de picos mal resolvidos originados por absorções referentes aos prótons carbinólicos, dão indicação da natureza glicosídica da substância. O singuleto forte em $2,30\delta$ revela a existência de um grupamento metila ligado a anel aromático, provavelmente em C-3 como ocorre em outras substâncias isoladas da mesma planta.

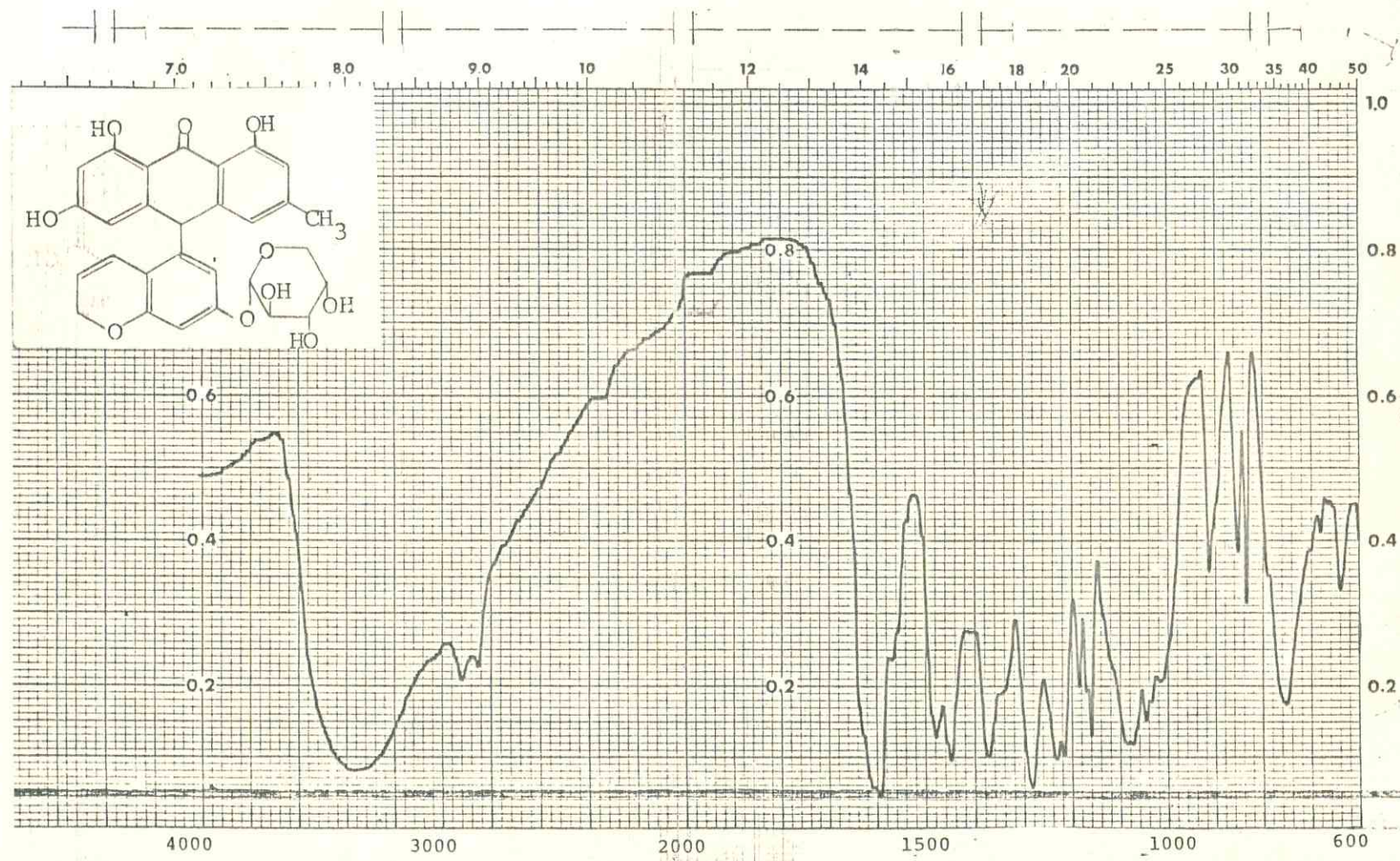


FIGURA 26. Espectro no I.V. de VM-S6.

No que concerne ao espectro de ressonância magnética de carbono-13 pode-se contar um total de vinte e nove átomos de carbono para a estrutura de VM-S6. A presença da carbonila é confirmada pela absorção em $194,84\delta$ valor este, concordante com os da literatura⁽²²⁾ para carbonila de antraquinona. Como se observa um único valor de deslocamento químico coerente com absorção de carbonila, VM-S6 deve ser uma antrona e não uma antraquinona. Esta dedução é fortalecida pelo comportamento da substância em placa semelhante ao de outras antronas, bem como pelo pico que se apresenta em $44,96\delta$, atribuído a C-10, que desdobra como um duplet, devendo portanto, estar ligado a um protón. Três picos cujos deslocamentos químicos correspondem a $162,69$; $162,49\delta$ e $162,36\delta$ revelam a existência de três hidroxilas fenólicas por comparação de valores registrados na literatura⁽²²⁾. Como duas dessas carbonilas estão queladas a hidroxila ou seja em C-1 e C-8 a terceira deve se localizar em C-6, proposta esta, feita com base em outras estruturas de substâncias semelhantes isoladas da planta onde as posições 1,6,8 são favorecidas⁽²³⁾. A localização do grupo metila em C-3 é confirmada pela presença de um pico com deslocamento químico de $148,53\delta$ absorção esta justificada pelo fato do grupamento metila desproteger em até 10 ppm o carbono α⁽²⁴⁾. Os valores de deslocamento químico dos outros átomos de carbono aromáticos do esqueleto antrônico foram atribuídos de acordo com os registros encontrados na literatura para o esqueleto da 1,8 dihidroxiantraquinona, compatível com a influência dos substituintes diferentes (Tabela 9). Observa-se no mesmo espectro seis picos na região onde geralmente absorvem áto-

mos de carbono ligados a oxigênio sendo cinco deles referentes aos carbonos do açúcar identificado após hidrólise como arabinose.

A tabela 9⁽²⁵⁾ relaciona os dados espetrais obtidos para valores de deslocamento químico da arabinose e os registrados na literatura.

Tabela 09 - Valores de deslocamento químico de RMN¹³C da β -D-arabinose

Carbono	δ (ppm)	
	arabinose	VM-S6 arabinose
C-1"	93,3	85,76
C-2"	72,5	79,39
C-3"	73,9	80,63
C-4"	70,4	71,66
C-5"	62,1	62,95

Dos seis valores de deslocamento químico referidos, cinco são devidos ao açúcar e um, correspondente ao pico em 71,21 δ corresponde a um carbono ligado a oxigênio que não pertence ao açúcar. Os outros sinais observados no espectro de RMN¹³C em número de oito, se referem sem dúvida a um outro grupo de átomos que deve estar ligado ao esqueleto antrônico por uma ligação C-C provavelmente em C-10, justificando o dubletô em 44,96 δ . De acordo com estes valores de deslocamento químico foi proposto o núcleo

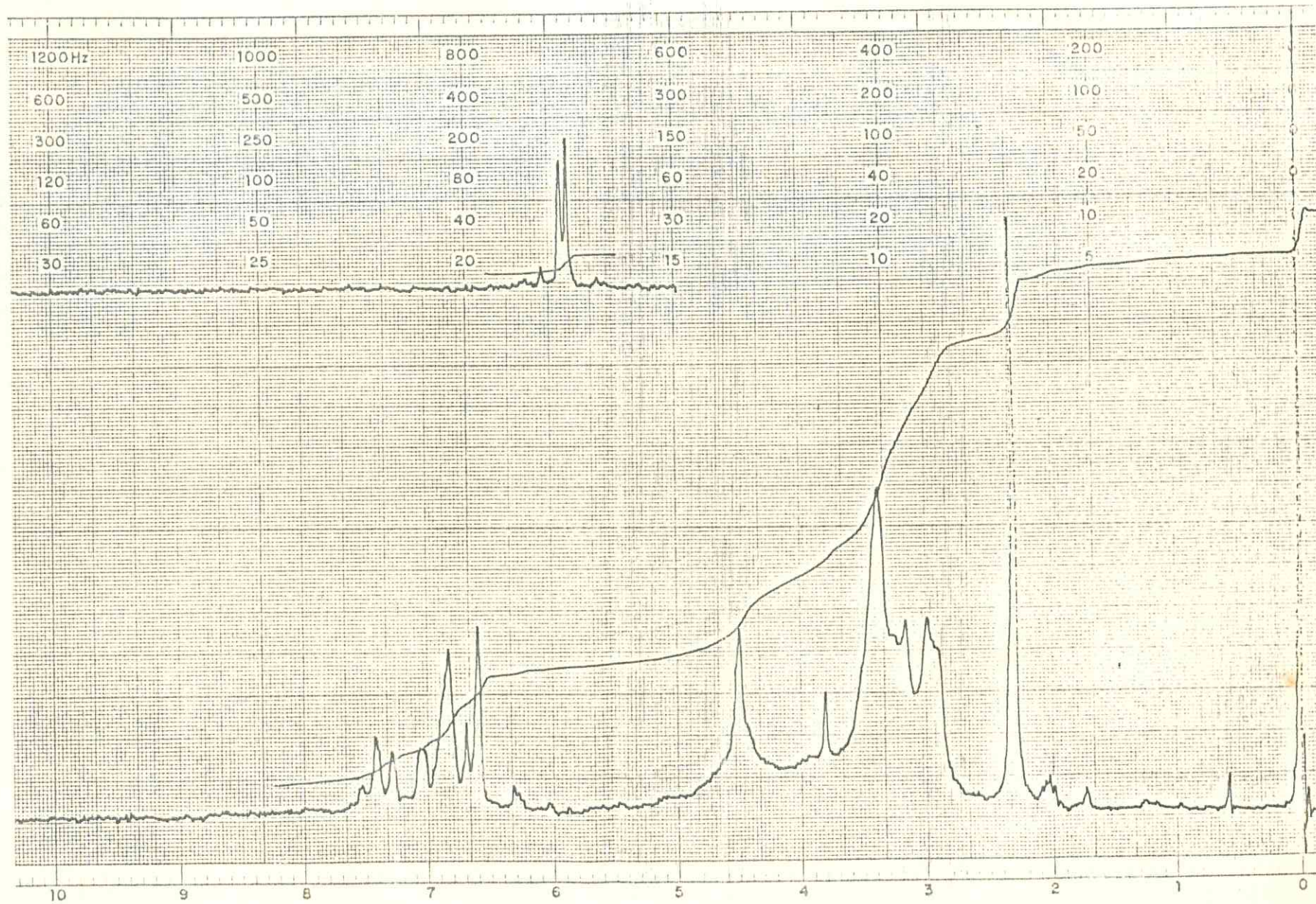


FIGURA 27. Espectro de RMN¹H de VM-S6.

MASS SPECTRUM
01/03/95 14:56:09 + 1:36
SAMPLE: VM-S9

DATA: MATOSI #13
CALI: CAL010293 #6

BASE M/E: 249
RIC: 16043369.

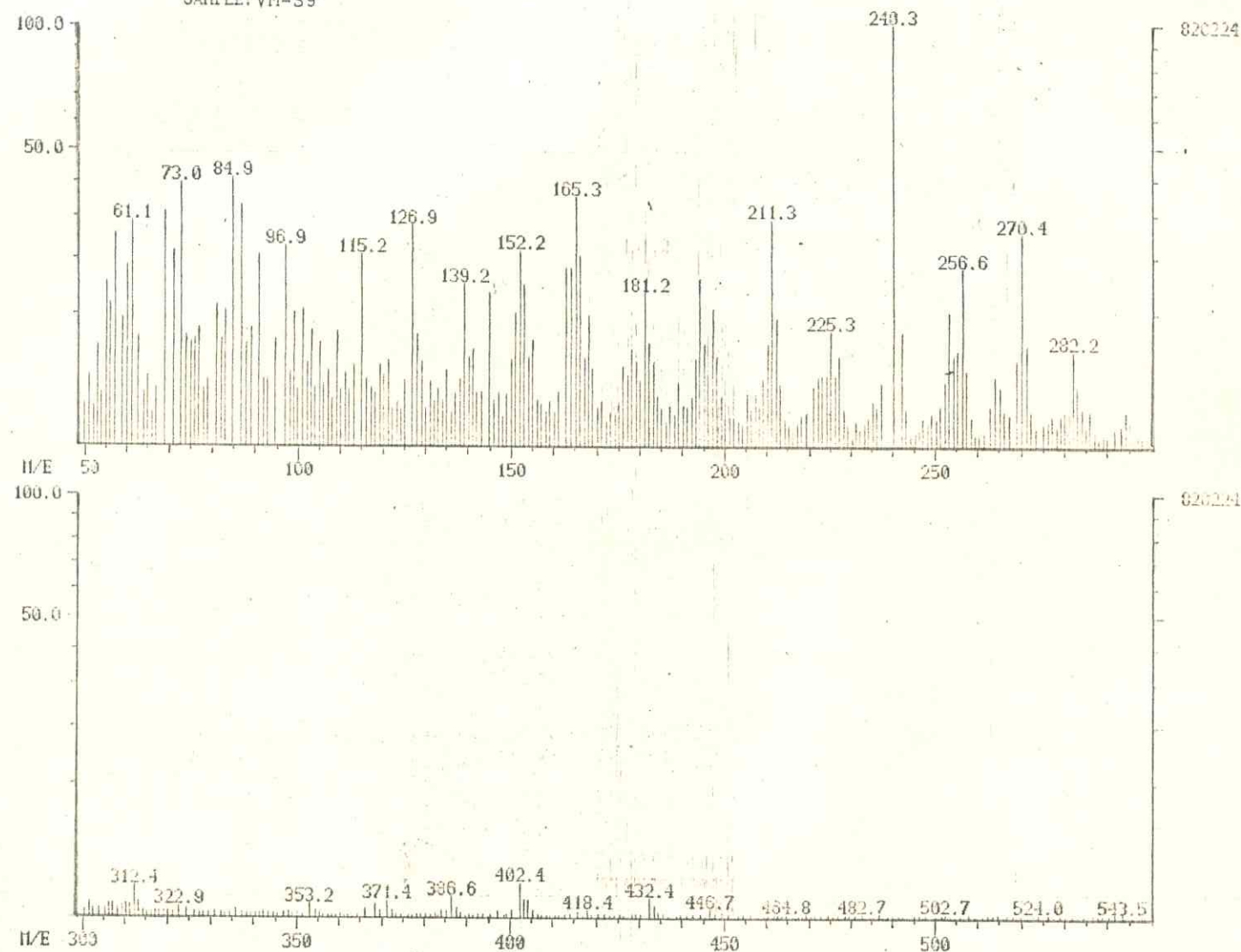


FIGURA 28. Espectro de massa de VM-S6.

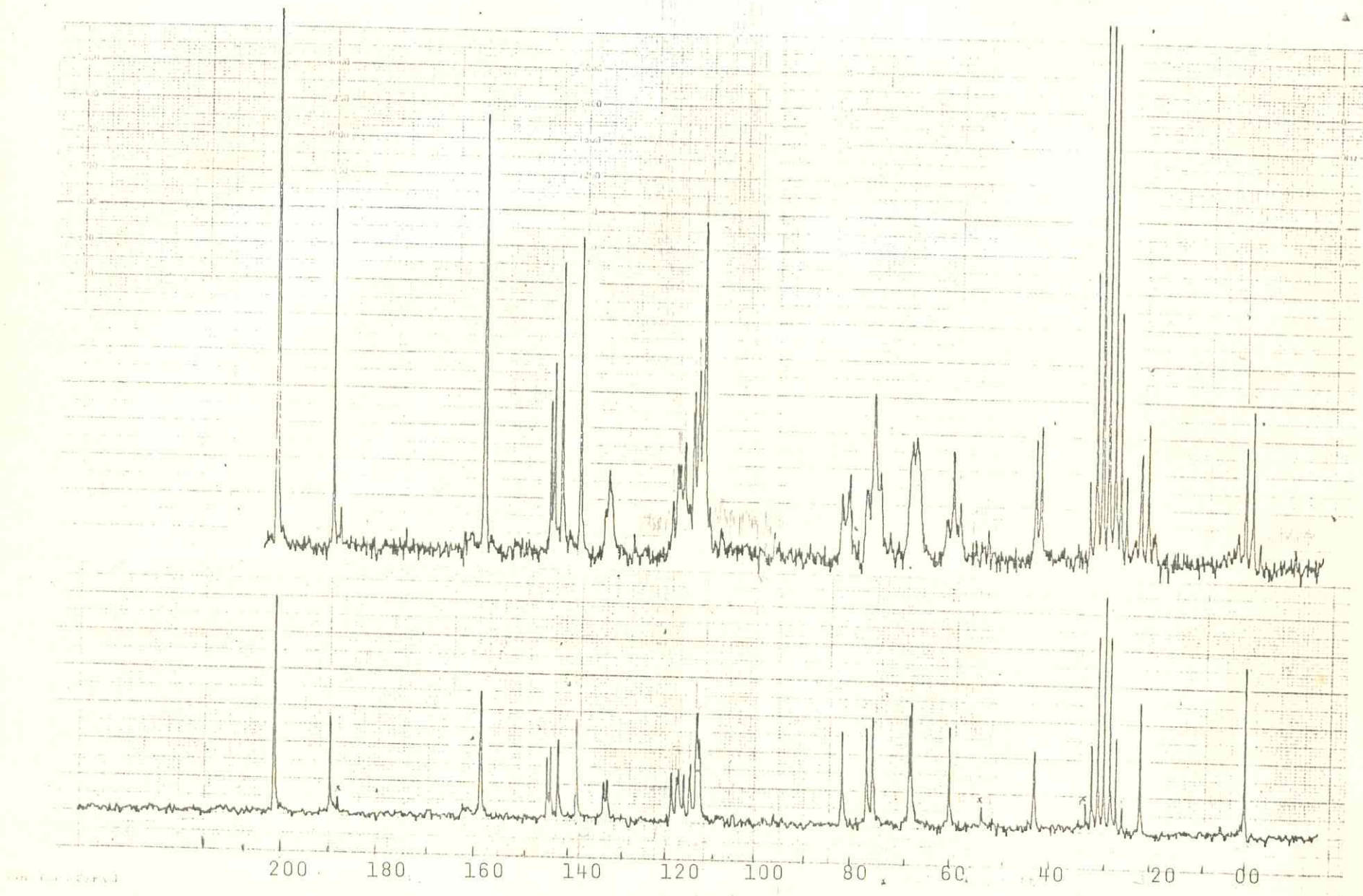


FIGURA 29. Espectro de RMN ^{13}C . de VM-S6.

Tabela 10 - Valores de deslocamento químico de RMN¹³C da aglicona de VM-S6.

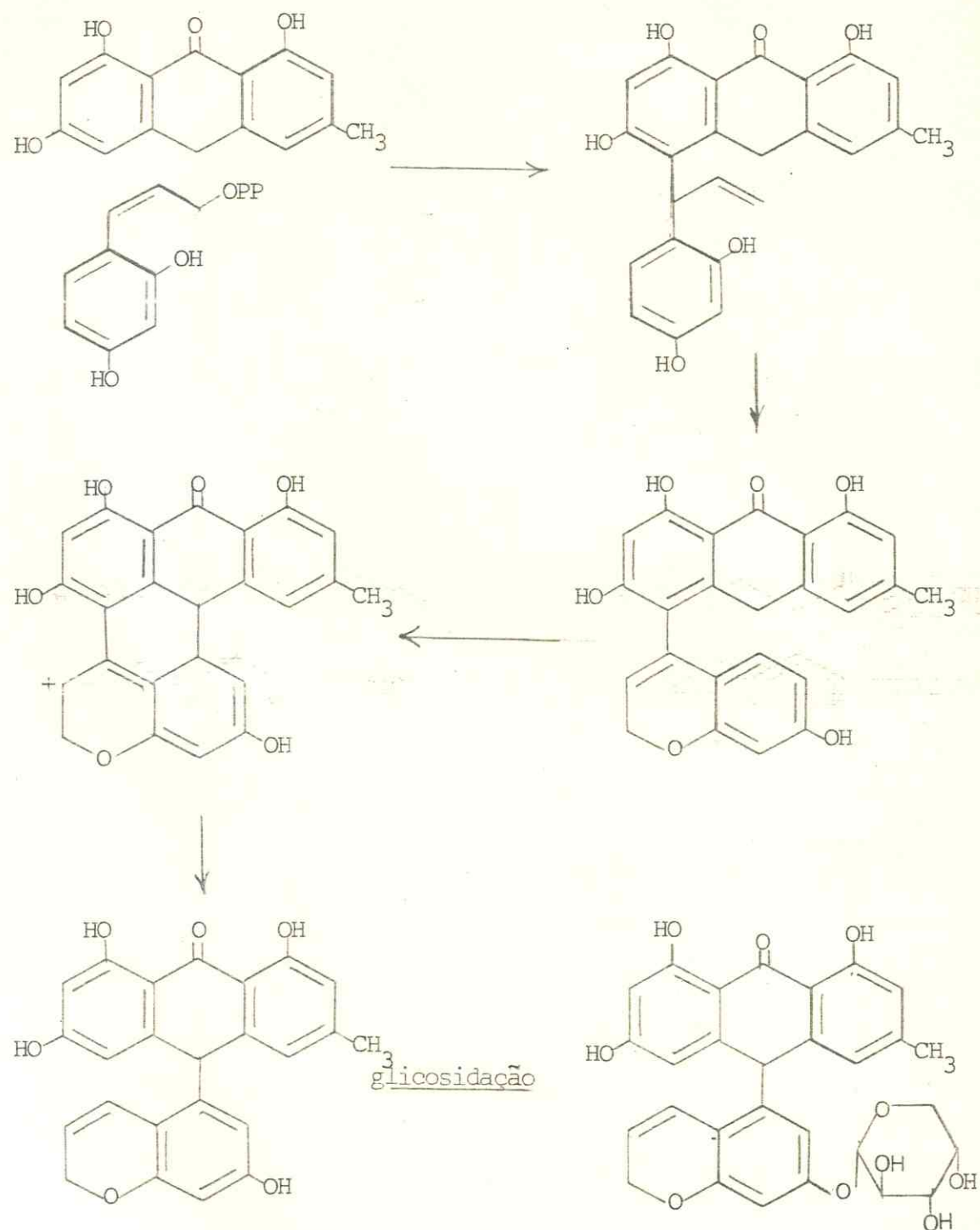
Carbonos	(ppm)	Carbonos	(ppm)
C-1	162,69	C-2'	71,21
C-2	122,08	C-3'	119,48
C-3	148,53	C-4'	120,59
C-4	120,98	C-5'	115,91
C-5	116,36	C-6'	118,3
C-6	162,36	C-7'	146,19
C-7	115,91	C-8'	116,82
C-8	162,49	C-9'	147,75
C-9	194,84	C-10'	136,85
C-10	44,96		
C-11	135,85		
C-12	116,62		
C-13	118,05		
C-14	142,35		
C-15	22,15		

do cromeno como a outra parte constituinte da molécula.

A natureza glicosídica e hidrolizável da substância, associada às evidências espectrais, permitem supor que a arabinose esteja ligada na molécula de VM-S6, através do núcleo cromênico e não do núcleo antrônico.

A localização da arabinose no carbono 7' do grupo cromeno, e deste na antrona foi referida por razões de ordem biossintética, propondo-se para a estrutura de VM-S6 (191) um caminho biossintético que se processa através de uma cinamilação da antrona semelhante a via de formação dos neo-flavonóides⁽²³⁾.

Esquema IV. Caminho biosintético proposto para VM-S6.



VM-S6

VM-S7

O espectro de VM-S7 na região do infravermelho apresenta um pico forte e largo em 3400cm^{-1} indicativo da presença de um número grande de hidroxilas. Picos de absorção em 2960 e 2920cm^{-1} representam vibrações de estiramento de ligações C-H alifáticos. A presença de pico forte em 1600 e em 1620cm^{-1} torna evidente a existência de mais de uma carbonila na substância que deve possuir provavelmente esqueleto antraquinônico. Esta hipótese é confirmada pela presença de absorções de vibrações de estiramento das ligações C=C do sistema aromático antraquinônico em 1600 , 1570 e 1480cm^{-1} bem como pelo resultado positivo do teste de Borntraeger. Ainda no espectro de infravermelho de VM-S7 encontram-se picos de absorção de vibrações de estiramento e deformação da ligação C-O respectivamente em 1380 e 1080cm^{-1} .

No espectro de ressonância magnética protônica de VM-S7 existe um pico largo de difícil resolução na faixa de $11,8-11,4\delta$, coerente com a região de deslocamento químico característico de hidroxilas fenólicas. Vários sinais na faixa de $-7,5-6,2\delta$ que se apresentam na forma de doubletos e singletos correspondendo a diversos átomos de hidrogênio ligados a núcleo aromático. Entre $4,2\delta$ e $2,7\delta$ observa-se a presença de vários picos de alta complexidade resolutiva provenientes de um grande número de protones ligados a grupamento carbinólicos muito comuns em açúcares.

Vê-se ainda em $2,3$, $2,2$ e $2,1 \delta$ confusos singletos de alta intensidade correspondentes a absorções de grupamento metila

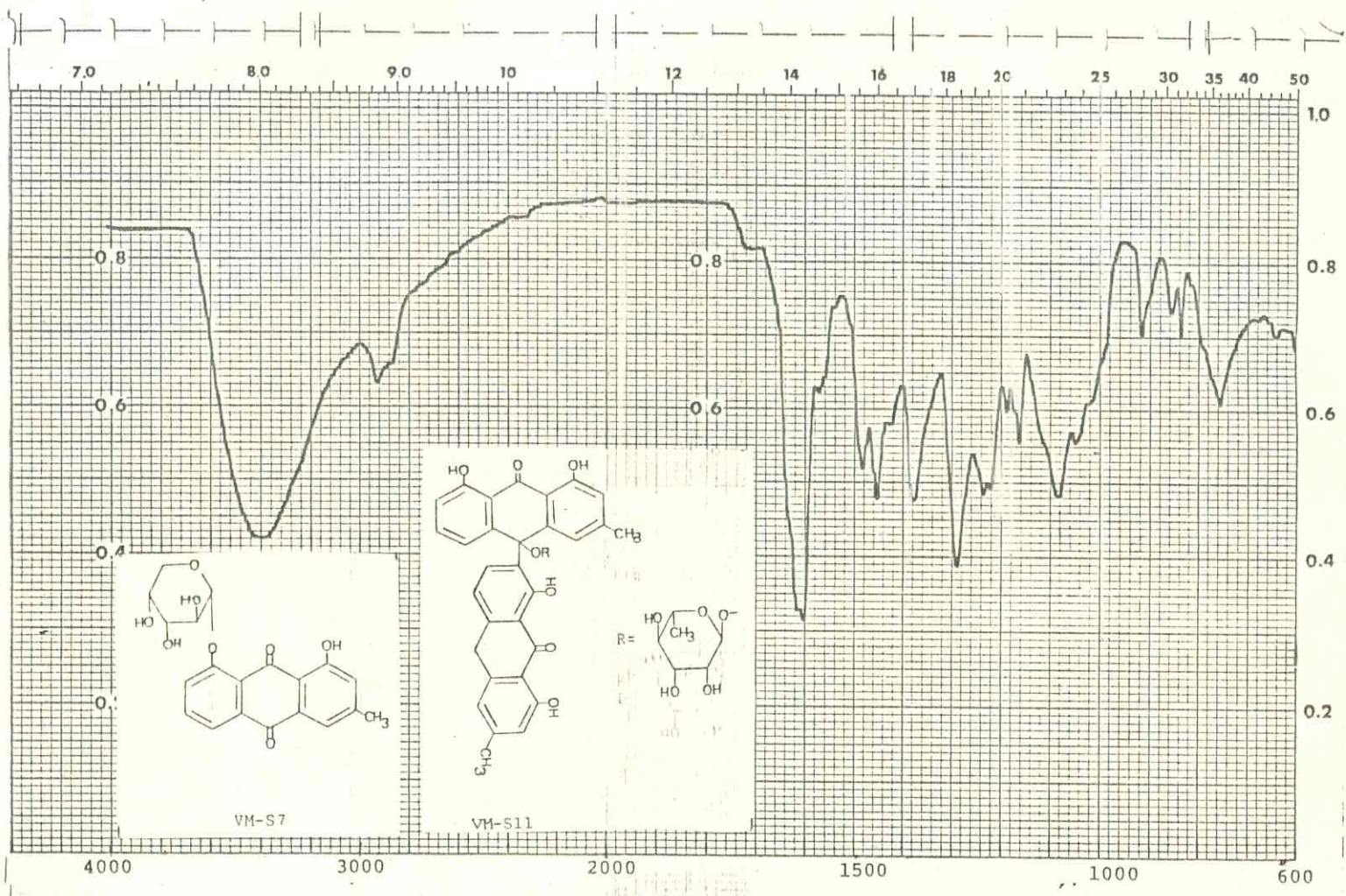


FIGURA 30. Espectro no I.V. da mistura de VM-S7 e VM-S11.

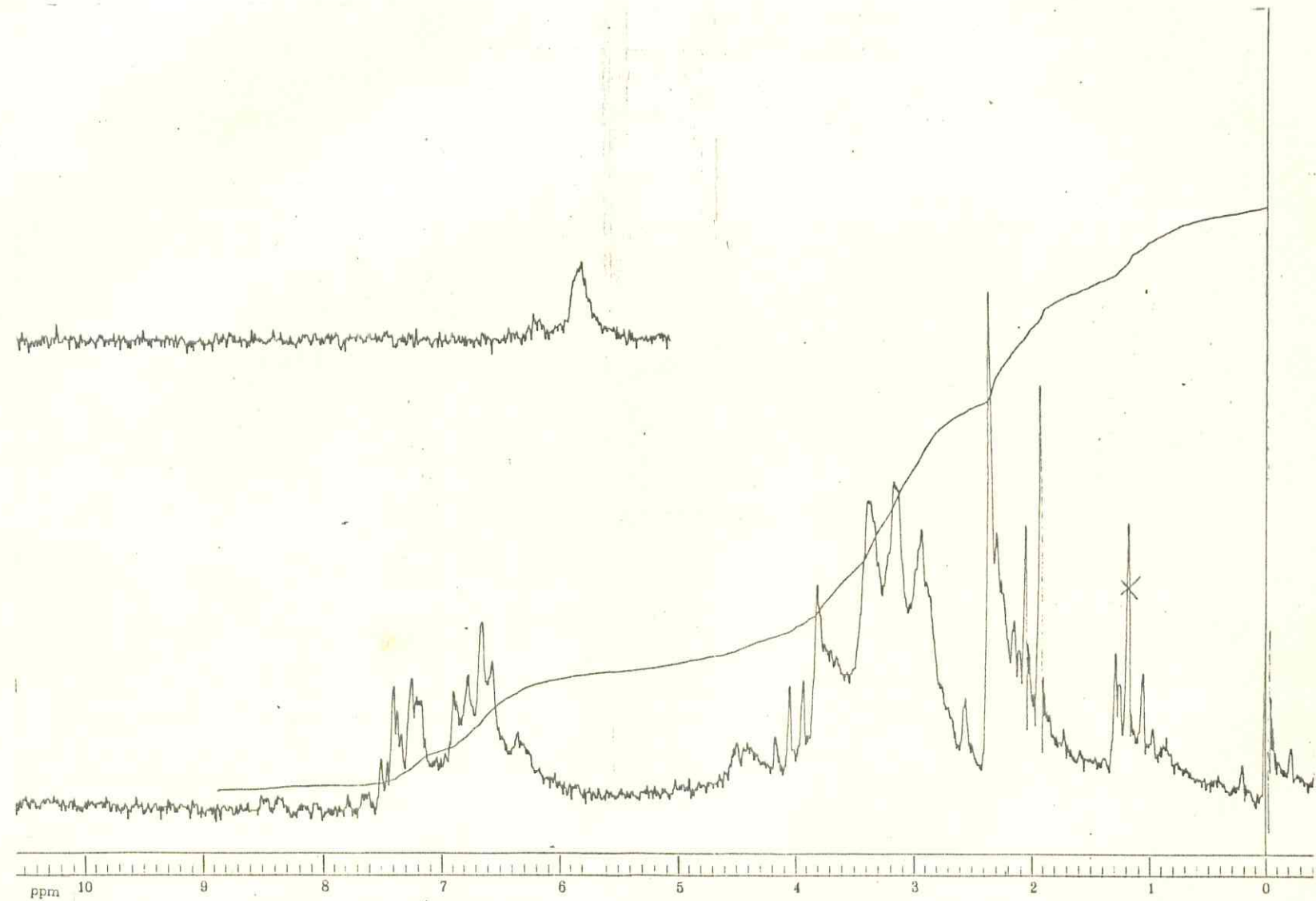


FIGURA 31. Espectro de RMN ${}^1\text{H}$ da mistura de VM-S7 e VM-S11.

ligado a anel aromático.

Com o intuito de precisar a pureza da substância, submeteu-se uma amostra de VM-S7 à cromatografia em camada delgada pela qual observou-se com o uso de vários eluentes apenas uma mancha que, embora longa, sugere tratar-se de uma única substância.

Utilizando-se no entanto, cromatografia líquida de alta eficiência (CLAE) como método mais resolutivo, pode-se concluir ser VM-S7 constituído de duas substâncias, sendo uma delas proeminentemente que permaneceu com a mesma denominação, e a outra de menor concentração denominada VM-S11.

Para confirmar a natureza glicosídica da mistura sugerida pela interpretação do espectro de RMN¹H efetuou-se a hidrólise ácida, cujos produtos foram analisados por cromatografia de partição em papel e em camada delgada onde se pode perceber a ocorrência de dois monossacarídeos. O que se apresenta em maior quantidade foi identificado por comparação com padrões como arabinose, sendo o menos predominante identificado como ramnose. Portanto, obedecendo-se a proporção que se observa na mistura não-hidrolisada VM-S7 deve ser um glicosídio cuja aglicona está ligada a arabinose e VM-S11 um ramnosídio.

O crisofanol(1) foi identificado através de CLAE e CCD como aglicona predominante por comparação com amostra autêntica (Fig. 32). Como a arabinose encontra-se em plantas geralmente sob a forma D-piranosídica e a ocorrência de glicosídiros do crisofanol com o açúcar ligado em C-8, descritos na literatura é mais frequente é que a estrutura (192) foi proposta para VM-S7. Não foi

encontrado na literatura a ocorrência de crisofanol ligado a arabinose devendo ser VM-S7 portanto uma substância inédita.

O espectro de RMNH da aglicona de VM-S11 (Fig.33) mostra picos referentes a protones aromáticos com quatro hidroxilos fenólicos queladas e dois grupamentos metila ligados a anel aromático. O singuleto em 4,45 δ permite formular a hipótese da semelhança entre a aglicona de VM-S11 e VM-S8 anteriormente isolado de *V. macrocarpa* (Tabela II).

Tabela II - Comparação dos valores de RMNH da aglicona de VM-S11 e VM-S8

Tipos de protones	Deslocamento químico δ (ppm)	
	Aglicona VM-S11	VM-S8
Ar-OH	11,6; 11,5; 11,4; 11,26	11,7; 11,6; 11,5; 11,4
Ar-H	7,52-6,03	7,35-6,05
(Ar) ₂ COH	5,6	5,6
(Ar) ₂ CH	4,4	4,3
Ar-CH ₃	2,3; 2,2	2,3; 2,2

A análise dos dados da Tabela 6 e 10, e a quase identidade dos valores dos pontos de fusão da aglicona de VM-S11 (195-8°C) e de VM-S8 (196°C) permitiu-nos propor para VM-S11 uma estrutura do tipo biantraceno-diona (193) com a parte osídica ligada provavelmente em C-10, por analogia com outras estruturas semelhantes.

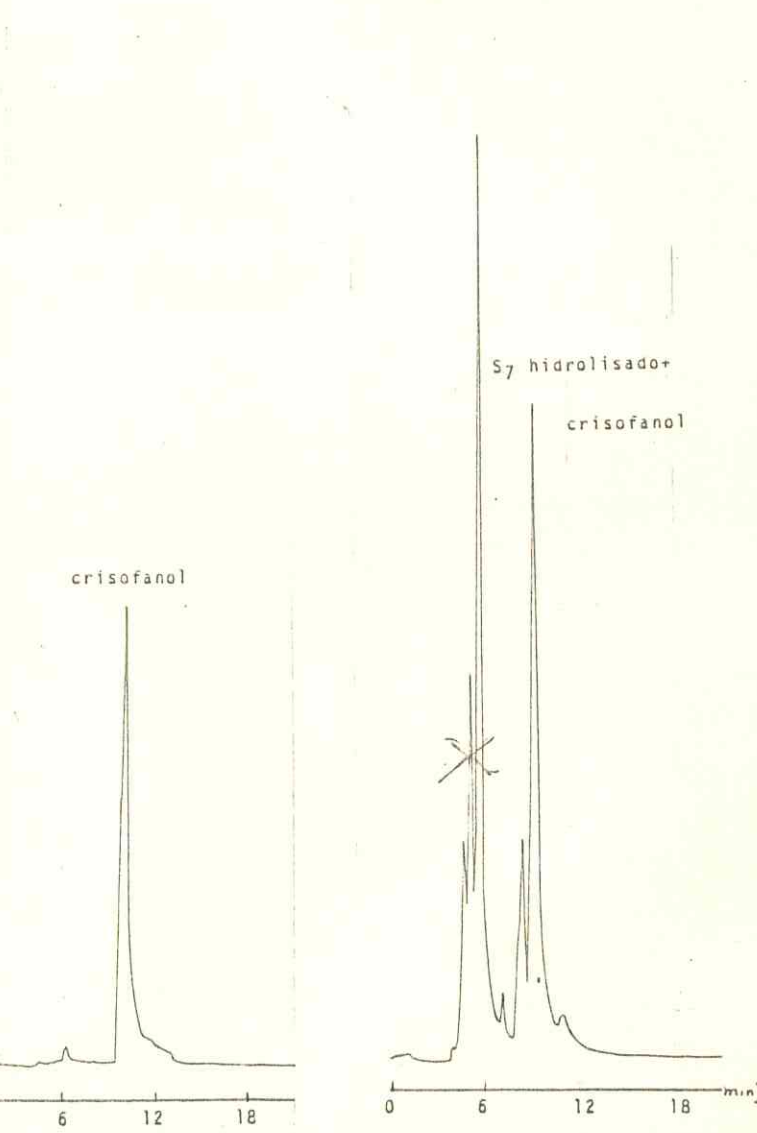
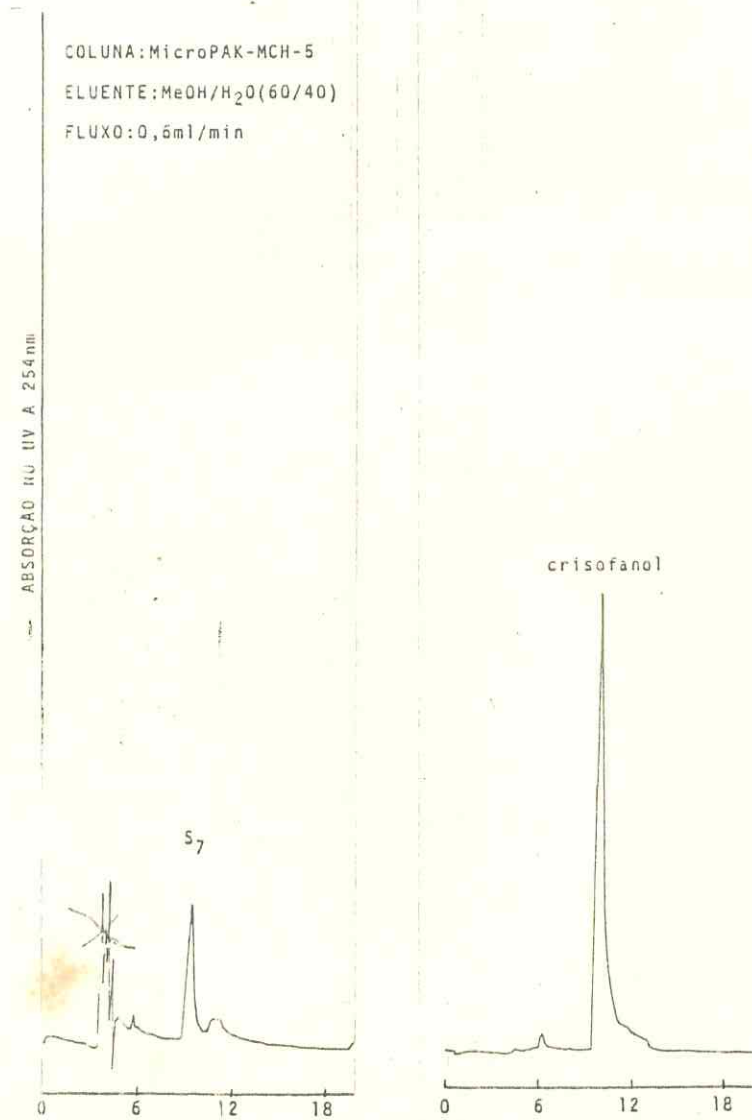
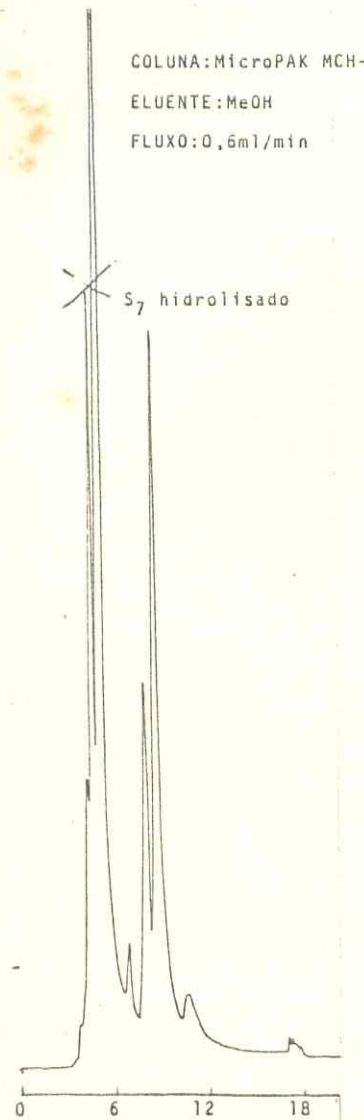


FIGURA 32. Cromatogramas em CLAE de VM-S7 hidrolisado e crisofanol.

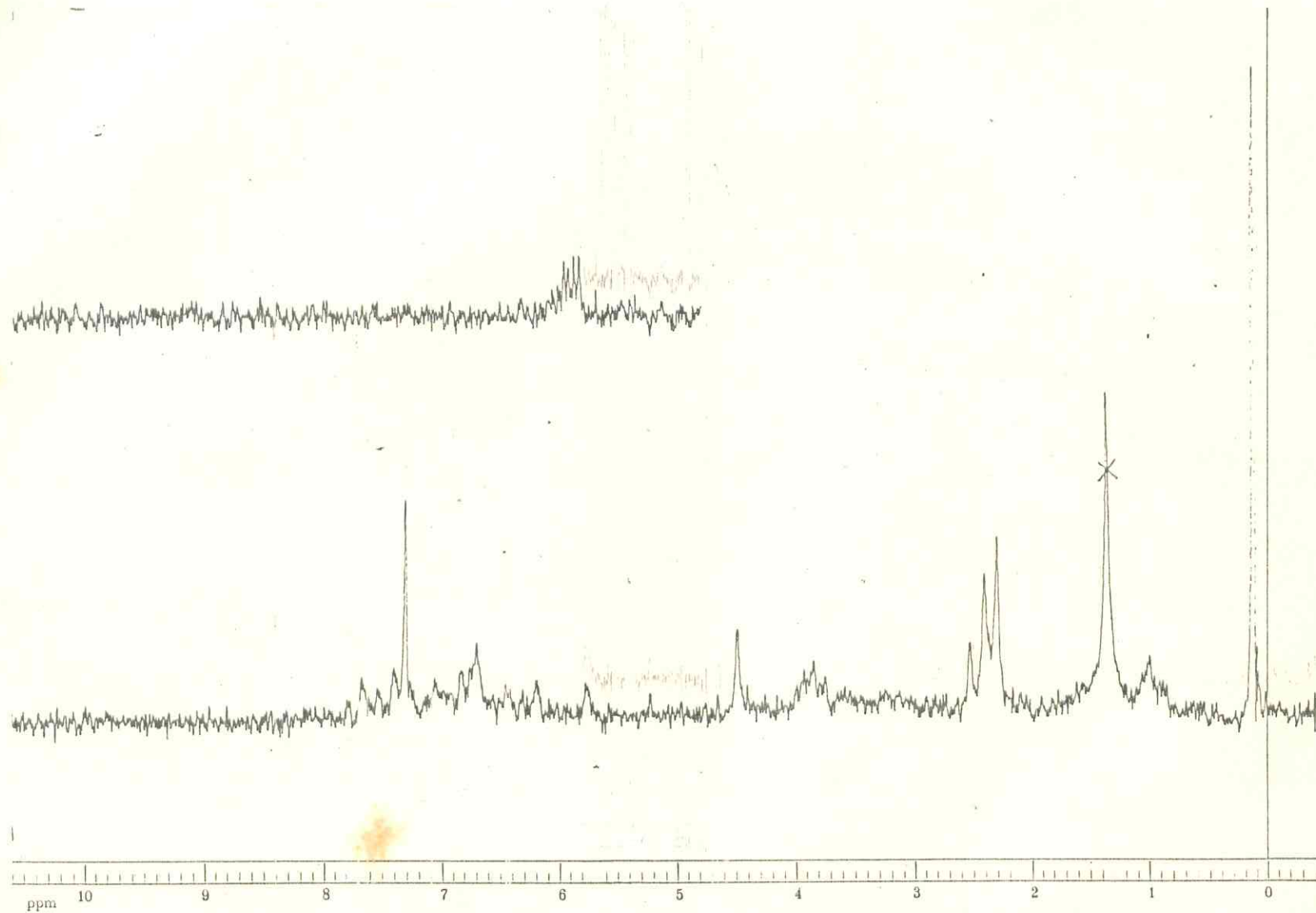
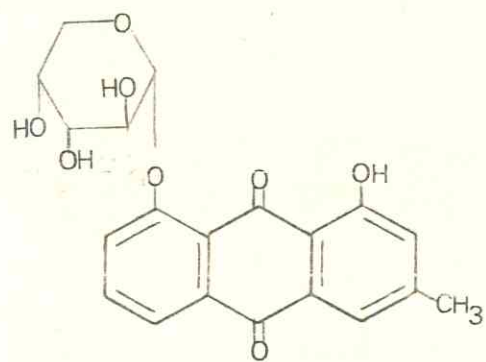
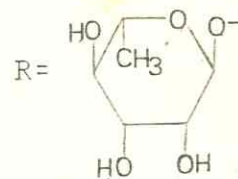
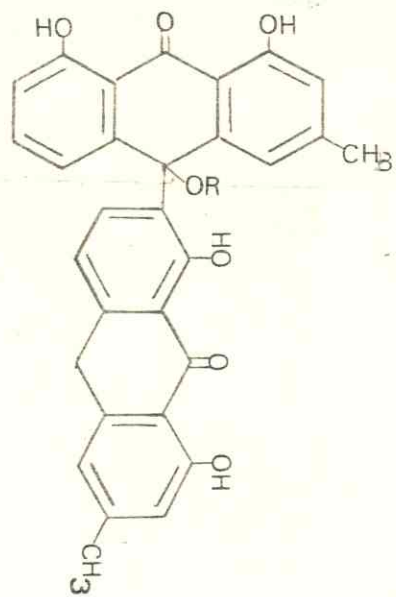


FIGURA 33. Espectro de RMN¹H da aglicona de VM-S11.



VM-S7



VM-S11

VM-S9

O espectro de absorção no infravermelho de VM-S9 mostra-se compatível com uma estrutura antraquinônica pela presença dos picos em: 3400; 2960; 2920; 1610; 1600; 1570; 1480; 1080 e 1050 cm^{-1} (Fig. 34).

Os picos observados no espectro de ressonância magnética protônica com deslocamento químico compatíveis com a presença de hidroxilos fenólicas queladas à carbonila na molécula da substância. Os prótons aromáticos absorvem na faixa de 6,8 δ a 7,7 δ e entre 4,7 δ e 3,2 δ encontram-se picos largos comumente associados a protones ligados a átomos de oxigênio. O espectro de RMN¹H da substância apresenta ainda em 2,3 δ um singuleto intenso correspondente a absorção de grupamento metila ligado a anel aromático e em 1,2 δ com integração de três átomos de hidrogênio (Fig. 35). No espectro de RMN¹H de VM-S9 acetilado vê-se 6 singuletos de intensidades diversas com integração equivalente a dez grupos metila, com deslocamentos químicos iguais a 2,3 δ , 2,2 δ , 2,1 δ , 2,0 δ , 1,9 δ e 1,8 δ . Em 1,2 δ , o pico mal resolvido que se apresenta no espectro de RMN¹H de VM-S9 não acetilado, desdobra como um doubleto bem delineado correspondendo ao grupamento metila em C-5 da molécula de ramnose.

A hidrólise de VM-S9 forneceu dois açúcares. Comparação com padrões em cromatografia de partição em papel e cromatografia em camada delgada permitiu identificá-los como arabinose e ramnose.

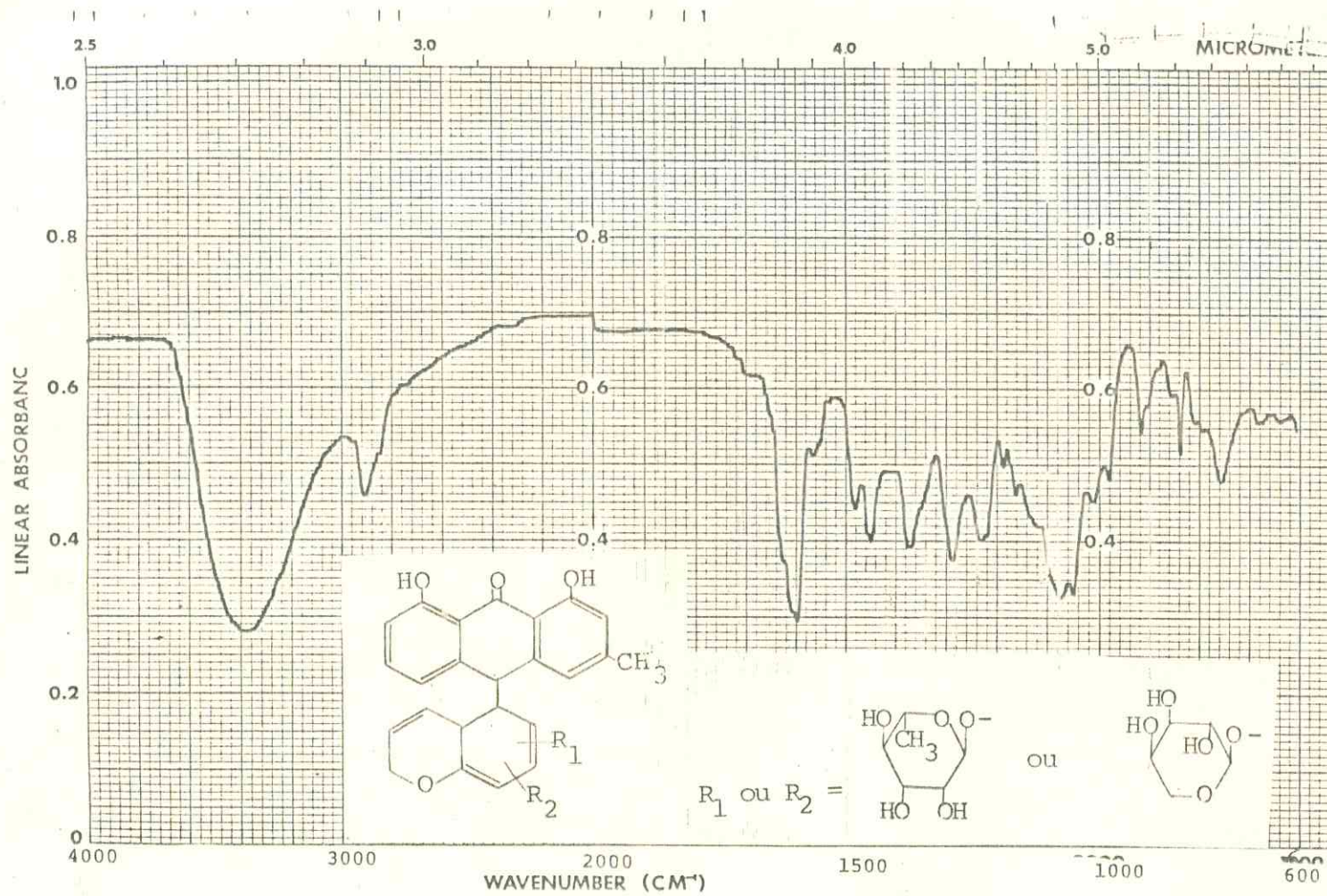


FIGURA 34. Espectro de massa de VM-S9.

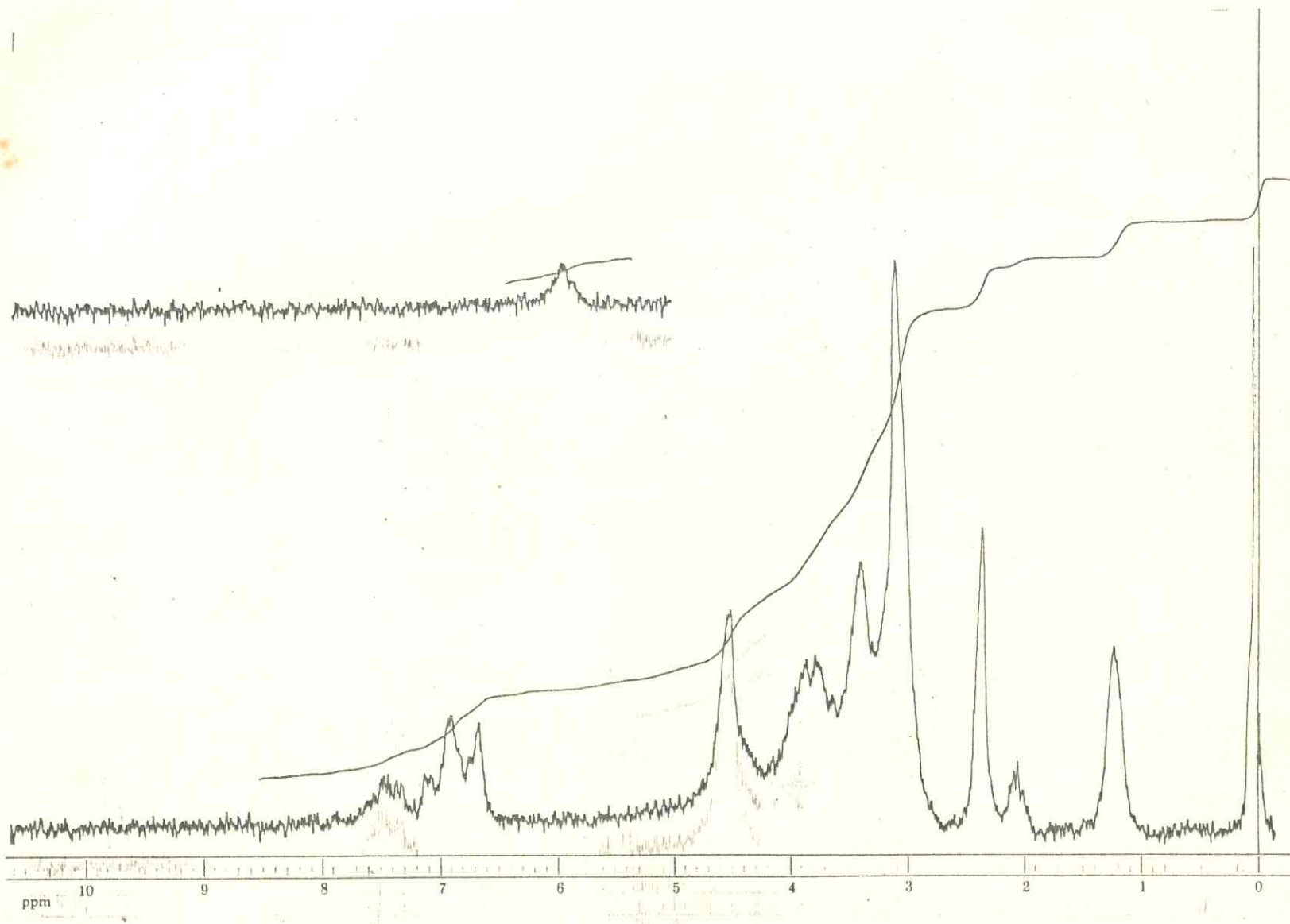


FIGURA 35. Espectro de RMN¹H de VM-S9.

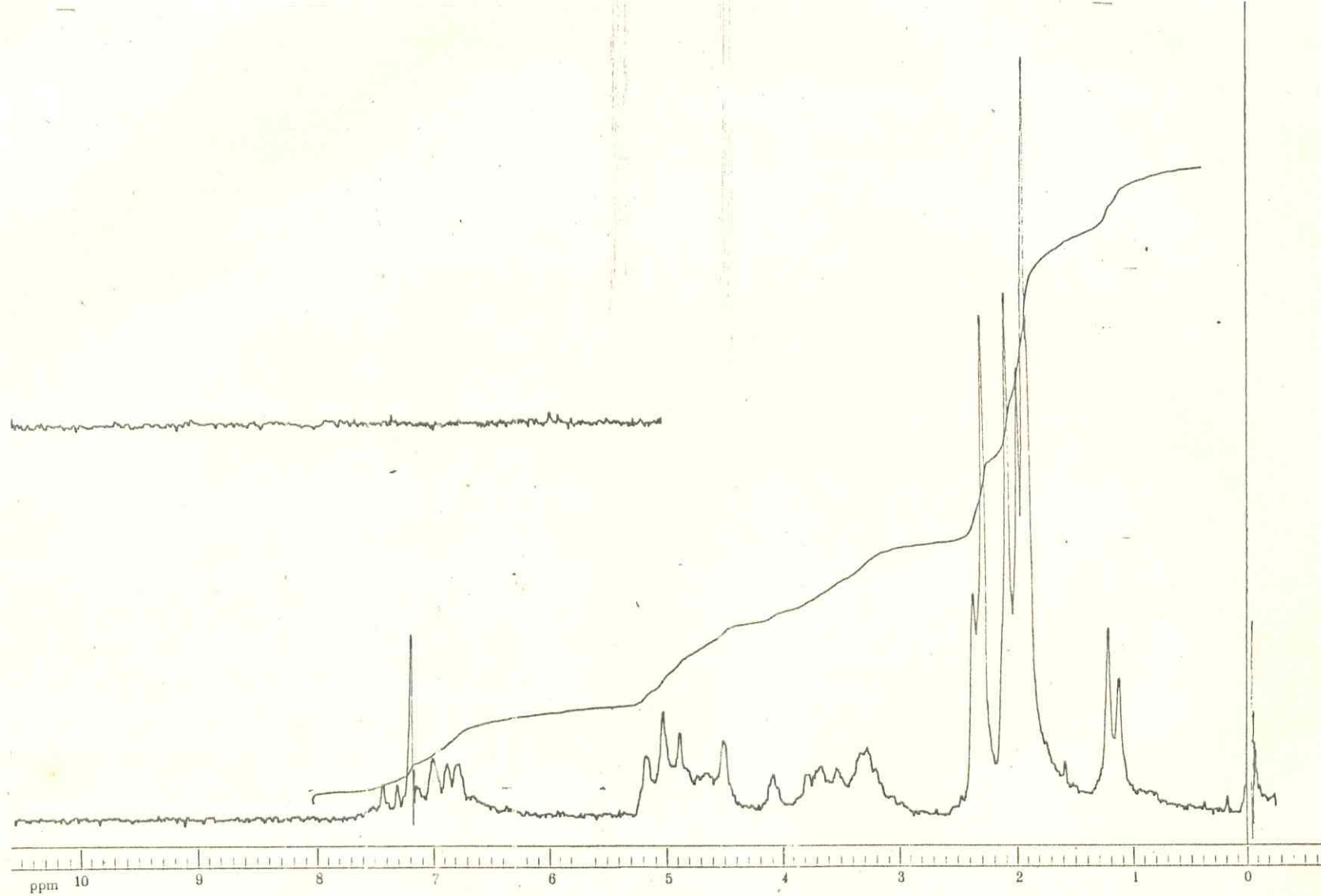


FIGURA 36. Espectro de RMN ^1H de VM-S9 acetilado.

A análise do espectro de ressonância de carbono-13 indica para VM-S9 a presença de 35 átomos de carbono. A existência da carbonila, indicada no espectro de infravermelho, foi confirmada pela absorção em 194,91δ. Observa-se nos deslocamentos químicos de 162,46 e 162,69δ, picos referentes a carbonos hidroxilados ligados a anel aromático (Fig.37). Por comparação de dados de RMN¹³C da substância VM-S6 também isolada de *V. macrocarpa* com os de VM-S9, propõe-se a existência de um núcleo de antrona dihidroxilada como parte da molécula. O pico existente em 45,17δ corresponde assim, ao C-10 do esqueleto antrônico.

Os demais valores de deslocamento químico observados no espectro correspondem aos outros átomos de carbono aromáticos da antrona e a um outro grupo de átomos de carbono do tipo cromeno, como ocorre em VM-S6, com uma insaturação a menos, pois observa-se dois picos correspondentes a carbonos saturados: 44,32 e 71,69δ. O espectro de RMN¹³C em APT (Fig.38) é compatível com a localização dos açúcares em dois carbonos diferentes do núcleo cromeno, não devendo ocorrer portanto, ligação açúcar-açúcar (ver pag.187).

Na Tabela 12 estão discriminados os valores de deslocamento químico de RMN¹³C de VM-S9.

A determinação inequívoca dos locais de ligação das duas oses nos carbonos do núcleo cromeno e a confirmação da estrutura proposta (194) pag. 143, requer a realização de novos estudos.

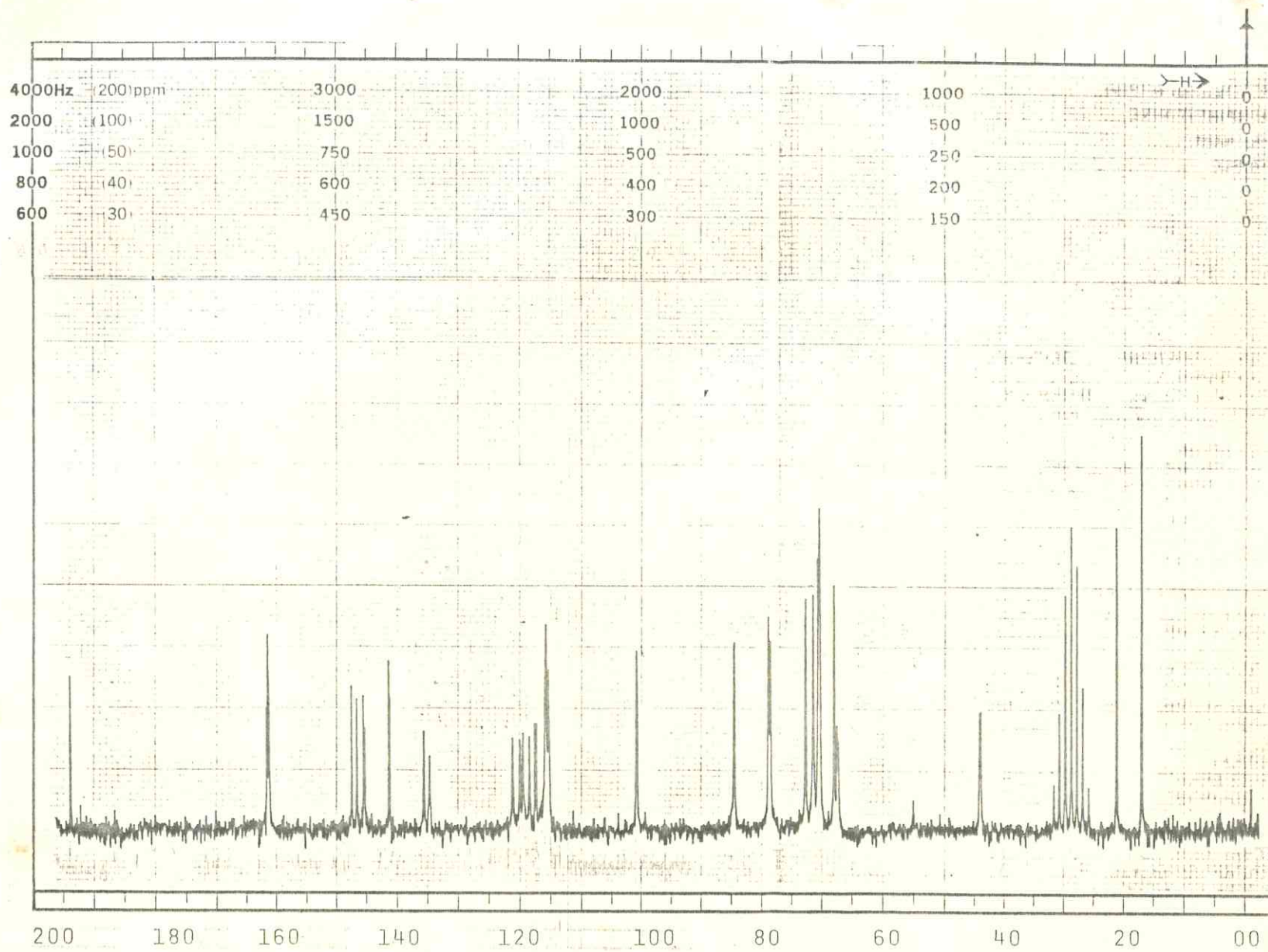


FIGURA 37. Espectro de RMN ^{13}C de VM-S9.

Tabela 12 - Valores de deslocamento químico dos carbonos de VM-S9.

Carbonos	(ppm)	carbonos	(ppm)
C-1	162,69	C-1"	101,91
C-2	121,12	C-2"	72,51
C-3	148,60	C-3"	71,41
C-4	116,51*	C-4"	79,67
C-5	116,89	C-5"	69,06
C-6	136,76	C-6"	18,12
C-7	122,29	C-1'''	85,65
C-8	162,46	C-'''	73,74
C-9	194,91	C-3''''	80,01
C-10	45,17	C-4''''	71,41
C-11	135,82	C-5''''	68,35
C-12	118,76		
C-13	118,46		
C-14	142,50		
C-15	22,26		
C-2'	68,53		
C-3'	119,57		
C-4'	120,59		
C-5'	146,61*		
C-6'	116,40		
C-7'	146,44*		
C-8'	45,32		
C-9'	71,69		
C-10'	147,71		

* Os valores podem estar trocados.

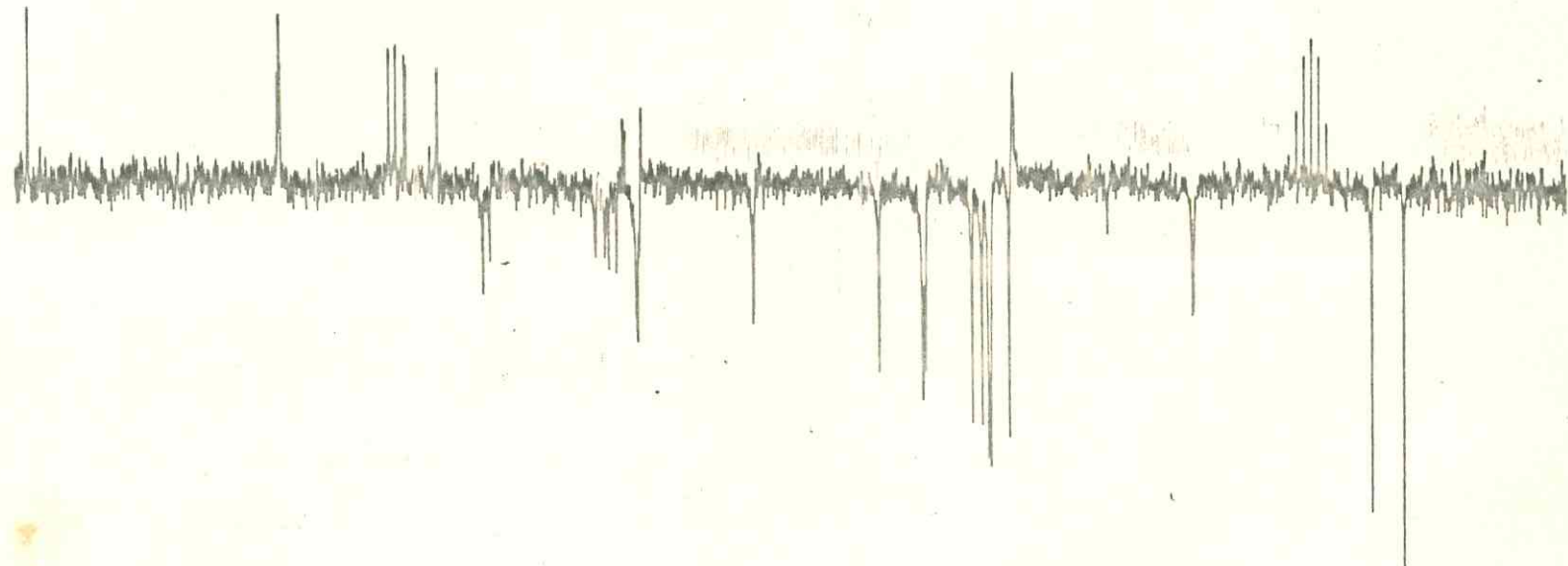


FIGURA 38. Espectro de RMN ^{13}C (APT) de VM-S9.

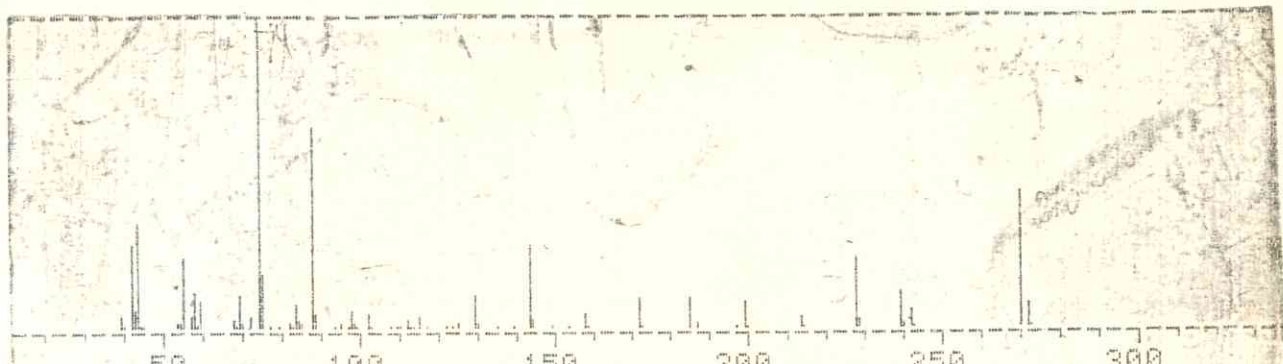
4.3. Identificação dos ácidos graxos.

As identificações dos ácidos graxos constituidos do óleo da semente de *V. macrocarpa* foram conseguidas através da interpretação do cromatograma gás-liquido dos seus ésteres metílicos e da comparação automática dos respectivos espectros de massa, com os de uma biblioteca de padrões, em aparelho CGL/EM acoplado a computador.

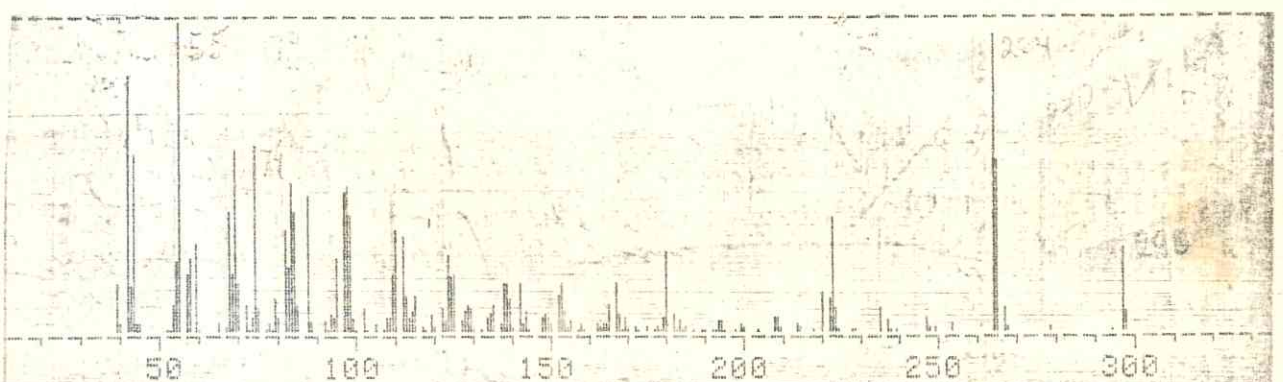
Os principais parâmetros usados para identificação dos ácidos graxos foram a sequência de saída observada no cromatograma (CGL), e, nos espectros de massa, os respectivos picos moleculares. As conclusões foram confirmadas através da observação comparativa dos referidos espectros com os dados da literatura⁽²⁶⁾.

Foram identificados os ácidos graxos palmitico, esteárico e oleico, determinando-se, também suas concentrações que foram, respectivamente, 42,8%, 16,8% e 28,1%.

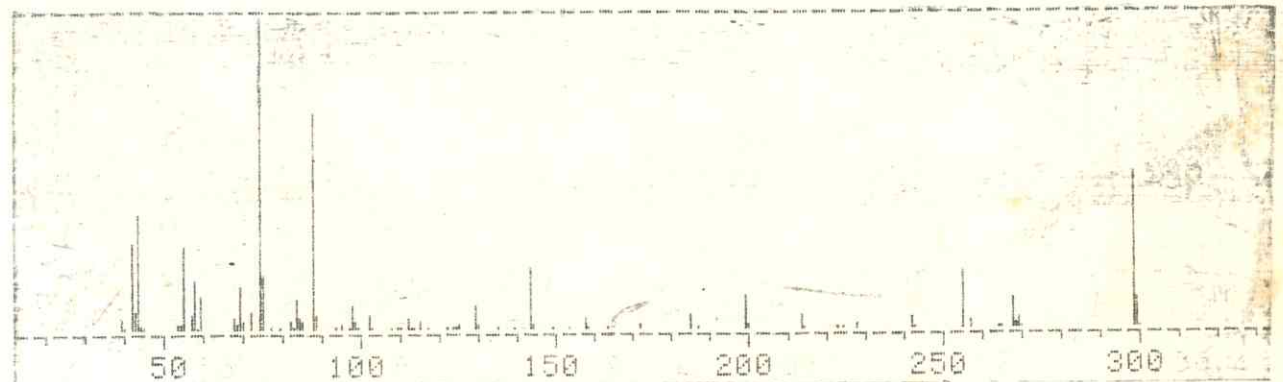
FIGURA 39. Espectro de massa dos ácidos graxos metilados.



palmitato de metila



oleato de metila



estearato de metila

Referências bibliográficas

1. BLOOM, H., BRIGGS, L.H. & CLEVERLEY, B. *J. Chem. Soc.* 178, 1959.
2. THOMPSON, R.M. *Nat. Ocurr. Quinones, Acad. N.Y.* 2nd Ed. 389, 419, 1971.
3. SIMATUPANG, M.H., DIETRICHS, H.H. & GOTTWALD, H. "Holzforschung", 21, 89, 1967.
4. VASCONCELOS, I.A. "Constituintes Químicos de Algumas Espécies de Cassia e Liquens". T.Ms. 36, UFMG, 1975.
5. PIATTELLI, M. e NICOLA, M.G. *Phytochemistry*, 7, 1183, 1968.
6. CHAPMAN and HALL (Ed.) *Dict. Org. Comp. C. Hall*, N.Y. 5th Ed. 5507, 1982.
7. VOGEL, A.I. "Química Orgânica", vol.3, 1023, 1979.
8. RUE, W. & MULLER, M.J. *J. Chem. Soc.* 10, 298, 1858.
9. The Merck Index, 9th Ed. 468, 1976.
10. NAKE, H., KOLTHOUM, I., ZAHNER, H. e LAATSCH, H. *Arch. Microbiol.* 126(3) 223-30, 1980.
11. EVANS, F.J., LEE, M.G. e GAMES, D.E. *Biom. Mass Spect.* 6 (9), 374-80, 1979.
12. FORMIGA, D. GOTTLIEB, O.R., MENDES, P.M. e KOKETSU, M.P. *Phytochemistry* 14, 828, 1975.
13. YAGI, A., MAKINO, K. e NISHIOKA, I. *Chem. Pharm. Bull.* 26 (4) 1111-6, 1978.
14. DYER, J.R. "Aplicações da Espectroscopia de Absorção aos Compostos Orgânicos" 38, 1969.
15. SIMONSEN, J.L. "The Terpenes", V. IV, 102, 1957.
16. MORAIS, S.M. "Contribuição ao Conhecimento Químico de Plantas do Nordeste, *Zolernia paraensis*" T.Ms. 21, 1982.

17. DEVON, T.K. e SCOTT, A.I. *Handbook of Naturally Ocurring Compounds.* V. II, 291, 1972.
18. FLEMING, I. e WILLIAMS, D.M. "Métodos Espectroscópicos em Química Orgânica", 217, 1974.
19. ANJANEYULU, A.S.R., MURTHY, V.L.N. e ROW, L.R. *Indian J. Chem.* 16B, 650, 1978.
20. ITOH, T. *Phytochemistry*, 16, 1448, 1977.
21. CHAPMAN and HALL (Ed.) *Dict. Org. Comp. C. Hall N.Y.*, 5th.Ed. 1349, 1982.
22. BERGER, Y. e CASTONGUAY, A. *Org. Magnetic Resonance* 11(8), 375-7, 1978.
23. GEISSMAN, T.A. e CROUT, D.M.G. *Org. Chem. Sec. Plant Metabol.* 228, 1969.
24. LEVY, G., LICHTER, R.L. e NELSON, G.L. *Carbon-13 Nuclear Magnetic Ressonance Spectroscopy* 111, 1980.
25. WEHRLT, F.W., NISHIDA, T. e FORTSCHRITTE, D. *Chem. Org. Naturst.* 36, 176, 1979.
26. MATOS, F.J.A., ALENCAR, J.W., CRAVEIRO, A.A., MACHADO, M.I.L., MATOS, M.E.O. e OLIVEIRA, F.A. *Cienc. Cult.*, 37(7), Suplem. 518, 1985.

PARTE EXPERIMENTAL

5. PARTE EXPERIMENTAL

5.1. Coleta do material

O estudo fitoquímico de *Vatairea macrocarpa* Ducke, foi realizado com uma partida da planta, colhida a 21 de dezembro de 1983, no município de Buriti dos Lopes, Piauí. A coleta foi feita pela equipe do campo do LPN-UFC tendo sido selecionado para o trabalho o tronco da planta.

Uma segunda coleta foi efetuada na mesma região, pela mesma equipe, compreendendo desta vez, além de madeira, a obtenção de amostras de folhas e frutos.

5.2. Material e métodos

Cromatografia

Foram realizados vários tipos de cromatografia durante o decorrer do trabalho, inclusive tendo sido feitas tentativas de modificação das técnicas com o objetivo de melhorar a eficiência do processo preparativo.

Cromatografia em coluna

Para cromatografia em coluna foram utilizados como fase estacionária os seguintes materiais: silica-gel (Artigos 7733, 7734, Merck), Poliamida (Woelm, para coluna), florisil (artigo 12518, Merck) Sephadex (LH-20, Pharmacia Fine Chemicals) e areia tratada com granulação entre 0,149-0,720mm.

O comprimento e diâmetro das colunas variaram conforme a quantidade de material a ser cromatografada e a complexidade das misturas submetidas a análise.

Observou-se que o uso de cromatografia em coluna de areia tratada permite a separação de alguns grupos de constituintes. Embora as colunas desenvolvidas com este material não sejam tão separativas quanto a silica, pode ser utilizada com sucesso como fase estacionária de colunas do tipo "filtrante", para fractionamento preliminar de misturas polares, pois não há perda de material por sua adsorção irreversível pela areia, como ocorre com a sílica.

Cromatografia em placas

Nos trabalhos de cromatografia em camada delgada preparativa, foram empregadas placas de vidro nas dimensões 20x20 cm recobertas por uma camada de sílica (artigo 7748, Merck) com cerca de 0,40mm de espessura, previamente dispersas em uma solução aquosa de ácido oxálico a 3%⁽¹⁾. As placas foram secas em estufa (80°C) para evitar a eflorescência do ácido oxálico que ocorre quando as placas são deixadas a secar a temperatura ambiente.

As faixas correspondentes aos componentes foram visualizadas por exposição a lâmpada ultravioleta UVSL-25 MINERALIGHT, no comprimento de onda de 366nm. Em cada placa foi colocado cerca de 50mg de material dissolvido em clorofórmio.

Para cromatografia em camada delgada analítica, utilizou-se como fase estacionária, sílica-gel (artigo 7741, Merck) previamente dispersa ia em água pura ou, em alguns casos, em solução aquosa de ácido oxálico a 3% sobre placas de vidro nas dimensões 7,50x2,50cm e 10,0x5,0cm. Foram utilizadas também cromatofolhas de alumínio revestidas de poliamida (Artigo 5555, Merck). O processo de revelação do material nas placas, variou de acordo com o tipo de substância utilizando-se opcionalmente pulverização com as seguintes soluções reveladoras: a) sulfato cérico a 0,2% em ácido sulfúrico diluído; b) solução etanólica de vanilina a 5% adicionada de 5% de ácido sulfúrico; c) solução de orcinol 0,02% em ácido sulfúrico 40%; d) vapores de hidróxido de amônio.

Cromatografia em papel

Neste processo analítico foi utilizado papel Whatman 1M e a revelação das substâncias foi efetuada com pulverização de solução de oxalato de anilina 2% em água + acetona 1:1 e aquecimento subsequente (110°C).

Cromatografia líquida de alta eficiência

A cromatografia líquida de alta eficiência foi realizada em aparelho analítico provido de coluna MICROPAK MCH-5 com 25cm de comprimento e 0,4mm de diâmetro. Usou-se um fluxo de solvente de 0,6ml/min, velocidade do papel de 20cm/h e sensibi-

lidade de 0,08 AV/MV. Metanol ou uma mistura de metanol + água 60:40 foram usadas como eluentes. O metanol empregado foi de qualidade pró-análise Merck e a água bidestilada e degaseificada.

As substâncias registradas nos cromatogramas foram identificadas de acordo com os respectivos tempos de retenção e por comparação com padrões.

5.2.2. Espectrometrias

Infravermelho (IV)

Os espectros de absorção na região do infravermelho foram obtidos em pastilhas de KBr ou sob a forma de filmes em plaquetas de NaCl.

Ultravioleta (UV)

Os espectros foram obtidos em solução metanólica ou etanólica (PA; Merck) em cubetas de quartzo de 1cm de diâmetro.

Ressonância Magnética Nuclear (RMN)

Ressonância protônica (H^1)

Os seguintes solventes foram utilizados: clorofórmio deuterado ($CDCl_3$), acetona deuterada $(CD_3)_2CO$ e água deuterada (D_2O), de acordo com a solubilidade das substâncias. Utilizou-se tetrametilsilano (TMS) como padrão de referência interna.

Os deslocamentos químicos foram registrados em partes

por milhão (ppm) e as constantes de acoplamento em Hertz(Hz). Adotou-se, como convenção, os seguintes símbolos: s para singuleto , d para dubleto, t para tripleto e m para multipleto.

Ressonância de carbono (C^{13})

As substâncias a analisar foram dissolvidas em clorofórmio deuterado ($CDCl_3$) ou acetona deuterada ($(CD_3)_2CO$) em presença de tetrametilsilano como padrão de referência interna. Os deslocamentos químicos foram registrados em partes por milhão.

Espectrometria de massa

Para a determinação dos ésteres metílicos dos ácidos graxos contidos no óleo das amêndoas, os espectros de massa dos referidos ésteres foram obtidos. Após separação em cromatógrafo gás - líquido com uma coluna capilar HP-SP2-1100 de metilsilicona com 30cm de comprimento e 0,50mm de diâmetro interno. O cromatógrafo usa como detector o espetrômetro de massa.

Utilizou-se o símbolo m/e para designar os fragmentos de massa obtidos.

5.3. Aparelhos

Ultravioleta (UV)

- Espectrômetro registrador VARIAN Mod. 17-D. UV-VIS

Infravermelho (IV)

- Espectrômetro IR, VARIAN, Mod. 283-B.

Ressonância Magnética Nuclear (RMN)

- De próton (H^1)
- Espectrômetro VARIAN Mod. EM-360 de 60 MHz.
- De carbono (C^{13})
- Espectrômetro VARIAN, Mod. FT-80 de 20MHz
(Universidade Federal da Paraíba - NPPN).
- Espectrômetro VARIAN XL-300 de 75MHz
(Universidade do Mississipi - Deptº de Farmacognosia-USA).

Cromatografia Líquida de Alta Eficiência (CLAE)

- Cromatográfico líquido VARIAN, Mod. 5.000 com detector de UV a 254nm acoplado a registrador.

Espectrometria de Massa (EM)

- Espectrômetro de massa FINNIGAN, Mod. 3200 GCIMS acoplado ao processador de dados INCOS (Universidade do Mississipi- Deptº de Farmacognosia-USA).
- Espectrômetro de massa HEWLETT-PACKARD, Mod. HP-5959-A acoplado a cromatógrafo de gás e a computador.

Ponto de fusão (Pf)

Aparelho de microdeterminação de ponto de fusão METLER com placa aquecedora Mod. FP-52 e unidade de controle de temperatura FP-5.

Microprocessador

Microprocessador CP-500 PROLÓGICA do Brasil, provido de pla-

ca CP/M da MICROSSOL.

5.4. Extrativos do tronco

Isolamento das antraquinonas

O tronco da árvore foi separado em suas três partes constituintes: casca (VM-3), alburno (VM-4) e cerne (VM-5). Cada parte foi triturada e submetida separadamente a extração com hexano. Os extratos hexânicos da casca e do cerne, depois de concentrados deixaram separar uma fase sobrenadante e um precipitado. Este foi separado, dissolvido em clorofórmio e concentrado. A comparação dos precipitados e sobrenadantes destes extratos em cromatografia em camada fina (CCD) utilizando como eluente clorofórmio + hexano (1:1), levou a escolha do cerne como a parte que mais continha antraquinonas. As antraquinonas foram detectadas pelo teste de Borntraeger⁽²⁾. Os constituintes químicos de VM-S3 e VM-S4 se mostraram praticamente iguais e diferiram em relação aos de VM-S5 sómente quanto a concentração de antraquinonas.

O cerne desengordurado, isto é, lavado com hexano foi submetido a extração com clorofórmio, à temperatura ambiente fornecendo após concentração, um resíduo amarelo semi-sólido (17,7g). Parte deste resíduo (6,0g) foi extraída com uma mistura metanol + água (9:1) deixando um material insolúvel (2,03g) que foi submetido a fracionamento por cromatografia de adsorção em silica-gel, utilizando-se como eluente os solventes éter de petróleo, benzeno e acetona iniciando-se com a mistura éter de petróleo + benzeno

(1:1) e terminando com acetona em ordem crescente de polaridade. Colheu-se 32 frações que posteriormente foram reunidas em três grupos principais à comparação em cromatografia em camada fina. As frações de 1 a 15 se constituia em um grupo com cerca de 70% em peso do material coletado da coluna e é formado por um sólido amarelo que foi designado como VM-S1.. Este material deu teste positivo para antraquinona e depois de purificado por recristalização em etanol fervente forneceu 1,049g de cristais de cor amarelo laranja ($\text{pf} = 192,4\text{-}194,6^\circ\text{C}$).

O grupo menor resultante da mistura das frações de 16-24 (50mg) apresentou também propriedades típicas de uma antraquinona sendo que sua polaridade é bem maior quanto estimada em cromatografia de camada delgada.

A solução hidrometanólica (9:1) foi concentrada resultando em um sólido escuro (9,76g). Tentativa de seu fracionamento com auxílio de sílica resultou em perda muito grande de material, cerca de 40%.

Foi utilizado então, para fracionamento nova porção deste material (6,0g) Sephadex LH-20, com a finalidade de diminuir a perda de material. O eluente usado foi o acetato de etila tendo sido colhidas 15 frações que, posteriormente foram reunidas em 4 grupos de ainda mostraram grande complexidade em CCD.

O primeiro grupo formado pelas frações 1-3 (2,0g) que em cromatografia em camada fina mostrou uma mancha de natureza antraquinônica codificada como VM-S5 de comportamento diferente de VM-S1 foi recromatografado três vezes em coluna de sílica-gel

usando-se como eluente a sequência iniciada com benzeno e terminada com metanol. A cada cromatografia, a sílica ficava vermelha e ocorria perda de quase 50% de material. Tentou-se então, a cromatografia em coluna de poliamida, utilizando-se 300mg de material para 30g de poliamida. Como fase móvel a sequência iniciada com metanol e concluída com mistura metanol-acetato de etila (3:7) obtendo-se VM-S5 semipurificada. A purificação desta fração foi conseguida por uma nova cromatografia em sílica-gel seguida de sublimação fracionada a pressão reduzida (140mg, pf = 247-252°C).

O precipitado oriundo do extrato hexânico (6,7g) apresentou-se como um sólido escuro de consistência resinosa que se mostrava complexo em CCD, apresentando porém manchas reveláveis com vapores de amônia. Este material ao ser fracionado em coluna de sílica-gel apresentou o mesmo comportamento do material citado anteriormente (VM-5, MeOH/H₂O₂) frente à sílica com consequente perda de material.

O uso da coluna de poliamida (1g/100g) e da sequência de eluente iniciada com etanol e concluída com acetato de etila, resultou em fracionamento parcial da mistura. O grupo de frações mais significativo obtido (600mg), f:1:5) continha as duas antraquinonas visualizadas em CCD sendo uma delas idêntica a VM-S1, anteriormente isolada. Por terem velocidade de migração muito próximas nos sistemas cromatográficos utilizados não foi possível obter sua separação em coluna de sílica-gel, florisil ou poliamida. A separação só foi possível com utilização de CCD em placas preparativas de sílica tamponadas com ácido oxálico e eluídas com

uma mistura de éter de petróleo e benzeno (3:1) em três corridas consecutivas.

Uma das faixas, correspondentes a outra antraquinona codificada VM-S10 forneceu 120mg a partir de 40 placas. Outra faixa correspondeu a uma antrona (teste de Borntraeger e oxidação ao ar) que recebeu nome código VM-S8. A primeira substância foi recromatografada empregando a mesma técnica obtendo-se VM-S10 pura em forma de cristais amarelos (90mg, pf=207°C). A segunda substância, VM-S8, foi recromatografada em coluna de sílica-gel que forneceu 240mg de sólido amarelo pálido (pf= 196°C).

Isolamento dos glicosídios

O cerne da planta depois de triturado (5,0Kg) foi desengordurado com hexano e dividido em duas partes iguais. Uma parte foi extraída com água quente, obtendo-se uma solução aquosa escuro a partir da qual foi efetuado partição em acetato de etila. Da parte solúvel em acetato de etila (20,417g) retirou-se uma porção de 5,6g que foi fracionada em coluna de Sephadex LH-20 utilizando-se como eluente uma mistura de benzeno e metanol (8:2). Foram colhidas 18 frações que depois de agrupadas em CCD, foram reunidas em três grupos. Os dois grupos quantitativamente mais significantes, correspondente as frações f.12-15 (1,094g) e f.16-18 (3,219g) foram, separadamente, submetidas à cromatografia em colunas sucessivas de sílica-gel, com o objetivo de purificar duas substâncias detectadas por CCD e designadas VM-S6 e VM-S9 respectivamente. Obteve-se 470mg de VM-S6 que após recristalização em clo-

rofórmio-hexano, forneceu 250mg de esfero-cristais de cor amarela com ponto de fusão de 181,6-182,4°C.

A substância designada VM-S9 depois de purificada por sucessivas colunas cromatográficas utilizando sempre como eluente a sequência iniciada por clorofórmio e encerrada com acetona, pesou 1,1g e apresentou-se como cristais de cor amarelo brilhante ($\text{pf} = 156-157^\circ\text{C}$).

A outra parte do cerne triturado (2,5Kg) foi extraída diretamente com clorofórmio. A porção solúvel foi concentrada a pressão reduzida (8,8g) e o resíduo submetido a uma extração utilizando-se metanol + água (9:1). Retirou-se 6,0g da parte solúvel que foi cromatografada em coluna de Sephadex LH-20 utilizando-se acetato de etila como eluente. As doze frações colhidas foram reunidas por comparação em placas de CCD em três grupos: f.1-3 (2,6g); f.4-8 (2,1g) e f.9-12 (1g). O grupo de frações f.1-3 foi submetido à cromatografia de adsorção em sílica-gel utilizando-se a sequência de eluentes: clorofórmio, clorofórmio-acetona, metanol. Foram colhidas 22 frações. Destas frações, a maioria se constitui de antraquinonas livres e as frações de 15-20 reunidas após comparação em CCD, tem em sua composição uma substância codificada como VM-S7 (250mg) de natureza glicosídica. Esta substância também foi detectada no grupo de frações f(4-8) que foi recromatografado em três colunas sucessivas de poliamida utilizando-se como eluente etanol-acetato de etila (9:1) e, posteriormente, em coluna de sílica-gel usando-se consecutivamente acetato de etila + acetona 20% e acetona. Obteve-se principalmente VM-S7 (525mg) que apesar

das várias tentativas de purificação por vias cromatográficas, ainda permanecia impura pois apresentava duas manchas quase sobreponíveis em placas analíticas de sílica-gel, não separáveis nos vários sistemas de eluentes testados. Tentou-se ainda várias outras técnicas de purificação sem no entanto conseguir separação nas manchas. Obtendo-se sempre um sólido de $\text{pf}=137-41^\circ\text{C}$. A mistura foi hidrolisada (150mg) e cromatografada em sílica-gel obtendo-se duas substâncias. A menor porção apresentou $\text{pf}=195-8^\circ\text{C}$ e foi denominada VM-S11.

Com a finalidade de comprovar a natureza glicosídica dos compostos apresentados acima e determinar os açúcares se assim fossem, foi realizada hidrólise das amostras (4mg) de VM-S6, VM-S7 e VM-S9. A hidrólise foi efetuada com solução de ácido trifluoroacético 4N⁽³⁾ em ampolas hermeticamente fechadas. O material resultante da hidrólise foi submetido a cromatografia de partição em papel pela técnica descendente utilizando-se como eluente acetato de etila-piridina-água (20:5,5:3) e como revelador oxalato de anilina 2,5% em água/acetona(s). Foi utilizado também uma identificação dos açúcares, cromatografia de adsorção em camada delgada de sílica usando-se como eluente a mistura álcool isopropílico-acetato de etila-água (7:2:1) e solução de orcinol 0,02% em ácido sulfúrico 40% como revelador, em comparação com padrões.

Isolamento dos triterpenos

Parte do cerne triturado de *Vatairea macrocarpa* (5Kg) foi extraído com hexano e concentrado a pressão reduzida (45,6g) pro-

duzindo um material oleoso de cor escura. Este material foi submetido a fracionamento por cromatografia de adsorção em sílica-gel na proporção de 1g de material para 10g de sílica, fornecendo três principais grupos de frações reunidos por CCD. O primeiro deles (f.1-6) se mostrou formado por um óleo viscoso, quase incolor (20g) que por cromatografia em camada fina, revelou ser formado de principalmente um constituinte, codificado como VM-S3. Este material mostrava cor roxa ao ser revelado em CCD com sulfato cérico 2% e rosa-choque ao ser vaporizado com vanilina e ácido sulfúrico 5% respectivamente. Este comportamento indica natureza triterpenóide, confirmada pelo teste de Lieberman-Burchard.

Submetido a arraste a vapor e, posteriormente, à saponificação, não mostrou nenhuma modificação no material. Cromatografia de adsorção em florisol com 2,0g de material e utilizando a sequência de solventes éter de petróleo-hexano-clorofórmio foi usado com sucesso tendo fornecido 1,2g de VM-S3 puro, que manteve o mesmo aspecto físico, isto é, um óleo viscoso, incolor e inodoro.

As últimas frações desta cromatografia (f.9-23) pesando cerca de 11g, foram recromatografadas em colunas de sílica-gel a partir da qual foram colhidas 27 frações. Após exame em CCD, as frações f.1-10 e f.12-27 foram reunidas em dois grupos. O grupo de frações de 1-10 (3g) foi submetido a cromatografia rápida de média pressão⁽⁴⁾ utilizando como eluente a mistura hexano, clorofórmio e metanol em sequência de aumento gradativo de polaridade. As 27 frações de 125ml foram reunidas em quatro grupos depois de

concentradas e tendo sido efetuado comparação em CCD. O terceiro grupo de frações f.21-27 (1,0g) apresentou em sua constituição uma substância de natureza triterpénica designada VM-S4. Este grupo foi recromatografado em coluna de sílica-gel usando hexano, clorofórmio e metanol como eluentes em sequência de aumento gradativo de polaridade. Foram recolhidas 89 frações de 50ml cada, que posteriormente foram concentradas e comparadas em CCD. O grupo de frações 34-40 (210mg) foi submetido a recristalização em metanol, tendo fornecido 187mg de cristais brancos de $\text{pf} = 140-39^\circ\text{C}$ correspondente a VM-S4 (ver fluxogramas I, -2 e 3).

5.5. Extrativos das folhas

Do extrato clorofórmico das folhas de Vatairea macrocarpa, através de coluna cromatográfica em sílica-gel e usando como eluente a sequência iniciada com hexano e finalizada com acetona, foi isolado e identificado por comparação em cromatografia de camada fina o mesmo material codificado como VM-S1.

5.6. Extrativos dos frutos

Os frutos foram submetidos a extração com clorofórmio e hexano e o óleo fixo obtido sofreu posteriormente, tratamento cromatográfico em colunas de sílica. A partir dos dois extratos foi isolado VM-S1 sendo que o extrato clorofórmico forneceu ainda VM-S5 e VM-S10. As substâncias foram identificadas por comparação em CCD (ver fluxograma 4).

Isolamento dos ácidos graxos

Uma amostra de sementes de *V. macrocarpa* (26,8g) foi extraída com hexano fornecendo um óleo amarelo pálido (7,3g). Os ácidos graxos foram separados após saponificação do óleo, tendo sido metilados de forma usual com uma solução de BF_3/MeOH 14%⁽⁴⁾ e submetidos a análise cromatográfica de gás massa (ver fluxograma 4).

5.7. Preparação de Derivados

Reação de acetilação

Todas as reações de acetilação foram efetuadas do modo usual utilizando-se piridina e anidrido acético na proporção de 1:4 em quantidade suficiente para solubilizar a amostra. Manteve-se a mistura à temperatura ambiente por cerca de 1 a 2 dias após o que, o acetato obtido foi isolado.

Reação de hidrogenação

A amostra de VM-S3 (1,2g) foi dissolvida em metanol em recipiente com atmosfera de hidrogênio usando-se quantidade catalisadora de paládio ativado. Após 72 horas, o produto da reação foi filtrado através de sílica-gel. Obteve-se 800mg de VM-S3 hidrogenado que se apresentou como um sólido branco de ponto de fusão 61-2°C.

Reação de hidrólise

As reações de hidrólise foram realizadas utilizando-se cerca de 4mg de cada amostra e 1ml/lmg de solução 4N de ácido trifluoroacético em ampolas hermeticamente fechadas mantidas a temperatura de 100°C durante 3 horas.

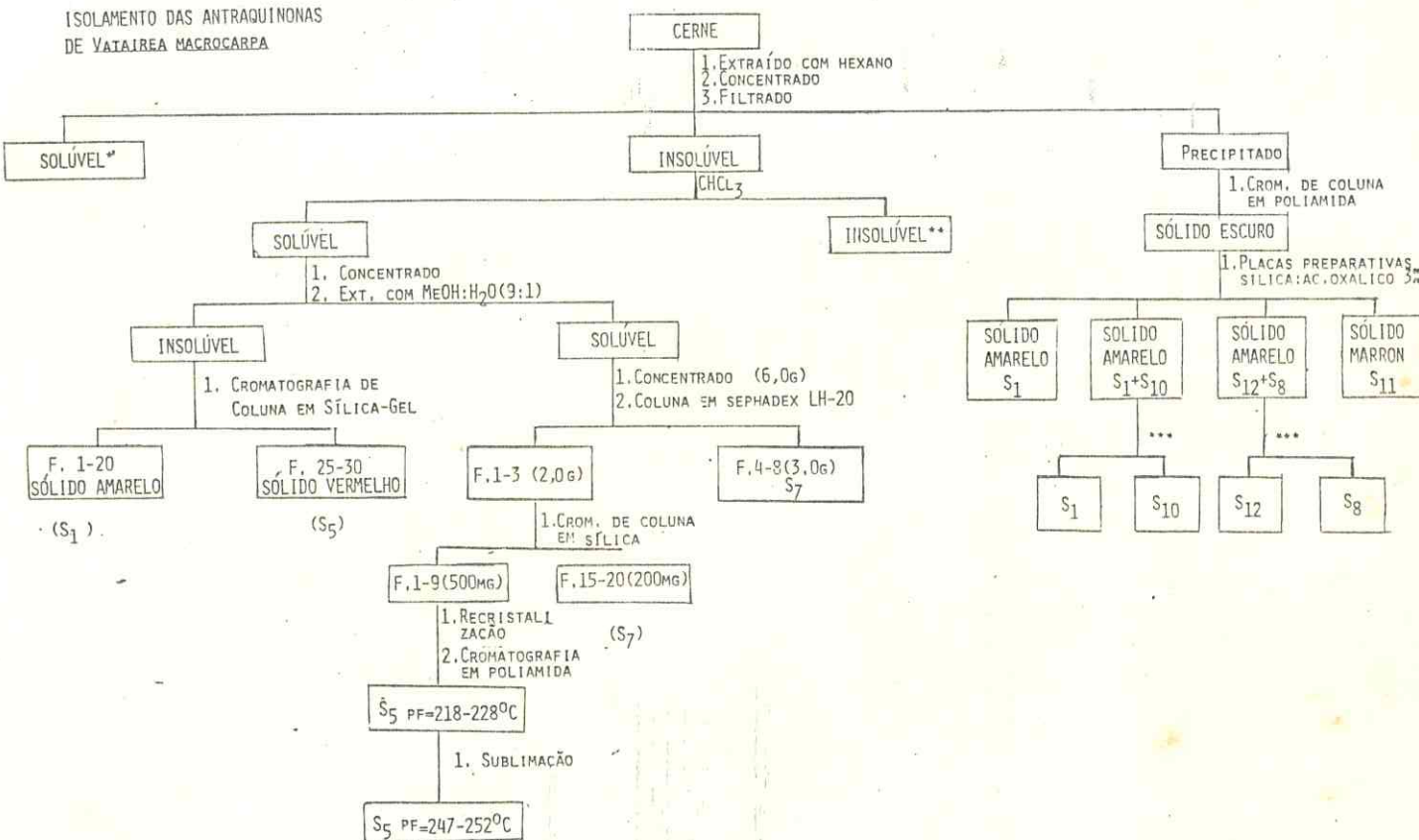
Reação de metilação⁽⁵⁾

Amostras de 100-200mg das substâncias a serem metiladas, foram tratadas com diazometano durante 8 dias em recipiente fechado, adicionando-se novas porções do reagente a cada 48 horas.

Reação de redução⁽⁶⁾

Cerca de 1,5g de 1,8-dihidroxi-3-metil antraquinona foram misturadas com 4,2g de estanho granulado e 70ml de ácido acético glacial. A mistura é levada a ebulação sob refluxo até que a antraquinona esteja completamente dissolvida. A solução fervente adicionou-se cinco porções de 2ml cada de ácido clorídrico concentrado durante 45 minutos. Depois da última adição a solução foi mantida em aquecimento por mais 25 minutos. A solução quente foi filtrada obtendo-se após cristalização 906mg do produto.

FLUXOGRAMA 1

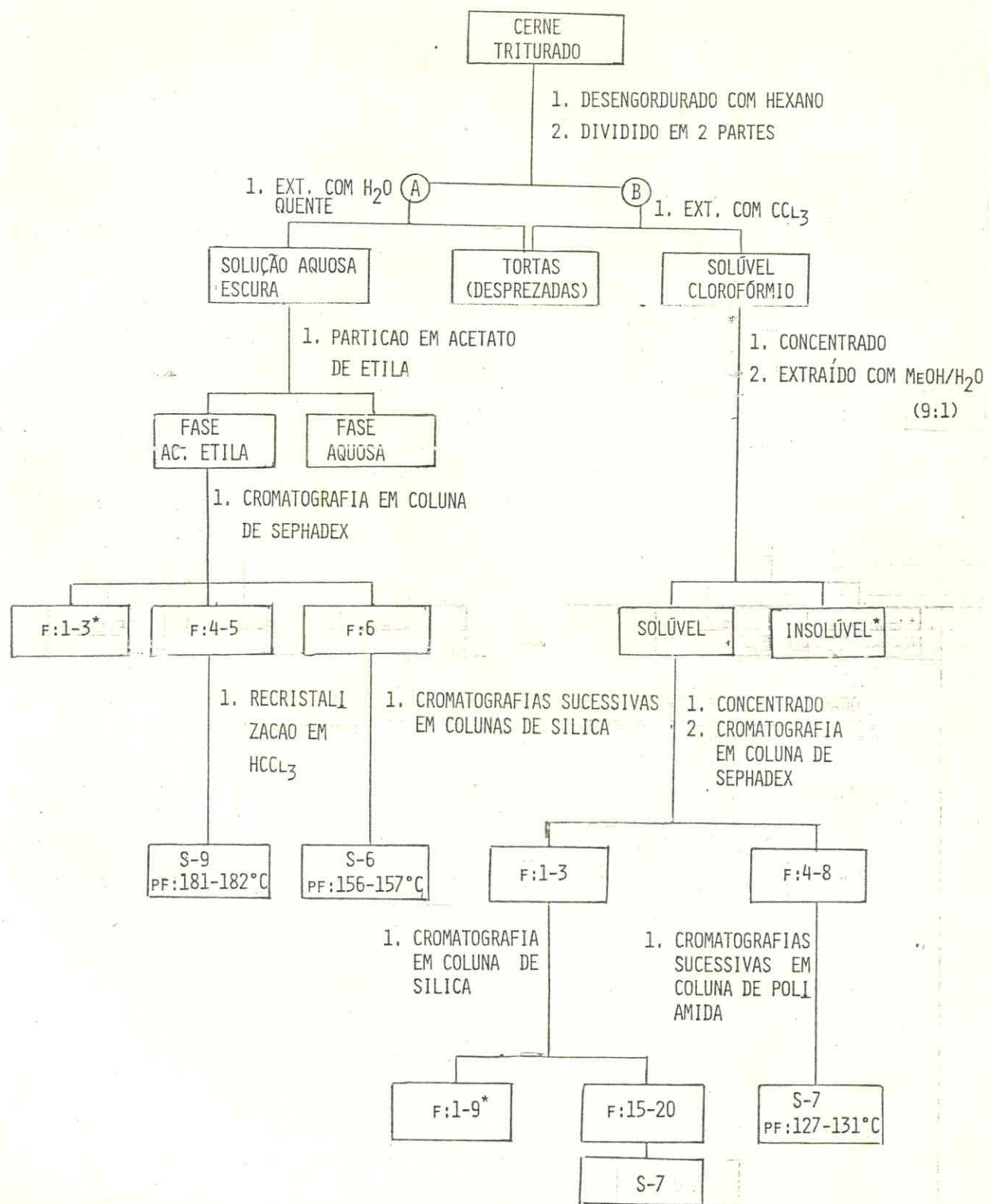


*MISTURA DE TRITERPENOS

**MISTURA DE S₁ E CONSTITUINTES GLICOSÍDICOS

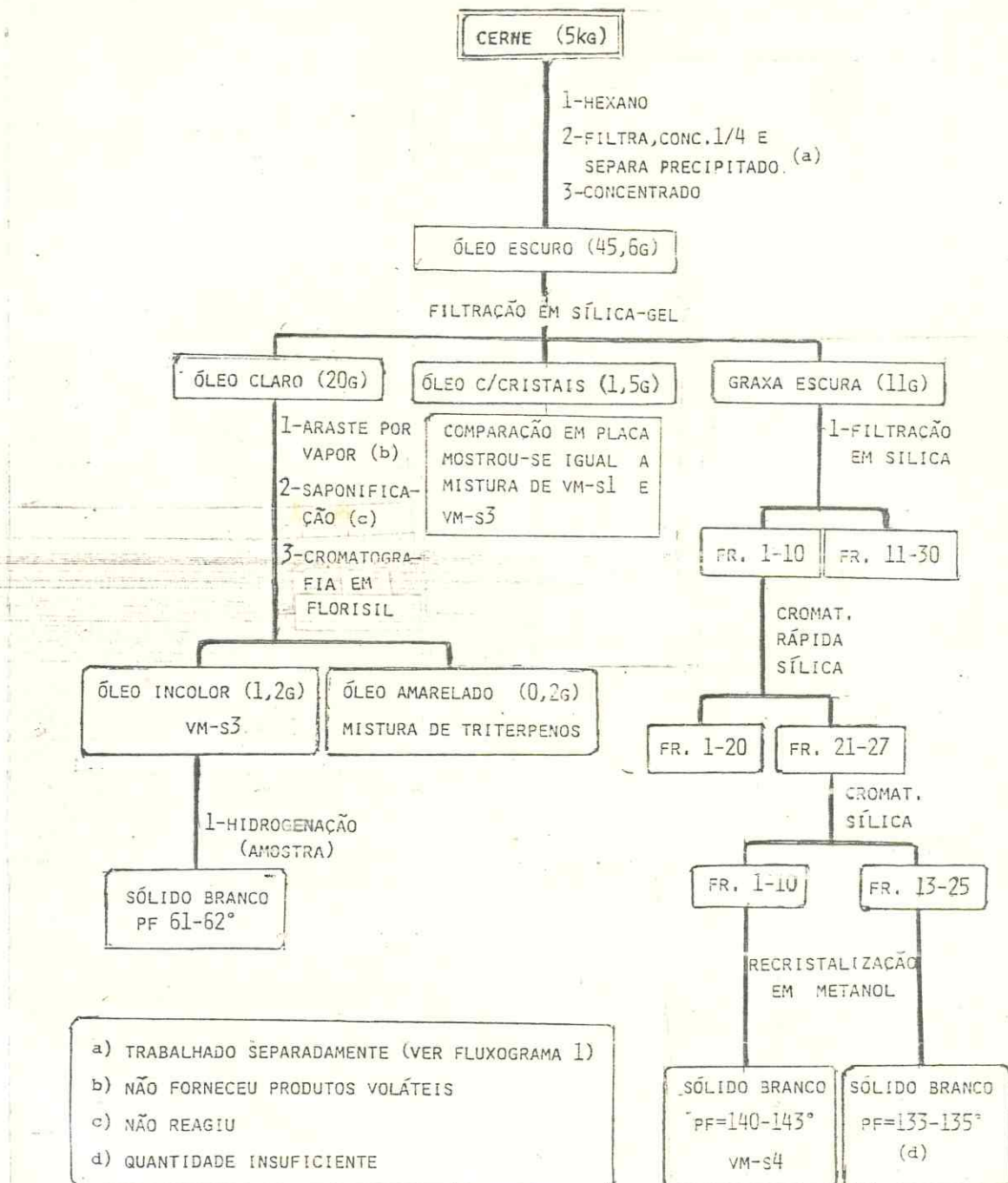
***PLACAS PREPARATIVAS
SÍLICA+ AC. OXÁLICO 3%

FLUXOGRAMA 2. Isolamento dos glicosídeos.



*CONSTITUINTES ANTRAQUINÔNICOS

FLUXOGRAMA 3. Isolamento dos triterpenos.



Referências bibliográficas

1. BREW, E.J. C. e THOMPSON, R.H. *J. Chem. Soc (C)* 2004, 1971.
2. ROBINSON, T. *The Org. Const. of Higher Plants.* 2nd. Ed. ill., 1967.
3. SAWARDEKER, J.S.; SLONEKER, J.M. e JEANES, A. *Anal. Chem.* 37, 1602-4, 1965.
4. ABREU MATOS, F.J. *Introdução a Fitocuímica Experimental*, no prelo.
5. VOGEL, A.I. *Química Orgânica*, vol.3 1023, 1979.
6. NAYLOR, G. *J. Am. Chem. Soc.* 53, 4114, 1931.

6. DETERMINAÇÃO DA ATIVIDADE ANTIMICROBIANA DE EXTRATIVOS DE *Va*
tairea macrocarpa.

Em busca da justificativa para a durabilidade da medeira de *V. macrocarpa* foram realizado ensaios de avaliação de uma possível atividade antimicrobiana nos extratos aquosos, hidroetanólico e acetônico, todas na concentração de 10%.

O extrato acetônico mostrou-se ativo contra as bactérias *Klebsiella sp.* e *Staphylococcus aureus* porém inativo contra os fungos *Aspergillus niger* e *Saccharomyces cerevisiae* (Tabela 13).

Tabela 13 - Concentração dos extratos para testes de antibiose.

Extratos	Concentração de sólidos solúveis (mg/ml)	Concentração (a) dos extratos %
Aquoso	4,1	2,7
Acetônico	6,1	4,1
Hidroalcoólico	10,7	7,2

(a) calculado sobre peso da matéria seca.

Tabela I4 - Resultados dos testes de atividade antimicrobiana da
Vatairea macrocarpa.

Microorganismos	Extractos		
	aquoso	acetônico	hidroalcoólico
<i>Yersinia enteroco-</i> <i>litica</i>	0(0)	0(0)	0(0)
halo (at. rel.)			
<i>Klebsiella</i> sp.	0(0)	18(2,1)	0(0)
halo (at. rel.)			
<i>Staphylococcus aureus</i>	0(0)	20(2,3)	15(1,0)
halo (at. rel.)			
<i>Clostridium perfringens</i>	0(0)	0(0)	0(0)
halo (at. rel.)			
<i>Escherichia coli</i>	0(0)	0(0)	0(0)
halo (at. rel.)			

7. CONCLUSÕES

As propriedades mais evidentes da madeira de *Vatairea macrocarpa* Ducke, isto é, seu intenso sabor amargo e atividade diarréica por absorção de sua serragem mais fina puderam ser justificadas neste trabalho. O sabor amargo é conferido à madeira e aos extractos pela mistura de glicosídos que separados apresentam-se como um pó amarelo brilhante. Esta mistura é constituída pelos glicosídos codificados VM-S6, VM-S7, VM-S9 e VM-S11.

Para as substâncias isoladas e identificadas que não tinham correspondência na literatura consultada teria sido necessário a realização de várias reações de síntese com objetivo de confirmar as estruturas propostas.

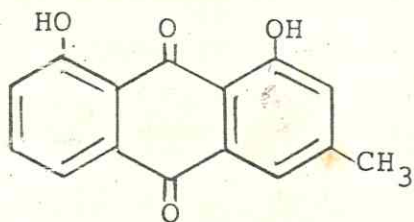
O levantamento bibliográfico que deu origem a parte do capítulo 3, foi dirigido especialmente na pesquisa das antraquinonas livres.

Vatairea macrocarpa pode ser utilizada como fonte natural de crisofanol, 1,8-dihidroxi-3-metil antraquinona, devido a grande quantidade desta substância obtida do lenho da planta.

CONSTANTES FÍSICAS DOS CONSTITUINTES E DERIVADOS DE
Vatairea macrocarpa.

CONSTANTES FÍSICAS DOS CONSTITUINTES E DERIVADOS DE *Vataírea macrocarpa*

VM-S1: 1,8-dihidroxi-3-metil antraquinona (crisofanol)



Cristais alaranjados, em forma de agulhas, pf = 192,4-49°C(EtOH), lit. 196°C, solúvel em clorofórmio, benzeno, pouco solúvel em hexano e etanol. $R_f = 0,24^a$.

$\text{IV}^{\text{KBr}}(\text{cm}^{-1})$: 2980, 2960, 1720, 1680, 1620, 1600, 1490, 1450, 1370, 1270, 1205, 740.

U.V. $\lambda_{\text{max}}^{\text{EtOH}}$ nm (log ε): 225(3,7), 259(3,5), 275(3,5), 286(3,5), 423(3,4).

$\text{RMN}^1\text{H}(\text{CDCl}_3, \delta)$ 60MHz: 12,00 (s, Ar-OH, C-8), 11,90 (s, Ar-OH, C-1), 7,65 (d, H-5), 7,50 (d, H-4), 7,21 (m, H-6), 7,18 (d, H-7), 6,95 (d, H-2), 2,35 (s, Ar-CH₃).

*a: eluente = benzeno + éter de petroleo (1:3)

b: eluente = benzeno + éter de petroleo (1:1)

VM-SI acetato: 1,8-diacetoxi-3-metil-antraquinona

Agulhas amarelas, pf = 210°C (EtOH), lit = 205-7°C.

I.V. KBr (cm⁻¹): 2920, 1730, 1640, 1580, 1560, 1420, 1180,

RMN¹H (CDCl₃, δ) 60MHz: 7,12-8,28(5H, Ar-H), 2,50(3H, Ar-CH₃), 2,42
(6H, -CO-CH₃).

VM-SI reduzido: 1,8-dihidrox-3-metil-9-antrona

I.V. KBr (cm⁻¹): 2940, 1620, 1590, 1570, 1460, 1440, 1260, 1200.

RMN¹H (CDCl₃, δ) 60MHz: 12,35(s, Ar-OH), 12,20(s, Ar-OH), 7,25-6,60
(5H, Ar-H), 4,20(s, (Ar)₂-CH₂), 2,30(s, Ar-
CH₃).

VM-SI metilado: 1-metoxi-3-metil-8-hidrox- antraquinona

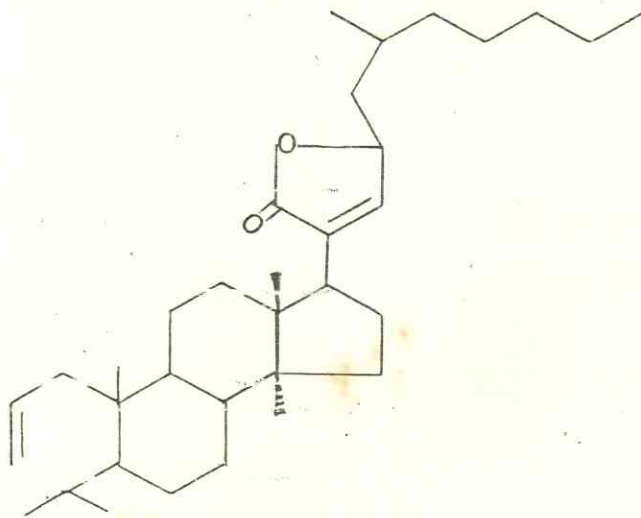
1-hidrox-3-metil-8-metoxi-antraquinona

Cristais alaranjados, pf = 176-8°C, lit: 176-8°C

I.V. KBr (cm⁻¹): 2910, 1660, 1620, 1560, 1470, 1450, 1250, 1220,
1030

RMN¹H (CDCl₃, δ) 60MHz: 13,00 (s, Ar-OH), 12,80 (s, Ar-OH), 7,80-
7,00 (Ar-H), 4,30 (s, -OCH₃), 2,50 (s, Ar-
CH₃ do 8-metoxi), 2,45 (s, Ar-CH₃ do 1-me-
toxi).

VM-S3



Óleo viscoso, incolor e inodoro. Solúvel em clorofórmio, pouco solúvel em acetona.

I.V. filme (cm^{-1}): 3040, 2950, 2840, 1720, 1640, 1460, 1380, 1240, 1180, 990, 890.

U.V. $\text{EtOH}_{\lambda_{\text{max}}}$: 220 ($\log \epsilon = 4,2$)

RMN¹H (CDCl_3 , δ) 60MHz: 5,20 (t, $J=3\text{Hz}$); 4,58 (dg, $J=2\text{Hz}$), 2,2-0,80 (s)

RMN¹³C (CDCl_3 , δ) 20MHz: 173,47; 156,51; 129,93; 129,71; 106,19; 78,68; 52,30; 48,95; 45,44; 43,51; 41,63; 36,16; 35,41; 34,89; 33,88; 32,98; 31,95; 31,40; 31,03; 29,81; 29,72; 29,37; 29,51;

29,35; 29,18; 28,12; 27,25; 27,19; 27,10;
 25,16; 25,10; 23,69; 22,68; 22,01; 21,90;
 19,16; 18,39; 17,75; 14,40; 14,07.

VM-S3 hidrogenado

Sólido branco, pf = 61-29°C, solúvel em clorofórmio.

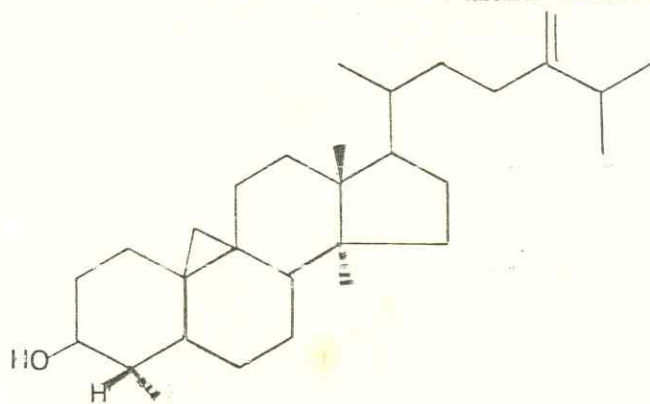
I.V. KBr (cm^{-1}): 2920, 2850, 1720, 1470, 1380, 1180.

RMN ^1H (CDCl_3 , δ) 60MHz: 1,7-0,8 (s, CH_2, CH_3)

RMN ^{13}C (CDCl_3 ,) 20MHz : 173,47; 78,48; 52,43; 49,05; 46,91; 45,48;
 43,59; 41,71; 39,11; 36,38; 35,47; 34,89;
 34,17; 33,00; 32,55; 32,03; 31,70; 31,12;
 30,86; 30,66; 29,43; 29,30; 28,19; 27,15;
 26,96; 25,27; 24,75; 23,84; 22,74; 20,27;
 19,23; 18,58; 18,45; 17,80; 15,59; 15,33;
 14,42; 14,09.

EM m/e(%): 95(96), 109(76), 135(69), 175(69), 189(61), 203(50),
 241(25), 283(40), 302(30), 355(31), 381(25),
 396(53), 410(53), 424(23).

VM-S4 Ciclooeucalenol



Agulhas brancas, pf: 140-3°C, lit. (138) cristalizado em metanol,
solúvel em clorofórmio.

I.V. $\text{KBr}(\text{cm}^{-1})$: 3350, 3040, 2980, 2960, 2940, 1640, 1380, 1050,
1020.

$\text{RMN}^1\text{H}(\text{CDCl}_3, \delta)$ 60MHz: 4,64 (sg, $\text{C}=\text{CH}_2$), 1,14-0,83 (s, CH_2 , CH_3),
0,41 (d, $J=4\text{Hz}$), 0,17 (d, $J=4\text{Hz}$).

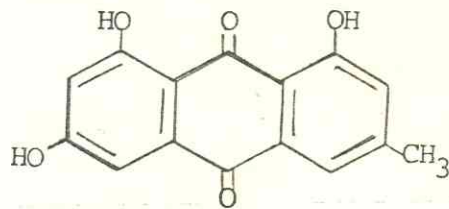
VM-S4 Ciclooeucalenol acetato

Cristais brancos, pf = 109-10°C, lit. 110-11°C.

I.V. $\text{KBr}(\text{cm}^{-1})$: 2950, 2010, 1705, 1630, 1440, 1380, 1210, 890.

$\text{RMN}^1\text{H}(\text{CDCl}_3, \delta)$ 60MHz: 4,65 (sg, $\text{C}=\text{CH}_2$), 2,05 (s, CO_2CH_3), 1,10-0,81
(s, CH_2 , CH_3), 0,42 (d, $J=4\text{Hz}$), 0,15 (d, $J=4\text{Hz}$).

VM-S5: 1,6,8-trihidroxi-3-metilantraquinona (emodina)



Cristais alaranjados, em forma de agulhas. Pf = 247-52°C, lit. = 255°C, solúvel em acetona e metanol, insolúvel em clorofórmio e benzeno. Rf = 0,01^b.

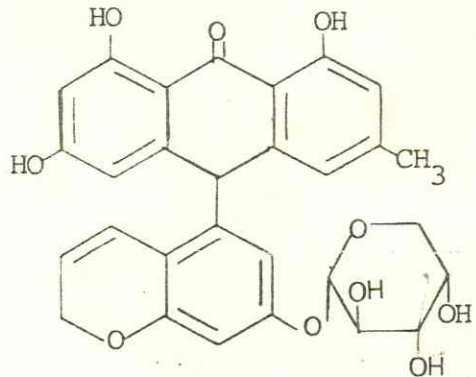
I.V. KBr (cm⁻¹): 3370, 2960, 2920, 1700, 1670, 1620, 1560, 1470, 1380, 1335, 1260, 1220, 1165, 1100, 904, 880, 760.

U.V. EtOH
 λ_{max} (nm): 217(5,08), 253(4,80), 274(3,80), 290(4,70), 449 (4,4).

RMN¹H (CD₃)₂CO, δ) 60MHz: 12,40(s, Ar-OH), 12,20(s, Ar-OH), 7,40(d, J = 2Hz, Ar-H), 7,10(d, J = 3Hz, Ar-H), 6,90(d, J = 2Hz, Ar-H), 6,90(d, J = 2Hz, Ar-H), 6,50(d, J = 3Hz, Ar-H), 2,36(s, Ar-CH₃).

EM. m/e(%): M: 270(100), 254(6,5), 242(9), 241(12,5), 214(4), 213 (9), 140(9).

VM-S6



Sólido amarelo, pf = 181-182,4°C, recristalizado em clorofórmio na forma de esferocristais, solúvel em acetona.

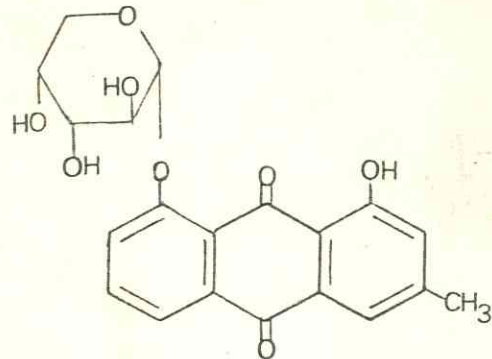
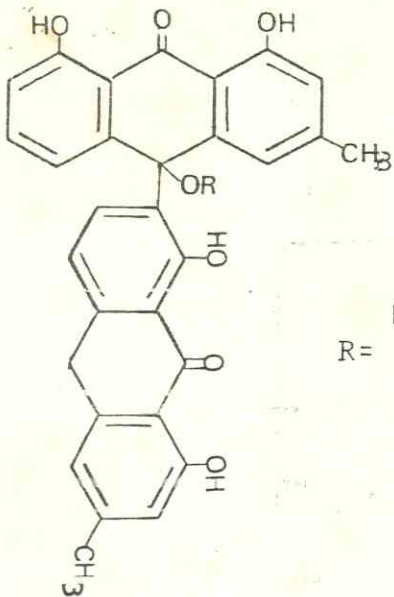
I.V. KBr (cm^{-1}): 3400, 2960, 2930, 1620, 1600, 1570, 1480, 1280, 1080.

RMN¹H ($\text{CD}_3)_2\text{CO}$, δ) 60MHz: 11,30(s, Ar-OH), 11,50(s, Ar-OH).

RMN¹³C ($\text{CD}_3)_2\text{CO}$, δ) 20MHz: 194,84; 162,69; 162,49; 162,36; 148,53; 147,75; 146,19; 142,35; 136,57; 135,85; 122,08; 120,98; 120,59, 119,48; 118,31; 118,05; 116,82; 116,62; 116,36; 116,10; 115,91; 85,76; 80,63; 79,39; 71,66; 71,21; 62,95; 44,96; 22,15.

E.M. m/e(%): 240(100%), 256(41), 165(57).

VM-S7 e VM-S11



VM-S7

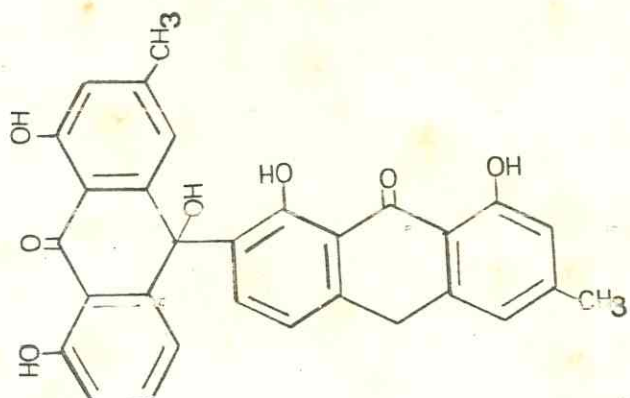
VM-S11

Sólido alaranjado, pf= 127-31°C, solúvel em acetona, metanol, insolúvel em clorofórmio.

I.V. $KBr(cm^{-1})$: 3400, 2960, 2920, 1620, 1600, 1570, 1480, 1380, 1080.

$\text{RMN}^1\text{H}(\text{CD}_3)_2\text{CO}, \delta$ 60MHz: 11,70 (s, Ar-OH), 11,60 (s, Ar-OH), 6,30-7,58 (s, d, Ar-H), 2,90-4,60 (-HCO, -H₂CO), 2,30 (s, Ar-CH₃).

VM-S8: 1,1',8,8',10-pentahidroxi-3,3'-dimetil-10,7'-biantraceno
(10'H,10'M) 9,9'-diona



Sólido amarelo, pf = 196°C, lit. = 190-5°C, pouco solúvel em clorofórmio e benzeno, insolúvel em acetona e metanol.

U.V. EtOH nm (log E) = 226(1,9), 264(0,364), 271(0,705), 350(0,664)
 λ_{max} 365(0,805).

I.V. $\text{KBr} (\text{cm}^{-1})$: 3410, 3005, 2960, 1630, 1610, 1590, 1480, 1450,
1370, 1280, 1230, 920, 780.

$\text{RMN}^1\text{H} (\text{CDCl}_3, \delta)$ 60MHz: 11,7(s, Ar-OH), 11,6(s, Ar-OH), 11,5(s, Ar-OH),
11,4(s, Ar-OH), 7,35(s, Ar-H), 7,21(s, Ar-H),
6,80(t, Ar-H), 6,62(s, Ar-H), 6,60(s, Ar-H),
6,55(sg, Ar-H), 6,25(s, Ar-H), 6,05(sg, Ar-H),
5,6(sg(Ar)₂-COH), 4,3(s, (Ar)₂C-H), 2,3(s, Ar-CH₃),
2,2(s, Ar-CH₃).

E.M. m/e(%): 478(M-16,16,4), 255(7,3), 240(100), 165(98).

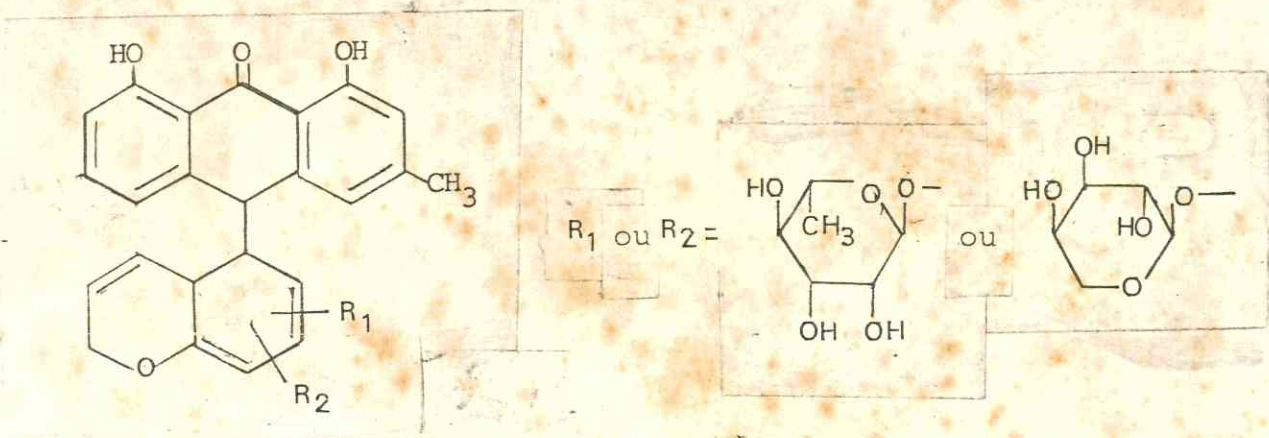
VM-S8 acetato: 1,1',8,8'-tetracetoxi-10-hidroxi-3,3'-dimetil-10,
7'-biantraceno(10'H, 10'H) 9,9'-diona.

Sólido amarelo, pf= 157-9°C, lit. = 150-6°C.

I.V. KBr (cm⁻¹): 3000, 2950, 2920, 1750, 1740, 1650, 1600, 1550,
1350, 1200, 880.

RMN¹H (CDCl₃, δ) 60MHz: 7,3-6,3(sg, Ar-H), 4,15(s, (Ar)₂CH), 2,4
(s, Ar-CH₃), 2,36(s, Ar-CH₃), 2,26; 2,20 e
2,12(s, -COOCH₃).

VM-S9



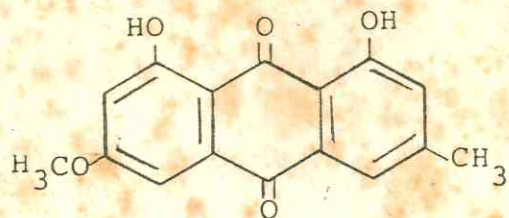
Cristais amarelos, pf = 156-79°C, solúvel em acetona, metanol e água, insolúvel em clorofórmio e benzeno.

I.V. KBr (cm⁻¹): 3400, 2960, 2920, 1610, 1600, 1570, 1480, 1080, 1050, 840, 760.

RMN¹H (CD₃)₂CO, δ) 60MHz: 11,96 - 11,70 (s, Ar-OH) 6,80
-7,70(Ar-H), 3,20-4,73(O-H,C-OH), 2,48(s,
Ar-CH₃), 1,2(s,-CH₃).

RMN¹³C (CD₃)₂CO, δ) 20MHz: 194,91; 162,69; 162,46; 148,60; 147,71;
146,65; 146,44; 142,50; 142,40; 136,76;
135,82; 122,29; 121,12; 120,59; 119,57;
118,76; 118,46; 116,89; 116,51; 116,40;
101,91; 85,65; 80,01; 79,67; 73,74; 72,51;
71,69; 71,41; 69,06; 68,53; 68,35; 45,32;
45,17; 31,82; 22,26; 18,12.

VM-S10: 1,8-dihidroxi-3-metil-6-metoxiantraquinona



Cristais amarelos, pf = 207°C, lit. = 207°C. Solúvel em clorofórmio e benzeno.

Rf = 0,14^a, Rf = 0,68^b.

I.V. KBr (cm⁻¹): 2975, 2960, 1720, 1670, 1620, 1580, 1470, 1380, 1320, 1260, 1230, 1160, 1002, 940, 830, 760, 705.

U.V. EtOH nm (log E): 225(3,81), 251(3,49), 286(3,47), 435(3,3).
 λ_{max}

RMN¹H (CDCl₃, δ) 60MHz: 12,40(s, Ar-OH), 12,00(s, Ar-OH), 7,50(d, Ar-H, J=2Hz), 7,30(d, Ar-H, J=3Hz), 7,00 (d, Ar-H, J=2Hz), 6,55(d, Ar-H, J=3Hz), 3,80(s, Ar-OCH₃) 2,40 (s, Ar-CH₃).

E.M. m/e (%): M = 284(92), 128(100), 254(73), 242(70).